

UNIVERSITÀ DEGLI STUDI DI BARI  
DOTTORATO DI RICERCA IN FISICA



---

TESI DI DOTTORATO

**Studio della produzione di  
particelle strane e della dinamica di  
espansione in collisioni nucleari  
ultra-relativistiche all'SPS**

Relatore:  
Chia.mo Prof. Bruno Ghidini

Dottorando:  
Giuseppe Eugenio Bruno

---

Novembre 2002

# Indice

<b>Introduzione</b>	<b>1</b>
<b>1 Il plasma di quark e di gluoni nelle collisioni nucleari ultra-relativistiche</b>	<b>5</b>
1.1 Introduzione . . . . .	5
1.2 Le particelle elementari e le interazioni fondamentali . . . . .	6
1.2.1 L'interazione elettro-debole . . . . .	7
1.2.2 L'interazione forte . . . . .	8
1.2.3 Le costanti di accoppiamento in QED ed in QCD . . . . .	10
1.3 La transizione di fase di QCD . . . . .	13
1.3.1 Il modello fenomenologico dell' M.I.T. . . . .	14
1.3.2 Il diagramma di fase della materia nucleare . . . . .	16
1.3.3 Collisioni nucleari ultra-relativistiche . . . . .	18
1.3.4 Risultati della QCD su reticolo . . . . .	22
1.3.5 Il ripristino della simmetria chirale nel QGP . . . . .	24
1.4 I segnali sperimentali di QGP . . . . .	27
1.4.1 Esperimenti sugli ioni pesanti ultrarelativistici . . . . .	27
1.4.2 Le osservabili globali . . . . .	29
1.4.3 L'interferometria HBT . . . . .	42
1.4.4 La soppressione nella produzione degli stati di charmonio . . . . .	44
1.4.5 I segnali elettromagnetici . . . . .	48
1.4.6 Fluttuazioni evento per evento . . . . .	53
1.5 La produzione di stranezza come segnale di QGP . . . . .	55
1.5.1 Produzione di stranezza in fase adronica . . . . .	56
1.5.2 Produzione di stranezza nel QGP . . . . .	59
1.5.3 Risultati sperimentali di WA97 . . . . .	62
1.6 Conclusioni . . . . .	66

<b>2</b>	<b>L'esperimento NA57 al CERN</b>	<b>69</b>
2.1	Introduzione . . . . .	69
2.2	Il fascio . . . . .	70
2.3	Il bersaglio . . . . .	73
2.4	L'apparato sperimentale . . . . .	74
2.4.1	Il magnete . . . . .	75
2.4.2	I rivelatori di molteplicità . . . . .	75
2.4.3	Il telescopio a piani di pixel . . . . .	78
2.4.4	I rivelatori a microstrip doppia faccia . . . . .	80
2.5	Selezione degli eventi ed acquisizione dei dati . . . . .	83
2.5.1	Il trigger . . . . .	83
2.5.2	L'acquisizione dei dati . . . . .	88
2.6	La ricostruzione degli eventi . . . . .	89
2.7	Il campione dei dati . . . . .	92
<b>3</b>	<b>Ricostruzione e selezione delle particelle strane</b>	<b>95</b>
3.1	Introduzione . . . . .	95
3.2	Ricostruzione delle $V^0$ . . . . .	96
3.3	Selezione delle $V^0$ . . . . .	99
3.3.1	Selezioni generali . . . . .	100
3.3.2	Identificazione di $K_S^0$ , $\Lambda$ ed $\bar{\Lambda}$ . . . . .	111
3.3.3	Spettri di massa finali . . . . .	116
3.4	Ricostruzione e selezione di $\Xi$ ed $\Omega$ . . . . .	118
3.4.1	Spettri di massa invariante di $\Omega^-$ , $\bar{\Omega}^+$ , $\Xi^-$ ed $\bar{\Xi}^+$ . . . . .	135
3.5	Selezione delle particelle strane in interazioni Pb-Pb a 40 A GeV/c . . . . .	135
<b>4</b>	<b>Analisi dei dati</b>	<b>143</b>
4.1	Introduzione . . . . .	143
4.2	Studio del fondo geometrico residuo nel segnale delle $V^0$ . . . . .	144
4.2.1	Introduzione . . . . .	144
4.2.2	La tecnica di mescolamento degli eventi . . . . .	145
4.2.3	Confronto tra le distribuzioni reali ed il fondo . . . . .	146
4.2.4	Stima del fondo geometrico residuo per $K_S^0$ , $\Lambda$ e $\bar{\Lambda}$ . . . . .	148
4.3	Correzione per accettazione ed efficienza . . . . .	152
4.3.1	Confronto tra dati e Monte Carlo . . . . .	157
4.4	Determinazione delle finestre di accettazione delle particelle strane . . . . .	163

4.5	Determinazione della centralità della collisione . . . . .	173
4.6	Calcolo della produzione di particelle strane . . . . .	177
4.7	Distribuzioni di massa trasversa . . . . .	179
4.7.1	Cascate in Pb-Pb a 40 A GeV/c . . . . .	180
4.8	Estrapolazione della produzione di particelle strane . . . . .	180
<b>5</b>	<b>Discussione dei risultati</b>	<b>187</b>
5.1	Introduzione . . . . .	187
5.2	Spettri di massa trasversa . . . . .	187
5.2.1	Temperature apparenti in collisioni Pb-Pb a 160 A GeV/c . . . . .	187
5.2.2	“ <i>Freze-out</i> ” termico . . . . .	189
5.2.3	Dipendenza dall’energia della collisione . . . . .	195
5.3	Rapporti di produzione . . . . .	195
5.4	Produzione di stranezza in funzione della centralità . . . . .	199
5.4.1	Incremento nella produzione di stranezza rispetto alle collisioni p-A . . . . .	199
5.5	Produzione di stranezza in funzione della energia della collisione . . . . .	206
<b>6</b>	<b>Studio della dinamica di espansione in collisioni Pb-Pb a 160 A GeV/c con l’interferometria</b>	
6.1	Introduzione . . . . .	211
6.2	L’interferometria HBT nella fisica degli ioni pesanti . . . . .	211
6.2.1	Correlazione per sorgenti caotiche . . . . .	212
6.2.2	Sorgenti coerenti e parzialmente coerenti: parametro di caoticità . . . . .	219
6.2.3	Approssimazioni di continuità e di “on shell” . . . . .	220
6.2.4	Condizione di shell di massa . . . . .	221
6.2.5	Parametrizzazione gaussiana della funzione di correlazione . . . . .	221
6.2.6	Approccio sperimentale . . . . .	225
6.2.7	Un modello per una sorgente in espansione . . . . .	227
6.2.8	Estrazione dei parametri della sorgente dalla studio dei “raggi HBT” . . . . .	228
6.3	Discussione dei risultati . . . . .	230
6.3.1	Correzione per interazione coulombiana . . . . .	231
6.3.2	Studio della dipendenza dei raggi HBT dall’impulso della coppia $\vec{K}$ . . . . .	236
6.3.3	Discussione finale . . . . .	241
	<b>Conclusioni</b>	<b>245</b>
<b>A</b>	<b>Calcolo di alcune quantità col modello di Glauber</b>	<b>251</b>

<b>B Geometria del decadimento delle <math>V^0</math></b>	<b>255</b>
<b>Bibliografia</b>	<b>259</b>
<b>Ringraziamenti</b>	<b>269</b>



# Introduzione

La fisica degli ioni pesanti ultra-relativistici cerca di riprodurre in laboratorio le condizioni in cui si pensa che si trovasse l'Universo pochi istanti dopo il *Big Bang* primordiale.

Si ritiene infatti che, prima dell'adronizzazione, l'Universo si trovasse in una fase in cui quark e gluoni liberi costituissero un *plasma* denso e caldo. Questa è la fase che si vuole ricreare oggi in laboratorio, facendo collidere nuclei pesanti accelerati ad energie ultra-relativistiche. In tale fase, tra l'altro, l'asimmetria tra materia ed anti-materia, così evidente nell'Universo attuale, era invece una piccola anomalia.

L'estremo interesse suscitato da questa nuova linea di ricerca, attivatasi a partire dalla metà degli anni '80 con la progettazione e realizzazione dei primi esperimenti di interazioni tra ioni di massa ed energia intermedia all'acceleratore AGS (*Alternate Gradient Synchrotron*) di Brookhaven (USA), ha dato luogo ad una prima generazione di esperimenti all'SPS (*Super Proton Synchrotron*) del CERN con ioni relativamente leggeri ( $^{16}\text{O}$ ,  $^{32}\text{S}$ ). Visti i risultati incoraggianti di questi, una seconda generazione, condotta con ioni più pesanti, ha studiato in dettaglio i segnali caratteristici proposti come evidenze sperimentali dell'avvenuta transizione di fase nello stato di plasma di quark e di gluoni (QGP).

La determinazione sperimentale di queste evidenze è una sfida difficile, in quanto la sopravvivenza del plasma sarebbe comunque limitata ai primi istanti successivi alla collisione ( $\approx 10^{-22}$  sec). La sua rivelazione dipende quindi da misure indirette, o attraverso le particelle prodotte nello stato finale o cercando segnali caratteristici, capaci di sopravvivere alla transizione stessa ed alla successiva evoluzione del sistema collidente.

Nonostante queste difficoltà, le evidenze sperimentali sin qui raccolte dagli esperimenti di seconda generazione del CERN, considerate nella loro collegialità, non trovano ragionevoli descrizioni in termini di uno scenario adronico (in assenza di QGP). Esse, peraltro, hanno ottenuto larga approvazione nella comunità scientifica al punto che nel febbraio del 2000, in una conferenza stampa, il laboratorio del CERN ha espresso la sua formale convinzione che nelle collisioni Pb-Pb più centrali sia stato prodotto un nuovo stato della materia, avente molte delle caratteristiche attese per il QGP.

Se dunque l'evidenza del QGP sembra ormai appurata, a molte altre domande si deve ancora dar risposta. Eccone alcune:

Quali sono le condizioni limite, in termini di volume e densità di energia iniziale, per far avvenire la transizione di fase ?

Che tipo di transizione di fase si ha ? Di quale ordine ?

Che caratteristiche fisiche ha il plasma ?

Si ha, ed a quale livello, il ripristino della simmetria chirale ?

Ad alcune di queste domande potranno forse dare una risposta definitiva solo i nuovi esperimenti al collisionatore di ioni pesanti RHIC a Brookhaven, in funzione dall'anno 2000, e l'esperimento ALICE che studierà, dal 2007, le collisioni tra ioni di piombo accelerati ad un'energia ancora più elevata ( $2.76 + 2.76$  TeV per nucleone) dal *Large Hadron Collider* (LHC) del CERN.

In questa linea di ricerca si inserisce l'attività descritta in questa tesi di dottorato, che affronta alcune tematiche specifiche dell'esperimento CERN NA57. Questo studia le collisioni su bersaglio fisso di nuclei di piombo (e, per confronto, di protoni) accelerati dall'SPS del CERN fino a  $160$  GeV/ $c$  per nucleone e misura, come segnale di QGP, la produzione di stranezza. Come conseguenza della transizione di fase è infatti atteso un incremento della produzione di particelle strane, ed in particolare di barioni ed anti-barioni multi-strani, rispetto alle normali interazioni adroniche.

Per individuare le condizioni limite oltre le quali può avvenire la transizione di fase, l'esperimento è pensato per studiare le collisioni Pb-Pb

1. su un'ampio intervallo di centralità, a partire dalle collisioni più centrali sino a quelle periferiche, per il 60% della sezione d'urto anelastica. In tal modo è possibile esplorare i limiti della transizione di fase in termini del volume iniziale coinvolto nella collisione.
2. in funzione dell'energia della collisione. L'esperimento ha quindi raccolto dati a  $160$  ed a  $40$  GeV/ $c$  per nucleone.

Come interazioni di riferimento, in cui non si attende la transizione di fase, si considerano:

- a  $160$  GeV/ $c$ , le collisioni p-Be e p-Pb raccolte dall'esperimento precursore WA97.
- a  $40$  GeV/ $c$ , le collisioni p-Be raccolte apposta da NA57.

La tesi è strutturata nel modo di seguito descritto.

Nel primo capitolo si presenta un'introduzione alla fisica delle collisioni tra ioni pesanti ultra-relativistici ed una panoramica sullo stato della ricerca di questo campo della fisica.

Nel secondo capitolo viene descritto l'esperimento NA57, soffermandosi in maniera particolare sull'apparato sperimentale utilizzato.

Segue, nel terzo capitolo, la descrizione delle procedure sviluppate per identificare le particelle strane studiate,  $K_S^0$ ,  $\Lambda$ ,  $\bar{\Lambda}$ ,  $\Xi^-$ ,  $\bar{\Xi}^+$ ,  $\Omega^-$  e  $\bar{\Omega}^+$ , isolandole dalla moltitudine di particelle prodotte nelle collisioni tra ioni di piombo (alcune migliaia).

Nel quarto capitolo si discute l'analisi dei segnali delle particelle strane selezionate come spiegato nel capitolo precedente. Si presenta prima uno studio volto a determinare con precisione la contaminazione del fondo residuo sotto i segnali di  $K_S^0$ ,  $\Lambda$  e  $\bar{\Lambda}$ ; vengono quindi affrontati i problemi relativi all'analisi dei segnali ottenuti, quali le correzioni per l'accettanza geometrica e per l'efficienza di ricostruzione, la determinazione della finestra di accettanza fiduciale delle diverse particelle, nonché la procedura di estrapolazione dei risultati ottenuti. In questo capitolo viene anche illustrato il metodo utilizzato per la determinazione della centralità della collisione.

Nel quinto capitolo si discutono i risultati ottenuti sulla produzione di particelle strane nelle collisioni nucleari all'energia dell'SPS, in particolare le distribuzioni di massa trasversa, i rapporti di produzione tra le varie specie ed i tassi assoluti di produzione in funzione della centralità e dell'energia della collisione.

Il sesto ed ultimo capitolo è dedicato allo studio della interferometria HBT tra particelle di carica negativa. L'analisi è condotta in funzione della centralità, a partire dai dati raccolti dall'esperimento WA97 in collisioni Pb-Pb a 160 GeV/c per nucleone. Da questo studio si ricava una descrizione della geometria della regione di collisione e della dinamica di espansione del sistema Pb-Pb a seguito della collisione.



# Capitolo 1

## Il plasma di quark e di gluoni nelle collisioni nucleari ultra-relativistiche

### 1.1 Introduzione

Tradizionalmente la *fisica delle alte energie* viene identificata con la *fisica delle particelle elementari*: l'approccio generalmente seguito è quello di descrivere le interazioni tra gli oggetti elementari, derivandone le caratteristiche da principi primi (le teorie di gauge). Dal punto di vista sperimentale, è conveniente considerare sistemi in interazione i più semplici possibile, preferibilmente collisioni tra leptoni (elettroni, neutrini) e/o, al più, adroni (pioni, protoni, etc.).

Nel dominio di più bassa energia, la fisica nucleare indaga sistemi molto più estesi (i nuclei, appunto), che sono dotati evidentemente di caratteristiche “globali”, ed usa pertanto un approccio necessariamente diverso, spesso di tipo fenomenologico e statistico-termodinamico.

L'evoluzione della fisica delle particelle si accompagna tradizionalmente alla possibilità di accelerare le particelle ad energie sempre più elevate, permettendo di raggiungere di volta in volta le soglie per la creazione di nuove particelle e per l'innescio di nuovi fenomeni.

A partire dalla seconda metà degli anni ottanta, con la possibilità di accelerare nuclei alle energie ultra-relativistiche (i.e.  $v \simeq c$ ) tipiche della moderna fisica delle particelle elementari, si è aperto un nuovo campo di indagine dello studio delle proprietà della materia nucleare, con particolare riferimento alle interazioni forti. Esso è a cavallo tra la fisica delle particelle e la fisica nucleare e si avvale quindi di metodi e concetti propri delle due discipline, unificando

in un certo senso l'approccio microscopico della fisica delle particelle e quello macroscopico della fisica nucleare. Si è quindi sviluppata una vera e propria “termodinamica di QCD”, dove stati complessi di molte particelle interagenti fortemente vengono descritti in termini di variabili quali la *temperatura*, la *densità*, l'*entropia*, il *potenziale chimico* e così via.

Perché una simile descrizione sia consistente è necessario che il sistema formatosi in seguito alla collisione tra i nuclei sia esteso, cioè di dimensioni molto maggiori della portata dell'interazione forte ( $\gg 1$  fm), riesca a raggiungere l'equilibrio termico, cioè la sua vita media ecceda i tempi tipici di rilassamento ( $\gg 1$  fm/c), e sia costituito da un numero molto elevato di particelle.

La normale materia nucleare è composta da nucleoni entro cui sono confinati i quark ed i gluoni. Nel seguito del capitolo si esporrà come la termodinamica di QCD ed opportuni modelli fenomenologici portino a prevedere una transizione di fase della materia nucleare verso uno stato di plasma di quark e gluoni (QGP) in corrispondenza di una temperatura critica  $T_c = 150 \div 200$  MeV o di una densità barionica di  $0.5 \div 1.5$  nucleoni/fm<sup>3</sup>. Saranno quindi descritte le proprietà del QGP e le modalità con cui si cerca di far avvenire la transizione di fase agli acceleratori di particelle di altissima energia. Seguirà una rassegna delle diverse segnature sperimentali attese a seguito della transizione di fase e saranno esposti alcuni dei risultati più recenti e promettenti prodotti dagli esperimenti coinvolti in questa attività di ricerca. Si darà particolare rilievo al segnale associato alla produzione di particelle strane ed alla correlazione di intensità, argomenti su cui verte questo lavoro di tesi.

## 1.2 Le particelle elementari e le interazioni fondamentali

Si ritiene oggi che tutta la materia di cui è composto l'universo sia costituita da pochi costituenti elementari. Questi costituenti elementari sono noti come particelle elementari e possono classificarsi in due categorie: i fermioni ed i bosoni.

La differenza tra le due famiglie risiede nello spin, cioè il momento angolare intrinseco di una particella, che è pari ad un multiplo semi-intero di  $\hbar$  per i fermioni, ad un multiplo intero di  $\hbar$  per i bosoni.

Le particelle elementari sono poi caratterizzate dal mondo in cui interagiscono tra loro. Quattro diverse interazioni fondamentali sono conosciute: l'elettromagnetica, la debole, la forte e la gravitazionale: le prime due sono riconducibili ad un'origine comune (“unificazione elettro-debole”). Vi sono forti presupposti per ritenere che le interazioni fondamentali possano essere correttamente descritte in termini di teorie di campo associate a particolari simmetrie di gauge locali [1]. Insieme ad altri aspetti, tali teorie godono della proprietà fondamentale di essere teorie rinormalizzabili: in virtù di tale proprietà, le predizioni di

queste teorie restano finite ad ogni ordine del calcolo perturbativo, pur introducendo solo un numero *finito* di parametri, quali ad esempio le masse delle particelle e le costanti di accoppiamento. Nel contesto delle teorie di campo di gauge quantistiche, i bosoni intervengono in quanto associati alle trasformazioni di simmetria che lasciano invariante la lagrangiana della teoria.

La teoria stessa viene costruita per descrivere una particolare interazione tra i fermioni. Per questo motivo, i bosoni sono spesso indicati come i “mediatori” dell’interazione tra i fermioni. Le interazioni fondamentali conosciute ed i bosoni ad esse associati sono elencati nella tabella 1.1

<b>Interazione</b>	<b>Bosoni vettori</b>	<b>Gruppo di gauge</b>
Elettromagnetica e Debole	$\gamma, Z^0, W^+, W^-$	$SU(2)_L \times U(1)_Y$
Forte	8 diversi gluoni	$SU(3)$
Gravitazionale	gravitone (?)	?

Tabella 1.1: Le interazioni fondamentali note e la loro descrizione in termini di teorie di campo di gauge quantistiche.

Non tutti i fermioni possono interagire mediante ciascuna delle quattro interazioni fondamentali. Vi sono infatti due famiglie di fermioni: i quark ed i leptoni. I primi interagiscono per mezzo di tutte le forze conosciute, mentre i secondi non risentono della forza forte. Sia i quark che i leptoni si presentano in tre generazioni di coppie, come indicato nella tabella 1.2.

<b>Generazione</b>	I	II	III
<b>Fermioni</b>			
Quark	u d	c s	t b
Leptoni	e $\nu_e$	$\mu$ $\nu_\mu$	$\tau$ $\nu_\tau$

Tabella 1.2: I fermioni elementari suddivisi per generazione.

Ad ogni fermione conosciuto, quark o leptone, corrisponde poi un anti-fermione caratterizzato da numeri quantici opposti e stessa massa.

### 1.2.1 L’interazione elettro-debole

La forza elettromagnetica viene descritta dalla *Elettrodinamica Quantistica* (QED) che assume il gruppo abeliano  $U(1)$  come gruppo di invarianza di gauge. Maggiori difficoltà

si incontrano nel descrivere in modo completo la sola forza debole. Negli anni sessanta Glashow, Weinberg and Salam capirono che la forza debole può trovare una descrizione completa solo all'interno di una teoria più generale, che racchiuda anche l'interazione elettromagnetica. La forza elettromagnetica e la forza debole sono state “unificate” nell'ambito di un'unica teoria di gauge, la teoria elettrodebole, che le descrive entrambe. Tale teoria assume come gruppo di simmetria il gruppo di gauge  $SU(2)_L \times U(1)_Y$  [2]. Nella teoria, le particelle sono inizialmente prive di massa in quanto si assume una perfetta simmetria di gauge. I fermioni ed i bosoni acquisiscono le loro masse attraverso il *meccanismo di Higgs* di rottura spontanea della simmetria di gauge locale [1]. Nella sua formulazione più semplice (*modello minimale*), il meccanismo prevede un solo bosone di Goldstone, noto in tal caso come particella di Higgs, senza spin e dotato di massa. Le uniche particelle della teoria che restano prive di massa sono i fotoni ed i neutrini. La teoria può essere estesa in modo tale che anche i neutrini abbiano una massa non nulla (modelli non minimali), come sembrano suggerire i più recenti esperimenti che studiano queste particelle [3].

Col meccanismo di Higgs, si conserva la proprietà di rinormalizzabilità della teoria, in quanto la rottura della simmetria è di tipo *spontaneo*, nel senso che riguarda solo lo stato di minima energia e non la lagrangiana della teoria. Considerando tutti i possibili stati di minima energia in cui l'universo si può disporre, si riguadagna la completa simmetria di gauge.

### 1.2.2 L'interazione forte

La teoria che descrive le interazioni forti prende il nome di *CromoDinamica Quantistica* (QCD). Così come nella QED la *carica elettrica* è l'osservabile fisica che si conserva in virtù della invarianza della lagrangiana di QED per trasformazioni del gruppo  $U(1)$ , così nella QCD vi è una *carica di colore* associata alla invarianza della lagrangiana di QCD per trasformazioni del gruppo  $SU(3)$ . Più precisamente, il numero di cariche conservate è pari all'ordine del gruppo di simmetria ed il numero di bosoni di gauge è pari al numero di generatori del gruppo.

Al gruppo di ordine uno  $U(1)$ , generato da un unico operatore (di rotazione), corrisponde dunque un'unica carica conservata (la carica elettrica) ed un unico bosone di gauge (il fotone).

Il gruppo  $SU(3)$  è di ordine tre e dispone di otto generatori: vi sono pertanto tre diversi tipi di carica di colore (la carica rossa, la carica blu e la carica verde), ed otto bosoni di gauge (i gluoni), mediatori dell'interazione di colore tra i quark.

La caratteristica peculiare del gruppo di simmetria  $SU(3)$  associato all'interazione forte è quella di essere un gruppo non-abeliano. Di conseguenza nella lagrangiana di QCD è presente un termine di auto-interazione tra i campi gluonici: in altri termini, i gluoni, a differenza del fotone che non è carico elettricamente, possiedono una carica di colore, per cui possono interagire tra loro, oltre che con i quarks. La lagrangiana finale di QCD, per uno solo dei sei quark, assume infatti la seguente espressione:

$$\mathcal{L} = \bar{q}(i\gamma^\mu\partial_\mu - m)q - g(\bar{q}\gamma^\mu T_a q)G_\mu^a - \frac{1}{4}G_{\mu\nu}^a G_{a\mu\nu} \quad (1.1)$$

dove  $q = (q_R, q_B, q_V)$  è il campo dei quark nei tre possibili colori,  $G_\mu^a$  è il campo gluonico ( $a = 1, 2, \dots, 8$ ),  $G_{\mu\nu}^a$  una combinazione di campi gluonici data da  $G_{\mu\nu}^a = \partial_\mu G_\nu^a - \partial_\nu G_\mu^a - gf_{abc}G_\mu^b G_\nu^c$ ,  $g$  è la costante di accoppiamento forte,  $T_a$  sono matrici hermitiane  $3 \times 3$  ed  $f$  sono le costanti di struttura del gruppo (reali e completamente anti-simmetriche) tali che  $[T_a, T_b] = if_{abc}T_c$ . Quanto detto diventa più evidente se si riscrive la lagrangiana dell'eq. 1.1 nella forma simbolica più semplice

$$\mathcal{L} = \text{“}\bar{q}q\text{”} + \text{“}G^2\text{”} + g \text{“}\bar{q}qG\text{”} + g \text{“}G^3\text{”} + g^2 \text{“}G^4\text{”}$$

in cui compaiono solo i campi dei quark e dei gluoni. Ciascuno dei cinque termini della espressione precedente può essere rappresentato da un diagramma di Feynman elementare, come schematizzato nella fig. 1.1. I primi tre termini di questa espressione descrivono rispettivamente la propagazione libera dei quark e dei gluoni e l'interazione quark-gluone; essi hanno un corrispettivo in QED con il fotone al posto del gluone. I due termini rimanenti comportano la presenza di vertici a tre od a quattro gluoni nella QCD e riflettono il fatto che i gluoni stessi sono portatori di carica di colore. Essi non hanno un corrispettivo in QED e provengono dalla natura non abeliana del gruppo di gauge. È importante ricordare

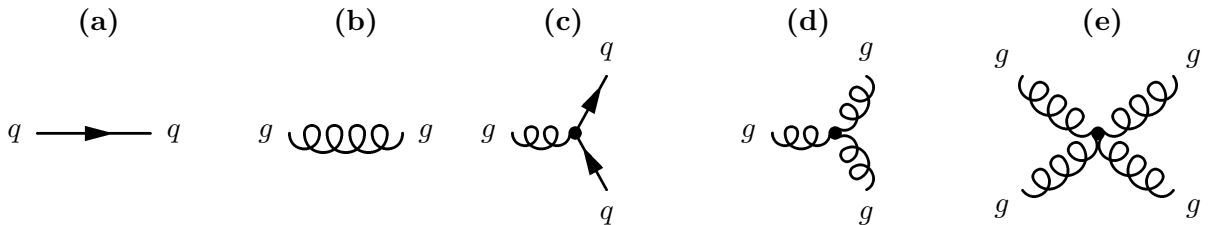


Figura 1.1: Schema simbolico dei diversi termini della lagrangiana di QCD. **a)** **[b)]** Termine quadratico nel campo dei quark [gluoni], che descrive la loro propagazione. **c)** Termine, quadratico nel campo dei quark e lineare nel campo gluonico, che descrive i vertici di interazione dei quark. **d)** **[e)]** Termine cubico [quartico] nel campo gluonico, che descrive i vertici di interazione a tre [quattro] gluoni.

che l'invarianza di gauge determina in modo univoco la struttura di questi termini di auto-accoppiamento per i gluoni e che vi è un'unica costante di accoppiamento  $g$ .

L'insieme delle teorie cui qui si è rapidamente accennato è conosciuto come il *Modello Standard* delle interazioni elettro-deboli e forti. Le osservazioni sperimentali hanno sinora confermato le predizioni del Modello Standard ad un livello di precisione dell'ordine dello 0.1% [4]. La teoria si basa su diciotto parametri liberi e prevede l'esistenza di una particella, il bosone di Higgs, ancora da verificare.

### 1.2.3 Le costanti di accoppiamento in QED ed in QCD

La possibilità dell'accoppiamento tra gluoni si manifesta in un diverso andamento della costante di accoppiamento effettiva di QCD rispetto a quello caratteristico della QED, come mostrato in fig. 1.2. Una carica elettrica posta nel vuoto di QED emette e riassorbe continuamente fotoni virtuali, i quali possono produrre temporaneamente coppie  $e^+e^-$  che hanno l'effetto di schermare la carica originariamente presente. Infatti, delle coppie  $e^+e^-$  che "circondano" l'elettrone libero, i positroni gli sono, in media, più vicini; l'elettrone è quindi circondato da una nube di carica elettrica polarizzata in modo tale che le cariche positive siano preferenzialmente più vicine; la carica negativa di un elettrone è dunque schermata dalla polarizzazione del vuoto di QED. L'effetto di schermaggio, simile al fenomeno di polarizzazione di un dielettrico, si manifesta in una decrescita della costante di accoppiamento di QED al crescere della distanza dalla carica originaria o, equivalentemente, al decrescere del momento trasferito nelle interazioni. Considerando i primi due ordini dello sviluppo perturbativo, la dipendenza della costante di accoppiamento di QED dall'impulso trasferito  $q$  (più precisamente da  $Q^2 = -q^2$ ) è fornita dalla seguente espressione, valida ad elevati impulsi trasferiti:

$$\alpha(Q^2) = \frac{\alpha(\mu^2)}{1 - \frac{\alpha(\mu^2)}{3\pi} \ln\left(\frac{Q^2}{\mu^2}\right)} \quad (1.2)$$

dove  $\alpha(\mu^2)$  è il valore della costante di accoppiamento al valore di riferimento  $Q^2 = \mu^2$ .

In maniera analoga, un quark posto nel vuoto di QCD emette e riassorbe continuamente gluoni i quali, però, possono produrre temporaneamente anche coppie  $gg$ , oltre che coppie  $q\bar{q}$ , in virtù della loro auto-interazione. Poiché la probabilità di occorrenza dei vertici gluonici è maggiore di quella tra quark, il contributo dominante delle coppie  $gg$  produrrà, nello spazio circostante, una distribuzione della carica di colore originariamente posseduta dal quark, secondo un effetto di anti-schermaggio. La costante di accoppiamento di QCD

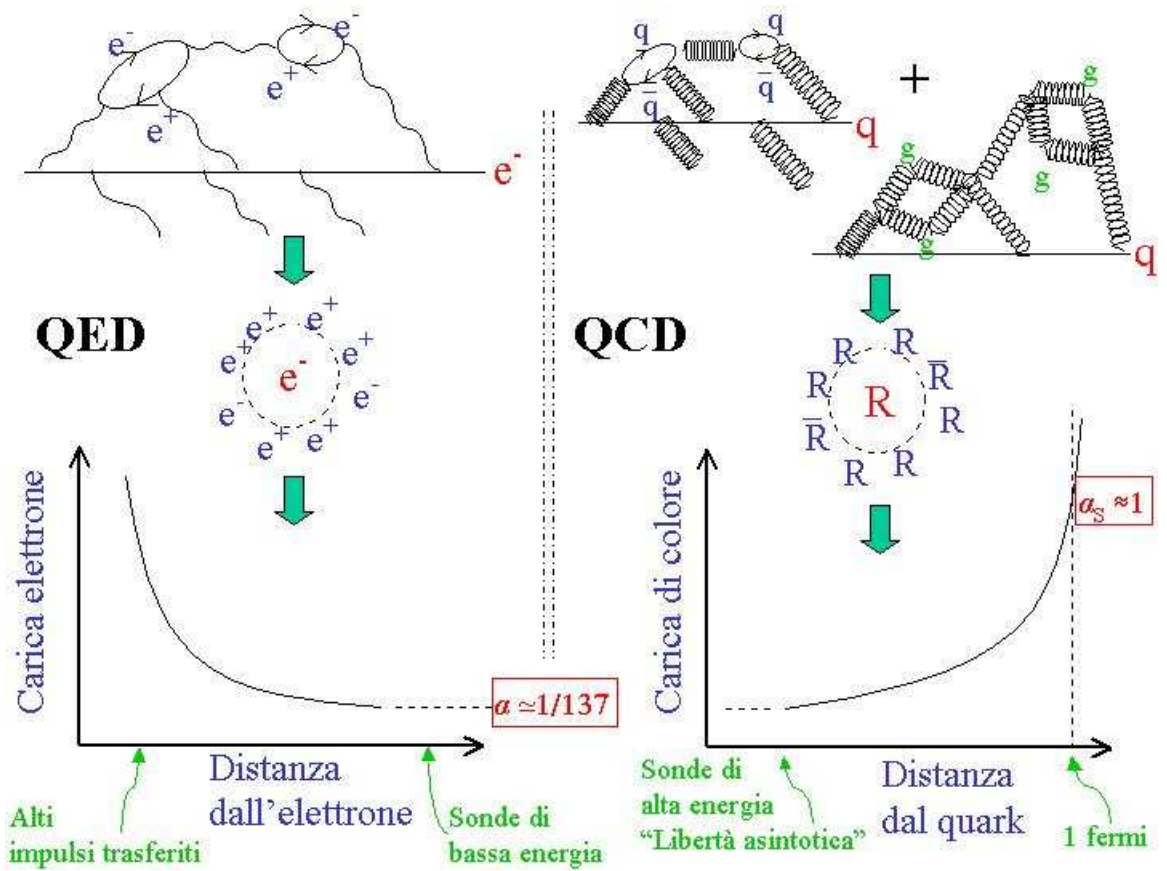


Figura 1.2: Effetti dello schermaggio della carica elettrica (sinistra) e della carica di colore (a destra) nel vuoto della teoria di campo quantistica.

assume infatti la seguente espressione:

$$\alpha_s(Q^2) = \frac{12\pi}{(33 - 2N_f) \ln(\frac{Q^2}{\Lambda^2})} \quad (1.3)$$

dove  $N_f$  indica il numero di tipi di quark (“*flavour*”) e  $\Lambda$  è il parametro di scala della QCD, esprimibile come in QED in termini del valore di riferimento di  $\alpha_s$  ad un dato valore del momento trasferito,  $\Lambda^2 = \mu^2 \exp[\frac{-12\pi}{(33-2N_f)\alpha_s(\mu^2)}]$ .

La costante di accoppiamento  $\alpha_s$  decresce al crescere di  $Q^2$ , purché il numero di quark resti inferiore a sedici. Per valori di  $Q^2$  molto più grandi di  $\Lambda^2$ ,  $\alpha_s$  è dunque piccola e la descrizione perturbativa in termini di quark e gluoni in debole interazione ha senso. Pertanto, per interazioni a “breve distanza” risulta  $\alpha_s \ll 1$  e si parla in tal caso di “libertà

asintotica” dei quark.

L’evidenza sperimentale di tale proprietà è stata ottenuta attraverso esperimenti di urti altamente anelastici leptone-nucleone, nei quali la misura dell’impulso del leptone prima e dopo la collisione permette di sondare le distribuzioni di impulso dei quark e dei gluoni all’interno dei nucleoni. Si è così verificato che per grandi impulsi trasferiti, i quark all’interno degli adroni possono essere considerati pressoché liberi.

Per piccoli impulsi trasferiti (per valori di  $Q^2$  dell’ordine di  $\Lambda^2$ ), od equivalentemente per distanze di interazione superiori ad un fermi, la costante di accoppiamento diventa grande e lo sviluppo perturbativo, basato sull’espansione in serie di potenze della costante di accoppiamento, non è più applicabile. L’interazione forte tra due cariche di ugual colore diventa dunque tanto più intensa quanto più grande è la loro separazione. A causa dell’interazione dei gluoni tra loro, le linee di forza associate al campo di colore della coppia  $q\bar{q}$  sono concentrate entro un tubo di flusso, come mostrato nella fig. 1.3. Al contrario, per un dipolo elettrico  $e^+ e^-$  nulla vieta alle linee di forza di occupare tutto lo spazio circostante, in quanto i fotoni, non interagendo tra loro, non sono in grado di contenere le linee di campo entro una regione confinata dello spazio.

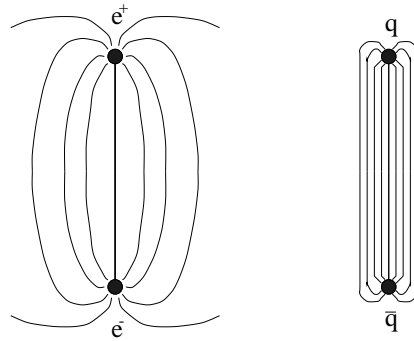


Figura 1.3: Linee di campo elettrico per il sistema  $e^+ e^-$  e linee di campo di colore per la coppia  $q\bar{q}$ .

Se si assegna al tubo delle linee di colore una densità di energia lineare costante, l’energia potenziale tra un quark ed un anti-quark aumenta linearmente con la distanza,  $V(r) \sim \lambda r$ , per  $r \gtrsim 1$  fm. Volendo separare una coppia  $q\bar{q}$ , si può pensare di allontanare il quark dall’anti-quark; in tale processo le linee di colore si allungano e l’energia potenziale aumenta sino a quando non diventa più conveniente, da un punto di vista energetico, la formazione di una nuova coppia  $q\bar{q}$  piuttosto che un ulteriore allontanamento. La coppia  $q\bar{q}$  prodotta funge da nuovi terminali, pozzo e sorgente, delle linee di forza, che così si spezzano in due

nuovi più piccoli tubi, come mostrato in fig. 1.4.

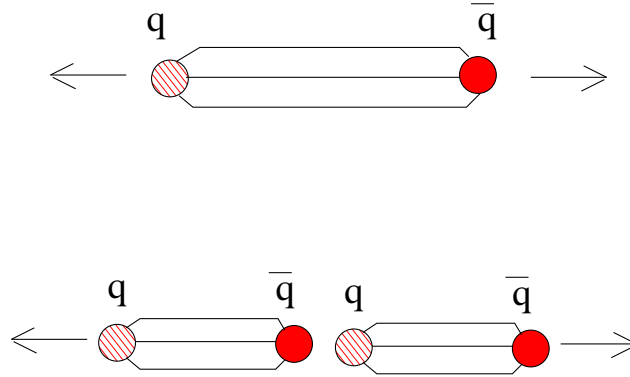


Figura 1.4: Formazione di una nuova coppia  $q\bar{q}$  per separazione di un quark da un anti-quark.

Questo comportamento a piccoli momenti trasferiti è indicato col termine di “schiavitù infrarossa” e si osserva, da un punto di vista sperimentale, ad esempio nel processo  $e^+e^- \rightarrow q\bar{q}$ , in cui il quark e l’antiquark non si manifestano mai singolarmente, ma adronizzano dando luogo ad una tipica segnatura sperimentale caratterizzata da due getti di adroni formanti tra loro, nel sistema centro di massa della collisione, un angolo piatto. Da un punto di vista sperimentale i quark sono pertanto *confinati* entro gli adroni, che presentano una carica di colore totale nulla, non manifestandosi singolarmente.

Considerando il comportamento sia a breve che a lunga distanza, il potenziale effettivo del sistema  $q\bar{q}$  si può esprimere come  $V_{QCD}(r) = -\frac{4}{3}\frac{\alpha_s}{r} + \lambda r$  dove il primo termine domina per piccole distanze ( $r \ll 1$  fm, *libertà asintotica*) ed il secondo a grandi distanze ( $r \gtrsim 1$  fm, *schiavitù infrarossa*). Il potenziale di QED per il positronio (coppia  $e^+ e^-$ ) dispone invece del solo primo termine,  $V_{em} = -\frac{\alpha}{r}$ .

### 1.3 La transizione di fase di QCD

Nel paragrafo precedente si è descritto come, da un punto di vista sperimentale, i quark ed i gluoni risultino confinati entro gli adroni, per la natura non abeliana dell’interazione forte. In questa sezione si vedrà come tanto la termodinamica statistica di QCD quanto i modelli fenomenologici prevedano la possibilità per sistemi estesi di materia nucleare di una transizione verso una fase deconfinata, il plasma di quark e gluoni.

### 1.3.1 Il modello fenomenologico dell' M.I.T.

I modelli fenomenologici forniscono a volte buone indicazioni sul comportamento di sistemi di molte particelle e possono fornire delle stime sulle variabili termodinamiche. Essi si basano su alcune assunzioni fisiche semplificatrici ed hanno il vantaggio di evitare laboriosi calcoli numerici, che costituiscono spesso il vero limite della QCD su reticolo (*cfr.* paragrafo 1.3.4). Si considera, in questo paragrafo, uno dei primi modelli proposti per descrivere sistemi estesi di materia nucleare, noto come “modello a *bag*” e sviluppato dall’M.I.T. negli anni settanta [5], che fornisce una equazione di stato approssimata del QGP.

Nel modello si assume che i quark abbiano massa nulla all’interno degli adroni, o meglio delle *bag* (“sacchetti”), mentre assumono massa infinita al di fuori di esse. La semplice ipotesi fenomenologica che giustifica il confinamento dei quark negli adroni prevede che il moto termico dei quark venga bilanciato da una pressione di *bag*  $B$ , diretta verso l’interno. Nel modello, considerando  $N$  quark di spin  $1/2$ , senza massa e non interagenti, contenuti entro una cavità sferica di raggio  $R$ , si calcola la seguente espressione per l’energia del sistema:

$$E = \frac{2.04N}{R} + \frac{4\pi}{3}R^3B.$$

Il valore di equilibrio del raggio  $R$  si ricava imponendo  $dE/dR = 0$ , in corrispondenza del quale è possibile stimare la pressione  $B$ :

$$B^{1/4} = \left( \frac{2.04N}{4\pi} \right)^{1/4} \frac{1}{R}.$$

Assumendo come raggio di confinamento  $R = 0.8$  fm per un sistema di 3 quark all’interno di un barione, si ottiene la costante di pressione di *bag*  $B^{1/4} = 205$  MeV. La spettroscopia adronica fornisce per  $B^{1/4}$  valori compresi tra 145 MeV [6] e 235 MeV [7].

Poiché la carica di colore totale all’interno di una *bag* deve risultare nulla, in virtù della legge di Gauss per il flusso, e poiché vi sono tre possibili cariche di colore, il modello prevede che tra le *bag* adroniche permesse vi siano gli stati  $qqq$  (barioni) e  $q\bar{q}$  (mesoni), neutri dal punto di vista della carica di colore.

All’interno del modello è possibile prevedere anche l’esistenza di uno stato in equilibrio in cui, in una *bag*, un numero elevato di quark e gluoni siano liberi e deconfinati ( $\rightarrow$  plasma). La densità di energia e la pressione assumono la seguente espressione in termini della temperatura e del potenziale chimico<sup>1</sup>:

$$\epsilon = \epsilon_g(T, \mu) + \epsilon_q(T, \mu) + \epsilon_{\bar{q}}(T, \mu) + B \quad (1.4a)$$

---

<sup>1</sup>Il potenziale chimico barionico  $\mu_B$  (o del quark/antiquark di dato flavour  $f$ ,  $\mu_f$ ) è pari all’energia minima necessaria per aggiungere un barione (un quark/antiquark) al sistema. Gli anti-quark (anti-barioni) hanno potenziale chimico opposto a quello dei quark (barioni), ed il valore del potenziale chimico è differente al variare del flavour del quark considerato.

$$P = P_g(T, \mu) + P_q(T, \mu) + P_{\bar{q}}(T, \mu) - B \quad (1.4b)$$

dove  $g$ ,  $q$  e  $\bar{q}$  indicano, rispettivamente, i contributi dovuti al moto dei gluoni, dei quark e degli anti-quark e  $B$  è la pressione di *bag*. Il segno negativo per  $B$  nell'eq. 1.4b riflette l'instabilità del vuoto entro la *bag*, che collassa se non è sostenuta dalla pressione dei costituenti al suo interno. Un limite inferiore per l'esistenza dello stato deconfinato è quindi ottenibile ponendo  $P = 0$  nell'eq. 1.4b. I valori critici di temperatura e potenziale chimico in corrispondenza dei quali ha luogo la transizione di fase si possono quindi ottenere a partire dall'equazione:

$$P_g(T, \mu) + P_q(T, \mu) + P_{\bar{q}}(T, \mu) = B \quad (1.5)$$

Nell'ipotesi che le interazioni tra i costituenti del plasma siano trascurabili, e che le masse siano nulle, le densità di energie per le diverse componenti valgono:

$$\epsilon_g = n_g \int \frac{d^3p}{(2\pi)^3} \cdot p \left( \frac{1}{e^{p/T} - 1} \right) = n_g \frac{\pi^2}{30} T^4 \quad (1.6a)$$

$$\begin{aligned} \epsilon_q + \epsilon_{\bar{q}} = n_q \sum_f \int \frac{d^3p}{(2\pi)^3} \cdot p \left( \frac{1}{e^{(p-\mu_f)/T} + 1} + \frac{1}{e^{(p+\mu_f)/T} + 1} \right) = \\ n_q \sum_f \left( \frac{7\pi^2}{120} T^4 + \frac{1}{4} \mu_f^2 T^2 + \frac{1}{8\pi^2} \mu_f^4 \right) \end{aligned} \quad (1.6b)$$

dove  $n_g = 8 \times 2$  ed  $n_q = 3 \times 2$  sono il numero di gradi di libertà dei gluoni e dei quark, la cui massa possa esser trascurata rispetto all'energia termica del sistema (8 gluoni ciascuno con 2 stati di elicità, i 3 stati di colore con 2 stati di spin per ogni quark ed antiquark di *flavour*  $f$ ). L'equazione di stato del sistema (eq. 1.4a) diventa dunque:

$$\epsilon = \frac{8}{15} \pi^2 T^4 + 3 \sum_f \left( \frac{7}{60} \pi^2 T^4 + \frac{1}{2} \mu_f^2 T^2 + \frac{1}{4\pi^2} \mu_f^4 \right) + B \quad (1.7)$$

e, poiché per particelle di massa nulla  $\epsilon = 3P$  è anch'esso nullo, la relazione di stabilità 1.5, nel limite inferiore di pressione nulla, si riscrive come:

$$\frac{8}{45} \pi^2 T^4 + \sum_f \left( \frac{7}{60} \pi^2 T^4 + \frac{1}{2} \mu_f^2 T^2 + \frac{1}{4\pi^2} \mu_f^4 \right) = B. \quad (1.8)$$

Si ottiene dunque una relazione tra  $\mu$  e  $T$  che fornisce tutti i possibili valori critici per la transizione di fase dallo stato confinato a quello deconfinato. Per valori di  $(\mu, T)$  superiori a quelli critici  $(\mu_c, T_c)$  i quark ed i gluoni possono esistere nella fase di plasma, mentre per valori inferiori ciò non è possibile e la materia nucleare si trova confinata entro *bag* contenenti coppie  $q\bar{q}$  (mesoni) o tripletti  $qqq$  (barioni).

### 1.3.2 Il diagramma di fase della materia nucleare

In fig. 1.5.a è mostrato schematicamente il diagramma di fase della materia nucleare nel piano  $(\mu_B, T)$ , dove  $T$  è la temperatura del sistema e  $\mu_B$  il potenziale chimico barionico<sup>2</sup>, parametro che regola la densità barionica del sistema. A bassi valori di temperatura e di potenziale chimico barionico la materia si trova nello stato confinato (stato adronico), le elevate temperature e/o gli elevati potenziali chimici barionici corrispondono invece alla fase deconfinata del plasma. In particolare, a basse temperature e per  $\mu_B \simeq 1$  si trova la materia nucleare stabile. Aumentando l'energia del sistema, per *compressione* o per *riscaldamento*, si raggiunge una fase in cui i nucleoni interagiscono anelasticamente. In questa fase, chiamata *gas adronico*, si trovano all'equilibrio termico anche specie adroniche non originariamente presenti nel nucleo, ad esempio pioni o stati eccitati del nucleone, quali la  $\Delta$ . Riscaldando o comprimendo ulteriormente il sistema, la densità di partoni aumenta fino al punto che il concetto di appartenenza di un quark ad un adrone perde senso (fig. 1.5.b). In queste condizioni la materia nucleare non è più confinata e si ha il passaggio alla fase di plasma. È utile sottolineare come sia possibile oltrepassare, nel piano  $(\mu, T)$ , la curva critica data dall'eq. 1.8 o *riscaldando* il sistema ( $T$  elevato) o *comprimendolo* ( $\mu$  elevato): nel primo caso, la pressione dei costituenti del plasma, necessaria per bilanciare la pressione del vuoto  $B$ , è fornita dal moto di agitazione termica, nel secondo proviene dalla degenerazione delle diverse componenti fermioniche del gas.

Sono stati individuati almeno due sistemi in cui vi sono ottimi presupposti per ritenere che la materia nucleare si sia trovata o si trovi nella fase deconfinata di QGP. Il primo sistema è costituito dall'intero universo nei suoi primi istanti di vita, dopo circa  $10^{-5}$  sec dal *Big Bang*; in tal caso si pensa che la materia nucleare si trovasse in uno stato di QGP caratterizzato da una densità barionica pressoché nulla e da una elevatissima temperatura; la transizione verso la fase confinata è quindi avvenuta per raffreddamento a seguito dell'espansione dell'universo. Lo studio di transizioni con caratteristiche simili, cioè prodotte per intenso riscaldamento della materia nucleare a bassa densità barionica, assume estrema importanza in vari aspetti della Cosmologia, in particolare per quanto riguarda la nucleosintesi, la materia oscura e la struttura a larga scala dell'universo [8].

Il secondo sistema, in tal caso di rilevanza astrofisica, è costituito dalle stelle di neutroni, formatesi in seguito all'esplosione di una *supernova*. La transizione evolve in tal caso nell'altra direzione, dallo stato adronico verso quello di QGP, a bassa temperatura, e come conseguenza della compressione cui è sottoposta la regione più interna di una stella di neutroni dopo il suo collasso gravitazionale. L'interno delle stelle di neutroni potrebbe

---

<sup>2</sup>Vedi nota 1.

dunque essere costituito da un plasma freddo di quark e gluoni ad elevata densità barionica (e quindi con prevalenza di quark  $u$  e  $d$ , preesistenti dalla fase adronica). Surge ulteriore interesse in tale sistema, in quanto la dinamica delle esplosioni di supernova, ed in particolare le instabilità di tipo idrodinamico, dipendono dalla compressibilità, e quindi dall'equazione di stato della materia nucleare [9].

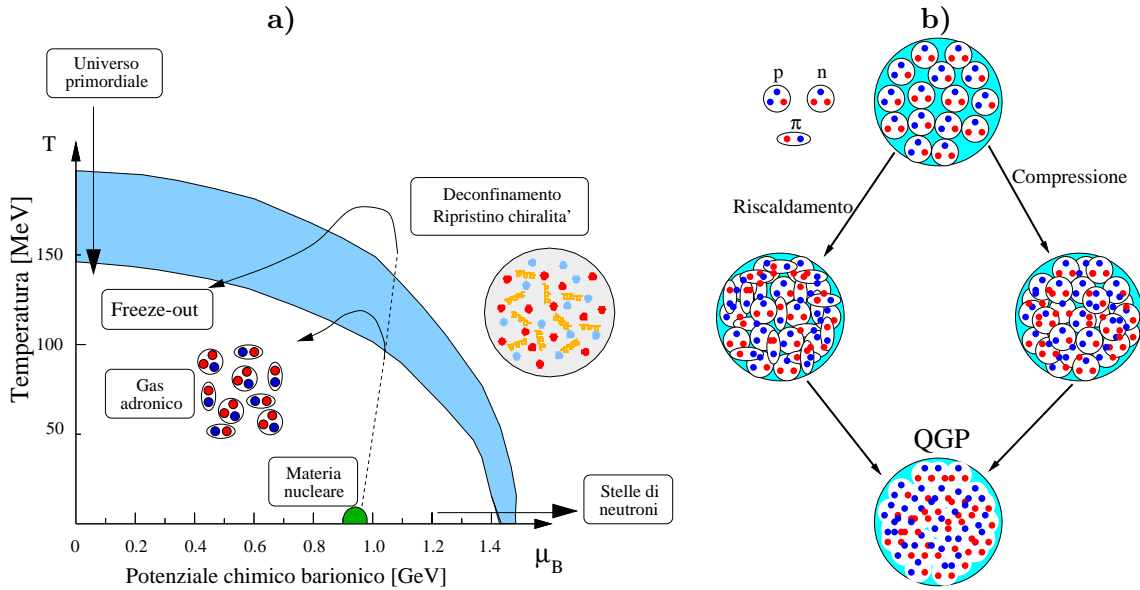


Figura 1.5: **a)** Diagramma di fase della materia nucleare. Le tre frecce indicano l'evoluzione seguita dall'universo dopo il *Big Bang*, dai nuclei pesanti che collidono agli acceleratori, da una *supernova* che esplose diventando una stella di neutroni. **b)** Condizioni favorevoli per la formazione del QGP. Con il *riscaldamento*, il contenuto barionico non aumenta, ma la densità di quark è incrementata dalla produzione di mesoni. Con la *compressione*, aumenta la densità barionica e, di conseguenza, il potenziale chimico barionico.

Le evoluzioni delle due transizioni, qui sommariamente descritte, sono rappresentate in fig. 1.5.a da due frecce il cui verso indica l'evoluzione temporale del sistema, durante la transizione.

Nella fig. 1.5.a è anche schematizzata la transizione di fase cui si spera di sottoporre la materia costituente i nuclei ultra-relativistici che collidono agli acceleratori di particelle. In tal caso si ha inizialmente materia nucleare che, in seguito all'energia rilasciata nell'urto, si ritrova nello stato di QGP per quindi descrivere la transizione nuovamente verso la fase adronica, dove si trovava prima dell'urto. La transizione dal QGP verso il gas adronico è conseguenza in tal caso sia del raffreddamento che della decompressione (con diminuzione

della densità barionica, cui corrisponde una diminuzione del potenziale chimico barionico). Come si esporrà nei prossimi paragrafi, le transizioni attese alle energie dei collisionatori RHIC ed LHC hanno caratteristiche che più si avvicinano a quelle della transizione dell'universo primordiale, essendo caratterizzate da elevati valori di temperatura e basse densità barioniche. Il tipo di transizione che si ritiene di raggiungere agli acceleratori SPS ed AGS, è invece più prossimo alla transizione delle stelle di neutroni, con densità barionica più elevata e temperatura inferiore alle precedenti.

La densità barionica della materia nucleare è legata al valore del potenziale chimico  $\mu$  dalla relazione:

$$\rho_B = \frac{1}{3}(N_q - N_{\bar{q}}) = \frac{n_q}{3} \sum_f \int \frac{d^3p}{(2\pi)^3} \cdot \left( \frac{1}{e^{(p-\mu_f)/T} + 1} - \frac{1}{e^{(p+\mu_f)/T} + 1} \right) \quad (1.9)$$

dove  $N_q$  ed  $N_{\bar{q}}$  sono, rispettivamente, le densità di quark ed anti-quark del sistema,  $n_q = 3 \cdot 2$  è pari al numero di degenerazione per la carica di colore e per lo spin e la sommatoria sui *flavour* può essere estesa al solo numero di quark la cui massa sia trascurabile rispetto allo stato termico del sistema (tipicamente  $u$  e  $d$ ; eventualmente anche  $s$ ). Calcolando gli integrali, l'eq. 1.9 diventa:

$$\rho_B = \sum_f \left( \frac{\mu_f}{3} T^2 + \frac{\mu_f^3}{3\pi^2} \right) \quad (1.10)$$

A partire dalle equazioni 1.8 e 1.10 è possibile stimare in termini di densità barionica e temperatura i valori critici per la transizione di fase. Nel caso di formazione di QGP per sola compressione, cioè per  $T = 0$ , il valore critico di densità barionica risulta pari a  $0.5 \div 1.5$  nucleoni/fm<sup>3</sup>, cioè da 5 a 10 volte superiore alla normale densità barionica della materia nucleare ( $\rho_B = 0.14$  nucleoni/fm<sup>3</sup>).

### 1.3.3 Collisioni nucleari ultra-relativistiche

#### Caratteristiche generali

Ad energie ultra-relativistiche, le lunghezze d'onda di *De Broglie* del nucleo e dei nucleoni sono molto piccole rispetto alle tipiche dimensioni nucleari; quindi gli ioni pesanti, ed i nucleoni che li costituiscono, si comportano, con ottima approssimazione, come particelle classiche. Inoltre, poiché il raggio d'azione dell'interazione tra nucleoni ( $1 \div 2$  fm) è più piccolo rispetto alla dimensione dei nuclei, semplici modelli geometrici permettono di fornire una buona descrizione nel calcolo di grandezze legate alla centralità di una collisione.

Le collisioni tra i nuclei possono quindi essere caratterizzate dal parametro di impatto  $\mathbf{b}$ , che è definito come il vettore congiungente i centri dei due nuclei incidenti nel piano trasverso

all'asse di collisione. Poiché normalmente il bersaglio ed il proiettile non sono né deformati né polarizzati, la centralità della collisione è determinata dal modulo del parametro di impatto,  $b = |\mathbf{b}|$ . Le collisioni più centrali hanno dunque  $b \simeq 0$  e quelle più periferiche  $b \simeq R_{proiet} + R_{bers}$ . Come mostrato in fig. 1.6, solo i nucleoni che si trovano nella regione di sovrapposizione geometrica dei nuclei possono interagire nella collisione; essi vengono pertanto chiamati nucleoni *partecipanti* alla collisione. Gli altri nucleoni continuano invece

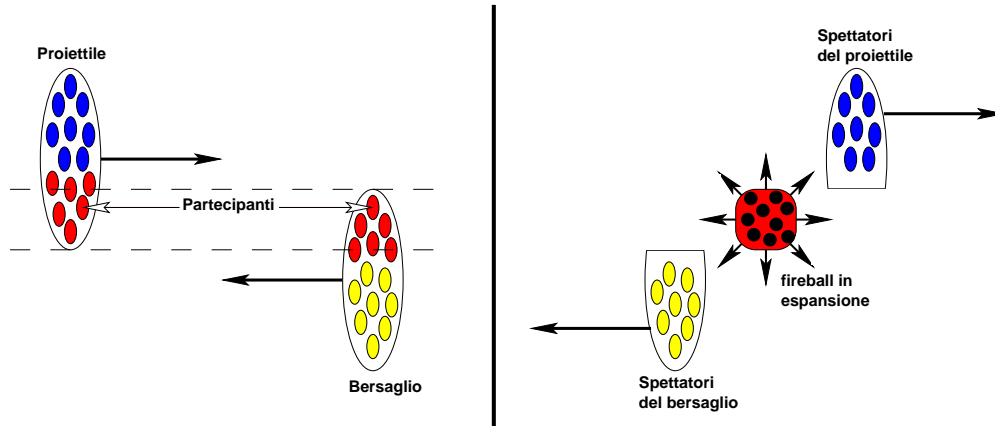


Figura 1.6: Schema di una collisione tra due nuclei nel sistema di riferimento del centro di massa. A sinistra è mostrata la situazione prima della collisione; dopo la collisione (a destra) i nucleoni spettatori del proiettile e del bersaglio continuano il loro moto sostanzialmente imperturbati, mentre i partecipanti formano un sistema fortemente eccitato chiamato *fireball*.

lungo la loro traiettoria senza subire interazioni e vengono quindi indicati come *spettatori* della collisione.

Nelle collisioni centrali, in cui il numero di *spettatori* viene minimizzato, risulta maggiore il trasferimento dell'originale energia longitudinale in energia di eccitazione della materia nucleare interagente, e quindi più favorevoli le condizioni per la transizione di fase nel QGP. Come si esporrà nei prossimi paragrafi, la selezione degli urti centrali avviene misurando osservabili fisiche correlate (o anti-correlate) al numero di *partecipanti* ed alla densità di energia raggiunta nella regione centrale, quali la molteplicità di particelle secondarie prodotte e l'energia emessa in direzione trasversa (o l'energia residua misurata in avanti lungo la linea di fascio).

Per parametrizzare il moto delle particelle nella direzione longitudinale conviene introdurre la variabile adimensionale *rapidità*, definita a partire dall'energia  $E$  e dall'impulso

longitudinale  $p_L$  di una particella:

$$y = \frac{1}{2} \ln \frac{E + p_L}{E - p_L}. \quad (1.11)$$

Il vantaggio di tale variabile cinematica risiede nella sua proprietà di trasformarsi in maniera additiva per “*boost*” di Lorentz longitudinali:

$$y = y' + y_{\Sigma'},$$

dove  $y'$  è la rapidità della particella nel sistema  $\Sigma'$  che si muove con rapidità  $y_{\Sigma'}$  lungo l'asse longitudinale del sistema  $\Sigma$ . Gli *intervalli* di rapidità sono quindi invarianti per tali trasformazioni del sistema di riferimento, e le distribuzioni di rapidità assumono la stessa forma sia nel sistema laboratorio che in quello del centro di massa (CMS), venendo solo traslate della quantità

$$y_{CM} = \frac{1}{2} \ln \frac{1 + \beta_{CM}}{1 - \beta_{CM}} \simeq \ln 2\gamma_{CM},$$

dove  $\beta_{CM}$  e  $\gamma_{CM}$  sono, rispettivamente, la velocità ed il fattore di Lorentz del sistema centro di massa rispetto al sistema laboratorio. Nel limite ultra-relativistico ( $E \gg m$ ), la rapidità può essere approssimata dalla pseudo-rapidità

$$\eta = \frac{1}{2} \ln \frac{p + p_L}{p - p_L} = -\ln[\tan(\theta/2)], \quad (1.12)$$

dove  $\theta$  è l'angolo tra l'impulso della particella  $\mathbf{p}$  e l'asse del fascio, espressione usata quando non è possibile identificare la particella.

Nel CMS, la regione centrale di interazione corrisponde a valori di rapidità intorno allo zero, poiché i *partecipanti* hanno perso l'impulso longitudinale originario, mentre i frammenti provenienti dal bersaglio e dal proiettile assumono valori opposti di rapidità, in corrispondenza dei valori di rapidità del bersaglio e del proiettile prima dell'urto. Nel sistema laboratorio, la regione centrale corrisponde a valori centrati attorno a  $y_{CM}$ .

I valori di rapidità di una particella, ed in particolare quelli della zona di frammentazione del bersaglio o del proiettile, possono essere ricavati a partire dalle relazioni:

$$\begin{aligned} \sinh y &= \frac{p_L}{m_T} \\ \cosh y &= \frac{E}{m_T}, \end{aligned}$$

dove  $m_T = \sqrt{p_T^2 + m^2}$  è la cosiddetta massa trasversa delle particelle.

## Modello di Glauber

Il modello di Glauber delle collisioni nucleari [10][11] [12] si basa sull'ipotesi che i nucleoni di ciascun nucleo possano subire più di una collisione anelastica con i nucleoni dell'altro nucleo. Il modello è basato sul concetto di cammino libero medio e sull'assunzione che i nucleoni interagiscano con la sezione d'urto elementare nucleone–nucleone. Nell'urto tra i nuclei, in seguito alle collisioni anelastiche, i nucleoni vengono eccitati; la frammentazione e la conseguente produzione di adroni avvengono, nel sistema di riferimento del nucleone, dopo un tempo  $\tau_{prod}$ , detto tempo di formazione. Le stime teoriche di  $\tau_{prod}$  forniscono un valore compreso tra 0.4 e 1.2 fm/c [13]. Entro  $\tau_{prod}$ , il nucleone eccitato (*wounded nucleon*), nell'attraversare il nucleo, può subire altre collisioni anelastiche con gli altri nucleoni. Nel modello di Glauber si assume che il nucleone eccitato prosegua lungo la traiettoria iniziale ed interagisca con la stessa sezione d'urto del nucleone incidente. Tale assunzione è giustificata dal fatto che la sezione d'urto anelastica nucleone–nucleone,  $\sigma_{in}$ , dipende debolmente dall'energia, per energie nel centro di massa  $\sqrt{s} > 3 \text{ GeV}$ , e vale circa 30 mb. Inoltre, essendo interessati a processi di produzione di particelle, si considera la sezione d'urto anelastica  $\sigma_{in}$  pari alla sola sezione d'urto non diffrattiva.

In appendice A si mostra come il modello permetta di calcolare il numero medio di collisioni binarie tra i nucleoni,  $\langle N_{coll} \rangle$ , ed il numero medio di nucleoni partecipanti all'interazione,  $\langle N_{part} \rangle$ , in funzione del parametro d'impatto, per una data distribuzione di densità  $\rho$  e sezione d'urto anelastica.

Come si vedrà nei prossimi paragrafi, diversi esperimenti hanno mostrato che le osservabili che permettono di determinare la centralità di una collisione, quali la molteplicità di particelle cariche prodotte o l'energia trasversa della collisione <sup>3</sup>, dipendono dal numero di nucleoni partecipanti secondo una legge di potenza, del tipo  $\langle N_{part} \rangle^\alpha$ , compatibile o comunque molto prossima ad una legge lineare ( $\alpha \simeq 1$ ), piuttosto che dal numero di collisioni binarie, nel qual caso la dipendenza  $\langle N_{coll} \rangle^{\alpha'}$  si discosta maggiormente dalla linearità (i.e.  $|\alpha' - 1| > |\alpha - 1|$ ).

Mentre la dipendenza lineare dal numero di collisioni binarie è attesa in uno scenario di sovrapposizione di collisioni nucleone-nucleone, con pur possibili deviazioni dovute agli effetti dello stato iniziale, quella dai nucleoni partecipanti è più facilmente associabile ad un sistema con intensa diffusione nello stato finale, in cui le particelle entranti perdono il ricordo della loro provenienza e ciascun partecipante contribuisce alla produzione delle

---

<sup>3</sup>Anche l'energia depositata in avanti ad angolo zero entro un calorimetro permette di determinare la centralità delle collisioni, ma questa osservabile è anticorrelata con le precedenti: le collisioni più centrali corrispondono in tal caso ad un piccolo rilascio di energia in avanti, quelle periferiche ad elevati valori di tale variabile.

particelle con circa lo stesso rilascio di energia.

### 1.3.4 Risultati della QCD su reticolo

Per la materia ordinaria, il fenomeno della transizione di fase è frequente ed è studiato mediante un'approccio statistico-termodinamico. Nel caso specifico della materia nucleare, l'approccio statistico deve essere formulato all'interno della teoria che descrive l'interazione tra i suoi costituenti, vale a dire la QCD. Il regime perturbativo di libertà asintotica può determinare le prime fasi dell'evoluzione della collisione e fissare le condizioni iniziali per la formazione del plasma. Tuttavia i quark ed i gluoni interagiscono su grandi distanze durante la fase di equilibrizzazione, di espansione e di adronizzazione. Per queste fasi, un trattamento in termini di QCD perturbativa è inadeguato.

Una trattazione non perturbativa della QCD statistica è possibile mediante la formulazione di una teoria di gauge su un reticolo rappresentante le coordinate spazio-temporali [14]. La discretizzazione dello spazio-tempo permette di eliminare le divergenze che nascono nella QCD in seguito all'integrazione dei diagrammi di Feynman per elevati impulsi (*divergenze ultraviolette*). In regime perturbativo tali divergenze sono eliminate nella procedura di rinormalizzazione, mentre nella QCD su reticolo il limite inferiore della distanza tra i punti del reticolo (il passo) limita superiormente la variabile impulso, rendendo finiti gli integrali. Inoltre la formulazione su reticolo consente di scrivere la funzione di partizione del sistema termodinamico come un integrale di percorso<sup>4</sup>

$$Z = \sum_{x_a} \langle x_a | e^{-H/kT} | x_a \rangle = \int [dx] e^{-S(x)}, \quad (1.13)$$

dove  $S(x) = \int_{\tau_a}^{\tau_b} L(x, t) d\tau$  è l'azione associata ad un certo percorso ed  $e^{S(x)}$  la sua ampiezza di probabilità. In tal modo è possibile l'utilizzo di metodi Monte Carlo nel calcolo delle variabili termodinamiche del sistema, come la densità di energia o la pressione, ricavabili a partire da  $Z$ :

$$\epsilon = \frac{T^2}{V} \left( \frac{\partial \ln Z}{\partial T} \right)_V \quad (1.14a)$$

$$P = T \left( \frac{\partial \ln Z}{\partial V} \right)_T \quad (1.14b)$$

Per un gas ideale relativistico di quark di massa nulla e di gluoni, servendosi delle statistiche di Fermi-Dirac e di Bose-Einstein, si ottiene la seguente espressione per la pressione:

$$P = \left[ n_g + \frac{7}{8}(n_q + n_{\bar{q}}) \right] \frac{\pi^2}{90} T^4, \quad (1.15)$$

---

<sup>4</sup>In questa espressione  $t = i\tau$  è un tempo immaginario e viene utilizzata la notazione  $\int [dx] \equiv \int \prod_{i=1}^{n_t} dx_i$ .

dove  $n_g$ ,  $n_q$  ed  $n_{\bar{q}}$  rappresentano il grado di degenerazione dei gluoni, dei quark e degli anti-quark, rispettivamente. Per gli otto gluoni, vi sono due possibili stati di elicità, pertanto  $n_g = N_g \cdot N_{pol} = 8 \times 2$ . Per i quark bisogna considerare il numero dei possibili stati di colore  $N_C$ , di spin  $N_S$  ed i diversi *flavour*  $N_f$ . Per questi ultimi ha senso considerare i soli quark  $u$ ,  $d$  ed  $s$ , che hanno masse dello stesso ordine od inferiori alla temperatura del sistema (*cfr.* prossimo paragrafo); pertanto risulta  $n_q = n_{\bar{q}} = N_C \cdot N_S \cdot N_f = 3 \times 2 \times 3 = 18$ .

Si ricorda inoltre che per un gas ideale la pressione e la densità di energia sono legate dalla relazione  $P = \frac{\epsilon}{3}$ .

Le transizioni di fase vengono generalmente esaminate studiando alcuni “parametri d’ordine”, vale a dire variabili termodinamiche che sono nulle in una fase del sistema e diverse da zero nell’altra. Nello studio della transizione di fase di QCD, è conveniente usare il valore di aspettazione dell’operatore di linea di Wilson  $\langle L \rangle$  [15]. Esso è legato all’energia libera  $F$ , indotta dalla presenza di un quark statico posto entro un bagno termico di gluoni a temperatura  $T$  ( $\langle L \rangle \sim e^{-F/T}$ ). Nella materia adronica confinata, la carica di colore non viene schermata, per cui la sua energia libera è infinita ed  $\langle L \rangle = 0$ . Nella fase deconfinata, invece, il quark è schermato dal mezzo gluonico, la sua energia libera risulta finita ed  $L$  diventa diverso da zero. In fig. 1.7 è mostrato il risultato di un calcolo di QCD per l’andamento del parametro d’ordine  $\langle L \rangle$  in funzione della temperatura. A basse temperature, il valore nullo del parametro indica che i quark si trovano nella usuale fase confinata. In corrispondenza di un valore critico di temperatura  $T_c$ , pari a circa 150 MeV, il sistema si porta in una fase deconfinata.

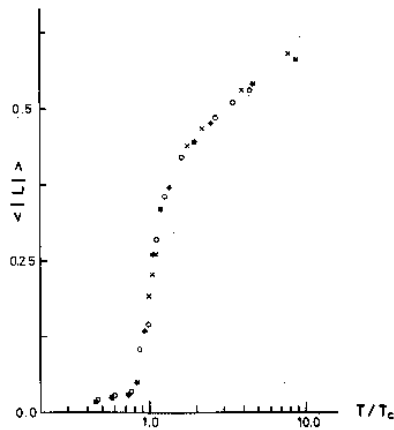


Figura 1.7: Andamento del parametro d’ordine  $\langle L \rangle$  in funzione del rapporto  $T/T_C$  [15].

Altre variabili termodinamiche utili per studiare la transizione di fase sono la densità di energia e la pressione. In fig. 1.8 (fig. 1.9.a) si vede una chiara transizione di fase nel parametro d'ordine  $\epsilon/T^4$  ( $P/T^4$ ) alla temperatura critica  $T_C$ . La densità di energia (la pressione) cresce improvvisamente dal piccolo valore proprio della fase adronica ad un valore vicino a quello previsto per un gas ideale di quark e gluoni. Questo riflette l'aumento dei gradi di libertà tra la fase adronica (per esempio, per un gas di pioni:  $n_\pi = 3$ ) ed il QGP (per esempio, per un plasma di gluoni e quark  $u$  e  $d$ :  $n_{QGP} = 36$ ). Nè la densità di energia nè la pressione raggiungono il limite termodinamico, come si envice in dettaglio dalla fig. 1.9.b.

L'ordine della transizione di fase dipende, così come il valore della temperatura critica, dal numero di *flavour* e dalle masse dei quark introdotti nelle simulazioni. La transizione risulta del primo ordine nell'ipotesi di masse dei quark nulle (limite chirale), od infinite (limite di gauge pura). Per valori intermedi delle masse dei quark, le simulazioni suggeriscono transizioni di fase continue. Come mostrato in fig. 1.10, i risultati della QCD su reticolo a temperatura non nulla sono ancora ambigui e necessitano di conferme ottenibili utilizzando reticoli di maggiore dimensione.

### 1.3.5 Il ripristino della simmetria chirale nel QGP

Si ritiene che la transizione nello stato di QGP venga accompagnata da un parziale ripristino della simmetria chirale [19]. La simmetria chirale è una simmetria esatta della lagrangiana di QCD, nel limite in cui le masse dei quark siano nulle; la presenza dei termini di massa, che valgono  $m_u \simeq m_d \simeq 7$  MeV,  $m_s \simeq 156$  MeV [20], nella lagrangiana (eq. 1.1) rompe tale simmetria. Queste masse non devono essere confuse con le *masse costituenti* introdotte nei modelli a quark fenomenologici, che hanno valori dell'ordine di  $m_u \approx m_d \approx 330$  MeV,  $m_s \approx 550$  MeV, e rappresentano piuttosto l'energia dei quark confinati entro gli adroni [21]. La simmetria chirale può però essere considerata una simmetria approssimata per la QCD in quanto le masse dei quark sono piccole se confrontate con la scala di energia tipica delle interazioni adroniche.

Le grandi differenze tra le masse nello spettro degli adroni, come ad esempio tra i mesoni  $\rho(770)$  e  $a_1(1260)$ , non sono però spiegate dalla leggera asimmetria tra le masse dei quark [19]. Le differenze sono invece giustificate col meccanismo di rottura spontanea della simmetria chirale: la lagrangiana del sistema è (approssimativamente) simmetrica, mentre lo stato fondamentale (il vuoto) non gode di tale simmetria. Questo vuol dire che il valore di aspettazione del condensato di quark  $\langle q\bar{q} \rangle$  nello stato fondamentale è diverso da zero. La rottura spontanea della simmetria prevede l'esistenza di mesoni pseudo-scalari di massa

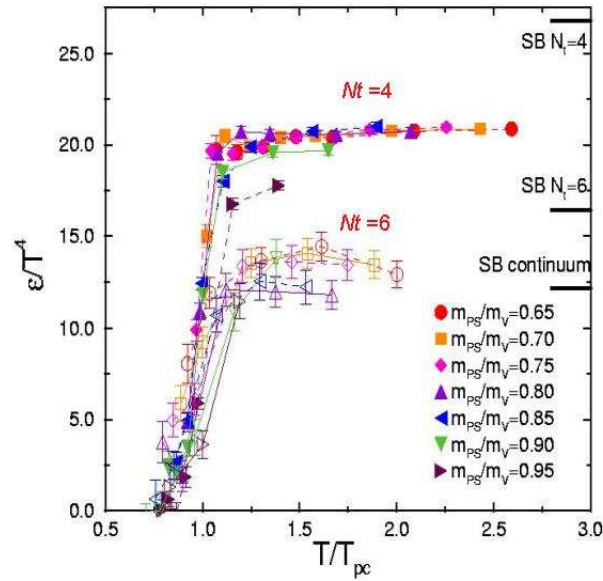


Figura 1.8: Risultati di un calcolo di QCD su reticolo per la densità di energia in funzione della temperatura del sistema, per diverse dimensioni del reticolo e per diversi valori delle masse dei quark [16]. I segmenti di linea a tratto pieno rappresentano il limite statistico del gas perfetto.

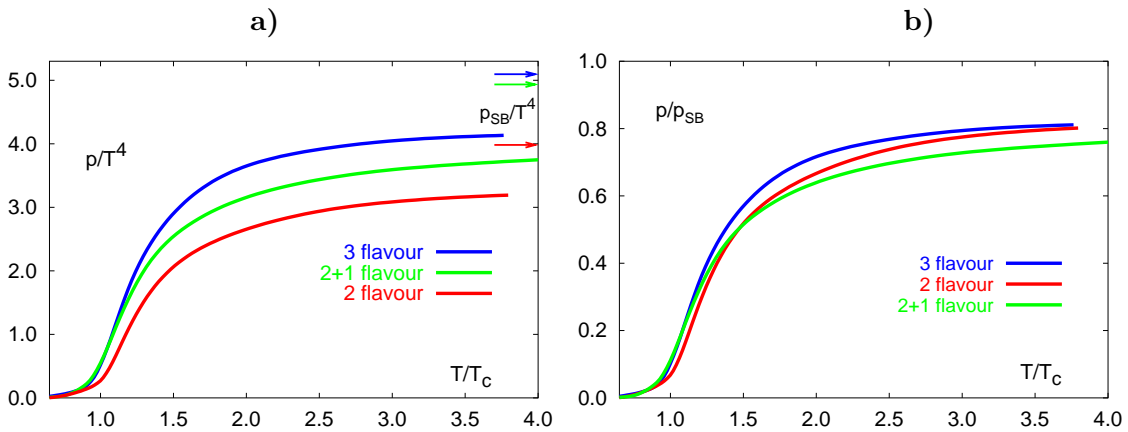


Figura 1.9: **a)** Risultati di un calcolo di QCD su reticolo per il parametro d'ordine  $P/T^4$  per diverse ipotesi sul numero di *flavour*. **b)** Dipendenza dalla temperatura del rapporto tra i valori di pressione calcolati col reticolo e la pressione del gas ideale di quark e gluoni.

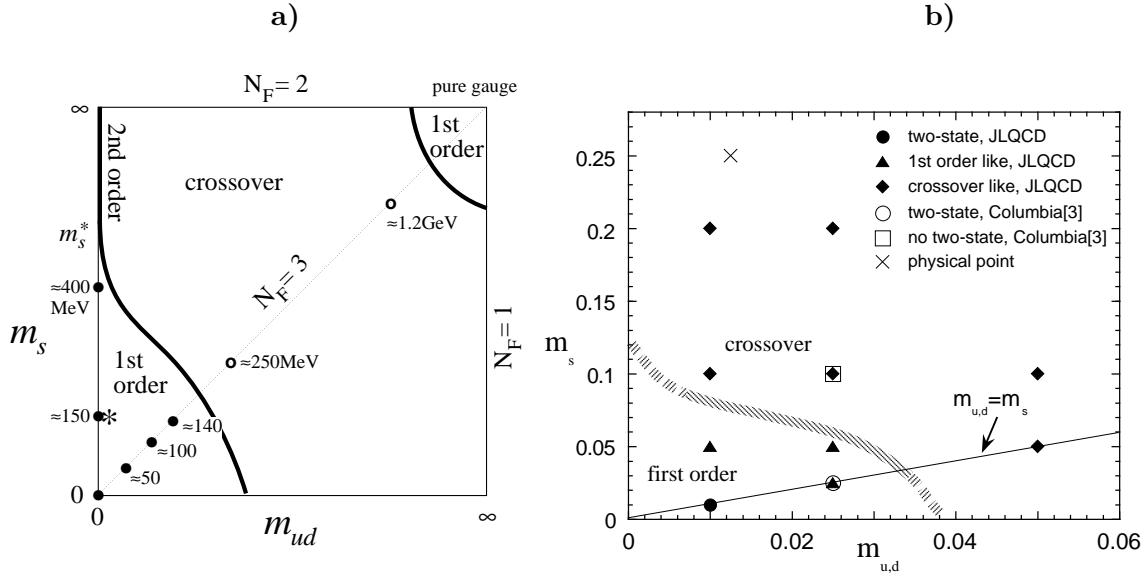


Figura 1.10: Le regioni delle transizioni di fase nel piano  $(m_{u,d}, m_s)$ . Si distinguono una regione detta di *pure gauge* in cui le masse dei quark sono infinite e la transizione risulta del primo ordine, una regione in cui le masse sono nulle (*limite chirale*) e la transizione è ancora del primo ordine, ed una regione intermedia (*crossover*) in cui la transizione è continua. La linea corrispondente alla transizione del secondo ordine si discosta dall'asse verticale al di sotto di un certo valore di  $m_s$ . **a)** Risultati di Iwasaki et al. [17]; il valore fisico della massa dei quark viene determinato dai valori dei rapporti delle masse  $m_\phi/m_\rho$  e  $m_\pi/m_\rho$  e corrisponde ad una transizione del primo ordine. **b)** Risultati del gruppo JLQCD [18] ottenuti su un reticolo di  $8^3 \times 4$  nodi. Il punto fisico della transizione viene calcolato assumendo una temperatura critica di 150 MeV, e cade nella regione in cui la transizione è continua (“*crossover*”).

nulla: i bosoni di Goldstone. Essi sono identificati coi pioni, che hanno infatti una massa di molto inferiore a quella di ogni altra particella dello spettro adronico. La loro massa non è esattamente nulla in quanto la simmetria chirale è solo una simmetria approssimata della QCD.

È tuttavia previsto che, all'aumentare della temperatura o della densità, lo stato di vuoto divenga anch'esso simmetrico: si parla in tal caso di “*ripristino (parziale) della simmetria chirale*” [19]. In tali condizioni il valore di aspettazione del condensato  $\langle q\bar{q} \rangle$  dovrebbe annullarsi. Calcoli su reticolo, quali quello mostrato in fig. 1.11, indicano che il ripristino della simmetria chirale ( $\langle q\bar{q} \rangle = 0$ ) e la transizione di deconfinamento avvengono approssimativamente alla stessa temperatura, sebbene non vi sia alcuna ragione

fondamentale che giustifichi la loro coincidenza.

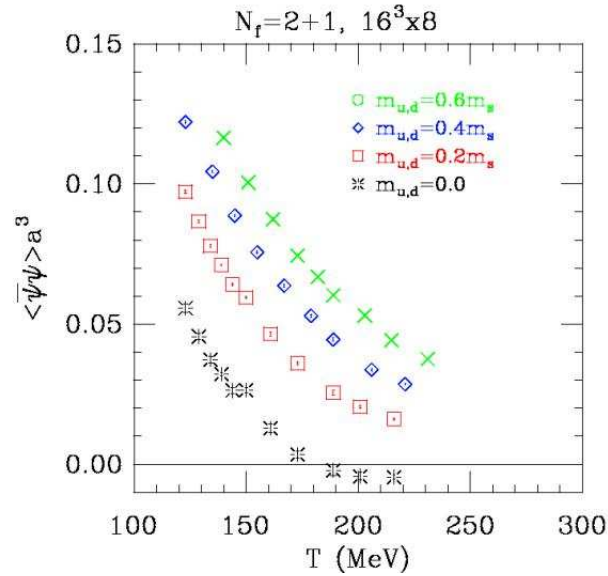


Figura 1.11: Andamento del parametro d'ordine  $\langle q\bar{q} \rangle$  in funzione della temperatura per un reticolo di dimensione  $16^3 \times 3$  e per diversi rapporti tra le masse dei quark  $u,d$  ed  $s$  [16].

Questa transizione riveste una notevole importanza nel meccanismo di produzione dei quark strani. In un sistema deconfinato e quindi simmetrico per chiralità, la soglia per la produzione di una coppia  $s\bar{s}$  passa dal tipico valore che assume in interazioni adroniche ( $\approx 700$  MeV) al doppio della massa del quark strano,  $2m_s \simeq 300$  MeV.

## 1.4 I segnali sperimentali di QGP

In questa sezione verranno illustrati alcuni tra i segnali sperimentali e tra i risultati più recenti e significativi proposti come evidenza del raggiungimento del QGP nelle collisioni nucleari ultra-relativistiche.

### 1.4.1 Esperimenti sugli ioni pesanti ultrarelativistici

A partire dal 1986, con la disponibilità dei primi fasci di ioni  $^{16}\text{O}$  e  $^{32}\text{S}$  accelerati al sincrotrone SPS del CERN e di ioni  $^{28}\text{Si}$  al sincrotrone a gradiente alternato (AGS) di Brookhaven, si è sviluppata la prima attività sperimentale riguardante la fisica degli ioni pesanti relativistici, a bersaglio fisso. I primi esperimenti eseguiti, di carattere esplorativo, hanno mostrato che

vi è la possibilità di portare la materia nucleare ad alte densità di energia e temperatura. Ad esempio, nelle collisioni prodotte dal fascio di ioni  $^{32}\text{S}$ , sono state raggiunte temperature di  $\sim 200$  MeV e densità di energia di  $\sim 2$  GeV/fm<sup>3</sup>, molto vicini ai valori critici necessari per la formazione del QGP. I dati sperimentali non hanno tuttavia consentito una discriminazione tra uno scenario di QGP ed uno di normale gas adronico.

Questi risultati preliminari hanno suscitato grande interesse nella comunità scientifica, ed hanno indotto una seconda generazione di esperimenti, condotta con ioni di  $^{197}\text{Au}$  all'AGS a partire dal 1993 e di  $^{208}\text{Pb}$  all'SPS a partire dal 1994. L'obiettivo di questa seconda fase è principalmente quello di esplorare le osservabili del QGP individuate durante la prima fase, ma in sistemi interagenti più estesi, dove le condizioni per la formazione del plasma sono più favorevoli. Tra gli esperimenti di seconda generazione effettuati al CERN, NA49 è stato progettato per consentire uno studio generale e simultaneo della dinamica della collisione, disponendo di una grande accettazione ed essendo sensibile ad un gran numero di osservabili fisiche. Gli altri esperimenti sono invece finalizzati a rivelare, in maniera specifica e con maggior precisione, particolari segnali della transizione di fase. Il programma sperimentale dell'SPS è tuttora in fase di svolgimento e nuove richieste di prese dati sono state avanzate al Comitato dell'SPS (SPSC) per l'anno 2003.

A partire dall'anno 2000 il nuovo complesso di accelerazione del RHIC (*Relativistic Heavy Ion Collider*), costituito da un collisionatore di ioni pesanti, è entrato in pieno regime di funzionamento a Brookhaven. Il grande vantaggio dei collisionatori risiede nella disponibilità di una maggiore energia nel sistema centro di massa: nelle collisioni Au-Au studiate al RHIC l'energia nel centro di massa per nucleone ( $\sqrt{s_{NN}}$ ) raggiunge infatti valori di 200 GeV, oltre dieci volte superiori a quelli tipici dell'SPS. Un nuovo collisionatore, il *Large Hadron Collider* (LHC), è in fase di realizzazione al CERN; esso raggiungerà

	Ioni	$p_{fascio}/A$ (GeV/c)	$\sqrt{s_{NN}}$ (GeV)	Collaborazioni
AGS	Si	14.6	5.4	E802(E859), E810, E814, E858
AGS	Au	10.7	4.7	E866, E877, E878
SPS	O, S	200	19.4	NA34,35,36,38; WA80,85,94
SPS	Pb	160, 80, 40	17.3, 12.3, 8.8	NA44,45,49,50,52,57,60; WA97,98
RHIC	Au	65, 100	130, 200	STAR, PHENIX, BRAHMS, PHOBOS
LHC	Pb	2500	5500	ALICE

Tabella 1.3: Complessi di accelerazione di fasci di ioni relativistici e sigle delle principali Collaborazioni coinvolte. LHC (*Large Hadron Collider*) entrerà in funzione come collisionatore di ioni di piombo nel 2007.

un'energia di circa 5.5 TeV per nucleone nel sistema centro di massa, valore cui corrisponde un'energia totale nel centro di massa pari a circa 2300 TeV per le collisioni Pb-Pb. In tabella 1.3 sono riassunti i dati sul tipo di ioni utilizzati, le energie raggiunte dai diversi acceleratori e le sigle dei principali esperimenti coinvolti.

In fig. 1.12 sono mostrate le densità di energia raggiunte nella collisione per i diversi acceleratori di ioni pesanti, presenti e futuri. Se l'SPS del CERN ha ormai raggiunto, e probabilmente superato, il limite di energia critica per la transizione di fase, all'energia del RHIC questo limite verrà abbondantemente oltrepassato, mentre ad LHC esso sarà ormai molto lontano e pertanto risulta più difficile fare previsioni sul comportamento delle osservabili sin qui studiate ed è forse lecito aspettarsi anche fenomeni di nuova fisica.

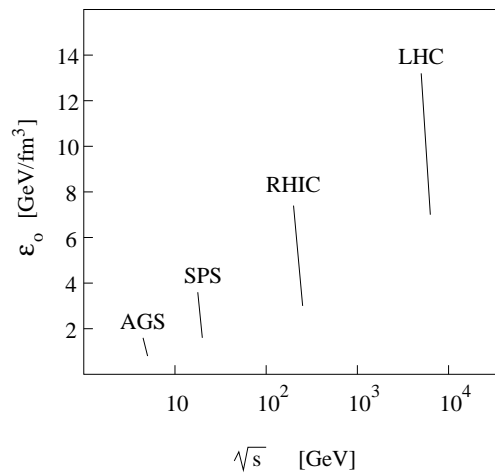


Figura 1.12: Densità di energia  $\epsilon_0$  raggiunta nelle collisioni per i diversi acceleratori di ioni pesanti.

## 1.4.2 Le osservabili globali

### Distribuzioni di rapidità

La misura delle distribuzioni di rapidità delle particelle nello stato finale apporta importanti informazioni sulla dinamica della collisione.

Prima della collisione tutta l'energia è trasportata dai barioni presenti nei nuclei bersaglio e proiettile; dopo la collisione il numero barionico netto si distribuisce nello spazio delle fasi in un modo che riflette la perdita di energia dei barioni iniziali durante la collisione.

Passando da energie relativistiche ad energie ultra-relativistiche cambia la fenomenologia

della collisione tra i nucleoni del proiettile e del bersaglio. Estremizzando, è possibile definire due regimi limite per quel che riguarda il processo di decelerazione dei nuclei incidenti: il regime di *frenamento totale* e quello di *trasparenza nucleare*. Nel regime di frenamento totale i nucleoni incidenti si fermano nel sistema di riferimento del centro di massa e formano una zona a ricco contenuto barionico nella regione di rapidità centrale. Ad energie più elevate si giunge al regime di trasparenza nucleare, in cui i contenuti barionici iniziali del proiettile e del bersaglio continuano il loro moto senza una sostanziale decelerazione. Anche in questo caso, nella regione di rapidità centrale, viene rilasciata una notevole quantità di energia, ma il contenuto barionico è pressoché nullo. In fig. 1.13 sono rappresentate schematicamente le due situazioni.

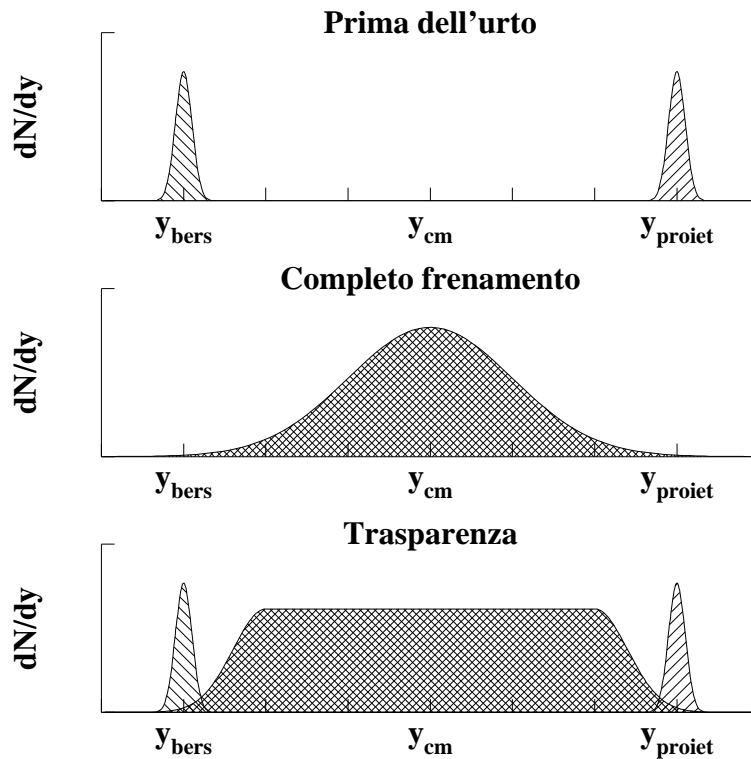


Figura 1.13: Diversi regimi di frenamento nucleare. Distribuzioni di rapidità prima della collisione (in alto) e dopo la collisione, nell'ipotesi di frenamento totale (in mezzo) e di completa trasparenza (in basso).

Trascurando il ruolo degli spettatori e considerando solo collisioni centrali, è possibile individuare due distinti modelli per i due regimi estremi illustrati sopra: uno, sviluppato da Fermi e Landau valido per il caso di frenamento totale [22][23], l'altro valido per energie superiori (caso di trasparenza totale) dovuto a Bjørken e McLerran [24][25].

Quello di Landau e Fermi è un modello idrodinamico in cui le condizioni iniziali sono fissate dalla contrazione di Lorentz dei nuclei incidenti. Si suppone che tutta l'energia  $E_{cm}$  nel centro di massa dei due nuclei, che qui saranno supposti identici per semplicità, sia dissipata nell'urto, e che quindi questi si fermino nel centro di massa. Dopo l'urto la materia nucleare si espande idrodinamicamente; la produzione di particelle è massima nei primi istanti dopo l'urto, quando è massima la densità di energia. I due nuclei, contratti relativisticamente nella direzione longitudinale, presentano un volume  $V = V_0/\gamma$ , dove  $V_0$  è il volume dei nuclei a riposo e  $\gamma = (1 - \beta^2)^{-1/2}$  è il loro fattore di Lorentz nel sistema del centro di massa. Un'energia pari a due volte  $E_{cm}$  viene perciò distribuita entro un volume  $V$ ; la densità di energia vale, quindi:

$$\epsilon = \frac{2E_{cm}}{V_0/\gamma} = \frac{2E_{cm}^2}{\frac{4}{3}\pi R^3 M} \quad (1.16)$$

dove  $M$  ed  $R$  sono la massa ed il raggio dei nuclei. Come discusso nel paragrafo 1.3 per quanto riguarda le collisioni all'AGS e SPS, la transizione di fase verso lo stato di QGP può avvenire in queste condizioni principalmente per compressione.

Per energie cinetiche nel centro di massa minori di 1 GeV per nucleone, corrispondenti ad urti non relativistici, si applicano invece i modelli a *fireball* che suppongono la simmetria sferica del sistema formatosi in seguito alla collisione. Anche in questo caso il sistema è inizialmente a riposo nel centro di massa ed è l'elevata pressione che lo porta ad espandersi, con conseguente raffreddamento. Nel caso del modello di Landau, il gradiente di pressione è molto più elevato nella direzione longitudinale che in quella trasversale, quindi l'espansione è più pronunciata nella direzione lungo l'asse del fascio nei primi istanti dopo la collisione.

Il modello di Bjørken si applica invece ad alte energie nel centro di massa ( $\sqrt{s_{NN}} > 100$  GeV) — raggiunte dall'acceleratore RHIC ed, in futuro, da LHC — dove si prevede che i nuclei, fortemente contratti relativisticamente, diventino quasi trasparenti l'uno all'altro. La transizione di fase nel QGP è conseguenza in tal caso del riscaldamento della materia nucleare, piuttosto che della compressione, e le condizioni del QGP sono simili a quelle proprie dell'universo dopo il *Big Bang*. I quark di valenza dei nucleoni incidenti conservano una frazione della loro energia; nel passaggio dei due nuclei uno attraverso l'altro, l'interazione dei nucleoni lascia nella regione di rapidità centrale una densità di energia cui corrisponde una carica barionica pressoché nulla.

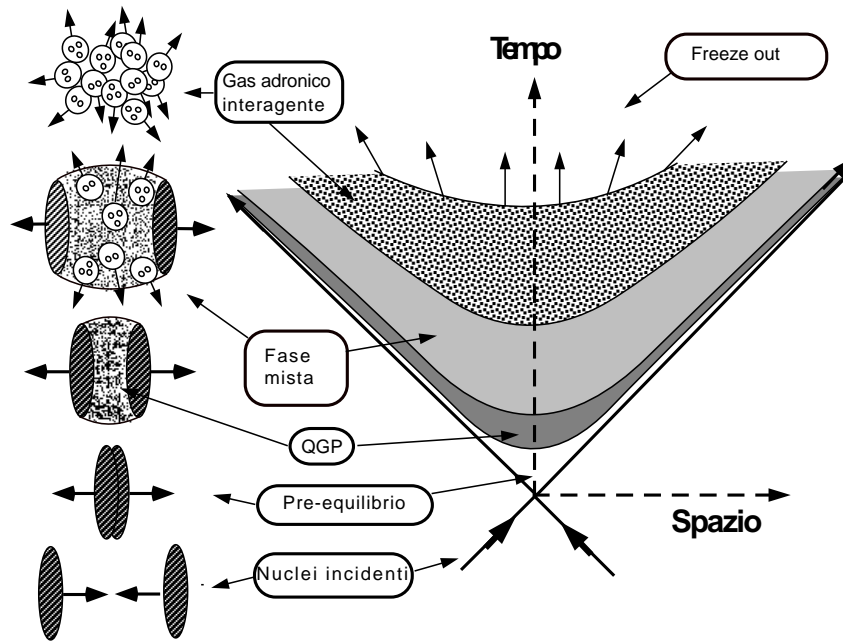


Figura 1.14: Evoluzione spazio-temporale di una collisione centrale nucleo-nucleo ad energie ultra-relativistiche. L'asse spaziale corrisponde alla direzione del fascio incidente. Entrambe le coordinate degli assi cartesiani sono valutate nel sistema centro di massa dei due nuclei.

L'evoluzione spazio-temporale di una collisione centrale è schematizzata in fig. 1.14. Il sistema di riferimento è quello del centro di massa dei nuclei incidenti, e la coordinata spaziale è stata scelta lungo la linea di fascio. Le iperboli rappresentano le linee di tempo proprio costante ( $\tau = \sqrt{t^2 - x^2} = \text{cost}$ ). Per  $(x, t) = (0, 0)$  i nuclei proiettile e bersaglio collidono e viene creata una zona ad alta densità di energia. È questo il punto in cui può eventualmente formarsi lo stato di QGP, dopo una fase di pre-equilibrio che termina dopo un tempo proprio  $\tau_0$ . L'espansione provoca il raffreddamento del sistema che, di conseguenza, ritorna ad una fase adronica. Quando la distanza media tra gli adroni risulta maggiore della portata delle interazioni forti, gli adroni sciamano liberamente senza più interagire ("freeze-out"). Poiché la densità di energia decresce rapidamente in seguito all'espansione idrodinamica del plasma, riveste particolare interesse il suo valore prima dell'espansione, per  $\tau = \tau_0$ .

Per poter stimare la densità di energia  $\epsilon_0$  prima dell'evoluzione idrodinamica occorre determinare l'energia depositata nella reazione ed il volume della regione interessata. Poiché l'energia depositata nella collisione si manifesta infine in produzione di adroni, è possibile

stimare l'energia iniziale ed il rispettivo volume ricostruendo all'indietro le traiettorie delle particelle al punto da cui sono originate nello spazio-tempo. Poiché le particelle emergono dal punto di interazione a  $(x, t) = (0, 0)$ , il volume che occupano, e quindi la densità di energia, dipende dal tempo. Quella che si vuole è la densità di energia a rapidità centrale ( $x = 0$ ) ed al tempo (proprio)  $\tau_0$ .

La velocità longitudinale delle particelle vale  $v_x = \frac{p_x}{E} = \tanh y$ ; una particella emessa nell'origine  $(0, 0)$  avrà coordinate  $(x, t)$  che possono esprimersi in funzione della rapidità e del tempo proprio:

$$x = \tau \sinh y \quad (1.17a)$$

$$t = \tau \cosh y. \quad (1.17b)$$

Per mezzo delle 1.17, la distribuzione di rapidità può essere riscritta come distribuzione spaziale ad un istante fissato. Considerando l'elemento di volume centrato ad  $x = 0$ , cioè a rapidità centrale al tempo proprio  $\tau_0$ , di dimensione  $\mathcal{A}\Delta x$ , dove  $\mathcal{A} = \pi r_0^2 A^{2/3}$  è l'area trasversa del nucleo <sup>5</sup>, la densità di particelle in questo volume vale:

$$\frac{\Delta N}{\mathcal{A}\Delta x} = \frac{1}{\mathcal{A}} \frac{dN}{dy} \frac{1}{\tau_0 \cosh y}. \quad (1.18)$$

A partire dall'eq. 1.18 si calcola la densità di energia a  $x = 0$  ed al tempo proprio  $\tau_0$ , mediata sull'area trasversa  $\mathcal{A}$ :

$$\epsilon_0 = \langle m_T \rangle \cosh y \frac{\Delta N}{\mathcal{A}\Delta x} = \frac{\langle m_T \rangle}{\tau_0 \mathcal{A}} \frac{dN}{dy}. \quad (1.19)$$

Nell'eq. 1.19,  $\langle m_T \rangle \cosh y$  rappresenta l'energia media di una particella, ed il tempo proprio  $\tau_0$  è stimato da Bjørken essere dell'ordine di  $1 \text{ fm}/c$ .

All'SPS, trovandosi in un regime intermedio tra quello di Bjørken e quello di Landau, la densità di energia calcolata nel modello di Bjørken (eq. 1.19) rappresenta un limite inferiore della densità di energia effettivamente raggiunta nelle collisioni Pb-Pb. Ponendo nell'eq. 1.19  $dN/dy \simeq 500$  a rapidità centrale [26],  $\langle m_T \rangle \simeq 480 \text{ MeV}$  <sup>6</sup>, un raggio nucleare  $r_0 A^{1/3} = 6.62 \text{ fm}$  [29] ed un tempo proprio  $\tau_0 \simeq 1 \text{ fm}/c$ , si ottiene un valore della densità di energia  $\epsilon_0 \simeq 1.7 \text{ GeV}/\text{fm}^3$ . Questo valore, pur essendo un limite inferiore, è tuttavia già compatibile con la densità di energia a cui ci si aspetta la transizione di fase.

Nella parte destra della fig. 1.15 sono mostrate le distribuzioni di rapidità dei *protoni netti* (cioè la differenza tra il numero di protoni e quello di anti-protoni) misurate dalla

<sup>5</sup>Si è utilizzata la parametrizzazione  $r_0 A^{1/3}$  per il raggio nucleare, dove  $A$  è il numero di massa del nucleo.

<sup>6</sup>Valore ricavato utilizzando le distribuzioni di massa trasversa misurate dall'esperimento WA97 [28]

collaborazione NA49 [26] in collisioni centrali Pb-Pb e, per confronto in collisioni S-S. Si considera la differenza  $p - \bar{p}$  per eliminare gli effetti dovuti alla produzione di coppie barione-anti-barione. Nella stessa fig. 1.15, è mostrata anche la distribuzione di *barioni netti* (cioè barioni - anti-barioni), ricavata dalle distribuzioni di *protoni netti*, servendosi di modelli che calcolano il contributo dei diversi stati di isospin e modelli per il calcolo delle distribuzioni di barioni strani. Si distinguono ancora i due picchi relativi alla frammentazione del bersaglio ed a quella del proiettile; è quindi chiaro come il regime dell'SPS sia intermedio tra quello di completa trasparenza e quello di totale frenamento, sebbene più prossimo al primo. La distribuzione di rapidità delle  $\Lambda - \bar{\Lambda}$  presenta invece un unico picco centrale molto largo, suggerendo che nel meccanismo di produzione di queste particelle si è perso ormai il "ricordo" del moto iniziale del proiettile (e del bersaglio, nel sistema CM). Le distribuzioni di rapidità (o di pseudo-rapidità) misurate al RHIC, quale quella misurata da BRAHMS [27] e mostrata nella parte destra della fig. 1.15, sono invece quelle attese nel caso di regimi di totale trasparenza.

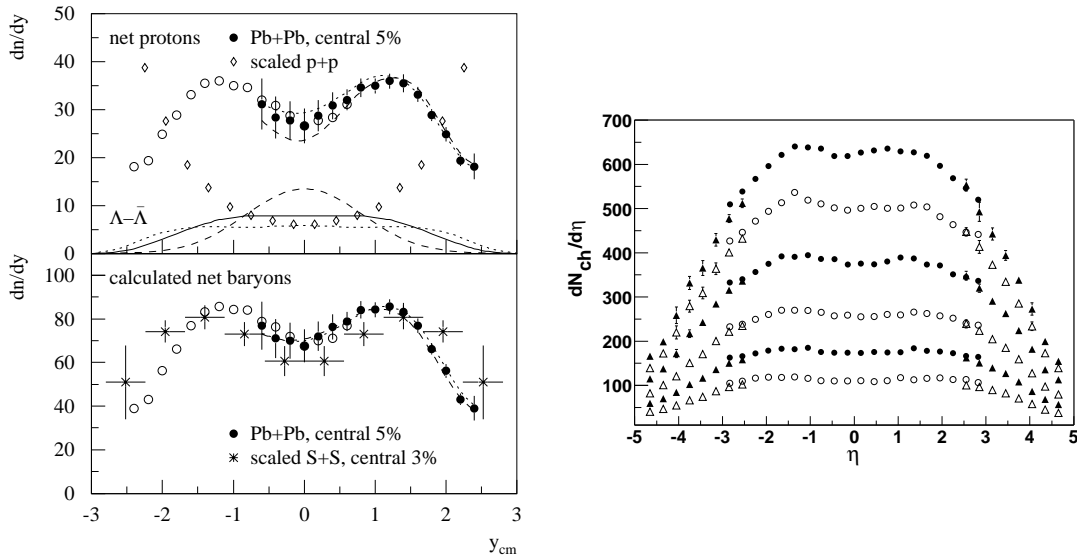


Figura 1.15: *A sinistra:* Risultati dell'esperimento NA49 [26]. In alto: distribuzione di rapidità di  $p - \bar{p}$  in collisioni centrali Pb-Pb a 160 A GeV/c; sono anche mostrate la distribuzioni  $\Lambda - \bar{\Lambda}$  nelle stesse collisioni (le tre linee in basso, per diversi metodi di correzione) e  $p - \bar{p}$  in collisioni p-p. In basso: distribuzioni di rapidità per i barioni netti ( $B - \bar{B}$ ) in collisioni Pb-Pb e S-S [26].

*A destra:* Distribuzione di pseudo-rapidità delle particelle cariche misurata da BRAHMS [27] in collisioni Au-Au a  $\sqrt{s_{NN}}$  al RHIC, per diversi intervalli di centralità.

## Distribuzioni di energia trasversa

L'energia trasversa è definita come

$$E_T = \sum_i E_i \sin \theta_i \quad (1.20)$$

dove la somma si estende su tutte le particelle prodotte in una collisione,  $E_i$  e  $\theta_i$  sono, rispettivamente, l'energia e l'angolo rispetto alla linea di fascio della direzione di volo (all'emissione) della particella  $i$ -esima.

Operativamente  $E_i$  è definita come l'energia depositata in un calorimetro che contenga completamente lo sciame in esso generato dalla particella  $i$ -esima.

Le distribuzioni di energia trasversa, quali ad esempio quelle misurate da WA98 [30] all'SPS nelle interazioni Pb-Pb a  $\sqrt{s_{NN}} = 17.2$  GeV (160 A GeV/ $c$  nel laboratorio) o da PHENIX [32] al RHIC nelle collisioni Au-Au a  $\sqrt{s_{NN}} = 130$  GeV, mostrate in fig. 1.16, risultano interpretabili [32] in termini del modello geometrico della collisione di Glauber [12], a meno dell'introduzione di un esponente  $\alpha$  nella dipendenza dal numero di nucleoni partecipanti ( $N_{part}^\alpha$ ). WA98 trova infatti una dipendenza del tipo  $N_{part}^{1.08 \pm 0.06}$ , ancora compatibile con una legge lineare, mentre a più alte energie PHENIX misura  $E_T \propto N_{part}^{1.13 \pm 0.05}$ , che si discosta maggiormente dalla linearità, come mostrato in fig. 1.16.

Le collisioni periferiche popolano la regione a bassi valori di  $E_T$  delle distribuzioni in fig. 1.16.a,b; il *plateau* nella parte centrale della distribuzione corrisponde ad un incremento più uniforme del numero di nucleoni partecipanti; infine, dal ginocchio in avanti, emerge il contributo degli eventi più centrali. Questa semplice interpretazione è comune anche ad altre variabili globali quali la molteplicità di particelle cariche e l'energia residua misurata in avanti lungo la linea di fascio. Essa consente di selezionare gli eventi sulla base della centralità della collisione. L'estensione dello spettro di energia trasversa cresce all'aumentare delle dimensioni del sistema interagente, confermando così che le condizioni più idonee per la formazione del plasma si hanno per sistemi di collisione più complessi.

Il valore di energia trasversa corrispondente al ginocchio delle distribuzioni può essere utilizzato per stimare la densità di energia raggiunta nelle collisioni. Ad esempio nel modello di Björken, riscrivendo l'eq. 1.19 come

$$\epsilon_0 = \frac{1}{\tau_0 \pi R^2} \left. \frac{dE_T}{dy} \right|_{max} \quad (1.21)$$

dato che la regione centrale, caratterizzata da valori di rapidità nel centro di massa intorno a zero, corrisponde ai valori massimi di energia trasversa, si può avere un'ulteriore stima della densità di energia al tempo  $\tau_0$ . Per collisioni Pb-Pb a 160 A GeV/ $c$  si ottiene il

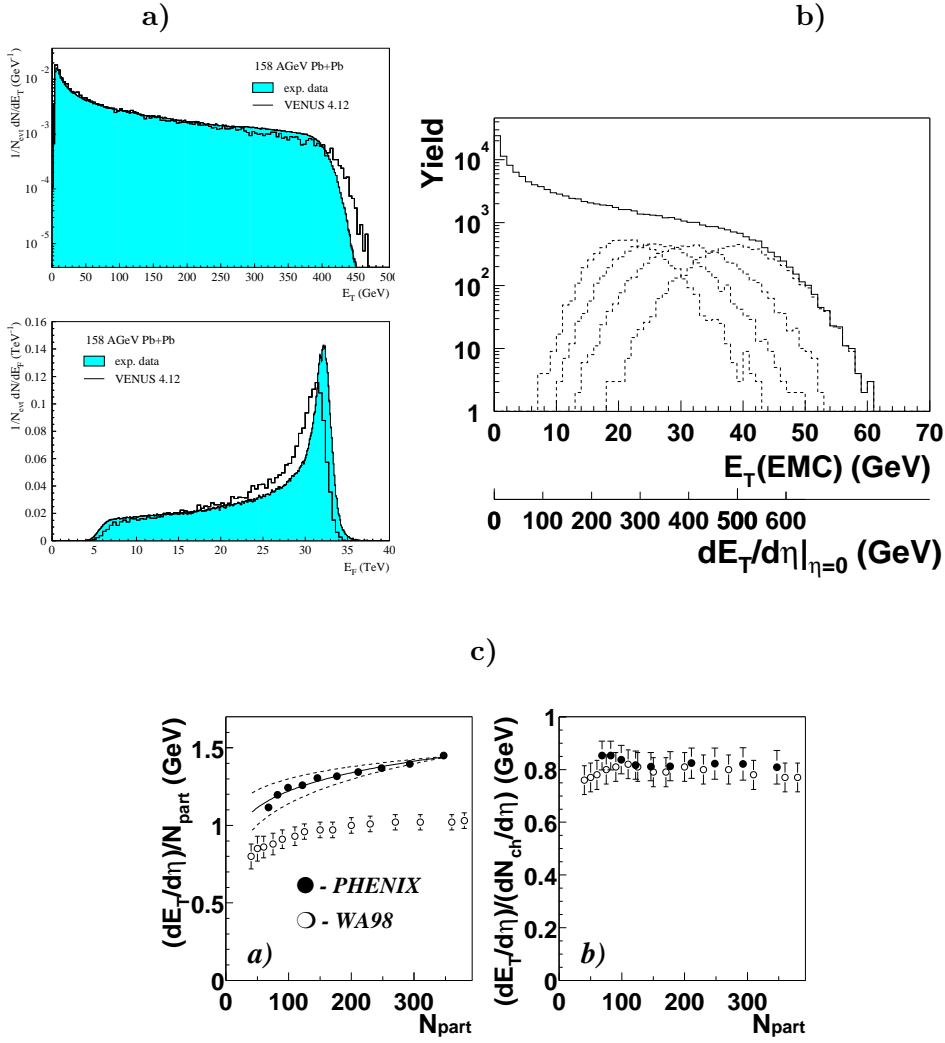


Figura 1.16: Distribuzione di energia trasversa misurata da WA98 (grafico superiore in **a**, Pb-Pb a  $\sqrt{s_{NN}} = 17.2$  GeV) [30], confrontata con le predizioni del generatore VENUUS 4.12 [31] e da PHENIX (**b**, Au-Au a  $\sqrt{s_{NN}} = 130$  GeV) [32], in cui si distinguono i contributi alla distribuzione di “*minimum bias*” (linea intera) delle quattro classi di maggior centralità (linee tratteggiate). Nel grafico inferiore dell’inserto **a**) è mostrata la distribuzione di energia rilasciata in avanti misurata con uno ZDC (*calorimetro ad angolo zero*) da WA98.

**c)** *A sinistra*: densità di energia trasversa per partecipante ( $dE_T/d\eta|_{\eta=0}/N_{part}$ ) in funzione del numero di partecipanti misurata da PHENIX e da WA98. La linea a tratto continuo rappresenta il miglior fit eseguito sui dati di PHENIX con la funzione  $N_{part}^\alpha$  e fornisce  $\alpha = 1.13 \pm 0.05$ , le linee tratteggiate mostrano di quanto si discosta la curva di potenza se calcolata a  $\pm 1\sigma$ . *A destra*:  $dE_T/d\eta|_{\eta=0}/dN_{ch}/d\eta|_{\eta=0}$  versus  $N_{part}$ .

valore  $\epsilon_0 = 2.8 \text{ GeV}/\text{fm}^3$ , che adesso è tuttavia mediato sull'intero volume del sistema interagente, mentre nelle regioni più interne della sorgente di particelle può raggiungere il valore  $\epsilon_0 = 3.5 \text{ GeV}/\text{fm}^3$  [33], compatibile con la densità di energia critica predetto dai calcoli di QCD su reticolo.

I dati a più bassa energia dell'AGS sono perfettamente compatibili con una dipendenza di semplice proporzionalità dal numero di nucleoni partecipanti [34].

### Energia depositata in avanti

Informazioni sulla centralità della collisione si possono anche ottenere misurando il numero di nucleoni spettatori del proiettile. Nel caso di reazioni tra nuclei dello stesso numero di massa, ciò fornisce probabilmente la misura più diretta della geometria della collisione. Allo scopo viene spesso utilizzato un calorimetro posto lungo la linea di fascio (*Zero Degree Calorimeter*), di dimensioni tali da coprire la regione di pseudo-rapidità  $\eta \approx \eta_{fascio}$  in cui si manifestano i nucleoni del proiettile che non hanno interagito. Gli urti centrali corrispondono dunque agli eventi in cui una piccola frazione dell'energia del fascio viene depositata nel calorimetro. L'energia depositata in avanti è quindi anticorrelata con le osservabili molteplicità ed energia trasversa, usate anch'esse per determinare la centralità della collisione, come si evince in fig. 1.16.a dove sono mostrate le distribuzioni di energia trasversa (in alto) e di energia in avanti (in basso) misurate da WA98 [30].

### Molteplicità delle particelle cariche

In fig. 1.17.a sono mostrate le distribuzioni di energia trasversa (in alto), di cui si è già discusso nella sezione precedente, e di molteplicità di particelle cariche (in basso) misurate da WA98 [30]. Anche quest'ultima permette di risalire al numero di nucleoni partecipanti alla collisione, a partire dalla relazione  $N_{ch} \propto N_{part}^{1.07 \pm 0.04}$  ricavata dal miglior fit con una funzione potenza ai dati sperimentali. L'esperimento WA98 ha dunque misurato una dipendenza di  $E_T$  ed  $N_{ch}$  da  $N_{part}$  leggermente più rapida della legge lineare, attesa nel modello naïve dei nucleoni partecipanti. Le prime misure di  $E_T$  eseguite da PHENIX all RHIC, come si è visto, si discostano maggiormente dalla dipendenza lineare.

La distribuzione di particelle cariche misurata da WA97 [35], mostrata in fig. 1.17.b, è invece ancora ben descritta in termini di nucleoni partecipanti col modello di Glauber. Rilasciando l'ipotesi di linearità col numero di nucleoni partecipanti, il fit con la legge di potenza fornisce il valore  $\alpha = 1.05 \pm 0.05$ , compatibile sia con l'ipotesi di proporzionalità ad  $N_{part}$  che con i risultati di WA98.

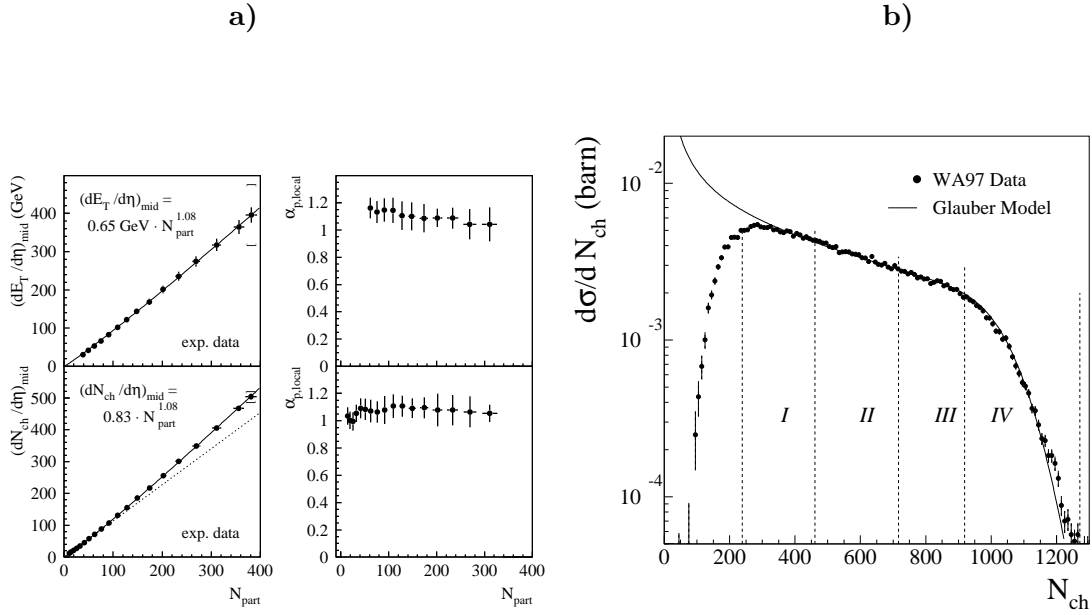


Figura 1.17: **a)** Negli inserti di sinistra sono mostrate le dipendenze dell'energia trasversa (in alto) e della molteplicità di particelle cariche (in basso) a valori centrali di pseudo-rapidità dal numero di nucleoni partecipanti misurate da WA98 [30]; la linea tratteggiata rappresenta l'estrapolazione lineare condotta a partire dalle collisioni più periferiche ( $N_{part} \approx 50$ ). Per meglio evidenziare il lieve discostarsi dalla linearità, negli inserti di sinistra sono mostrati i valori locali dell'esponente  $\alpha$  in funzione di  $N_{part}$ , ottenuti eseguendo il fit con i soli cinque punti sperimentali di  $E_T$  ed  $N_{ch}$  più vicini.

**b)** Fit della distribuzione di molteplicità con il modello dei nucleoni partecipanti eseguito da WA97 [35]. Per piccoli valori di  $N_{ch}$ , la distribuzione sperimentale è soppressa a causa del trigger di centralità, che rigetta le interazioni periferiche.

## Distribuzioni di massa trasversa

Lo studio delle distribuzioni di massa trasversa delle particelle — quantità definita dalla relazione  $m_T = \sqrt{p_T^2 + m_0^2}$ , dove  $m_0$  è la massa a riposo e  $p_T$  il suo impulso trasverso — prodotte nelle collisioni tra nuclei pesanti fornisce indicazioni circa il raggiungimento dell'equilibrio termico locale nella sorgente, e sulla dinamica di evoluzione del sistema interagente.

Indicando con  $f_i(x, p)$  la distribuzione nello spazio delle fasi per particelle della specie  $i$ , dove  $x$  sono le coordinate dello spazio-tempo e  $p$  è il quadri-vettore energia-impulso, si può

mostrare [36] che in regime idrodinamico, all'equilibrio locale, risulta:

$$f_i(x, p) = \frac{1}{\exp \left\{ \left[ p^\mu u_\mu - \sum_k c^{(k)} \mu_i^{(k)}(x) \right] / T(x) \right\} + \Theta_i} \quad (1.22)$$

dove  $T(x)$  è la temperatura locale,  $\mu_i^{(k)}(x)$  e  $c^{(k)}$  sono, rispettivamente, il potenziale chimico ed il relativo numero quantico conservato (di solito stranezza e numero barionico),  $\Theta_i = +1$  per i bosoni e  $-1$  per i fermioni,  $u_\mu$  è il campo di velocità. Nota  $f(x, p)$ , l'equazione di Cooper-Frye [36] regola la distribuzione invariante degli impulsi delle particelle prodotte al “freeze-out”:

$$E \frac{d^3 N}{dp^3} = \frac{d^2 N}{2\pi m_T dy dm_T} = \frac{g}{(2\pi\hbar)^3} \int_{\Sigma_f} f(p, x) p^\mu d^3 \Sigma_\mu(x) \quad (1.23)$$

dove  $d^3 \Sigma_\mu(x)$  è l'elemento infinitesimo dell'iper-superficie  $\Sigma_f(x)$  di “freeze-out”. Due ipotesi fondamentali sono state poste nel ricavare l'eq. 1.23: l'equilibrio locale per il sistema in regime idrodinamico e l'esistenza di una superficie di “freeze-out”.

L'equilibrio locale ed il regime idrodinamico sussistono fintanto che l'intervallo di tempo medio tra due collisioni risulti molto più piccolo dei tempi caratteristici dell'evoluzione macroscopica del sistema. Il “freeze-out” coincide, in questa descrizione idrodinamica, con la rottura dell'equilibrio ed il successivo disaccoppiamento delle particelle. Due meccanismi possono portare al “freeze-out”: l'espansione può diventare così rapida che il sistema esce dall'equilibrio, oppure il libero cammino medio delle particelle diventa maggiore delle dimensioni geometriche del sistema. La combinazione di questi due meccanismi fissa la scala dei tempi e definisce un'iper-superficie di “freeze-out” attraverso la relazione

$$\tau_{scatt}^{(i)} \lesssim \min \left( \tau_{exp}, \tau_{escape}^{(i)} \right), \quad (1.24)$$

in cui  $\tau_{scatt}^{(i)} = \lambda_i / \langle v_i \rangle$  è il reciproco della frequenza di interazione per particelle della specie  $i$ , con cammino libero medio  $\lambda_i$  e velocità media  $\langle v_i \rangle$ . La scala dei tempi che determina l'espansione ( $\tau_{exp}$ ) è fissata dal profilo della velocità di espansione idrodinamica  $u(x)$ , mentre la scala dei tempi di fuga dalla fireball ( $\tau_{escape}^{(i)}$ ) è determinata dalle dimensioni geometriche della fireball ( $R$ ) e dalla velocità media  $\langle v_i \rangle$ :

$$\tau_{exp} = \frac{1}{\partial_\mu u^\mu(x)}$$

$$\tau_{escape}^{(i)} = \frac{R}{\langle v_i \rangle}$$

Quando i criteri definiti dall'eq. 1.24 non sono più soddisfatti, termina l'evoluzione idrodinamica e le particelle cessano di interagire.

In [36, 37] vengono discusse diverse soluzioni relative a differenti proprietà di simmetria dell'iper-superficie di “freeze-out”  $\Sigma_f$ . Qui si prenderanno in considerazione due ipotesi di “freeze-out”: il caso di una fireball stazionaria in cui non c'è moto collettivo di espansione, ed il caso di una superficie di “freeze-out” a simmetria cilindrica in cui il sistema sia soggetto ad un'espansione collettiva longitudinale e trasversale.

- **Fireball stazionaria**

Nel caso limite di una fireball stazionaria in equilibrio, non c'è correlazione tra la variabile spaziale  $x$  e l'impulso  $p$  nelle distribuzioni di spazio delle fasi, che quindi si possono fattorizzare. In approssimazione di Boltzmann, si ottiene infatti:

$$f(p, x) = \lambda e^{-(p \cdot u)/T} \quad (1.26)$$

dove  $\lambda$  e la quadri-velocità  $u$  assumono espressione:

$$\lambda = e^{(\sum_K c^{(k)} \mu^{(k)})/T}, \quad (1.27a)$$

$$u = (\cosh y_{CM}, 0, 0, \sinh y_{CM}), \quad (1.27b)$$

in cui  $y_{CM}$  è la rapidità del centro di massa e  $\lambda$  è la fugacità<sup>7</sup> della specie in questione. Lo spettro determinato dall'eq. 1.23 ha quindi la forma:

$$E \frac{d^3 N}{dp^3} = \frac{g\lambda V}{(2\pi)^3} m_T \cosh(y - y_{CM}) \exp \left[ -\frac{m_T \cosh(y - y_{CM})}{T} \right], \quad (1.28)$$

dove  $V$  è il volume che si ottiene dall'integrazione  $\int_{\Sigma_f} p^\mu d^3 \Sigma_\mu \rightarrow EV$ . Dall'eq. 1.28 si ricava che, per dati raccolti in una finestra di rapidità ristretta attorno a  $y_{CM}$  ( $\Delta y \lesssim 0.5$ ), la distribuzione di massa trasversa dovrebbe essere interpolata con una funzione della forma [36]:

$$\frac{d^2 N}{dy dm_T} \propto m_T e^{-m_T/T_{eff}} \quad (1.29)$$

dove la temperatura efficace  $T_{eff}$  è legata alla temperatura vera da:

$$T_{eff} = \frac{T}{\cosh(y - y_{CM})} \quad (1.30)$$

---

<sup>7</sup>La fugacità  $\lambda$  di una data specie è definita a partire dal potenziale chimico e dalla temperatura, secondo la relazione:  $\lambda = \exp[\mu/kT]$ .

Se invece lo spettro di massa trasversa viene integrato su una grande finestra di rapidità attorno a  $y_{CM}$ , è opportuno considerare l'integrale nella variabile  $y$  dell'eq. 1.28:

$$\frac{dN}{dm_T} \propto \sqrt{m_T} e^{-m_T/T} \quad \text{per } m_T \gg T. \quad (1.31)$$

• **Espansione collettiva trasversa e longitudinale**

Il parametro  $T_{app}$  determinato dal *fit* delle distribuzioni di massa trasversa non può in realtà essere interpretato come temperatura della sorgente termica a causa dell'espansione cui è sottoposto il sistema. Infatti, uno stato di equilibrio termico implica la presenza di frequenti interazioni tra le particelle del sistema. In prossimità della superficie, queste interazioni generano un gradiente di pressione che dà origine ad un flusso trasverso collettivo. Inoltre, a causa del parziale frenamento, una frazione dell'impulso longitudinale dei nucleoni incidenti non viene dissipata, ed è dunque legittimo assumere una notevole espansione longitudinale della sorgente, la cui intensità può essere stimata dallo studio delle distribuzioni di rapidità (tipicamente la velocità dell'espansione risulta pari a  $\beta_L = 0.95$ ).

Per collisioni centrali, o quando si analizzano dati anche per collisioni periferiche ma mediate su tutte le possibili orientazioni del parametro di impatto  $\mathbf{b}$ , si può assumere una simmetria cilindrica rispetto alla linea di fascio.

L'espansione longitudinale viene generalmente descritta assumendo un profilo di Bjørken [24], vale a dire una rapidità del flusso longitudinale indipendente dal tempo proprio (cioè un profilo di velocità invariante per “*boost*” di Lorentz longitudinali), mentre per l'espansione trasversa si può assumere una rapidità che aumenti linearmente con la distanza dal centro della fireball (*cfr. paragrafo 6.2.7*).

Le conclusioni che è possibile trarre svolgendo calcoli con questo tipo di modelli, possono essere così riassunte:

- La velocità di espansione longitudinale determina la distribuzione di rapidità, mostrando una dipendenza molto debole dalla temperatura  $T$  e dal moto di espansione trasversa;
- Il flusso trasverso ha l'effetto di innalzare la temperatura misurata rispetto a quella presente al “*freeze-out*”, secondo un effetto di “spostamento Doppler verso il blu”. Di fatto il parametro  $T_{app}$  misura sia il contributo dovuto al moto termico (quindi la temperatura di “*freeze-out*”) che quello dovuto al moto collettivo (quindi l'energia cinetica del moto trasverso) all'energia delle particelle rilevate.

Per alti valori della massa trasversa

$$T_{app} \equiv \left[ \lim_{m_T \rightarrow \infty} \frac{d}{dm_T} \left( \ln \frac{dN}{dm_T^2} \right) \right]^{-1} \approx T \sqrt{\frac{1 + \langle \beta_{\perp} \rangle}{1 - \langle \beta_{\perp} \rangle}} \quad (1.32)$$

dove  $\langle \beta_{\perp} \rangle$  è la velocità media del flusso trasverso.

Nel limite non relativistico invece, cioè per  $p_T \ll m_0$  ( $m_0$  è la massa a riposo della particella), la temperatura apparente  $T'_{app}$  vale [38]:

$$T'_{app} \equiv \left[ \lim_{m_T \rightarrow m_0} \frac{d}{dm_T} \left( \ln \frac{dN}{dm_T^2} \right) \right]^{-1} = T + m_0 \langle \beta_{\perp}^2 \rangle \quad (1.33)$$

La misura del singolo spettro di massa trasversa, da cui è possibile estrarre  $T_{app}$ , non permette quindi di determinare in modo univoco sia la temperatura di “freeze-out”  $T$  sia la velocità  $\langle \beta_{\perp} \rangle$ . Come si esporrà in questo lavoro, è possibile estrarre informazioni indipendenti sulle variabili  $T$  e  $\langle \beta_{\perp} \rangle$  dall’analisi delle correlazioni fra particelle identiche (analisi HBT), in modo tale da poter determinare in modo univoco i valori delle due variabili. Un altro metodo di analisi, che verrà anch’esso sviluppato, è quello di studiare gli spettri di massa trasversa di *diverse* particelle, in modo da poter nuovamente separare il contributo termico da quello del flusso trasverso.

Un’evidenza sperimentale dell’esistenza dell’espansione collettiva trasversale è fornita dal sistematico aumento del parametro  $T$  con la massa della particella, cioè con la sua energia cinetica trasversa, come mostrato in fig. 1.18. Nell’espansione idrodinamica, infatti, tutte le particelle si muovono con la stessa velocità trasversa e, classicamente, l’energia cinetica (collettiva) delle particelle dipende dalla massa delle particelle: pertanto le particelle di massa più elevata trasportano maggiore energia, in accordo con l’eq. 1.33.

### 1.4.3 L’interferometria HBT

Lo studio della correlazione tra particelle identiche, nota come tecnica di Hanbury-Brown e Twiss (HBT), riveste un ruolo sempre più importante nella fisica degli ioni pesanti ultra-relativistici. Questa tecnica, inizialmente sviluppata negli anni sessanta in campo astrofisico per la misura dei raggi stellari [40], venne riscoperta in maniera indipendente nella fisica delle particelle pochi anni dopo [41].

Sfruttando la proprietà di simmetria (anti-simmetria) di cui gode la funzione d’onda descrivente due bosoni (fermioni) identici, questa tecnica permette di ricavare informazioni sulle dimensioni geometriche, anche di pochi fermi, della sorgente da cui le particelle sono state emesse. Nel caso di sorgenti stastiche (il caso astrofisico della misura dei raggi stellari), è possibile ricavare direttamente le dimensioni della sorgente; nel caso in cui l’emissione è

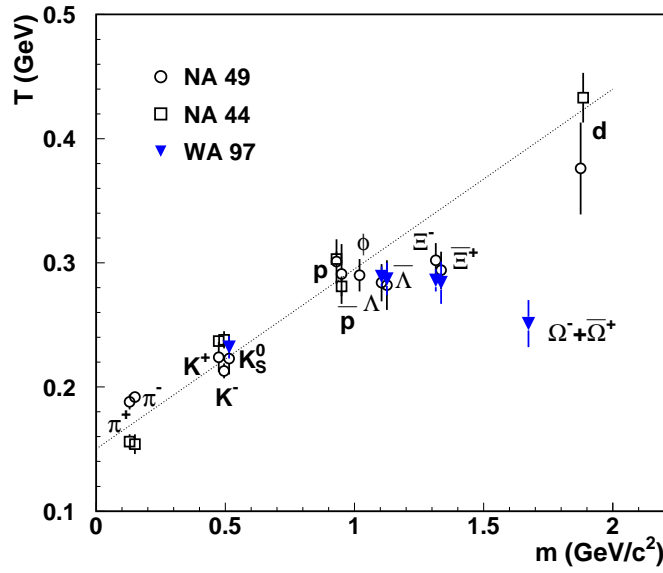


Figura 1.18: Dipendenza dell'inverso della pendenza degli spettri di massa trasversa dalla massa della particella nelle collisioni Pb-Pb all'SPS. La linea rappresenta l'approssimazione fornita da calcoli col modello RQMD per particelle non strane [39].

accompagnata da una dinamica di espansione della sorgente (il caso delle collisioni tra nuclei pesanti ultra-relativistici), è anche possibile ricavare informazioni su tale dinamica, servendosi di opportuni modelli.

Il sesto capitolo di questo lavoro sarà dedicato completamente all'interferometria HBT: si rimanda dunque a quel capitolo per i dettagli teorici e sperimentali alla base del metodo.

Una comprensione dettagliata della geometria spazio-temporale della sorgente negli istanti del “freeze-out” e dell'evoluzione dinamica della zona di reazione può essere fornita dalla interferometria HBT. Queste informazioni forniscono un importante punto di partenza sperimentale per un'estrapolazione dinamica, all'indietro, verso gli stati iniziali densi e caldi della collisione.

Si vedrà ad esempio come sia possibile ottenere un'informazione indipendente sulla coppia di variabili  $T$  e  $\langle \beta_{\perp} \rangle$  che, combinata con quella proveniente dagli spettri di massa trasversa di singola particella, permette di separare le due quantità.

### 1.4.4 La soppressione nella produzione degli stati di charmonio

Nel 1986, T. Matsui e H. Satz predissero che la produzione della particella  $J/\psi$  dovesse essere soppressa all'interno del QGP [42]. Il charmonio è uno stato legato  $c\bar{c}$  che può esser prodotto nelle collisioni nucleari in seguito a processi di fusione del tipo  $gg \rightarrow c\bar{c}$  ed annichilazione  $q\bar{q} \rightarrow c\bar{c}$ . Poiché la massa del quark  $c$  è elevata, il processo di formazione di questi stati si può descrivere con la QCD perturbativa, come mostrato in fig. 1.19. Lo spettro

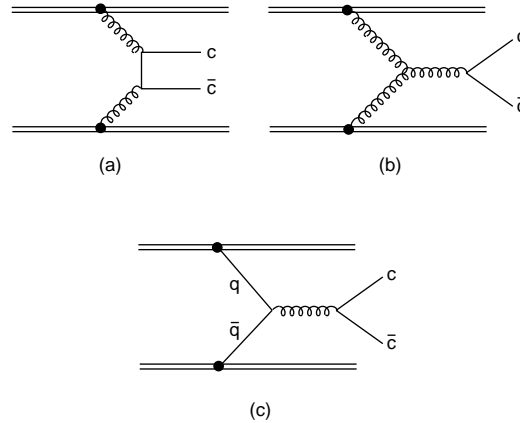


Figura 1.19: Diagrammi di ordine inferiore per la produzione di  $c\bar{c}$  in collisioni adroniche, per fusione di due gluoni (a, b) o per annichilazione di un quark ed un anti-quark (c).

del charmonio può essere calcolato con buona precisione [43] per mezzo dell'equazione di Schrödinger, dal momento che il quark  $c$  non è relativistico per via della sua elevata massa:

$$\left[ 2m_c + \frac{1}{m_c} \nabla^2 + V(r) \right] \Psi_{n,l} = M_{n,l} \Psi_{n,l} \quad (1.34)$$

dove il potenziale  $V(r) = -\frac{\alpha}{r} + \lambda r$  contiene il termine di interazione a lunga distanza ( $\lambda r$ ) responsabile del confinamento ed un termine di interazione a breve distanza di tipo coulombiano. Per diversi valori del numero quantico principale  $n$  ed orbitale  $l$ , le masse  $M_{n,l}$  e le funzioni d'onda  $\Psi_{n,l}$  dei diversi stati di charmonio  $J/\psi$ ,  $\chi_c$ ,  $\psi'$ , ... sono calcolabili in termini delle costanti  $m_c$ ,  $\lambda$  ed  $\alpha$ .

Nell'ipotesi di formazione del QGP, l'alta densità di cariche di colore produce uno schermaggio della forza forte, in analogia al fenomeno di schermaggio di Debye della forza elettrica in un mezzo denso. Il potenziale elettrico per due cariche  $e_0$  poste nel vuoto a distanza  $r$  vale infatti  $V_0(r) = \frac{e_0^2}{r}$ . In un ambiente denso di altre cariche elettriche il

potenziale viene “schermato” e diventa  $V(r) = \frac{e_0^2}{r} \exp(-\mu r)$ , dove  $r_D = \mu^{-1}$  è il *raggio di schermaggio di Debye* caratteristico del mezzo; esso diminuisce all’aumentare della densità del mezzo carico. Se un sistema legato, caratterizzato da un raggio medio  $r_B$ , quale ad esempio l’atomo di idrogeno, viene posto in un mezzo con densità di carica così elevata da risultare  $r_D \ll r_B$ , la forza effettiva di legame tra le due particelle del sistema diviene così a corto raggio che il sistema si scioglie. Questo implica altresì che un mezzo dielettrico isolante possa diventare elettricamente conduttore se portato a densità sufficientemente elevate: l’effetto dello schermaggio è quello di rompere i legami negli atomi costituenti il mezzo, ed il mezzo si porta in un nuovo stato di *plasma* in cui le cariche elettriche sono praticamente libere.

Analogamente, nel caso di due cariche di colore immerse in un mezzo ad elevata densità di carica di colore, quale il QGP, il termine di confinamento del potenziale — nel vuoto pari a  $V(r) = \lambda r$  — diventa<sup>8</sup>  $V(r) = \lambda r \left[ \frac{1 - \exp(-\mu r)}{\mu r} \right]$ . Anche qui la massa di schermaggio  $\mu$  è pari all’inverso del raggio di schermaggio per le cariche di colore. L’espressione completa del potenziale effettivo del charmonio assume dunque la forma:

$$V(r) = \frac{\lambda}{\mu} [1 - \exp(-\mu r)] - \frac{\alpha}{r} \exp(-\mu r). \quad (1.35)$$

L’andamento del potenziale effettivo nel vuoto ed in presenza di schermaggio della carica di colore è mostrato in fig. 1.20. Il termine esponenziale elimina la dipendenza lineare dalla distanza, responsabile del confinamento.

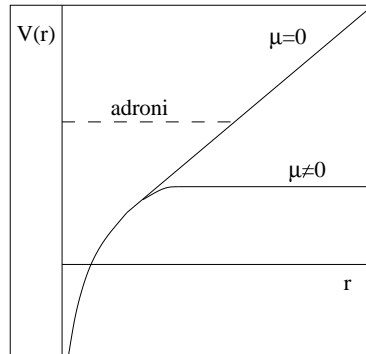


Figura 1.20: Andamento del potenziale effettivo di QCD nel vuoto ( $\mu = 0$ ) e in un mezzo “colorato” ( $\mu \neq 0$ ).

<sup>8</sup>La forma della funzione che descrive lo schermaggio dipende dal tipo di funzione del potenziale non schermato [44]; questo è il motivo del diverso tipo di schermaggio per il potenziale elettrico e quello di colore.

Stato	$J/\psi(1S)$	$\psi'(2S)$	$\chi_c(1P)$
$\mu_d$ [GeV]	0.68	0.35	0.35
$T_d/T_C$	1.2	1	1
$\Delta E$ [GeV]	0.64	0.06	0.24

Tabella 1.4: Dissociazione del charmonio per schermaggio della carica di colore.

Il valore del raggio di Debye può essere calcolato [45] con la QCD perturbativa al primo ordine:

$$r_D = \frac{1}{\mu} = \frac{1}{\sqrt{(\frac{N_C}{3} + \frac{N_f}{6})g^2 T}}; \quad (1.36)$$

il raggio di Debye è dunque funzione della temperatura e della costante di accoppiamento  $g$ . Un altro approccio per determinare la dipendenza di  $\mu$  da  $T$  si serve di calcoli di QCD su reticolo a temperatura non nulla. Assumendo  $T_c = 170$  MeV e la relazione approssimata  $\mu \simeq 3.3T$  [46], si ottengono i parametri della dissociazione del charmonio, riassunti nella tabella 1.4. Per il mesone  $J/\psi$  — caratterizzato dalla più alta energia di legame (nel vuoto)  $\Delta E_{J/\psi} = 2M_D - M_{J/\psi} \simeq 0.64$  GeV, pari alla differenza tra la soglia di produzione di coppie di mesoni con numero di charm non nullo (“*open charm*”) e la sua massa — si ottiene ad esempio, un raggio di Debye  $r_D \simeq 0.29$  fm, e la dissociazione può avvenire ad una temperatura  $T_d = 1.2T_C$ , di poco superiore alla temperatura critica. Gli stati eccitati del sistema  $c\bar{c}$ , quali  $\psi'$  e  $\chi_c$ , possono formarsi più difficilmente e dovrebbero essere soppressi non appena la temperatura raggiunge il valore critico.

La produzione dei mesoni vettori  $J/\psi$ ,  $\psi'$  è stata studiata attraverso il loro decadimento in coppie  $\mu^+\mu^-$  dagli esperimenti NA38 ed NA50 in vari sistemi di collisione. In fig. 1.21.a è mostrato lo spettro invariante delle coppie muoniche rivelate in interazioni Pb-Pb. Esso è interpretato come sovrapposizione dei contributi relativi al decadimento della  $J/\psi$  e della  $\psi'$  ai processi di Drell-Yan (fig. 1.21.b) ed al fondo costituito da coppie muoniche provenienti da decadimenti simultanei di pioni e kaoni. È quindi possibile misurare separatamente la sezione d'urto per i processi di Drell-Yan e per la produzione di  $J/\psi$  e  $\psi'$  nel canale di decadimento osservato, indicate rispettivamente con  $\sigma(DY)$ ,  $B_{\mu^+\mu^-}\sigma(J/\psi)$  e  $B_{\mu^+\mu^-}\sigma(\psi')$ , dove  $B_{\mu^+\mu^-}$  è la frazione di decadimenti nel canale  $\mu^+\mu^-$ . Sebbene lo studio della produzione della  $J/\psi$  sia il più agevole da un punto di vista sperimentale (maggior sezione d'urto di produzione), esso è complicato dal fatto che gli stati di charmonio di più alta energia (quali la  $\psi'$  e la  $\chi_c$ ) decadono frequentemente in stati di più bassa energia: di tutte le  $J/\psi$  ricostruite, circa il 62% sono prodotte direttamente, mentre  $\approx 30\%$  (8%) proviene dal decadimento del

mesone  $\chi_c (\psi')$ .

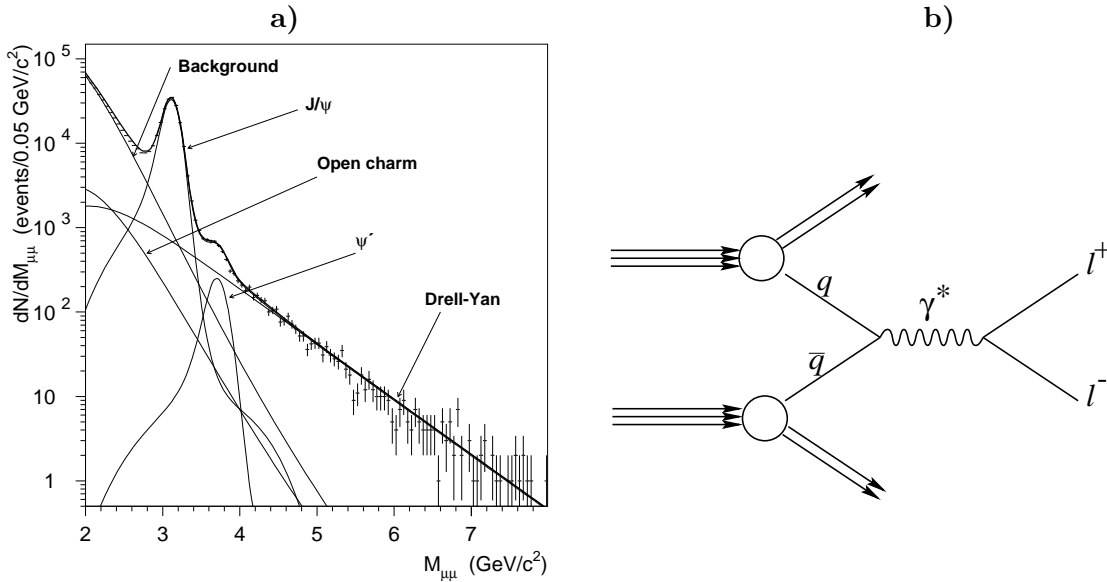


Figura 1.21: **a)** Spettro di massa invariante di coppie  $\mu^+\mu^-$  [47]. **b)** Il processo di Drell-Yan di produzione di coppie leptoniche.

La sezione d'urto  $\sigma(DY)$  risulta proporzionale al numero di nucleoni partecipanti alla collisione, poiché i processi di Drell-Yan provengono dalle singole collisioni primarie tra i nucleoni, per cui viene utilizzata come elemento di normalizzazione nel valutare la produzione di  $J/\psi$  in diversi sistemi di collisione.

La produzione della  $J/\psi$  presenta una naturale decrescita in funzione delle dimensioni del sistema interagente dovuto all'assorbimento all'interno della materia nucleare. Esso è interpretabile in termini di assorbimento dello stato pre-risonante  $c\bar{c}$ , non imputabile allo stato di plasma, quanto piuttosto a processi anelastici del tipo  $\pi + J/\psi \rightarrow D\bar{D}X$  innescati da adroni di sufficiente energia in presenza del gas adronico [48].

I più recenti risultati di NA50 [49][50], riportati in fig. 1.22, suggeriscono che vi sia un addizionale meccanismo di soppressione della  $J/\psi$  nelle collisioni Pb-Pb, non presente nelle interazioni S-U (*soppressione anomala*). Inoltre indicano che vi sia un effetto di soglia nella *soppressione anomala* della  $J/\psi$  che si verifica per le collisioni Pb-Pb più centrali, corrispondenti ad energie trasverse ( $E_T$ ) più elevate. Infine, l'andamento della soppressione sembra suggerire, andando dalle collisioni periferiche verso quelle centrali, una decrescita con una doppia soglia: la prima, meno intensa, potrebbe corrispondere alla più facile

dissociazione della  $\chi_c$  nel QGP<sup>9</sup>, la seconda, più evidente, alla dissociazione diretta della  $J/\psi$ .

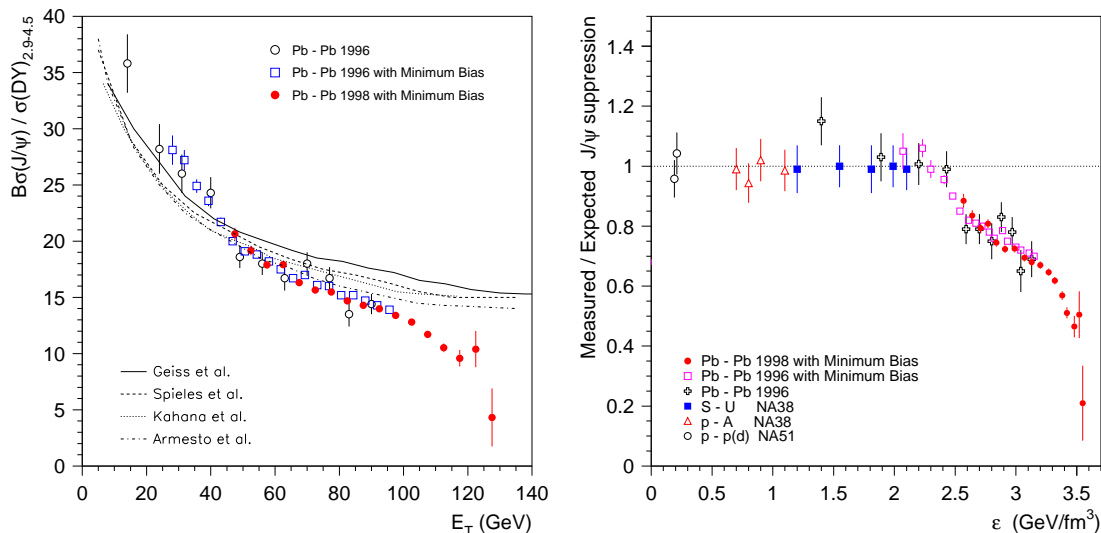


Figura 1.22: **a)** Rapporto  $\sigma_{J/\psi}/\sigma_{DY}$  in funzione dell'energia trasversa, confrontato con calcoli convenzionali, in assenza di QGP. **b)** *Yield* misurato della  $J/\psi$  normalizzato alla “*yield*” atteso nell'ipotesi di soppressione per normale assorbimento del mezzo nucleare, in funzione della densità di energia raggiunta nelle collisioni, per diversi sistemi [49].

Questi risultati hanno innescato un'intensa attività teorica che al momento può essere così sintetizzata: precedenti modelli di assorbimento nucleare non sono in grado di predire la soppressione anomala, per cui alcuni autori [51][52] hanno attribuito il fenomeno alla formazione del QGP; altri [53] [54] hanno sviluppato modelli più conservativi che riescono a riprodurre la soppressione anomala in collisioni Pb-Pb per mezzo delle interazioni con gli adroni, mostrando tuttavia un disaccordo con i precedenti risultati relativi a nuclei più leggeri.

#### 1.4.5 I segnali elettromagnetici

I segnali elettromagnetici sono per molti aspetti ideali per la rivelazione del QGP in quanto permettono di sondare i primi e più caldi stadi dell'evoluzione del sistema interagente, non essendo affetti dalle successive interazioni forti. La loro intensità è tuttavia molto bassa

<sup>9</sup>Si ricorda che circa il 30% delle  $J/\psi$  osservate proviene dal decadimento radioattivo della  $\chi_c$ .

e devono essere distinti dall'abbondante fondo proveniente dai processi di decadimento elettromagnetico degli adroni.

## I fotoni

L'emissione di fotoni diretti dallo stato di QGP in equilibrio termico avviene principalmente attraverso il processo d'urto Compton  $gq \rightarrow \gamma q$ . Questo segnale deve competere con i fotoni provenienti dai decadimenti adronici, quali  $\pi^0 \rightarrow \gamma\gamma$  e  $\eta^0 \rightarrow \gamma\gamma$ , e da quelli formati in seguito a reazioni del tipo  $\pi\rho \rightarrow \gamma\rho$  all'interno del gas adronico termalizzato [55].

Partendo da precedenti stime del tasso di emissione dei fotoni [56, 57, 58, 59], alcuni autori [60] confrontarono nei dettagli l'emissività di fotoni nei due scenari di QGP e di gas adronico. Queste prime stime mostravano come i tassi di emissione termica per il gas adronico e per il QGP fossero molto simili e dipendessero solo dalla temperatura. Essi concludevano quindi che i fotoni diretti fossero sì una buona sonda della temperatura del sistema, ma non permettessero di distinguere tra i due scenari.

Più recentemente si è mostrato [61] che il tasso di produzione (“*yield*”) dei fotoni nel QGP, calcolato utilizzando diagrammi sino a due *loop*, è notevolmente più elevata delle stime precedenti calcolate all'ordine inferiore. In particolare, un processo di annichilazione  $q\bar{q}$  con diffusione è risultato dominante nella “*rate*” di emissione dei fotoni dal plasma per elevate energie dei fotoni. Utilizzando questi nuovi risultati è possibile ricalcolare la produzione di fotoni nelle collisioni tra ioni pesanti e mostrare che, per una temperatura iniziale sufficientemente elevata, lo “*yield*” dei fotoni dal QGP sia significativamente superiore a quello dalla materia adronica [62].

I precedenti risultati sperimentali delle collaborazioni NA34 [63], WA80 [64] e WA98 [65], che hanno misurato lo spettro inclusivo di fotoni in collisioni centrali S-AU e, più recentemente Pb-Pb, non rivelavano alcun eccesso di fotoni indicante la formazione di QGP.

I più recenti dati di WA98 sembrano invece suggerire un eccesso nella produzione di fotoni per le sole collisioni Pb-Pb più centrali [66]. In fig. 1.23.a è mostrato lo spettro di impulso trasverso dei fotoni misurato nelle collisioni centrali Pb-Pb a 160 A GeV/c; nella fig. 1.23.b si osserva il rapporto tra il numero di fotoni misurati ed il fondo di fotoni atteso in funzione dell'impulso trasverso per collisioni periferiche (in alto) e per le collisioni centrali (in basso). Le prime (collisioni periferiche) sono compatibili con un rapporto pari ad uno; per le seconde (collisioni centrali) il rapporto suggerisce un eccesso di fotoni diretti per valori elevati di  $p_T$ .

Poiché la produzione di fotoni aumenta fortemente con la temperatura del plasma, ad energie più elevate di quelle dell'SPS la più alta temperatura iniziale del sistema interagente

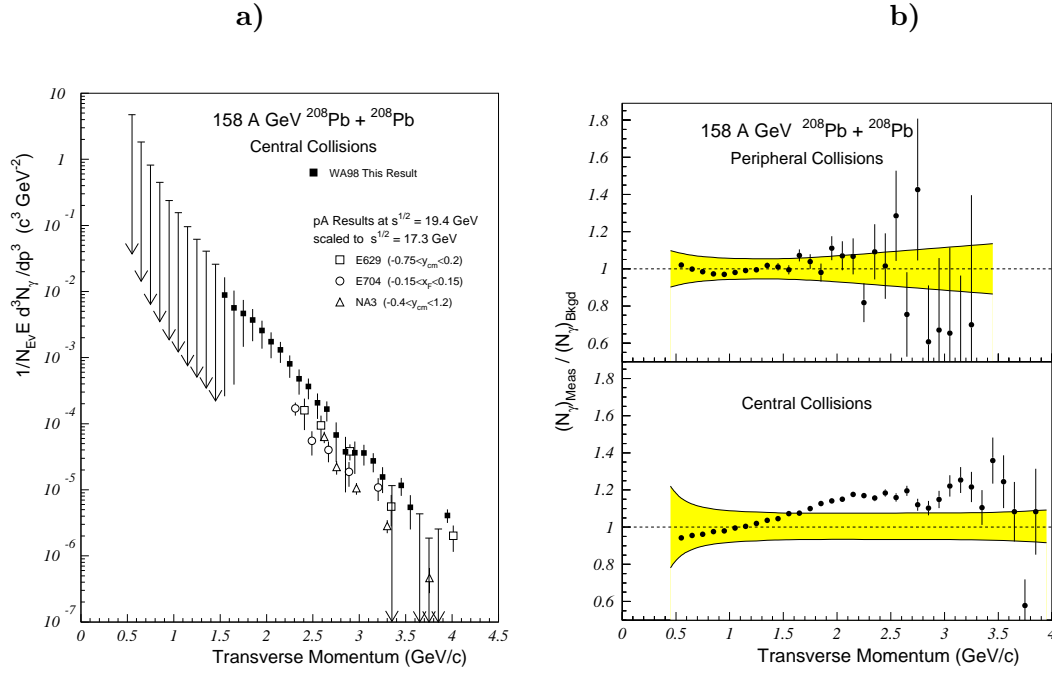


Figura 1.23: **a)** Spettro di impulso trasverso dei fotoni diretti misurato dalla collaborazione WA98 in collisioni centrali Pb-Pb a 160 A GeV/c. **b)** Rapporto tra il numero di fotoni misurati ed il fondo atteso per collisioni Pb-Pb periferiche (in alto) e centrali (in basso). Le bande rappresentano l'errore sistematico. [66]

dovrebbe rendere tale segnale più significativo. I primi risultati di RHIC a riguardo, presentati dell'esperimento PHENIX alla conferenza di Quark Matter 2002 [67], non sono ancora conclusivi per via degli elevati errori sistematici.

### Le coppie leptoniche

La produzione di dileptoni per annichilazione di coppie  $q\bar{q}$ , dovrebbe costituire, al pari della radiazione termica, un segnale non influenzato dalla successiva adronizzazione e recante informazioni circa le condizioni del sistema interagente nell'istante della sua formazione [68]. Rispetto allo studio dei fotoni, si ha il vantaggio di poter calcolare una massa invariante, il che aiuta a distinguere tra diversi processi di produzione, ed in particolare a controllare i mesoni vettori tramite il loro decadimento diretto.

Per estrarre il debole segnale delle prime fasi della collisione, bisogna conoscere dettagliatamente i modi di decadimento elettromagnetico degli adroni dopo il "freeze-out".

Anche in tal caso il fondo è infatti considerevole: per masse invarianti  $M_{l+l^-} < 1.5$  GeV il contributo dominante del fondo viene dai prodotti di decadimento degli adroni, mentre per  $M_{l+l^-} > 5 \div 10$  GeV diventa dominante il fondo dovuto ai processi di Drell-Yan ( $q\bar{q} \rightarrow l^+l^-$ , fig. 1.21.b) a seguito delle violente interazioni tra nucleoni, che avvengono nei primi istanti della collisione tra i nuclei, o alla produzione di mesoni vettori pesanti che decadono in coppie leptone-antileptone.

In fig. 1.24 sono mostrati gli spettri di massa invariante  $e^+e^-$ , misurati nell'intervallo di pseudo-rapidità  $2.1 < \eta < 2.65$  dall'esperimento NA45/CERES in interazioni p-Be (a) e p-Au (b) a 450 GeV/c, S-Au (c) a 200 A GeV/c, Pb-Au a 160 (d) e 40 (e) A GeV/c [69][70][71][72]. Si può notare come i decadimenti a due ed a tre corpi dei mesoni  $\pi^0$ ,  $\eta$ ,  $\eta'$  (958),  $\rho$ (770),  $\omega$ (783) e  $\phi$ (1020), noti come "sorgenti standard", riescano a riprodurre lo spettro misurato in collisioni p-Be e p-Au. Nelle caso di collisioni S-Au e Pb-Au, invece, il contributo delle sorgenti standard, calcolato assumendo che l'abbondanza relativa di particelle nello stato finale sia indipendente dal processo di collisione, sottostima vistosamente lo spettro osservato nella regione di massa invariante  $0.25 < m_{e^+e^-} < 0.7$  GeV/c<sup>2</sup>.

L'eccesso osservato per  $m_{e^+e^-} > 0.2$  GeV/c<sup>2</sup> nelle interazioni nucleo-nucleo può essere così quantificato:

$$\begin{aligned} \text{S-Au a 200 GeV/Au:} & \quad \frac{\text{dati}}{\text{sorgenti standard}} = 5.0 \pm 0.7(\text{stat.}) \pm 2.0(\text{sist.}) \\ \text{Pb-Au a 160 A GeV/c:} & \quad \frac{\text{dati}}{\text{sorgenti standard}} = 2.9 \pm 0.3(\text{stat.}) \pm 0.6(\text{sist.}) \\ \text{Pb-Au a 40 A GeV/c:} & \quad \frac{\text{dati}}{\text{sorgenti standard}} = 5.1 \pm 1.3(\text{stat.}) \pm 1.0(\text{sist.}) \end{aligned}$$

Lo studio in funzione della centralità [71][72] suggerisce un incremento dell'eccesso di coppie prodotte nell'intervallo  $m_{\pi^0} < m_{e^+e^-} < m_{\rho,\omega}$  più rapido di una legge lineare, attesa qualora il decadimento degli adroni fosse l'unica sorgente di coppie  $e^+e^-$ . Inoltre l'incremento è decisamente più marcato per coppie di piccolo impulso trasverso ( $p_T < 500$  MeV) che di grande impulso trasverso ( $p_T > 500$  MeV) [72].

Numerosissimi lavori teorici finalizzati ad una possibile interpretazione dei risultati di questi dati sono stati compiuti negli ultimi anni (per una *review* recente si guardi in [73]). Sembra ormai raggiunto un generale consenso: si osserva la radiazione diretta dalla fireball, dominata dall'annichilazione  $\pi^+\pi^- \rightarrow \rho \rightarrow e^+e^-$ ; la forma dello spettro di massa invariante  $e^+e^-$  può essere riprodotta richiedendo un cambiamento delle proprietà della  $\rho$  all'interno del mezzo nucleare. Due sono i principali candidati, tra loro in competizione, che tengono conto di ciò. Il primo è il cosiddetto "scaling di Brown-Rho" [74], in cui si riduce la massa della  $\rho$ , come fenomeno precursore del ripristino della simmetria chirale. Nel secondo

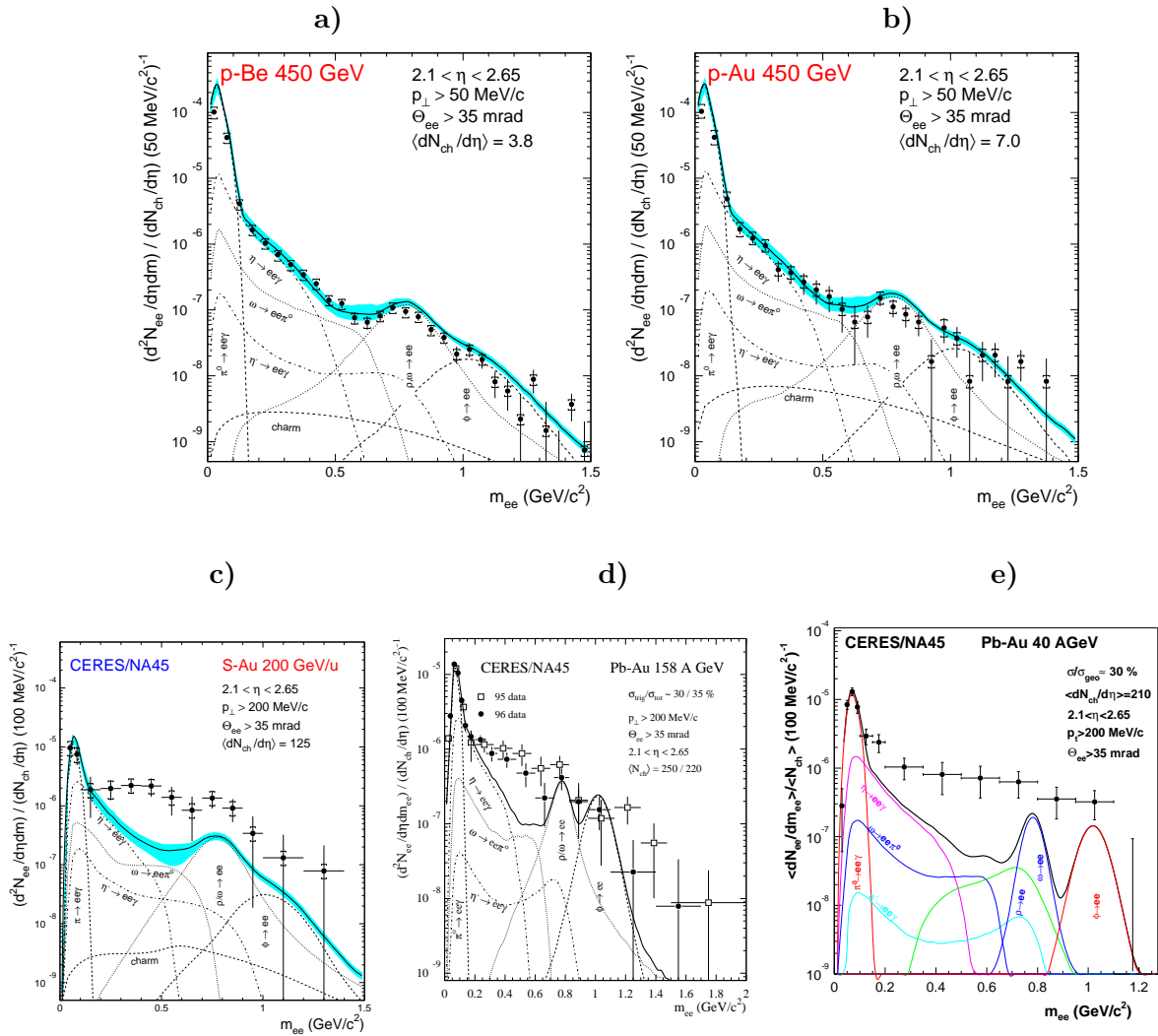


Figura 1.24: Spettri di massa invariante  $e^+e^-$  misurati dall'esperimento NA45/CERES nell'intervallo di pseudo-rapidità  $2.1 < \eta < 2.65$ . a) Collisioni p-Be a 450 GeV/c [69]; b) collisioni p-Au a 450 GeV/c [69]; c) collisioni S-Au a 200 A GeV/c [70]; d) collisioni Pb-Au a 160 A GeV/c [71]; e) collisioni Pb-Au a 40 A GeV/c [72].

si calcola la densità spettrale della  $\rho$  all'interno del mezzo adronico denso, allargando la larghezza dello spettro [73][75]. In entrambi i casi si riesce a riprodurre l'intero spettro come fosse dovuto ad annichilazione  $q\bar{q}$ , rispettivamente, con una elevata riduzione della (media temporale della) massa oppure con un notevole allargamento dello spettro. Una descrizione quantitativa dei dati Pb-Au richiede una temperatura di 145 MeV a 40 A GeV/c ed una di 170 MeV a 160 A GeV/c [72]. In ogni caso, i dati escludono una produzione della  $\rho$  non modificata, cioè secondo la funzione di densità spettrale nel vuoto.

Il mesone  $\rho$ , ha infatti una vita media  $\tau = 1.3 \text{ fm}/c$  più corta di quelle delle altre sorgenti standard e piccola in confronto al tempo di vita del sistema interagente ( $\approx 10 \div 20 \text{ fm}/c$ ), per cui le coppie leptoniche provenienti dal suo decadimento hanno buona probabilità di essere create prima del “freeze-out”.

Per riprodurre i risultati sperimentali i modelli teorici richiedono quindi un cambiamento delle proprietà della  $\rho(770)$  nel mezzo oppure una radiazione termica con temperatura  $T > T_C$ . In ogni caso questi risultati forniscono un'indicazione di un cambiamento nelle caratteristiche fisiche della materia nucleare, in linea con le previste conseguenze della transizione di fase di QCD.

#### 1.4.6 Fluttuazioni evento per evento

Generalmente tutti i possibili segnali sperimentali vengono analizzati mediando su un numero elevato di collisioni, ma è tuttavia possibile studiare alcune osservabili evento per evento.

Infatti, già nelle collisioni nucleo-nucleo all'energia dell'SPS si producono tipicamente  $10^3$  particelle per evento. È quindi possibile misurare la distribuzione del valor medio — calcolato su base evento per evento — dell'impulso trasverso delle particelle cariche  $\langle p_T \rangle$  o del rapporto  $\frac{\langle K^\pm \rangle}{\langle \pi^\pm \rangle}$  tra il numero di kaoni ed il numero di pioni carichi prodotti in un evento.

Se lo stato di QGP venisse raggiunto solo in una frazione degli eventi raccolti, essi mostrerebbero caratteristiche globali differenti, ed in tal caso lo studio di alcune osservabili su base evento per evento permetterebbe di isolare l'insieme degli eventi di tale frazione. Inoltre, altre segnature sperimentali della fase di QGP potrebbero essere correlate con le fluttuazioni evento per evento, e quindi, isolando una certa frazione di eventi sulla base di una simile analisi, si renderebbe più pronunciato il segnale di tali segnature.

L'esperimento dell'SPS più idoneo a studiare le fluttuazioni è NA49, caratterizzato da una estesa accettazione e dalla possibilità di identificazione delle particelle per perdita di energia nella TPC e dalla misura del tempo di volo [76].

In fig. 1.25 sono mostrati i dati sperimentali (punti) e gli eventi di fondo calcolati mescolando eventi diversi (linee a tratto pieno) per le distribuzioni di  $\langle p_T \rangle$  (a destra) e del rapporto  $\frac{\langle K^\pm \rangle}{\langle \pi^\pm \rangle}$  (a sinistra) in collisioni centrali Pb-Pb [77][78]. Per il rapporto  $\frac{\langle K^\pm \rangle}{\langle \pi^\pm \rangle}$ , gli eventi di

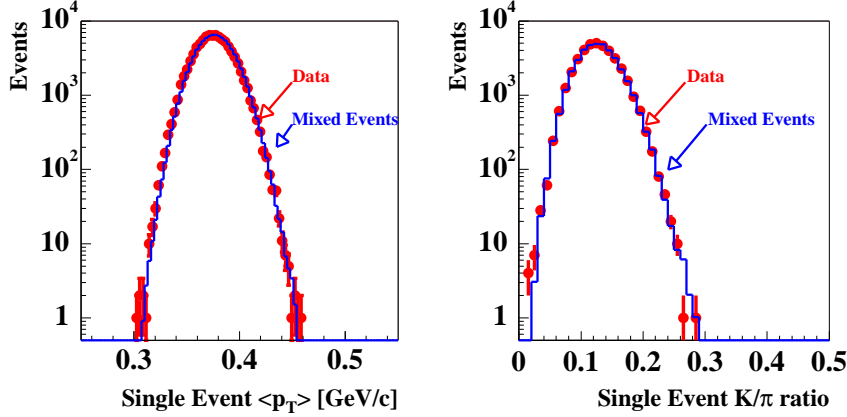


Figura 1.25: Distribuzioni delle variabili  $\langle p_T \rangle$  (destra) e  $\frac{\langle K^\pm \rangle}{\langle \pi^\pm \rangle}$  (sinistra), calcolate evento per evento, in collisioni centrali Pb-Pb a 160 A GeV/c misurate da NA49. I punti rappresentano i dati degli eventi reali, le linee gli eventi *mescolati*.

fondo sono calcolati prendendo i kaoni carichi da un evento e confrontando con i pioni carichi di un altro evento. Per la distribuzione in  $\langle p_T \rangle$  il fondo viene calcolato formando nuovi eventi *mescolati*, ottenuti scegliendo a caso le particelle da più eventi diversi, assicurandosi tuttavia di conservare la distribuzione di molteplicità degli eventi reali. In entrambi i casi è pertanto possibile stimare l'entità di eventuali fluttuazioni non statistiche, definendo l'intensità della fluttuazione non statistica:

$$\sigma_{non\ stat} = \sqrt{\sigma_{data}^2 - \sigma_{mixed}^2} \quad (1.37)$$

La collaborazione NA49 trova che in tutti gli eventi risulta  $\sigma_{non\ stat} < 4.0\%$  con livello di confidenza del 90% per il rapporto  $\frac{\langle K^\pm \rangle}{\langle \pi^\pm \rangle}$  [77]. Questo valore è piccolo rispetto al valore di  $\sim 0.2$  misurato per il rapporto ed indica che il meccanismo responsabile dell'incremento di produzione di stranezza è presente in tutte le collisioni centrali Pb-Pb.

In maniera simile,  $\sigma_{non\ stat} < 1.2\%$  con livello di confidenza del 90% per le fluttuazioni della distribuzione di  $\langle p_T \rangle$  in ciascun evento [78].

In entrambi i casi non vi è evidenza di significative fluttuazioni statistiche su base evento per evento.

## 1.5 La produzione di stranezza come segnale di QGP

La produzione di particelle strane rappresenta una vera e propria pietra miliare per la scoperta sperimentale del QGP ed in particolare per lo studio della formazione ed evoluzione della materia deconfinata. Questo campo di indagine è stato sviluppato intensamente da quando venne proposto, più di vent'anni or sono, sino ad oggi [79][80][81][82][83]. Dal punto di vista teorico, l'interesse suscitato dal segnale della produzione di particelle strane proviene dalle semplici ed attendibili differenze tra uno scenario di produzione di stranezza entro la materia confinata (gas adronico) ed uno entro il QGP:

- Nella fase di QGP, la densità di particelle è sufficientemente alta e la soglia per la produzione di quark ed anti-quark di *flavour* strano sufficientemente bassa affinché si riesca a produrre una elevata popolazione di quark (ed anti-quark) strani entro la durata di vita del plasma [79][80][82][84]; nella fase di gas adronico, invece, una popolazione così abbondante non è raggiungibile [80][85], a meno di non stravolgere i parametri dei modelli al punto tale che molti altri risultati sperimentali non vengano più riprodotti.
- È possibile raggiungere, od addirittura superare, la popolazione di equilibrio chimico nello spazio delle fasi degli adroni solamente quando la fase di QGP, caratterizzata da un alto contenuto entropico, condensa rapidamente ed in modo esplosivo in adroni [80][82][86].

Come si discuterà nei prossimi paragrafi, vi sono diverse ed importanti caratteristiche riguardanti la stranezza, che sono attese nell'ipotesi di deconfinamento; tre in particolare possono essere considerate come i pilastri alla base dell'idea di considerare l'osservabile "stranezza" come segnale del QGP:

1. La simmetria tra materia ed anti-materia, cioè tra i barioni ed i rispettivi anti-barioni strani emessi direttamente, negli spettri di massa trasversa e nella fugacità <sup>10</sup> del quark strano;
2. L'incremento nel tasso di produzione (lo "*yield*", cioè il numero di particelle prodotte per collisione) di barioni ed anti-barioni strani che aumenta con il contenuto di stranezza dei quark;
3. l'incremento del rapporto tra il tasso di produzione di un dato iperone (od anti-iperone) ed il numero di nucleoni partecipanti, nelle collisioni nucleo-nucleo rispetto a quelle protone-nucleo, usate come riferimento.

---

<sup>10</sup>Vedi nota 7.

Ciascuna di queste tre predizioni è stata confermata dagli esperimenti dell'SPS che studiano collisioni indotte da nuclei di piombo all'energia di 160 GeV per nucleone, ed alcune anche dai precedenti esperimenti col fascio di zolfo a 200 GeV per nucleone. Più in particolare:

1. La collaborazione WA97 ha studiato in dettaglio gli spettri di massa trasversa dei barioni ed anti-barioni strani, che presentano una notevolissima simmetria, alquanto inusuale, tra il settore barionico e quello anti-barionico [28].
2. Un'analisi dettagliata dei risultati Pb-Pb condotta dalla collaborazione WA97 ha mostrato, confrontando i risultati p-Be e p-Pb con Pb-Pb, un notevole incremento dello “*yield*” dei barioni ed anti-barioni strani che aumenta col contenuto di stranezza [87][88][89][90]. I risultati della collaborazione NA49 [91] sono consistenti con quelli di WA97. Anche la collaborazione WA85 misura un incremento dei barioni ed anti-barioni strani che aumenta col numero di stranezza, nelle reazioni indotte da S [92].
- 3.a L'incremento nella produzione di stranezza, per valori centrali di rapidità, è stato osservato in collisioni indotte da S dagli esperimenti NA35 [93], WA85 e WA94 [94], ed NA44 [95]. Nelle collisioni Pb-Pb, l'incremento è stato misurato dagli esperimenti WA97 [87][88][96], NA49 [97] ed NA44 [98]. In particolare, come si discuterà nei prossimi paragrafi, i risultati di WA97 suggeriscono che, entro l'intervallo di centralità corrispondente a circa il 40% delle collisioni Pb-Pb più centrali, l'incremento ha ormai raggiunto un valore di saturazione [96]. I dati dell'esperimento NA52 per i kaoni sembrano indicare ulteriormente che la saturazione venga raggiunta molto rapidamente, non appena la centralità della collisione, e quindi la dimensione della materia nucleare interagente, oltrepassi un limite corrispondente ad un numero barionico  $B = 40 \div 50$  per la materia partecipante alla collisione [99].
- 3.b Un incremento globale nella produzione di particelle strane è stato osservato in reazioni indotte da S e da Pb dagli esperimenti NA35 [93] ed NA49 [97].

### 1.5.1 Produzione di stranezza in fase adronica

Nello scenario adronico, in assenza cioè di QGP, la produzione di particelle strane avviene per mezzo di interazioni secondarie nella fase di gas adronico successiva alla collisione tra i nuclei, ed è in genere sfavorita rispetto alla produzione di adroni contenenti solo i quark leggeri  $u$  e  $d$ . Dal punto di vista teorico, ciò è riconducibile alla rottura della simmetria chirale ed al conseguente innalzamento della massa del quark  $s$  nello stato confinato.

Le tipiche reazioni in cui si generano iperoni sono quelle *dirette* o di *produzione associata*. Nell'interazione primaria tra i nucleoni vengono infatti prodotti principalmente pioni; questi possono interagire con i nucleoni o con altri adroni prodotti nell'interazione dando luogo alla *produzione associata*. Nella seguente tabella sono riportate le reazioni che dominano la produzione di particelle strane in funzione del contenuto di stranezza dell'adrone prodotto ( $Y = \Lambda$  o  $\Sigma$ ):

$$\begin{aligned}
|s| = 1 : \quad & \pi N \rightarrow KY \quad \pi \bar{N} \rightarrow \bar{K} \bar{Y} \quad \pi \pi \rightarrow K \bar{K} \\
& NN \rightarrow NKY \quad NN \rightarrow NNY \bar{Y} \\
|s| = 2 : \quad & \pi Y \rightarrow \Xi K \quad \pi \bar{Y} \rightarrow \bar{K} \bar{\Xi} \quad NN \rightarrow NN \Xi \bar{\Xi} \quad \pi \pi \rightarrow \Xi \bar{\Xi} \\
|s| = 3 : \quad & \pi \Xi \rightarrow \Omega K \quad \pi \bar{\Xi} \rightarrow \bar{K} \bar{\Omega} \quad NN \rightarrow NN \Omega \bar{\Omega} \quad \pi \pi \rightarrow \Omega \bar{\Omega}
\end{aligned} \tag{1.38}$$

Tutte queste reazioni sono caratterizzate da sezioni d'urto piuttosto piccole, dell'ordine dei  $100 \mu\text{b}$  [80], e da soglie molto elevate rispetto alla temperatura del sistema.

Ad esempio, per produrre una  $\Lambda$ :

$$pp \rightarrow p + \Lambda + K^+$$

è richiesta un'energia di soglia nel centro di massa di 671 MeV, e per produrre un  $\bar{\Lambda}$  ( $pp \rightarrow pp\Lambda\bar{\Lambda}$ ) un'energia di 2231 MeV. La produzione diretta di un'antiomega ( $\bar{\Omega}[\bar{s}\bar{s}\bar{s}]$ ) può avvenire mediante la reazione  $\pi\pi \rightarrow \Omega\bar{\Omega}$  con un'energia di soglia di 3.3 GeV.

La produzione di barioni ed anti-barioni con più di un'unità di stranezza è particolarmente sfavorita: essa avviene infatti attraverso reazioni dirette caratterizzate da soglie particolarmente elevate oppure deve procedere attraverso una catena di reazioni nelle quali la stranezza dell'adrone aumenta progressivamente, il che richiede comunque tempi molto più lunghi rispetto alla vita della *fireball*.

Una volta creata, la stranezza viene ridistribuita tra le varie specie adroniche tramite le seguenti reazioni:

$$\begin{aligned}
\bar{K}N &\rightarrow Y\pi & K\bar{N} &\rightarrow \bar{Y}\pi \\
\bar{K}Y &\rightarrow \Xi\pi & K\bar{Y} &\rightarrow \bar{\Xi}\pi \\
\bar{K}\Xi &\rightarrow \Omega\pi & K\bar{\Xi} &\rightarrow \bar{\Omega}\pi
\end{aligned} \tag{1.39}$$

Tutte queste reazioni sono esotermiche e le relative sezioni d'urto sono circa un ordine di grandezza maggiori della sezione d'urto di produzione di stranezza. Tuttavia, come evidenziato dalle eq. 1.39, la produzione di anti-barioni strani è penalizzata poiché avviene attraverso interazioni con anti-nucleoni, la cui presenza è particolarmente scarsa nel gas

adronico. Al crescere della densità di particelle strane cominciano a diventare importanti le reazioni di annichilazione, di cui si può anche tener conto per calcolare con maggiore precisione l'evoluzione temporale delle abbondanze delle diverse specie:

$$\begin{aligned}
 N\bar{N} &\rightarrow \sim 5\pi \\
 Y\bar{N} &\rightarrow \bar{K}+ \sim 4\pi & \bar{Y}N &\rightarrow K+ \sim 4\pi \\
 \Xi\bar{N} &\rightarrow 2\bar{K}+ \sim 3\pi & \bar{\Xi}N &\rightarrow 2K+ \sim 3\pi \\
 \Omega\bar{N} &\rightarrow 3\bar{K}+ \sim 2\pi & \bar{\Omega}N &\rightarrow 3K+ \sim 2\pi.
 \end{aligned}$$

D'altra parte è stato dimostrato che, in un gas adronico ad elevata densità, qualora si riesca a raggiungere l'equilibrio chimico, la produzione di stranezza può anche diventare confrontabile con quella relativa al plasma [100]. Diventa quindi cruciale valutare il tempo in cui l'equilibrio chimico di stranezza può essere raggiunto nelle interazioni adroniche. In fig. 1.26 è mostrato l'andamento della produzione di stranezza in funzione del tempo per un gas adronico avente temperatura  $T = 160$  MeV e potenziale barionico nullo ( $\mu_B = 0$ , linea punteggiata) o pari a 450 MeV (linea tratteggiata).

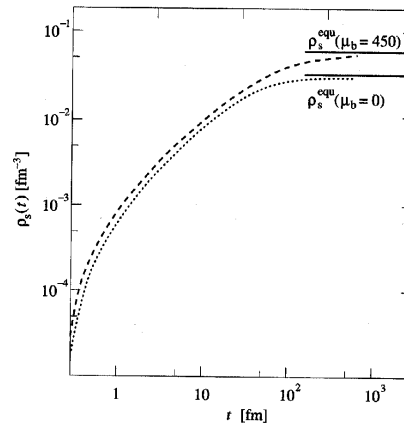


Figura 1.26: Produzione di stranezza in funzione del tempo in un gas adronico a  $T = 160$  MeV. Sono mostrati i risultati per due valori del potenziale chimico barionico ( $\mu_b = 0$  e 450 MeV) [80].

La saturazione nella produzione di stranezza viene raggiunta, nello scenario di gas adronico, dopo tempi dell'ordine dei 100 fm/c, molto più lunghi rispetto al tempo di vita del sistema interagente ( $\sim 10$  fm/c). Non vi è dunque il tempo necessario per raggiungere la popolazione di particelle strane attesa all'equilibrio chimico.

### 1.5.2 Produzione di stranezza nel QGP

All'interno del QGP la produzione di quark strani è limitata unicamente dalla conservazione della stranezza; la frequenza di produzione e la scala dei tempi per il raggiungimento dell'equilibrio chimico possono essere calcolate per mezzo della teoria di campo all'equilibrio termico oppure, se la temperatura è sufficientemente elevata, anche con la QCD perturbativa. Si accennerà brevemente a questo secondo tipo di approccio, meno consolidato rispetto al primo, volendo soffermarsi sui diversi processi elementari di produzione.

Da un punto di vista microscopico, la produzione di stranezza avviene per mezzo dei processi elementari riportati in fig. 1.27: annichilazione quark anti-quark (a) e fusione gluonica (b). Inoltre vi è il contributo dovuto al decadimento degli stati massivi di eccitazione collettiva, i "plasmoni", del tipo  $g^* \rightarrow s\bar{s}$  (fig 1.27.c). A temperatura finita, infatti, tutte le

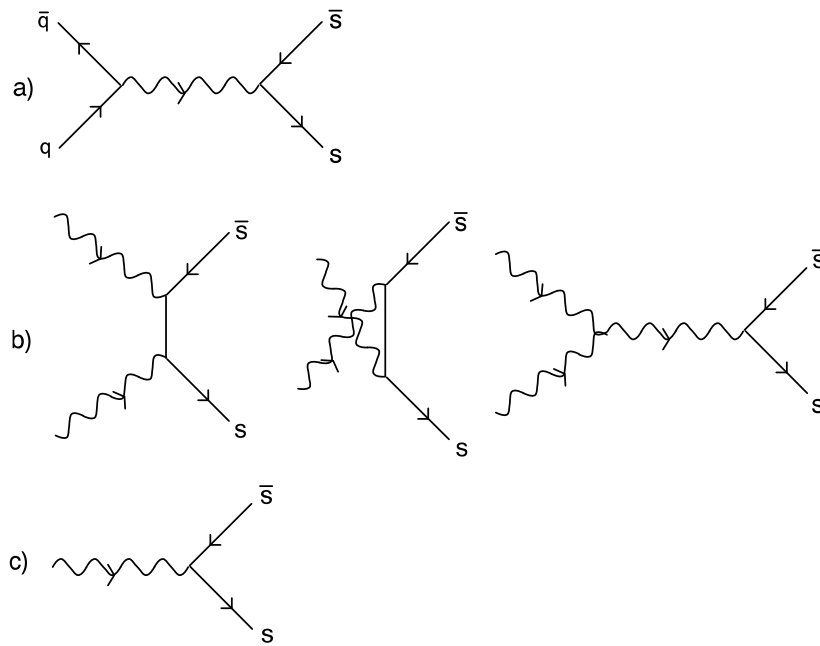


Figura 1.27: Diagrammi di QCD all'ordine più basso per i processi  $q\bar{q} \rightarrow s\bar{s}$  (a),  $gg \rightarrow s\bar{s}$  (b) e  $g^* \rightarrow s\bar{s}$ .

teorie di gauge con particelle a massa nulla presentano complicazioni dovute alle singolarità infrarosse; per superare queste difficoltà si può adoperare una tecnica per ricalcolare le somme dei contributi a piccoli impulsi per temperature e densità non nulle [101]; l'idea alla

base di questo approccio consiste nell’assumere un termine per il propagatore delle particelle leggere, con impulso  $\lesssim gT$  ( $g \ll 1$ ), che contenga correzioni dovute alla auto-interazione con il mezzo. In tal modo, all’ordine più basso dello sviluppo perturbativo in  $g$ , le particelle di piccolo impulso, in un ambiente a temperatura finita, acquistano una massa termica ( $m_{ter}$ ) pari a

$$m_g = (N_c + N_f/2)g^2T^2/9 \quad (1.40)$$

$$m_q = m_q^0 + g^2T^2/6, \quad (1.41)$$

rispettivamente, per i gluoni e per i quark. Questi “modi” massivi per i quark ed i gluoni sono l’equivalente per la QCD a temperatura finita dei modi plasmonici nel gas di elettroni o nel plasma elettromagnetico. All’ordine perturbativo successivo, la massa di questi “modi” acquisisce anche una larghezza termica ( $\Delta m_{ter}$ ), cui corrisponde una vita media finita. Il processo in fig. 1.27.c, cinematicamente vietato per un propagatore gluonico senza auto-interazione col mezzo ( $m_g = 0$ ), è ora permesso in virtù della massa finita e della larghezza termica del gluone.

Con questa nuova tecnica è stato possibile ricalcolare la frequenza di produzione dei quark strani entro il QGP [84][102], con maggior precisione rispetto ai primi calcoli inizialmente eseguiti [79][80] per i processi  $q\bar{q} \rightarrow s\bar{s}$  e  $gg \rightarrow s\bar{s}$ , ma soprattutto è possibile considerare il nuovo processo  $g^* \rightarrow s\bar{s}$ . A ragion del vero, il decadimento di un gluone termico in una coppia di quark strani era già stata considerata in [103], lì dove, però, la motivazione di introdurre una massa finita per il gluone proveniva da quanto suggerito dai risultati della QCD su reticolo [104].

I risultati di un calcolo svolto con questa tecnica, assumendo per i quark le loro masse costituenti e per i gluoni una massa costante ed indipendente dalla temperatura, sono mostrati in fig. 1.28. Il grafico nel riquadro superiore è il risultato dei primi calcoli [79][80] svolti con  $m_g = 0$  (propagatore gluonico “nudo”), quello nel riquadro inferiore assume  $m_g = 500$  MeV. Nel primo caso, il processo di fusione gluonica (fig. 1.27.b) è la sorgente dominante per la produzione di quark strani, superando di un ordine di grandezza la produzione per annichilazione di quark leggeri, a causa del maggior numero di gradi di libertà a disposizione dei gluoni. Nel secondo caso, una massa non nulla per i gluoni provoca una diminuzione della frequenza delle fusioni tra gluoni, in quanto si riduce notevolmente il fattore statistico di Bose per i gluoni entranti nel diagramma di fig. 1.27.b, ed un aumento della frequenza di produzione per annichilazione  $q\bar{q}$  dei quark leggeri, in quanto il gluone intermedio è ora solo leggermente “*off mass shell*” (fuori dalla massa fisica), in virtù della sua massa termica. Il processo più importante diventa, per valori elevati di  $m_g$  quali quelli qui considerati, il decadimento del gluone termico. Tuttavia, sebbene con l’introduzione della

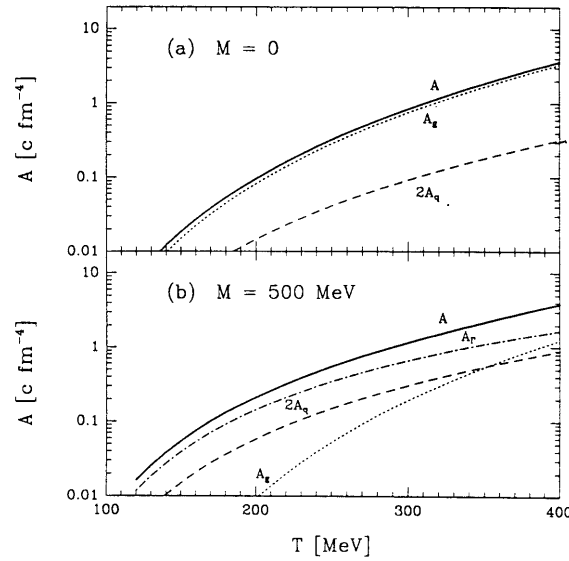


Figura 1.28: Frequenza di produzione ( $A = d^4N/dx^4$  parziale e totale dei quark strani, per i processi  $q\bar{q} \rightarrow s\bar{s}$  (linea tratteggiata,  $A_q$ ),  $gg \rightarrow s\bar{s}$  (linea a puntini,  $A_g$ ) e  $g^* \rightarrow s\bar{s}$  (linea tratto-punto,  $A_r$ ), in funzione della temperatura.  $M$  indica il valore usato per la massa termica dei gluoni.

massa termica dei gluoni vi siano cambiamenti anche sostanziali nelle frequenze parziali dei diversi processi, la frequenza totale  $A = R_{tot} = R_{q\bar{q} \rightarrow s\bar{s}} + R_{gg \rightarrow s\bar{s}} + R_{g^* \rightarrow s\bar{s}}$  rimane quasi invariata [103].

Si può dimostrare [82] che la densità di quark strani nel plasma ( $\rho_s$ ) raggiunge l'equilibrio in maniera asintotica, secondo la legge:

$$\rho_s(t) = \rho_s(\infty) \tanh(t/2\tau_s) \sim \rho_s(\infty)(1 - 2e^{-t/\tau_s}) \quad \text{per } t \gg \tau_s \quad (1.42)$$

dove  $\rho_s(\infty)$  indica la densità di quark strani all'equilibrio e  $\tau_s$ , detta costante di tempo di rilassamento chimico, fornisce una stima della scala di tempo necessaria per la saturazione della produzione di stranezza. In fig. 1.29 è mostrato l'andamento di tale costante in funzione della temperatura del QGP. Il contributo dei processi gluonici (linea sottile), fusione od annichilazione, risulta dominante rispetto a quello proveniente dall'annichilazione dei quark (linea tratteggiata) e la somma dei contributi (linea spessa) indica che l'equilibrio chimico nella produzione di quark strani è raggiunto entro  $\sim 3 \text{ fm}/c$  se la temperatura del plasma si mantiene al di sopra dei 200 MeV. Il calcolo della costante di tempo di rilassamento dipende

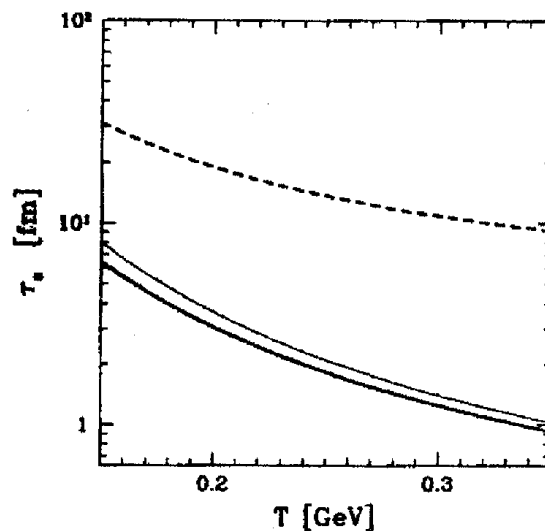


Figura 1.29: Costante di tempo di rilassamento chimico per la stranezza nel QGP in funzione della temperatura. Il contributo dei quark (linea tratteggiata), dei gluoni (linea sottile) e totale (linea spessa) sono calcolati per  $m_s = 160$  MeV ed  $\alpha_s = 0,6$  [82].

dai valori usati per  $m_s$  ed  $\alpha_s$  ma, anche nei casi più sfavorevoli, risulta confrontabile col tempo di vita del QGP.

Il parziale ripristino della simmetria chirale contribuisce a favorire la produzione di stranezza nel QGP, riducendo la soglia di produzione di coppie  $s\bar{s}$ . Inoltre, la produzione dei quark  $u$  e  $d$  risulta sfavorita in regimi di alta densità barionica, quale quello creato in seguito alle collisioni all’SPS. Infatti, la grande abbondanza di quark  $u$  e  $d$  inizialmente pre-esistenti nel plasma si traduce in un alto valore del potenziale bariochimico  $\mu_B$  del plasma, ed in una riduzione di un fattore  $e^{-\frac{\mu_B}{3}/T}$  dell’ulteriore produzione di quark leggeri (“*Pauli blocking*”). Questi meccanismi fanno sì che nel plasma all’equilibrio chimico, l’abbondanza di quark  $\bar{u}$ ,  $\bar{d}$ , e  $\bar{s}$  sia simile e, di conseguenza, sia fortemente favorita la produzione di antibarioni strani e multi-strani rispetto a quanto avviene nelle normali interazioni adroniche.

### 1.5.3 Risultati sperimentali di WA97

L’esperimento che sino ad ora ha studiato in maggior dettaglio la produzione di particelle strane nelle collisioni tra ioni ultra-relativistici è WA97 [105]. Esso ha studiato la produzione

di iperoni  $\Lambda$ ,  $\Xi^-$ ,  $\Omega^-$  ed i rispettivi anti-iperoni, di  $K_S^0$  e di particelle cariche negativamente ( $h^-$ ) a rapidità centrale ed impulso trasverso medio-alto ( $p_T \sim 0.5 \div 3$  GeV/c) in collisioni Pb-Pb a 158 GeV/c per nucleone ed in collisioni p-Be e p-Pb alla stessa energia. In questo paragrafo si esporranno brevemente i principali risultati della collaborazione WA97.

La centralità delle collisioni Pb-Pb viene determinata [35] misurando la molteplicità di particelle cariche prodotte nell'interazione ed è parametrizzata in termini di nucleoni partecipanti alle collisioni, valutati con il modello di Glauber. In termini di centralità, sono state definite quattro classi, indicate con i numeri romani da I a IV, cui corrispondono i numeri medi ( $N_W$ ) e le  $FWHM$  della distribuzione di nucleoni partecipanti riportate in tabella 1.5. L'insieme delle quattro classi corrisponde alle interazioni più centrali, per circa il 40% della sezione d'urto d'interazione anelastica.

	p-Be	p-Pb	Classe I	Classe II	Classe III	Classe IV
$\langle N_W \rangle$	2.5	4.75	$120.1^{+5.7}_{-6.1}$	$204.6^{+4.1}_{-4.4}$	$289.0^{+2.5}_{-2.9}$	$350.6^{+0.9}_{-1.1}$
$FWHM$			79.7	90.3	81.3	72.1

Tabella 1.5: Valor medio e  $FWHM$  delle distribuzioni di nucleoni partecipanti per le collisioni p-Be, p-Pb e Pb-Pb nelle quattro classi di centralità di WA97.

Dalla misura sperimentale della distribuzione degli impulsi delle particelle di una data specie  $\frac{d^2N(m_T, y)}{dm_T dy}$ , si determina il numero di particelle prodotte per evento (“*yield*”) nell'unità di rapidità intorno al valore centrale ed estrapolato all'intero spettro di impulso trasverso, secondo l'espressione:

$$Yield = \int_m^\infty dm_T \int_{y_{CM}-0.5}^{y_{CM}+0.5} dy \frac{d^2N(m_T, y)}{dm_T dy} \quad (1.43)$$

Poiché si considera un piccolo intervallo di rapidità (un'unità) attorno al valore di rapidità centrale, è ragionevole assumere una parametrizzazione per la distribuzione sperimentale  $\frac{d^2N(m_T, y)}{dm_T dy}$  — che viene misurata generalmente in una finestra di accettazione più piccola rispetto a quella in cui si valuta lo “*yield*” — indipendente da  $y$  (*cfr.* paragrafo 1.4.2), per cui:

$$\frac{d^2N(m_T, y)}{dm_T dy} = \text{cost } m_T \exp\left(-\frac{m_T}{T_{app}}\right)$$

I valori del parametro  $T_{app}$ , pari all'inverso della pendenza degli spettri di massa trasversa in coordinate logaritmiche, misurati da WA97 sono riportati in tabella 1.6 [28]: L'andamento del parametro  $T_{app}$  in funzione della centralità della collisione è mostrato in fig. 1.30. Si osserva dalla tabella 1.6 e dalla fig. 1.30 che, entro gli errori sperimentali, le particelle e le

Particella	Pendenza Inversa $T_{app}$ (MeV)
$h^-$	$197 \pm 2$
$K_S^0$	$230 \pm 2$
$\Lambda$	$289 \pm 3$
$\bar{\Lambda}$	$287 \pm 4$
$\Xi^-$	$286 \pm 9$
$\bar{\Xi}^+$	$284 \pm 17$
$\Omega^- + \Omega^+$	$251 \pm 19$

Tabella 1.6: Inverso della pendenza degli spettri di massa trasversa per le particelle misurate da WA97 [28].

rispettive antiparticelle strane (i.e. le  $\Lambda$  e le  $\Xi$ ) presentano stessi valori per il parametro  $T_{app}$ . L'esigua statistica a disposizione per la particella  $\Omega$ , che dispone di tre unità di stranezza ed è quindi molto più rara, non ha permesso di separare le  $\Omega^-$  dalla rispettiva antiparticella  $\bar{\Omega}^+$ . Una conferma di un simile risultato di simmetria tra il settore barionico e quello anti-barionico, anche per la  $\Omega$ , sarebbe dunque estremamente interessante.

Una volta noto lo “*yield*”, l'incremento nella produzione di una data particella tra le interazioni Pb-Pb e quelle di riferimento (p-Be) viene definito come:

$$E = \left( \frac{\langle Yield \rangle}{\langle N_{part} \rangle} \right)_{\text{Pb-Pb}} / \left( \frac{\langle Yield \rangle}{\langle N_{part} \rangle} \right)_{\text{p-Be}} \quad (1.44)$$

dove  $\langle Yield \rangle$  è lo “*yield*” di produzione nell'interazione o classe di centralità cui corrisponde un numero medio di nucleoni partecipanti pari a  $\langle N_{part} \rangle$ . In fig. 1.31 è mostrata la dipendenza dell'incremento  $E$  dal numero di nucleoni partecipanti alla collisione [96]. Le particelle sono state divise tra quelle che non contengono alcun quark di valenza in comune con quelli originariamente presenti nel sistema interagente ( $\bar{\Lambda}[\bar{u}\bar{d}\bar{s}]$ ,  $\bar{\Xi}^+[\bar{d}\bar{s}\bar{s}]$ ,  $\Omega^-[\text{sss}]$  e  $\bar{\Omega}^+[\bar{s}\bar{s}\bar{s}]$ ), e quelle che ne contengono ( $h^-[\sim d\bar{u}]$ ,  $\Lambda[uds]$  e  $\Xi^-[dss]$ )<sup>11</sup>. La linea orizzontale corrisponde al caso di uno “*yield*” che aumenti linearmente col numero di nucleoni partecipanti, andamento atteso nell'ipotesi che la collisione Pb-Pb possa interpretarsi semplicemente come una sovrapposizione di collisioni elementari  $N$ - $N$ . In quest'ultima ipotesi, infatti, non dovrebbe osservarsi alcun incremento tra le collisioni p-Be, che meglio approssimano le collisioni  $N$ - $N$ , o p-Pb, cui corrisponde un numero di nucleoni partecipanti di poco superiore a p-Be, e la collisione Pb-Pb. Il discostarsi dell'incremento dall'unità, od equivalentemente la dipendenza dello “*yield*” da  $\langle N_{part} \rangle$  più rapida di una

<sup>11</sup>Tra le particelle di carica negativa  $h^-$ , costituiti prevalentemente da  $\pi^-[d\bar{u}]$ , vi sono però anche  $K^-[\bar{u}s]$  e  $\bar{p}[\bar{u}\bar{u}\bar{d}]$  che non contengono alcun quark.

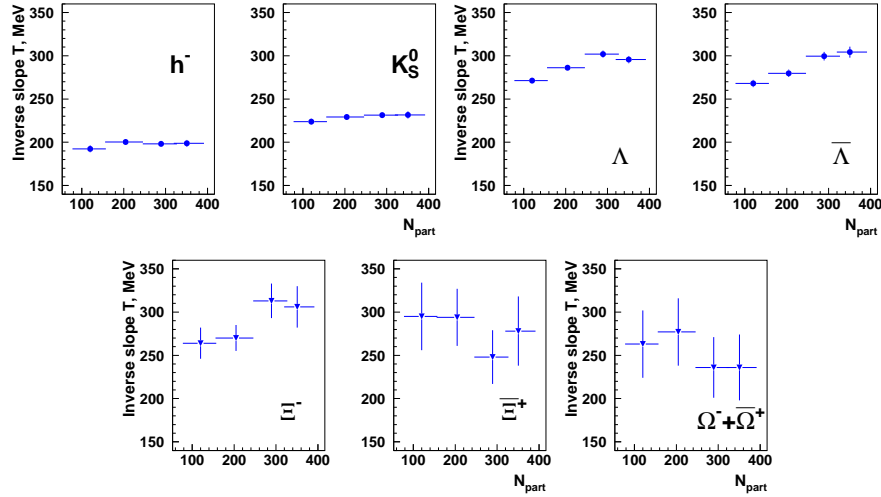


Figura 1.30: Parametro  $T_{app}$  degli spettri di massa trasversa in funzione dalla centralità della collisione, come misurato da WA97 [28].

legge lineare, suggerisce che differenti processi di produzione delle particelle si instaurano nelle collisioni Pb-Pb.

Si osserva che l'incremento aumenta con il contenuto di stranezza dell'adrone, come atteso nello scenario di QGP:

$$E(\Omega^- + \bar{\Omega}^+) > E(\bar{\Xi}^+) > E(\bar{\Lambda})$$

$$E(\Xi) > E(\Lambda) > E(h^-).$$

L'incremento più elevato osservato, in corrispondenza dell'iperone  $\Omega$ , è pari ad un fattore circa quindici rispetto alle interazioni p-Be, cioè allo scenario di normali interazioni adroniche. Questi risultati costituiscono una delle evidenze sperimentali più significative del raggiungimento dello stato di QGP al SPS.

I dati in fig. 1.31 suggeriscono inoltre che, nelle collisioni Pb-Pb, entro l'intervallo di centralità coperto da WA97, l'incremento della produzione di stranezza abbia ormai raggiunto un valore di saturazione. Se questo incremento è imputabile al raggiungimento della fase deconfinata, ciò implica che in tutte le classi di centralità definite in WA97 può aver luogo la transizione.

È dunque di notevole interesse poter innanzitutto confermare con un nuovo esperimento i risultati di WA97 qui brevemente esposti, ed ancor di più poter esplorare la regione di fig. 1.31 compresa tra  $N_{part} \approx 5$  (corrispondente alle interazioni p-Pb) ed  $N_{part} \simeq 120$

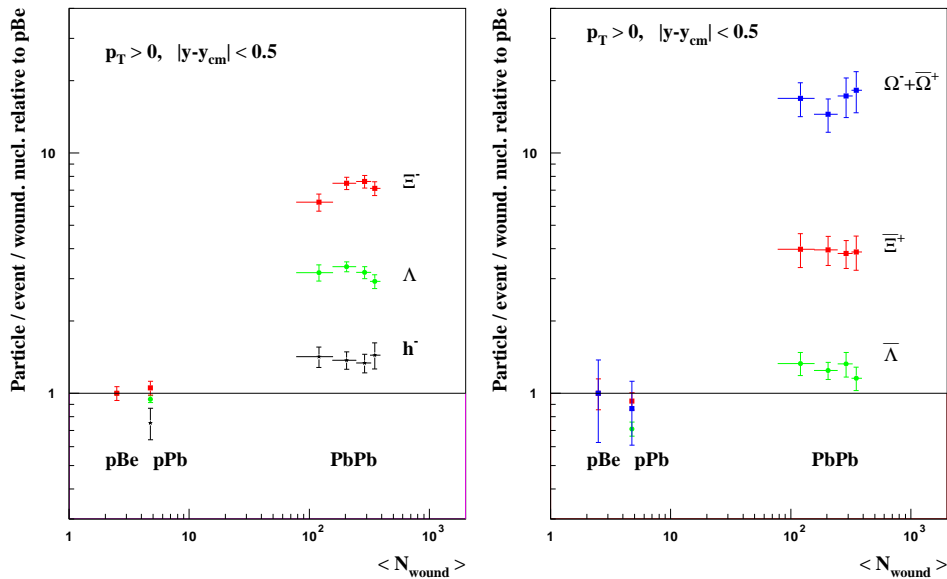


Figura 1.31: Incremento nella produzione di stranezza misurato da WA97 (si veda il testo per i dettagli).

(corrispondente alla I classe di WA97, cioè quella delle collisioni più periferiche). Infine, se la materia nucleare effettua davvero la transizione nel QGP, si può pensare di determinare i limiti per cui questa può avvenire anche diminuendo l'energia inizialmente a disposizione per il sistema; ciò vuol dire utilizzare fasci di ioni meno energetici rispetto a quello di Pb a  $160 A \text{ GeV}/c$  usato da WA97, oppure sistemi più leggeri.

Questo è il programma sperimentale di NA57, come sarà descritto nei prossimi capitoli.

## 1.6 Conclusioni

In questo capitolo si sono dunque descritte le maggiori evidenze sperimentali di QGP all'SPS, dovute agli esperimenti che hanno studiato (e studiano tuttora) le collisioni tra nuclei pesanti ultra-relativistici.

Considerando *globalmente* tutte queste evidenze, e con maggior rilevanza quelle sulla soppressione della produzione degli stati di charmonio (*paragrafo* 1.4.4) e sull'incremento della produzione di stranezza (*paragrafo* 1.5.3), diventa un'impresa ardua, se non impossibile, giustificarle simultaneamente in uno scenario adronico senza la transizione nella fase di QGP.

Nel febbraio del 2000 il laboratorio del CERN ha infatti formalmente annunciato [106] di ritenere conclusive le evidenze sperimentali sin qui raccolte dai suoi esperimenti coinvolti in questo campo:

*“... A common assessment of the collected data leads us to conclude that we now have compelling evidence that a new state of matter has indeed been created, at energy densities which had never been reached over appreciable volumes in laboratory experiments before and which exceed by more than a factor 20 that of normal nuclear matter. The new state of matter found in heavy ion collisions at the SPS features many of the characteristics of the theoretically predicted quark-gluon plasma...”* (dal discorso del prof. L. Maiani, direttore generale del CERN).

Restano tuttavia tantissimi interrogativi cui urge fornire risposta. Il primo e più ovvio è il seguente: a partire da quali condizioni avviene la transizione di fase ?



## Capitolo 2

# L'esperimento NA57 al CERN

### 2.1 Introduzione

L'esperimento NA57 si propone di studiare la produzione di particelle strane e multi-strane nelle collisioni tra nuclei di piombo ultra-relativistici ed in collisioni di riferimento tra protone e berillio [107].

Nell'ambito del programma di studio delle interazioni tra nuclei pesanti di altissima energia portato avanti dal CERN, l'esperimento NA57 rappresenta la naturale evoluzione dei precedenti esperimenti WA85 [108], WA94 [109] e WA97 [105]. Questi hanno studiato, nell'ordine, le interazioni zolfo-tungsteno (protone-tungsteno) a  $200 A \text{ GeV}/c$ , zolfo-zolfo (protone-zolfo) a  $200 A \text{ GeV}/c$  e piombo-piombo (protone-piombo e protone-berillio) a  $160 A \text{ GeV}/c$  nello spettrometro OMEGA [110] del CERN. I primi due esperimenti, WA85 e WA94, utilizzavano un sistema di camere proporzionali multifili per la ricostruzione dei decadimenti di particelle strane. In WA97 si è usato un telescopio di rivelatori a microstrip di silicio in cui sono stati introdotti i primi rivelatori a pixel di silicio, gli *Omega2* (cfr. paragrafo 2.4.3); questi sono stati poi ripresi e sviluppati ulteriormente (*Omega3*) in NA57, sostituendo completamente le microstrip.

Come esposto nel capitolo primo, WA97 ha studiato la produzione di particelle strane in funzione della centralità della collisione Pb-Pb confrontando con la produzione nelle interazioni di riferimento p-Be e p-Pb. Il principale risultato di questo esperimento consiste nell'aver osservato che la produzione di particelle strane non scala linearmente col numero di nucleoni che prendono parte all'interazione. Al contrario, il numero di particelle strane di una data specie prodotte per evento (il "tasso", o *yield* in inglese), diviso il numero di nucleoni interagenti, è incrementato nelle interazioni Pb-Pb rispetto a quelle p-Be e p-Pb. Tale incremento presenta una gerarchia che dipende dal numero di stranezza

dell'iperone: l'incremento aumenta con il contenuto di stranezza della particella. Un simile comportamento è atteso nell'ipotesi di formazione del QGP nelle collisioni Pb-Pb e di normali interazioni adroniche nelle collisioni di riferimento.

Il secondo più importante risultato di WA97 è quello che l'incremento di produzione di stranezza sembra aver ormai raggiunto un valore di saturazione nell'intervallo di centralità coperto dall'esperimento. Ciò dovrebbe dunque suggerire che, nell'ipotesi che l'incremento osservato sia conseguenza della transizione di fase nello stato di QGP, tale transizione avvenga in tutte le collisioni Pb-Pb osservate da WA97, indipendentemente dalla loro centralità.

L'esperimento NA57 si prefigge di estendere e completare le misure di WA97, in particolare si vuole:

- investigare la dipendenza dall'energia del fascio incidente dell'incremento nella produzione di particelle strane e multi-strane;
- misurare il tasso di produzione di particelle strane e multi-strane su di un intervallo di centralità più esteso (verso la regione periferica) rispetto a quello coperto da WA97.

Per rispondere al primo obiettivo, si sono raccolti dati utilizzando il fascio di ioni di piombo a due diverse energie:  $160 A \text{ GeV}/c$  e  $40 A \text{ GeV}/c$ . Come interazione di riferimento all'energia più bassa ( $40 \text{ GeV}/c$  per nucleone), si sono considerate le collisioni p-Be a  $40 \text{ GeV}/c$ . Non si prevede di raccogliere nuovi dati sulle interazioni di riferimento protone-nucleo all'energia di  $160 \text{ GeV}/c$ , poiché si possono utilizzare i dati già raccolti da WA97.

Per raggiungere il secondo obiettivo, ci si è impegnati per ridurre al minimo tutte le interazioni del fascio al di fuori del bersaglio e per migliorare le caratteristiche del fascio stesso, quali la stabilità e la focalizzazione.

## 2.2 Il fascio

Dalla sua costruzione nel 1976 il *Super Proton Synchrotron* (SPS) del CERN ha subito varie modifiche prima di essere in grado di accelerare ioni pesanti [111].

L'esperimento NA57 utilizza la linea di fascio H4 estratta nell'area Nord dell'SPS. In fig. 2.1 sono mostrati i vari stadi di accelerazione degli ioni di piombo. Il primo stadio della produzione del fascio di ioni piombo prevede una sorgente a risonanza elettronica di ciclotrone (ECR). Nell'ECR gli atomi di piombo vengono sublimati da un campione di piombo; essi sono quindi ionizzati a seguito di urti con degli elettroni liberi, che provengono da molecole di ossigeno, e che vengono accelerati lungo un campo magnetico applicato alla

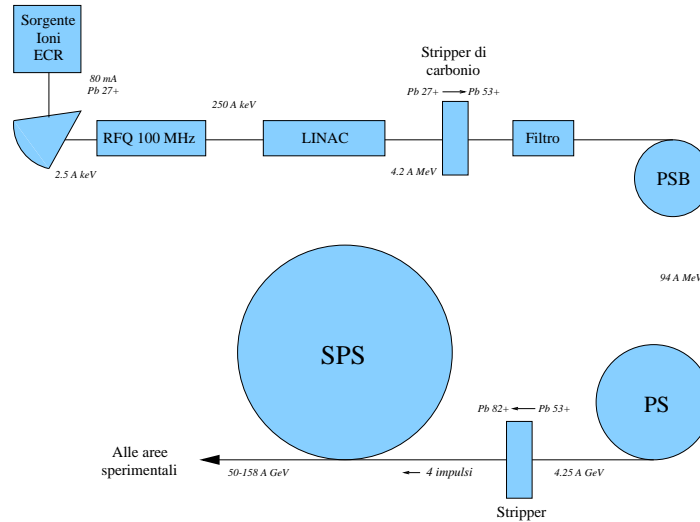


Figura 2.1: Schema degli stadi di accelerazione del fascio di piombo.

sorgente (fig. 2.2). Dall'ECR gli ioni vengono immessi nella *linea di trasporto di bassa energia* e quindi nello spettrometro ad alta risoluzione che seleziona gli ioni  $\text{Pb}^{27+}$ . Gli ioni passano quindi attraverso il campo di un quadrupolo a radiofrequenza (RFQ) da 100 MHz dove vengono focalizzati, suddivisi in pacchetti ed accelerati da  $2.5 \text{ A keV}/c$  a  $250 \text{ A keV}/c$ . A questo punto la *linea di trasporto di energia intermedia* guida il fascio fino ad un acceleratore lineare (LINAC). Nel LINAC gli ioni di piombo vengono accelerati sino a  $4.2 \text{ A MeV}/c$ ; il fascio passa quindi attraverso un foglio di carbonio nel quale perde parte dei rimanenti elettroni. Una serie di magneti seleziona lo stato di carica  $\text{Pb}^{53+}$ . Da questo momento gli ioni vengono portati ai successivi stadi di accelerazione tramite la *linea di trasporto di alta energia*.

Il  $\text{Pb}^{53+}$  viene iniettato senza ulteriore ionizzazione nel *Proton Synchrotron Booster* (PSB).

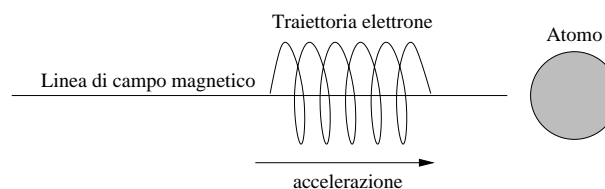


Figura 2.2: Principio di funzionamento dell'ECR.

Esso è stato appositamente modificato per il fascio di piombo in modo da poter raggiungere un vuoto con pressioni sino a soli  $10^{-7}$  Pa. Le radiofrequenze del PSB sono impulsate in modo tale da preservare la struttura a pacchetti del fascio ed impartiscono agli ioni una accelerazione tale che la loro velocità passi dal 10% al 20% della velocità della luce. Il processo di accelerazione viene ripetuto una seconda volta, a seguito della quale la velocità degli ioni diventa pari al 42 % della velocità della luce e gli ioni lasciano il PSB con un momento di  $94 A \text{ MeV}/c$ .

Lo stadio successivo si serve del *Proton Synchrotron (PS)*. Il processo di accelerazione nel PS è organizzato in super-cicli di durata di  $19.2 s$ , che corrispondono a quattro cicli del PSB, ciascuno della durata di  $1.2 s$ . Il tempo rimanente è dedicato alla iniezione di elettroni e positroni: il complesso dell'SPS è infatti in grado di fornire contemporaneamente un fascio di ioni pesanti ed uno di elettroni e positroni da iniettare nel *Large Electron Positron collider (LEP)*. Dopo aver raggiunto un'energia di  $4.5 A \text{ GeV}/c$  i quattro pacchetti di ioni sono consecutivamente iniettati nell'SPS, dopo esser passati attraverso un foglio che li priva dei rimanenti elettroni, portandoli nello stato di carica  $\text{Pb}^{82+}$ . Nell'SPS gli ioni vengono quindi accelerati sino ad un momento di  $40$  o  $156 A \text{ GeV}/c$  ed inviati verso i vari esperimenti situati nella *Nord Area* e nella *West Area*. Il tempo totale di estrazione di un pacchetto è di  $4.8 s$  e due pacchetti sono intervallati tra loro di  $19.2 s$ , mentre la tipica intensità del fascio di piombo nella linea H4 è di circa  $10^6$  ioni per estrazione.

Per lo studio dell'interazione p-Be a  $40 A \text{ GeV}/c$  viene utilizzato un fascio secondario, costituito cioè da protoni non direttamente accelerati dall'SPS, in quanto quest'ultimo è stato progettato per accelerare protoni a più elevato momento ( $450 \text{ GeV}/c$ ). Il fascio primario di protoni di energia pari a  $450 \text{ GeV}$ , subito dopo la sua estrazione dall'SPS, interagisce con un bersaglio di berillio; le particelle secondarie positive aventi momento di  $40 \text{ GeV}/c$  ( $\pm 0.5\%$ ) sono selezionate ed introdotte nella linea di fascio H4 per mezzo di collimatori e magneti bipolari; esse sono infine focalizzate sul bersaglio per mezzo di magneti quadrupolari. L'intensità del fascio primario estratto è di circa  $10^9$  protoni per ciclo, alla quale corrisponde un'intensità del fascio secondario di circa  $10^6$  protoni per ciclo. La durata del ciclo di accelerazione per i protoni è di  $14.4 s$  e la durata dell'estrazione è di  $2 s$ .

Il fascio estratto è composto prevalentemente da pioni e kaoni, oltre che da protoni (circa il 30%). La contaminazione delle altre particelle deve quindi essere eliminata; a tale scopo si utilizzano due rivelatori Čerenkov (*C1* e *C2*) a soglia posti lungo la linea di fascio H4. La regolazione della pressione del gas consente di ottimizzare l'efficienza di identificazione dei protoni ( $\simeq 100\%$ ), con una reiezione di questi pari a circa il 30% delle particelle incidenti <sup>1</sup>.

---

<sup>1</sup>La soglia (cioè la pressione del gas) è impostata in modo tale che i soli pioni e kaoni rilasciano un segnale, per effetto Čerenkov.

Il segnale proveniente da questi rivelatori è incluso nella logica di trigger per scartare interazioni non attivate da protoni.

## 2.3 Il bersaglio

NA57 è un esperimento a bersaglio fisso. Il fascio incidente viene focalizzato sul bersaglio, caratterizzato dalla massa atomica e dallo spessore.

Nel caso del fascio di ioni di piombo, per quanto riguarda la scelta del materiale si è optato per il Pb ( $A = 207.19$ ), in quanto si ottiene un sistema simmetrico nella collisione: in tal modo si può estendere l'intervallo di rapidità coperto dall'esperimento riflettendo la regione di accettazione intorno al valore di rapidità del centro di massa. Inoltre, l'alto numero atomico del piombo comporta il raggiungimento di elevate densità di energia e di estesi volumi di interazione. Per quanto concerne lo spessore del bersaglio, si deve trovare un compromesso tra la necessità di aumentare la frequenza delle interazioni e quella di render trascurabili le probabilità di interazioni multiple e di conversioni di fotoni. La probabilità di interazione col bersaglio di una particella incidente è pari a

$$P_I(L) = 1 - \exp(-L/\lambda_I) \quad (2.1)$$

dove  $L$  è lo spessore del bersaglio e  $\lambda_I$  la lunghezza di interazione, pari a  $3.99 \text{ cm}$  per il sistema Pb-Pb. La probabilità di conversione dei fotoni in coppie  $e^+e^-$  si calcola a partire dalla seguente formula, analoga alla 2.1,

$$P_{\gamma con}(L) = 1 - \exp(-L/X_0) \quad (2.2)$$

in cui  $X_0$  prende il nome di lunghezza di radiazione, ed è pari a  $0.56 \text{ cm}$  per il piombo. Il bersaglio utilizzato coi fasci di Pb sia a  $160$  che a  $40 \text{ A GeV}/c$  ha uno spessore pari a  $0.4 \text{ mm}$ , corrispondente a circa l'1% di lunghezza di interazione ed a  $0.071$  lunghezze di radiazione. Alcuni run speciali sono stati eseguiti utilizzando bersagli più spessi, pari al 2%, al 4% ed all'8% di lunghezza di interazione. Confrontando i dati con bersaglio di spessore maggiore con quelli con bersaglio standard si possono avere informazioni sulle doppie interazioni. Run speciali eseguiti senza bersaglio (*"empty target"*) sono stati utilizzati invece per determinare il contributo delle interazioni (di fondo) che non avvengono entro il bersaglio.

Il fascio di protoni a  $40 \text{ GeV}/c$  è stato invece indirizzato su un bersaglio di Be, di spessore pari all'8% della lunghezza d'interazione.

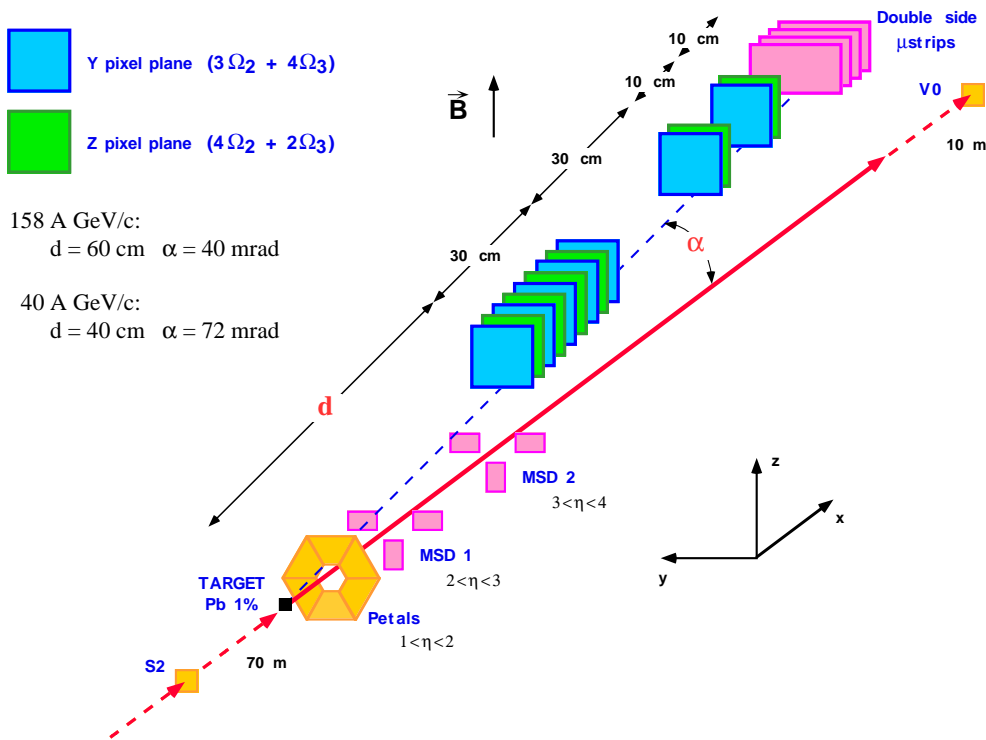


Figura 2.3: L'insieme dei rivelatori usati nell'esperimento NA57.

## 2.4 L'apparato sperimentale

In fig. 2.3 è mostrato uno schema dell'insieme dei rivelatori utilizzati nell'esperimento NA57. Esso è composto, in sequenza, da una schiera di sei scintillatori disposti a corona (i "petali"), da due piani di rivelatori di molteplicità di tipo microstrip di silicio (le "MSD"), da un telescopio realizzato esclusivamente con piani di rivelatori a pixel di silicio, e da rivelatori a microstrip in silicio con doppia faccia. Tali rivelatori sono stati opportunamente montati su un banco ottico di alluminio in modo da poter variare, a seconda dell'energia del fascio, (i) l'angolo di inclinazione  $\alpha$  del telescopio rispetto alla linea del fascio, (ii) la distanza dei rivelatori dal bersaglio. Il telescopio è posto in una regione di campo magnetico di cui è nota l'intensità punto per punto (la "mappa") con grande accuratezza (all'interno del magnete GOLIATH).

### 2.4.1 Il magnete

L'esperimento NA57 utilizza il magnete GOLIATH, una cui fotografia è riportata in fig. 2.4, situato lungo la linea di fascio H4 nella zona PPE134. Esso è composto in realtà da due bobine montate in serie. La prima (GOLIATH) è alimentata da due convertitori in parallelo, la seconda (DAVID) da un convertitore e da un diodo di anti-ritorno. Il campo magnetico prodotto, sufficientemente uniforme, è diretto verticalmente ed ha un'intensità massima di circa 1.4 Tesla. Il sistema di riferimento del laboratorio ha origine nel centro del magnete, l'asse  $x$  diretto lungo la direzione del fascio, l'asse  $z$  diretto verso l'alto, perpendicolarmente alle espansioni polari (quindi lungo la direzione del campo  $\vec{B}$  del magnete), e l'asse  $y$  tale da formare una terna destrorsa. Il verso del campo magnetico, determinato da quello della corrente entro le bobine, viene invertito nel corso delle misure per eliminare eventuali asimmetrie dovute a piccoli errori sistematici nella misura della mappa di  $\vec{B}$ , e per verificare l'allineamento dei rivelatori del telescopio, posti in posizione simmetrica rispetto al piano  $x-z$ . Il banco ottico sul quale sono disposti i diversi rivelatori, che saranno descritti nei prossimi paragrafi, può scorrere su se stesso, per mezzo di apposite rotaie in lega di alluminio, ed esser introdotto completamente all'interno del magnete GOLIATH.

### 2.4.2 I rivelatori di molteplicità

La misura della molteplicità delle particelle cariche prodotte in un evento Pb-Pb consente una determinazione della centralità dell'urto, come esposto nel capitolo precedente. Nell'esperimento NA57 vengono utilizzati due sistemi di rivelatori di centralità per studiare le collisioni Pb-Pb.

#### Gli scintillatori a petali

Una schiera di sei scintillatori di forma trapezoidale (i "petali"), disposti in modo tale da formare un corona attorno alla linea di fascio, è posta posteriormente al bersaglio a 10 cm da questo. Essa copre la regione di pseudorapidità  $1 < \eta < 2$ . Tale regione cinematica non si sovrappone all'angolo solido coperto dal telescopio di tracciamento, pertanto la diffusione multipla nei petali non deteriora la risoluzione in momento delle tracce ricostruite nel telescopio.

I "petali" vengono utilizzati per selezionare, a livello di trigger, gli eventi a più elevata molteplicità, cui corrispondono gli urti più centrali tra i nuclei, e per rigettare quelli a più bassa molteplicità, conseguenti da urti periferici. Trattandosi di scintillatori, la loro risposta è infatti estremamente rapida ed il segnale è reso disponibile per formare la condizione di trigger in  $\approx 200$  ns. I segnali dei petali vengono equalizzati, quindi la somma dei segnali in



Figura 2.4: Fotografia del magnete "GOLIATH". Al suo interno si riconosce il banco ottico di alluminio.

uscita da questi rivelatori è proporzionale all'energia rilasciata dalle particelle cariche che li hanno attraversati; trattandosi in gran parte di particelle al minimo di ionizzazione, questo segnale è circa proporzionale al numero di particelle.

Il limite inferiore di molteplicità oltre cui non è opportuno spingersi dipende principalmente dalla percentuale di contaminazione d'interazioni che non avvengono nel bersaglio ("empty target"). Queste ultime sono infatti caratterizzate da basse molteplicità di particelle cariche, rispetto alle collisioni centrali Pb-Pb. La soglia al di sopra della quale i singoli scintillatori forniscono un segnale viene scelta in corrispondenza delle collisioni Pb-Pb più periferiche che si possono studiare senza essere dominati dal contributo d'interazioni da "empty target". A livello di trigger, il sistema dei petali interviene fornendo esito positivo per un evento qualora almeno cinque scintillatori su sei siano sopra soglia. La percentuale di eventi selezionati dai petali corrisponde a circa il 60% della sezione d'urto d'interazione anelastica nelle interazioni Pb-Pb a 160 e 40 A GeV/c.

## I rivelatori di molteplicità a micro-strip

Nelle interazioni Pb-Pb a  $160 A \text{ GeV}/c$  la molteplicità delle particelle cariche prodotte viene misurata per mezzo di due stazioni di rivelatori a microstrip di silicio, campionando il primo nell'intervallo di pseudorapidità  $2 < \eta < 3$  ed il secondo entro  $3 < \eta < 4$ . Le due stazioni coprono quindi regioni cinematiche quasi simmetriche rispetto alla rapidità del centro di massa e praticamente disgiunte (la sovrapposizione è  $\lesssim 10\%$ ).

Le due stazioni sono disposte subito dopo gli scintillatori a petali, lungo la linea di fascio; ciascuna stazione consta di tre rivelatori a microstrip, montati su un telaio con tre bracci, vuoto in corrispondenza della zona di passaggio del fascio, come mostrato nelle figg. 2.3, 2.5.a. Nel piano  $(y, z)$  la copertura azimutale per ciascuna stazione è circa del 34%. La mancanza di un quarto braccio, che completerebbe la simmetria azimutale, è dovuta alla necessità di limitare la diffusione multipla delle particelle nell'angolo solido sotteso dal telescopio, per non degradare la risoluzione delle tracce ricostruite.

Come schematizzato nella fig. 2.5.b, ciascuno dei tre piani è realizzato con microstrip di differente lunghezza (da 15 a 22  $mm$ ) e passo (da 100 a 400  $\mu m$ ), per un totale di 200 canali, e disposti in modo tale da assicurare un'occupazione uniforme di particelle nell'ipotesi di distribuzione costante in pseudo-rapidità. Tale ipotesi è infatti applicabile in prossimità della regione centrale di rapidità, come discusso nel primo capitolo, ed inoltre la rapidità del centro di massa nel sistema laboratorio ( $y_{cm} \simeq 2.9$ ) cade al centro dell'intervallo di rapidità coperto dalle due stazioni. L'occupazione di particelle per strip è dunque ragionevolmente uniforme su ciascun piano di rivelatori, risultando inferiore a 0.4, anche per le interazioni Pb-Pb a  $160 A \text{ GeV}/c$  più centrali [112].

Nelle interazioni Pb-Pb a  $40 A \text{ GeV}/c$  le due stazioni sono state disposte in modo tale da coprire ancora un intervallo pari a quasi due unità di rapidità centrato sul valore di rapidità del centro di massa ( $y_{cm} \simeq 2.2$ ), sebbene vi sia ora una regione di sovrapposizione di cui si tiene conto con una correzione Monte Carlo.

Questi rivelatori permettono una determinazione della molteplicità di particelle cariche più precisa rispetto a quella fornita dagli scintillatori a petali. Essi non possono essere inclusi nel trigger in quanto il tempo di lettura è dell'ordine dei 500  $\mu sec$ , ma vengono usati nell'analisi "off-line" degli eventi.

Ciascuna strip fornisce infatti un segnale analogico proporzionale alla energia rilasciata dalla particella. In un evento, si definisce *cluster* un insieme di strip contigue in cui vi è stato rilascio di energia al di sopra di un valore di soglia. Dal numero di cluster si risale alla molteplicità di particelle cariche entro il rivelatore utilizzando un algoritmo che tiene conto dell'energia totale depositata nel cluster. L'algoritmo prevede anche una correzione per i

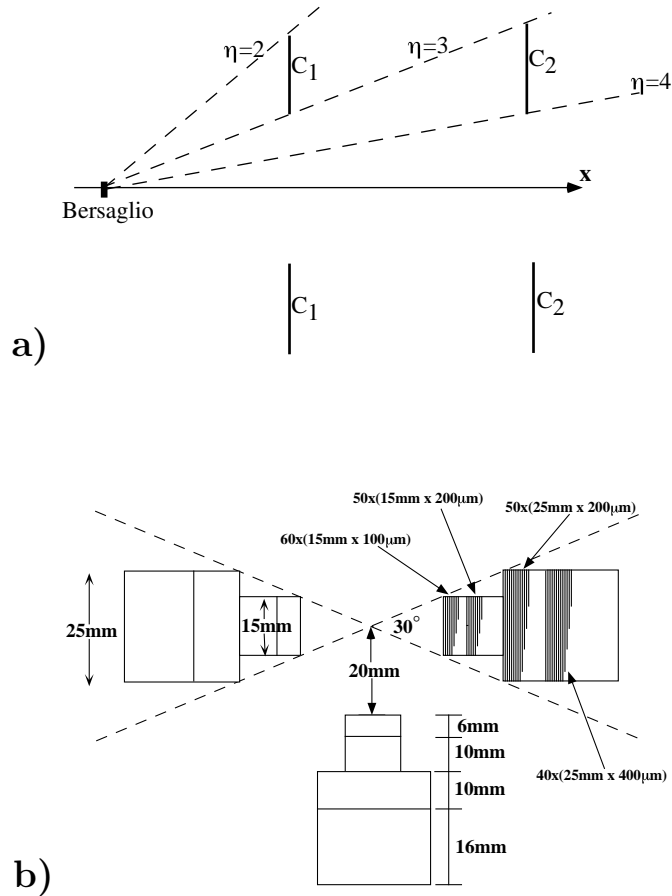


Figura 2.5: Rivelatori di molteplicità. **a)** Vista laterale: le stazioni C1 e C2, tra loro identiche, coprono insieme l'intervallo di pseudorapidità  $2 < \eta < 4$ . **b)** Vista frontale: struttura delle singole stazioni.

doppi “hit”, che avvengono con maggior frequenza negli eventi a più alta molteplicità.

### 2.4.3 Il telescopio a piani di pixel

Il cuore dell'apparato è un insieme di piani di rivelatori a pixel di silicio disposti consecutivamente a formare un “telescopio”, nel quale avviene la rivelazione e ricostruzione delle tracce cariche.

La tecnica alla base dei rivelatori a pixel di silicio ibridi è stata sperimentata con successo

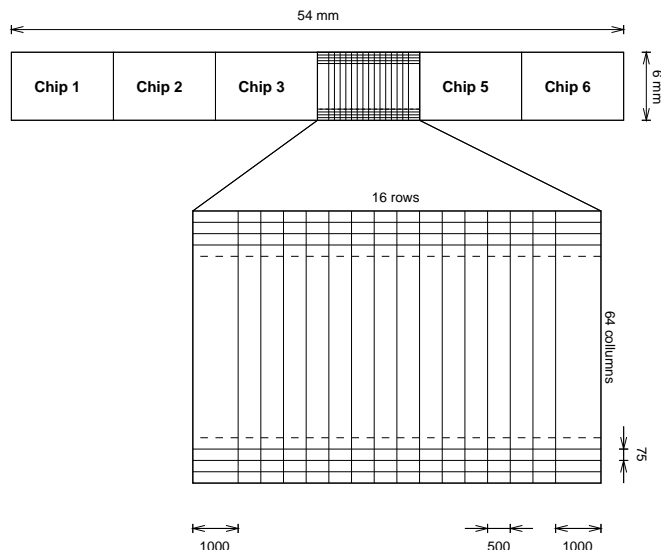


Figura 2.6: Schema di un *ladder* di un *Omega2*, costituito da sei *chip* affiancati, con ingrandimento del singolo *chip*.

ed in maniera pionieristica dall'esperimento WA97<sup>2</sup> in stretta collaborazione col gruppo RD19 del CERN [113]. Il loro sviluppo è stato possibile grazie al progresso raggiunto nelle densità delle diverse componenti nei *chip* microelettronici di tipo CMOS e nelle tecniche di assemblaggio superficiale a passo fine (assemblaggi di tipo “flip-chip”).

Un rivelatore a pixel ibridi è una matrice di diodi in silicio polarizzati inversamente, saldati con la tecnica detta del “bump-bonding”, direttamente sul *chip* di front-end dell'elettronica. Ciascuna singola cella della matrice è collegata con una micro-saldatura in Sn-Pb ad una cella di pari dimensione del *chip* di front-end, che contiene gran parte dell'elettronica necessaria per la lettura del rivelatore.

Due generazioni di rivelatori a pixel in silicio sono stati sviluppati con questa tecnica: gli *Omega2* [114] e gli *Omega3* [115].

Negli *Omega2* la dimensione dei pixel è pari a  $75 \times 500 \mu m^2$  e ciascun *chip* contiene 1024 rivelatori indipendenti (pixel), disposti secondo una matrice di 64 righe e 16 colonne. Un segmento di sei *chip* a colonne adiacenti costituisce un *ladder*, composto dunque da 64 righe e 96 colonne di pixel, come mostrato in fig. 2.6. Sei *ladder* vengono quindi incollati per formare una struttura rigida piana su un supporto ceramico, spesso  $630 \mu m$ ; i *ladder* sono

<sup>2</sup>Nell'Università di Bari, oltre all'attuale gruppo della Fisica degli Ioni Pesanti, ha dato un importante contributo allo sviluppo dei rivelatori a pixel di silicio il gruppo della prof. ssa Muciaccia (N. Armenise, M.G. Catanesi, M.T. Muciaccia e S. Simone) ed in particolare il prof. Simone.

spaziati tra loro di alcuni millimetri dove trovano spazio le connessioni elettroniche. Tale struttura rigida prende il nome di *array*.

Negli *Omega3* la dimensione dei pixel è  $50 \times 500 \mu\text{m}^2$  e ciascun *chip* contiene 2032 pixel. In tal caso un *chip* è costituito da una matrice di 127 righe e 16 colonne, un *ladder* da 127 righe e 96 colonne di pixel, e 4 *ladder* paralleli alloggiato sulla lastra di ceramica per formare un *array* (fig. 2.7.a).

Ciascun *piano* del telescopio di NA57 è formato da due *array*, entrambi *Omega2* od entrambi *Omega3*, montati l'uno di fronte all'altro su uno stesso telaio; essi presentano lo strato ceramico rivolto verso l'esterno e sono allineati in modo tale che le regioni sensibili dell'uno, i *ladder*, si affaccino sulle regione inattive dell'altro, che contengono le linee elettroniche (fig. 2.7.b).

Un piano logico di *Omega2* (*Omega3*) consiste dunque di 73728 (97536) *pixel* concentrati su un'area sensibile di  $5 \times 5 \text{cm}^2$ . Il telescopio di NA57 dispone di sette piani di *Omega2* e di sei piani di *Omega3* per un totale di oltre un milione di canali elettronici.

Si definisce *piano z* un piano logico con i *ladder* disposti in posizione orizzontale, in modo che i lati da  $50$  o  $75 \mu\text{m}$  dei pixel siano paralleli all'asse *z*, e *piano y* quello ottenuto ruotando di  $90^\circ$  un piano *z*, attorno alla normale al piano. Nel telescopio, i piani sono alternativamente di tipo *y* e di tipo *z*, per garantire una migliore risoluzione spaziale nelle due direzioni trasverse, come mostrato in fig. 2.3.

Come già detto, su ciascun chip è saldato direttamente un microchip di elettronica di lettura frazionato in celle elementari (una per pixel). Ciascuna comprende un preamplificatore a basso rumore, un comparatore, un'unità di ritardo ed una di memoria che permettono di registrare i segnali in concomitanza con la selezione operata dalla logica di trigger. L'informazione fornita da ciascun pixel è di tipo binario, nel senso che esso segnala se è stato attraversato, o meno, da una particella carica, ma non informa sulla quantità di carica rilasciata.

#### 2.4.4 I rivelatori a microstrip doppia faccia

Quattro moduli di rivelatori a microstrip in silicio doppia faccia sono stati utilizzati a partire dalla presa dati del 1998. Una descrizione dettagliata di questi rivelatori può essere trovata in [116]. I moduli sono montati nella parte finale del banco ottico di alluminio, dieci centimetri dietro l'ultimo piano di pixel, per rendere più precisa la misura dell'impulso delle tracce più veloci (braccio di leva o "lever arm").

La parte attiva del rivelatore è costituita da uno strato ("wafer") di silicio drogato negativamente. Su entrambe le superfici del wafer sono impiantate delle strip in silicio

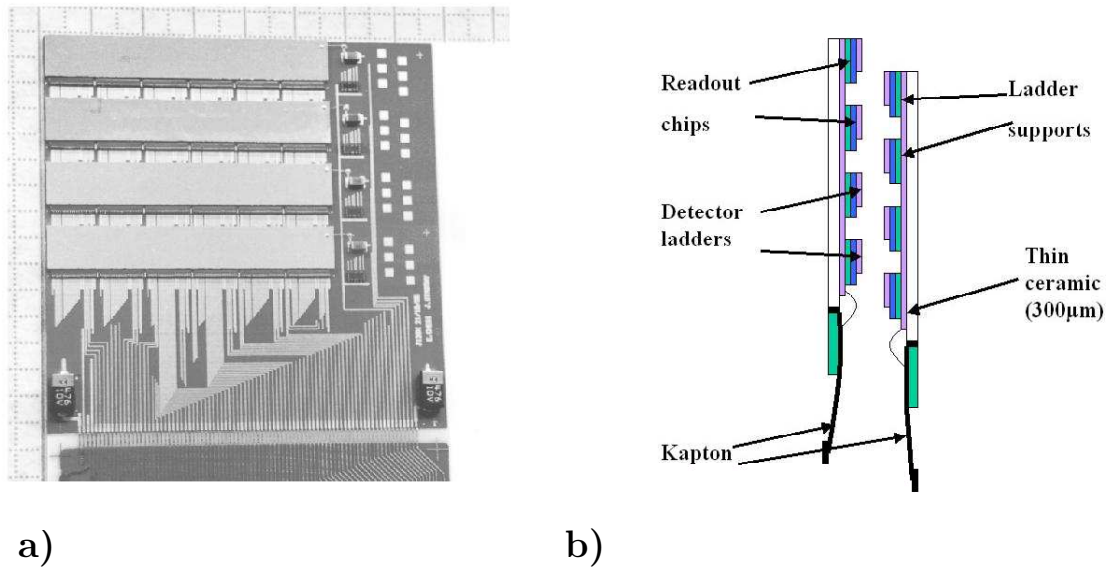


Figura 2.7: Rivelatori a piani di pixel. **a)** Semi-piano (*array*) di un *Omega3* montato sul supporto ceramico. **b)** Schema di un piano completo, formato da due *array* affacciati.

di spessore  $0.5 \mu m$ , come mostrato in fig. 2.8.a; esse sono drogate con  $N^+$  sul lato ohmico (lato di tipo N) del wafer e con  $P^+$  sul lato della giunzione (lato di tipo P). La superficie attiva del wafer in silicio è quindi ricoperta da uno strato di dielettrico  $SiO_2$  di spessore pari a  $0.3 \mu m$ . Al di sopra dello strato di isolante, in corrispondenza delle sottostanti strip impiantate nel silicio, sono depositate delle strip di alluminio di spessore di  $1 \mu m$ .

Ciascun piano ha una dimensione di  $75 \times 42 mm^2$  con una regione sensibile pari a  $73 \times 40 mm^2$ , come mostrato in fig. 2.8.b. Il rivelatore dispone di 768 strip di lettura lunghe  $40 mm$  e con passo di  $95 \mu m$ , impiantate su entrambe le facce del rivelatore. Le strip di lettura sono inclinate rispetto al lato più corto del rivelatore di un angolo pari a  $\pm 17.5 mrad$ , in modo tale che l'angolo stereoscopico tra le strip del lato N e quelle del lato P sia di  $35 mrad$ . Combinando i segnali provenienti dalle due facce del rivelatore è possibile ricostruire la posizione bidimensionale dei punti di impatto delle particelle. Con un simile angolo stereoscopico si raggiunge una risoluzione di  $\approx 27 \mu m$  nella direzione orizzontale ( $y$ ), in cui curvano le particelle per effetto del campo magnetico. La risoluzione nella direzione verticale ( $z$ ) è invece pari a circa  $1 mm$ .

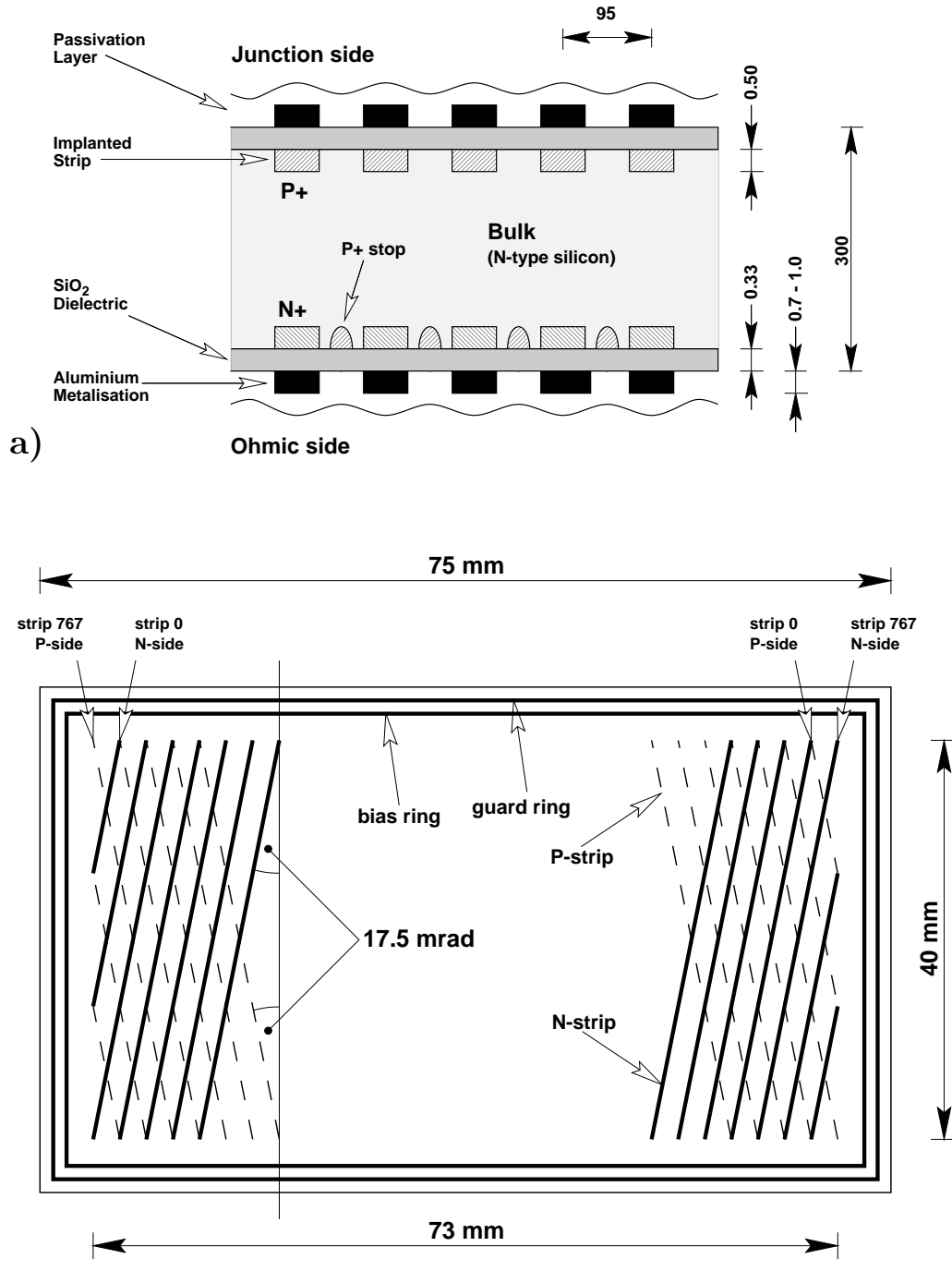


Figura 2.8: Rivelatori a  $\mu$ -strip doppia faccia. a) Sezione di un piano di  $\mu$ -strip nella direzione del lato più lungo. Le distanze sono espresse in  $\mu m$  e la figura non è in scala. b) Schema di un piano, non in scala, visto dal lato  $N$ . Le strip di lettura del lato  $P$  sono tratteggiate.

## 2.5 Selezione degli eventi ed acquisizione dei dati

### 2.5.1 Il trigger

Le condizioni di trigger sono molto diverse a seconda che si usi il fascio di ioni di piombo od il fascio di protoni. Nelle interazioni p-Be (caratterizzate da basse molteplicità), al fine di aumentare la probabilità che l'evento contenga un decadimento tra quelli oggetto della ricerca, si richiede che almeno due tracce potenzialmente ricostruibili attraversino il telescopio. Con il fascio di ioni di piombo, invece, si vogliono selezionare le collisioni più centrali, senza preoccuparsi dell'occupazione di tracce nel telescopio, comunque cospicua. Il segnale di trigger è costruito servendosi di moduli basati sulla logica NIM. Parallelamente al trigger NIM, è stato sviluppato un secondo sistema di trigger di tipo VME [117, 118], studiato in previsione del futuro esperimento ALICE ad LHC. Sin dalla prima presa dati del 1998 (*cfr. paragrafo 2.6*) il trigger VME è stato utilizzato per etichettare gli eventi raccolti, al fine di studiarne l'efficienza a posteriori. A partire dalla presa dati del 2001 il sistema VME è stato utilizzato come trigger principale per la selezione degli eventi, sostituendo quello NIM.

Vi sono alcuni elementi comuni al trigger per protoni ed a quello per gli ioni: i *contatori di fascio* ed il *tempo morto*. Si inizierà col descrivere i primi, mentre conviene rimandare la discussione del *tempo morto*, introducendo prima la logica del trigger per il fascio di Pb. Infine si accennerà al trigger col fascio di protoni.

#### Contatori di fascio

Sia per il fascio di protoni che per quello di piombo, vengono adoperati dei rivelatori per definire l'arrivo delle particelle proiettile: i contatori di fascio. Nella fig. 2.9 è schematizzata la loro disposizione rispetto al centro del magnete <sup>3</sup>. Il bersaglio è disposto a 60 cm dal centro del magnete, il contatore *S2* circa 70 m prima, il contatore *S4* pochi centimetri prima del bersaglio. Quest'ultimo, uno scintillatore di dimensioni  $8 \times 8 \text{ mm}^2$ , è usato solo per aggiustare il posizionamento del fascio di ioni di piombo e viene rimosso durante la presa dati con questo tipo di fascio. Il tubo a vuoto che conduce il fascio termina proprio davanti ad *S4*; in tal modo si riducono al minimo le interazioni in aria del fascio. Il contatore *V0* è posizionato infine circa 9 m dietro al centro del magnete. Esso può svolgere una funzione di veto, antiselezionando i proiettili incidenti che non hanno avuto interazioni nel bersaglio. Nelle prese dati col fascio di piombo, *S2* e *V0* sono due rivelatori Čerenkov al quarzo, mentre

---

<sup>3</sup>Le distanze cui sono posti i contatori, in questo schema, si riferiscono alla particolare disposizione per il fascio di piombo. Nel caso del fascio di protoni, *S2* è posto 8 metri prima del bersaglio.

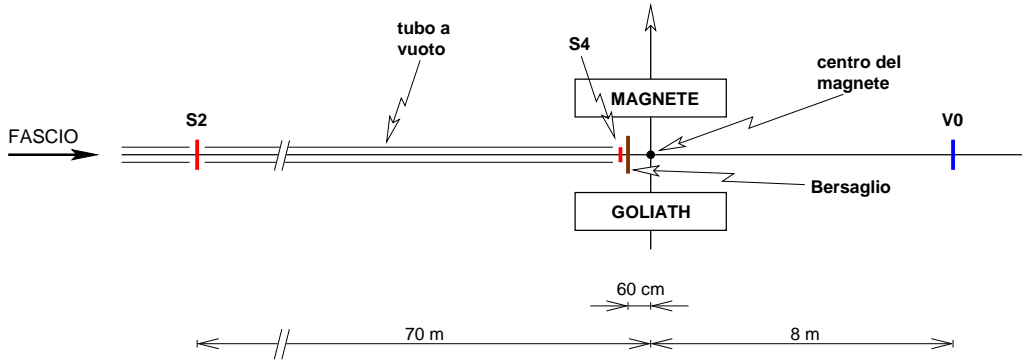


Figura 2.9: Disposizione degli contatori di fascio ( $S2$ ,  $S4$ ,  $V0$ ) e del bersaglio rispetto al centro del magnete. Le distanze cui sono posizionati i contatori in questo schema si riferiscono al caso del fascio di ioni di piombo.

col fascio di protoni si utilizzano due scintillatori.

Gli scintillatori non sono adatti al fascio di piombo in quanto i valori elevati di carica elettrica propri di tali ioni inducono fenomeni di saturazione, pregiudicando la loro efficienza e linearità di risposta. Per le loro qualità di sensibilità, sono invece indicati per risolvere i piccoli segnali prodotti dai protoni.

Nei rivelatori Čerenkov al quarzo, la quantità di luce prodotta al passaggio di una particella è proporzionale al quadrato della sua carica (ed alla sua velocità), inoltre offrono appropriati requisiti di resistenza a fasci di considerevole intensità. Essi permettono pertanto un'adeguata identificazione degli ioni di piombo, discriminandoli dai frammenti di minor carica.

### Condizioni di trigger in eventi Pb-Pb

Lo schema completo del trigger per il fascio di piombo è mostrato in fig. 2.10. La logica di trigger può essere classificata in tre livelli:

- identificazione del proiettile incidente e reiezione degli eventi concomitanti;
- selezione degli eventi in cui vi è stata un'interazione anelastica tra il proiettile ed il bersaglio;
- selezione degli eventi Pb-Pb sufficientemente centrali.

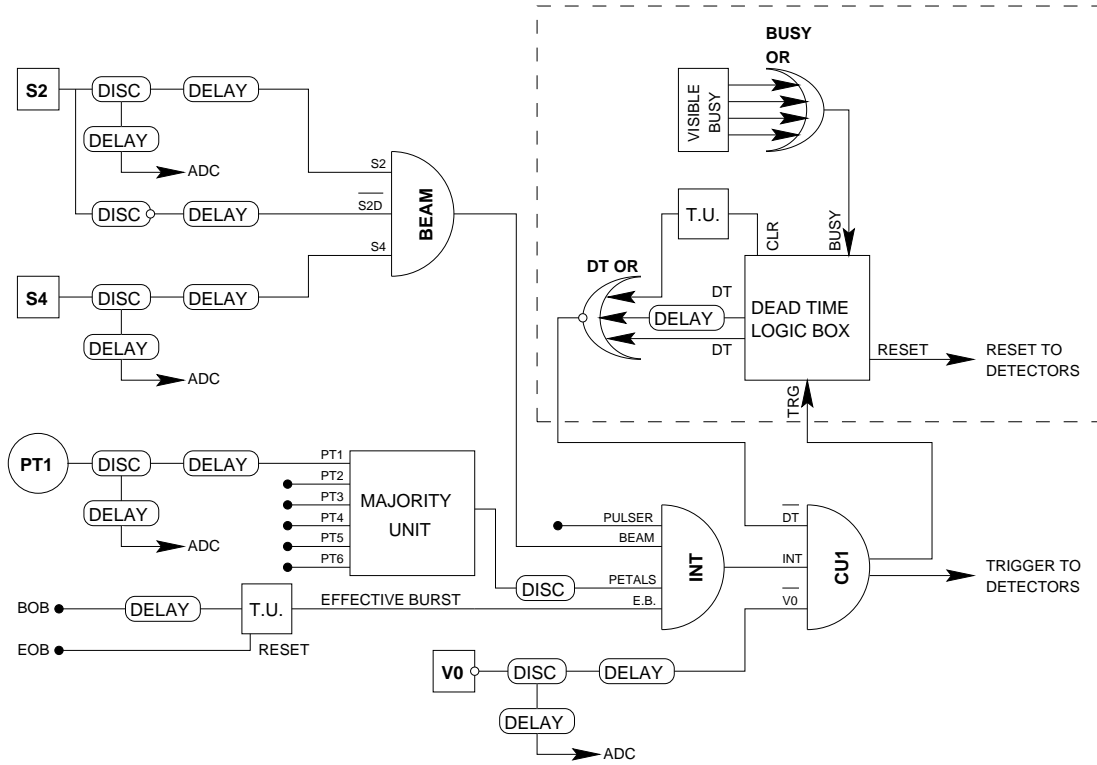


Figura 2.10: Diagramma del trigger di NA57 nella configurazione per la presa dati Pb-Pb a 160 A GeV/c del 1998. La zona racchiusa entro il riquadro tratteggiato si riferisce alla generazione del segnale di *tempo morto*. Il contatore  $S4$  è stato utilizzato solo per l'allineamento del fascio. BOB: segnale di inizio *burst*; EOB: segnale di fine *burst*.

Il contatore  $S2$  è utilizzato per identificare gli ioni di piombo e rigettare gli eventi concomitanti <sup>4</sup>. Il singolo ione di piombo è identificato per mezzo di un discriminatore, che genera il segnale  $S2$ . Nel caso in cui due ioni di piombo attraversino  $S2$  a breve distanza temporale, il segnale del contatore  $S2$  sarà più ampio. In tal caso anche un secondo discriminatore, con una soglia più elevata rispetto a quella del discriminatore che ha generato  $S2$ , fornisce un segnale,  $S2D$ . Il primo livello di trigger corrisponde dunque alla condizione  $BEAM = S2 \cdot \overline{S2D}$ , in cui si ha un solo ione di piombo per volta nel contatore  $S2$ . Come detto, il contatore  $S4$  viene utilizzato solo per definire il corretto posizionamento del fascio, ed in tali condizioni viene posto in “and” logico con  $BEAM$ .

Il contatore di veto  $V0$  svolge la seconda funzione nella logica di trigger, misurando la

<sup>4</sup>Il segnale di ciascun contatore verrà indicato con lo stesso nome dato al rivelatore.

carica dei frammenti del nucleo incidente (o dell'intero nucleo se questo non ha interagito). La soglia di tale rivelatore è impostata in modo tale da fornire un segnale quando viene attraversato da grossi frammenti nucleari. Esso può quindi antiselezionare gli ioni incidenti che, dopo il bersaglio, si trovano ancora lungo la direzione del fascio o quelli che hanno subito solo una piccola frammentazione nell'interazione. L'assenza del segnale da  $V^0$  ( $\overline{V0}$ ) conferma quindi l'interazione del proiettile entro il bersaglio.

I rivelatori a petali  $PT$  forniscono il segnale che seleziona gli eventi più centrali (*cf.* paragrafo 2.4.2). Il segnale di ciascuno dei sei petali viene prima inviato ad un discriminatore, essi confluiscono quindi in una unità di "logica maggioritaria" ("*majority unit*") che dà segnale quando almeno cinque dei sei petali scintillatori sono sopra soglia ( $PT(5/6)$ ). Durante la presa dati del 1998 uno dei sei scintillatori, che non funzionava perfettamente, è stato escluso dalla logica di trigger. In tali condizioni il sistema dei petali forniva la terza condizione di trigger quando tutti i cinque rimanenti scintillatori si trovavano sopra soglia,  $PT(5/5)$ . Per consistenza, anche durante le prese dati col fascio di Pb a 40 A GeV/c si è mantenuta la stessa configurazione nel trigger, sebbene ormai tutti i sei scintillatori funzionassero regolarmente.

Il segnale dei petali ( $PT(5/6)$ ) e quello del contatore  $V0$  ( $\overline{V0}$ ) sono in realtà complementari. Infatti, uno ione che non abbia interagito nel bersaglio o che abbia subito una piccola frammentazione (per cui dunque  $\overline{V0} = FALSO$ ), non riesce a produrre una molteplicità di particelle cariche tale da superare la condizione richiesta dai petali (cioè anche  $PT(5/6) = FALSO$ ). Il segnale di  $V0$  è stato pertanto escluso dalla logica finale di trigger.

La condizione del segnale di  $BEAM$  e dei petali ( $PT(5/6)$ ) seleziona l'interazione desiderata  $INT = BEAM \cdot PT(5/6)$ .

Il segnale di **tempo morto**  $DT$  inibisce l'acquisizione di un'ulteriore evento qualora si stia ancora processando l'evento precedente. L'intervallo del *tempo morto* viene determinato con la stessa procedura negli eventi Pb-Pb ed in quelli p-Be. A riguardo, conviene riferirsi alla zona della fig. 2.10 racchiusa entro il rettangolo tratteggiato.

Quando un evento è accettato da tutti i livelli di trigger per essere acquisito, il segnale di trigger di livello più alto  $CU1$  (che sarà di seguito definito) viene distribuito a tutti i rivelatori. Non appena il segnale  $CU1$  raggiunge un rivelatore, il processo di lettura viene avviato ed un segnale di *busy* viene generato per indicare che per quel rivelatore (o per una parte del rivelatore, a seconda dei casi) è in corso la lettura da parte dell'elettronica di acquisizione. Tutti i segnali di *busy* ( $VISIBLE\_BUSY$  in fig. 2.10) sono posti in *OR* logico dando luogo al segnale  $BUSY\_OR$ , che viene inviato all'ingresso di *busy* dell'unità logica di tempo morto ( $DEAD\_TIME\_LOGIC\_BOX$  in fig. 2.10). Tale unità genera il segnale di *tempo morto*  $DT$  che agisce come veto per gli eventi successivi.

Poiché il segnale *BUSY\_OR* impiega circa 500 ns per essere formato e giungere all'unità logica di tempo morto, il segnale di trigger viene inviato direttamente all'ingresso *TRG* dell'unità per generare immediatamente il segnale *DT*.

Il segnale di *busy BUSY\_OR* è mantenuto sino a quando per tutti i rivelatori è completato il processo di lettura, terminato il quale rilasciano il proprio segnale di *busy*. A questo punto un segnale di azzeramento (*RESET*) viene inviato ai rivelatori, ed il segnale di *clear (CLR)* è attivato.

La frequenza del trigger dipende principalmente dal tempo morto dei rivelatori. I rivelatori più critici sotto questo punto di vista sono i piani di pixel ed i piani di  $\mu$ -strip per i quali il tempo morto si aggira sul millisecondo per evento.

Riassumendo la condizione finale di trigger per l'interazione Pb-Pb è data da

$$CU1 = INT \cdot \overline{DT} \quad (2.3)$$

### Condizioni di trigger in eventi p-Be

Nel caso delle collisioni p-Be si è interessati a raccogliere quegli eventi in cui almeno due tracce attraversino la regione del telescopio, in modo da essere potenzialmente ricostruibili. Si intende infatti studiare la produzione di particelle strane che decadono in stati finali contenenti solo (almeno due) particelle cariche.

Due scintillatori, *SPH1* ed *SPH2*, di dimensioni simili a quelle dei piani di pixel ( $5 \times 5 \text{ cm}^2$ ) sono posti immediatamente avanti al primo piano di pixel del telescopio. Entrambi hanno una soglia tale da selezionare principalmente il passaggio di due particelle cariche. Posti in coincidenza (*SPH1*·*SPH2*), si riduce drasticamente la contaminazione di segnali di elevata ampiezza ma di singola traccia (le code delle distribuzioni di Landau).

Dopo l'ultimo piano di pixel, è posto un terzo scintillatore *ST2*, di maggiori dimensioni, che accerta se almeno una delle due tracce abbia attraversato la parte compatta del telescopio, per una buona frazione della sua lunghezza.

La condizione che definisce un evento potenzialmente interessante, in base al numero di tracce atteso nel telescopio, è dunque  $TELINT = (SPH1 \cdot SPH2 \cdot ST2) \cdot BEAM$ .

Il fascio è ora definito dalla condizione  $BEAM = S2 \cdot S4$ <sup>5</sup>, a cui si deve però aggiungere l'antiselezione dei pioni (e dei kaoni) operati dai rivelatori Čerenkov:  $\overline{C1} \cdot \overline{C2}$ .

La condizione finale di trigger è quindi  $CU1 = \overline{C1} \cdot \overline{C2} \cdot TELINT \cdot \overline{DT}$ .

---

<sup>5</sup>Nel caso del fascio di Pb, è indispensabile rimuovere *S4* dalla linea di fascio per evitare interazioni fuori dal bersaglio.

## 2.5.2 L'acquisizione dei dati

L'acquisizione finale dei dati raccolti dai diversi rivelatori dell'esperimento avviene servendosi del sistema DATE (*Data Acquisition and Test Environment*). Tale sistema è stato sviluppato per l'esperimento ALICE ed è in grado di trasportare ed immagazzinare un'elevatissima quantità di dati in breve tempo. Nelle interazioni Pb-Pb, le più critiche per quel che riguarda l'aspetto dell'acquisizione, si selezionano sino a 3000 eventi per pacchetto (*burst*); ciascun evento ha una dimensione di circa 5 kByte. Ne risulta che la velocità di trasferimento dei dati debba essere di circa 2 MByte al secondo [119], ed il volume totale dei dati di qualche TByte.

L'architettura del sistema DATE è disegnata in modo schematico nella fig. 2.11. Si tratta di un sistema software che si serve di sette processori VME in parallelo. I processori VME,

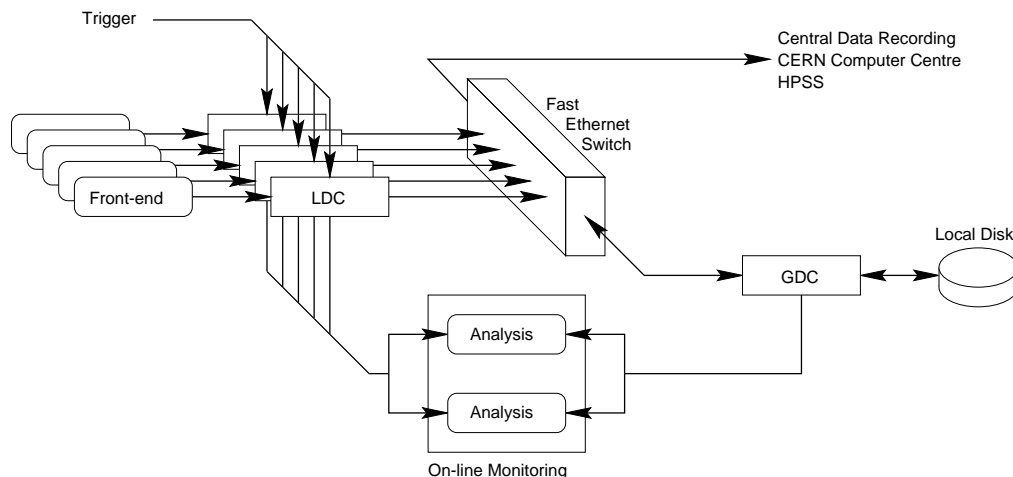


Figura 2.11: L'architettura del sistema DATE di acquisizione dati nell'esperimento NA57.

chiamati LDC (*Local Data Concentrator*), acquisiscono, indipendentemente gli uni dagli altri, i dati provenienti da differenti rivelatori, o parte di questi. In particolare al trigger, alle MSD ed alle  $\mu$ -strip sono dedicate tre LDC, una per ciascuno, mentre ai tredici piani di pixel sono riservati i rimanenti quattro LDC.

Ciascun LDC esegue la lettura dell'elettronica di front-end e organizza i dati in sotto-eventi. La memoria degli LDC è capace di contenere i dati relativi ad almeno un intero *burst*. La sincronizzazione dell'acquisizione dei dati è operata dal sistema di trigger.

Tramite un interruttore di tipo *Fast Ethernet* i processori LDC sono connessi al GDC (*Global Data Concentrator*). Solo al termine di un *burst* i dati di tutti gli eventi raccolti vengono

trasferiti dagli LDC verso il GDC. Quest'ultimo raccoglie tutte le informazioni, assemblando i sotto-eventi provenienti da uno stesso trigger fisico in un unico evento.

Gli eventi così riassemblati, spesso indicati col termine di *raw data* per distinguerli da quelli ricostruiti, vengono quindi memorizzati su un disco locale, in un unico file. L'insieme degli eventi contenuti all'interno di questo singolo file prende il nome di *run*. Tipicamente ciascun *run* contiene sino a  $2 \times 10^5$  eventi Pb-Pb, numero imposto dalla dimensione tipica di un file di *raw data*, pari a circa 1 GByte. Dunque, quando sono stati raccolti dati per circa 1 GByte di informazioni, il *run* viene automaticamente interrotto e ne inizia uno nuovo associato ad un nuovo file.

Attraverso la stessa porta Ethernet, i file contenenti i *raw data* vengono trasferiti al *centro calcolo* del CERN, dove vengono salvati in modo definitivo e permanente su nastro magnetico. Il sistema HPSS (*High Performance Storage System*) [120], che controlla l'accesso ai dischi ed ai nastri magnetici e può gestire milioni di file di grandi dimensioni, è stato utilizzato sin dall'inizio; a partire dall'anno 2000 ci si è serviti del nuovo sistema denominato CASTOR (*CERN Advanced STORAGE Manager*) [121].

Durante la raccolta dei dati, col sistema DATE è possibile monitorare all'istante l'acquisizione dei dati. Diversi programmi di analisi possono essere quindi applicati *on line* al flusso di dati per controllare la qualità degli eventi raccolti.

## 2.6 La ricostruzione degli eventi

Il primo passo dell'analisi degli eventi consiste nella ricostruzione dei punti spaziali in cui le particelle hanno attraversato i rivelatori e nella successiva correlazione tra questi punti per la ricostruzione delle tracce. Questo compito è assolto dal programma ORHION (*Omega Reconstruction code for Heavy ION experiments*) [122], sviluppato inizialmente per l'esperimento WA97 nello spettrometro OMEGA. I compiti principali di ORHION sono il riconoscimento delle tracce e la determinazione dei loro parametri cinematici.

### Riconoscimento delle tracce

La ricostruzione delle tracce viene effettuata nella parte compatta del telescopio (i primi 30 cm) composta da un numero cospicuo di piani di pixel: nella presa dati del 1998 la parte compatta era costituita da nove piani, in quella del 1999 da dieci, ed in quella del 2000 da undici.

I punti delle tracce sui due piani più esterni vengono inizialmente associati in maniera combinatoria e vengono così a determinare le prime tracce candidate. I punti dei piani più

interni vengono quindi utilizzati per confermare o rigettare la scelta della coppia iniziale di punti.

Con questa prima ricerca non si sono ancora ricostruite quelle tracce che non hanno rilasciato un segnale sui piani esterni, o per l'inefficienza dei rivelatori o perché non vi sono passate attraverso. Vengono dunque considerate nuove coppie di piani iniziali, più interne, uno nella parte iniziale del telescopio e l'altro nella parte posteriore.

La ricerca delle tracce può inoltre trarre vantaggio dal fatto che la maggior parte delle tracce ha origine nel vertice di interazione primaria (tracce *primarie*). In questo caso i punti dell'ultimo piano possono essere associati alla posizione del bersaglio invece che ai punti del primo piano. In tal modo, il numero di combinazioni è proporzionale alla molteplicità dell'ultimo piano, mentre col procedimento precedente era proporzionale al prodotto delle molteplicità sul primo e sull'ultimo piano. La ricerca delle tracce primarie è quindi relativamente rapida.

Dopo aver trovato con questo metodo tutte le possibili tracce primarie, si ripete l'operazione rilasciando il vincolo del bersaglio e si cercano le tracce secondarie, quelle cioè che non originano dal vertice di interazione.

Le tracce vengono cercate prima nella proiezione  $(x, z)$ , dove sono rappresentabili con delle linee rette (il campo magnetico è orientato lungo l'asse  $z$ ), quindi nel piano di curvatura  $(x, y)$ , dove sono approssimate a degli archi di parabola, ed alla fine le proiezioni vengono combinate per formare la traccia tridimensionale.

Per tutte le tracce ricostruite si definiscono dei parametri di qualità, i quali stabiliscono infine se una traccia possa essere accettata o meno. Tra questi vi è ovviamente il numero di punti associato alle tracce; esso sarà oggetto di discussione nel prossimo capitolo.

### **Determinazione dei parametri cinematici delle tracce**

Ogni traccia è completamente definita da cinque parametri. La scelta più conveniente di questi parametri dipende dalla geometria dell'esperimento (ad esempio se si tratta di un esperimento a bersaglio fisso o di uno ad un collisionatore) e dalla configurazione del campo magnetico. Nel caso di NA57, una scelta conveniente è quella di considerare l'intersezione della traccia con un piano  $\Pi$  ortogonale all'asse  $x$  e definire i seguenti parametri (fig. 2.12):

- le coordinate  $y$  e  $z$  della traccia all'intersezione col piano  $\Pi$ ;
- $1/\rho$ , dove  $\rho$  è il raggio di curvatura della traccia all'intersezione col piano  $\Pi$ ;

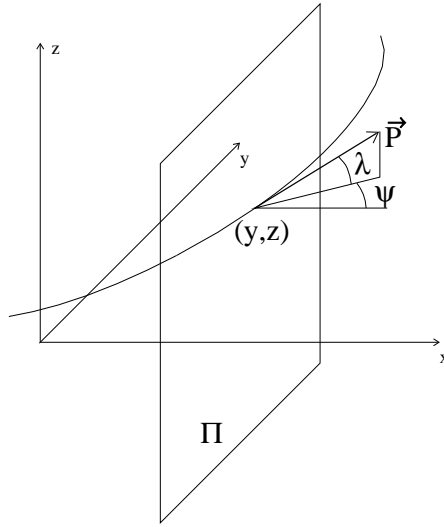


Figura 2.12: Rappresentazione dei parametri cinematici che definiscono una traccia.

- l'angolo  $\psi$  tra la proiezione dell'impulso nel piano di curvatura  $(x, y)$  e la normale al piano  $\Pi$  (asse  $x$ );
- l'angolo di "dip"  $\lambda$  tra il vettore impulso ed il piano di curvatura  $(x, y)$ .

Come piano di riferimento  $\Pi$  viene utilizzato un piano la cui ascissa corrisponda al primo punto misurato della traccia.

La determinazione dei parametri delle tracce viene effettuata da ORHION iterativamente: prima vengono utilizzati solo i punti nella parte compatta del telescopio, dove le tracce vengono ricostruite, poi vengono cercati eventuali ulteriori punti della traccia sui piani del telescopio che formano il braccio di leva (gli eventuali piani di pixel rimanenti e le  $\mu$ -strip). L'aggiunta di punti appartenenti al braccio di leva permette di ridurre l'errore sulla determinazione del momento, in particolare per le tracce più veloci.

Operativamente, la procedura di interpolazione viene effettuata coi seguenti passi:

- nella ricerca delle tracce entro la parte compatta del telescopio, esse vengono interpolate con un modello "spline" di quinto grado [123] servendosi della mappa misurata del campo magnetico. In questo modo si ottiene la prima stima dei parametri cinematici;
- completata la ricerca delle tracce nella parte compatta del telescopio, le tracce vengono quindi estrapolate e ne vengono determinate le eventuali intersezioni sui piani del

braccio di leva. I punti su questi rivelatori, che si trovino entro determinate tolleranze dalla posizione della traccia estrapolata, vengono associati ad essa;

- utilizzando anche questi nuovi punti, vengono quindi ricalcolati i parametri cinematici.

## 2.7 Il campione dei dati

Un primo run dell'esperimento, non finalizzato alla raccolta dati per analisi di fisica, è stato eseguito nel 1997 per testare l'apparato sperimentale e sviluppare il codice per la ricostruzione degli eventi. La prima presa dati è avvenuta invece nei mesi di Ottobre e Novembre del 1998, in cui si sono studiate le interazioni Pb-Pb a  $160 A \text{ GeV}/c$ , raccogliendo un totale di 230 milioni di trigger. Nel Luglio del 1999 si sono raccolti i primi dati per l'interazione p-Be di riferimento a  $40 \text{ GeV}/c$ . Nel periodo Ottobre-Novembre 1999 si è passati quindi ad utilizzare il fascio di ioni di piombo ad un'energia di  $40 \text{ GeV}$  per nucleone (Pb-Pb a  $40 A \text{ GeV}/c$ ). Un secondo campione di dati Pb-Pb a  $160 A \text{ GeV}/c$  è stato quindi raccolto nell'autunno dell'anno 2000. Infine, nell'estate del 2001, si è completata la presa dati per il sistema p-Be a  $40 \text{ GeV}/c$ . Tutti gli eventi dei campioni di dati raccolti sono stati ricostruiti, ad eccezione di quelli relativi all'anno 2001, tuttora in fase di completamento. Nella tabella 2.1 sono riassunte le informazioni sui diversi campioni di dati sin qui raccolti dall'esperimento.

Interazione	Impulso del fascio	Dimensione del campione (trigger $\times 10^6$ )	Anno di presa dati	Ricostruzione degli eventi
Pb-Pb	$160 A \text{ GeV}/c$	230	1998	completata
		230	2000	completata
Pb-Pb	$40 A \text{ GeV}/c$	260	1999	completata
p-Be	$40 \text{ GeV}/c$	60	1999	completata
		110	2001	in corso

Tabella 2.1: Campioni di dati raccolti dall'esperimento NA57.

Nell'anno 2002 l'esperimento NA57 non ha raccolto dati, ma tuttavia non è stato dismesso. Si è infatti avanzata richiesta [124] di un'ulteriore presa dati per studiare le collisioni di un sistema più leggero del Pb-Pb, quale l'In-In. L'SPS dovrebbe infatti fornire un fascio di tali ioni a partire dal 2003. Vi è grande interesse nello studio di un simile sistema in quanto collisioni centrali tra due nuclei di indio corrisponderebbero, in termini di volumi

coinvolti nell'interazione (o più precisamente in termini di nucleoni che prendono parte alle collisioni iniziali, *cfr. paragrafo 1.3.3*), alle collisioni più periferiche che si possono studiare nel sistema Pb-Pb. Inoltre, considerando anche le collisioni periferiche del sistema In-In, vi sarebbe la possibilità di studiare interazioni con un numero ancora minore di partecipanti. Infine, a parità di nucleoni partecipanti, sarebbe molto importante poter confermare le misure periferiche del sistema Pb-Pb nelle nuove interazioni, con il grande vantaggio che lo studio di collisioni più centrali comporta rispetto a quelle periferiche: un miglior controllo sul trigger di centralità, una misura più precisa della centralità stessa, etc.



## Capitolo 3

# Ricostruzione e selezione delle particelle strane

### 3.1 Introduzione

Nel capitolo precedente si è esposta in maniera sintetica la logica di funzionamento del programma ORHION per la ricostruzione delle tracce di un evento. In questo capitolo si discuterà come sia possibile ricostruire ed identificare le particelle strane che decadono per interazione debole in uno stato finale contenente solo particelle cariche, a partire dai parametri cinematici dei prodotti di decadimento.

I decadimenti di particelle strane neutre che si possono ricostruire con l'apparato sperimentale di NA57, con le relative probabilità di decadimento nel canale considerato (*Branching Ratio*), sono i seguenti:

$$\begin{array}{ll} K_S^0 \longrightarrow \pi^+ + \pi^- & BR = 68.6 \pm 0.3\% \\ \Lambda \longrightarrow p + \pi^- & BR = 63.9 \pm 0.5\% \\ \bar{\Lambda} \longrightarrow \bar{p} + \pi^+ & BR = 63.9 \pm 0.5\% \end{array}$$

Questi decadimenti carichi formano delle configurazioni chiamate  $V^0$ , intendendo con ciò una coppia di tracce di curvatura opposta nel campo magnetico che si diramano da uno stesso punto di cuspidè distinto dal vertice primario di interazione.

È inoltre possibile ricostruire i decadimenti a “cascata” delle particelle multi-strane, del

tipo:

$$\Xi^- \longrightarrow \Lambda + \pi^- \quad BR = 99.89 \pm 0.04\%$$

$$\searrow p + \pi^-$$

$$\Omega^- \longrightarrow \Lambda + K^- \quad BR = 67.8 \pm 0.7\%$$

$$\searrow p + \pi^-$$

e quelli corrispondenti alle relative antiparticelle. Come si vedrà, questi ultimi decadimenti vengono ricostruiti combinando le  $V^0$  ricostruite con un'altra traccia carica dell'evento, ed operando opportuni tagli geometrici e cinematici.

Nel caso di un decadimento a due corpi — sia essa una  $V^0$  che decade in due particelle cariche, od una cascata ( $\Xi$  od  $\Omega$ ) che decade in una  $\Lambda$  ed un mesone carico ( $\pi$  o  $K$ ) — in particelle di massa  $m_i$  ed impulso  $\vec{p}_i$  ( $i = 1, 2$ ), dalla misura dell'impulso delle tracce al vertice di decadimento è possibile risalire alla massa della particella madre:

$$M^2 = m_1^2 + m_2^2 + 2\sqrt{(m_1^2 + p_1^2)(m_2^2 + p_2^2)} - 2\vec{p}_1 \cdot \vec{p}_2 \quad (3.1)$$

Lo schema del decadimento di una  $\Omega^-$  è riportato in fig. 3.1.

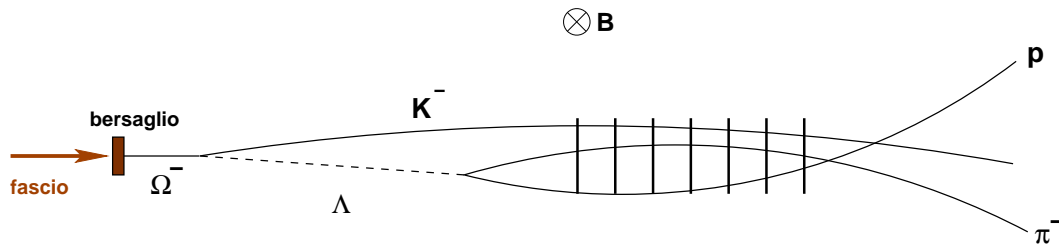


Figura 3.1: Schema del decadimento a “cascata” di una  $\Omega^-$  in particelle cariche entro un campo magnetico. Il decadimento viene ricostruito a partire dalla misura delle tracce entro il telescopio, i cui piani sono schematizzati dai segmenti trasversali.

## 3.2 Ricostruzione delle $V^0$

Nel programma di ricostruzione ORHION vi è un sottoprogramma, STRIPV0, che è incaricato di individuare tutte le candidate  $V^0$  contenute in un evento. STRIPV0

ricostruisce i vertici di decadimento di tipo  $V^0$  come intersezione di due tracce di carica opposta estrapolate all'indietro. Il programma associa in modo combinatorio le tracce di carica opposta e calcola la minima distanza tra le due traiettorie; coppie per le quali tale distanza è superiore ad 1 mm vengono subito rigettate. Le coordinate del vertice della  $V^0$  sono calcolate come i valori medi delle coordinate dei punti di minima distanza tra le tracce abbinate. L'impulso della particella  $V^0$  è la somma vettoriale degli impulsi delle sue due tracce, valutati nei punti di minima distanza. Come illustrato in fig. 3.2 si distinguono due topologie per una candidata  $V^0$  a seconda della disposizione della proiezione delle tracce cariche nel piano  $xy$ :

- a) la topologia di tipo “cowboy”, in cui le proiezioni delle due tracce si intersecano una seconda volta dopo il vertice di decadimento.
- b) quella di tipo “sailor”, in cui le proiezioni subito divergono senza più intersecarsi.

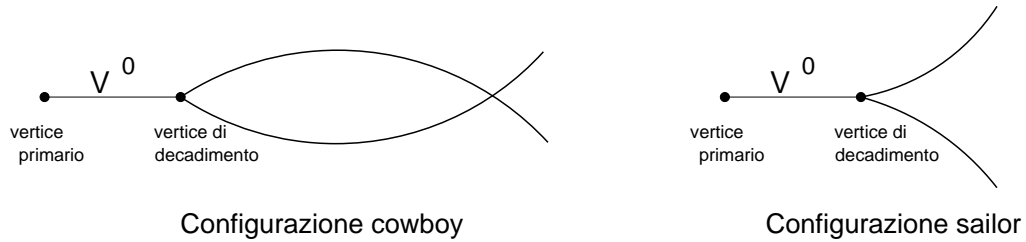


Figura 3.2: Possibili configurazioni di decadimento delle  $V^0$ .

La rivelazione dei vertici “cowboy”, ben più probabile di quelli “sailor” per la piccola sezione trasversa del telescopio, conduce ad una determinazione dei parametri della  $V^0$  più precisa. Infatti, la determinazione del vertice di decadimento, in cui si calcolano i parametri cinematici della  $V^0$ , è molto più precisa per i vertici *cowboy*. Ad esempio, un contributo all'errore sperimentale nella misura di  $M$  è legato a quello dell'angolo di apertura  $\phi$  della  $V^0$  dalla relazione  $dM = \frac{p_1 p_2}{M} \sin(\phi) d\phi$ , ottenuta differenziando la eq. 3.1, e tale angolo è più critico da valutare nella topologia “sailor”. Risulta quindi più conveniente considerare i soli vertici “cowboy”, che corrispondono al 70% dei vertici ricostruiti. In appendice B si mostra come, per la configurazione “cowboy”, la distanza tra il vertice di decadimento ed il secondo punto di intersezione delle proiezioni delle due tracce nel piano  $xy$  sia invariante per trasformazioni di Lorentz (“*boost*”) ed assuma, all'interno del campo del magnete GOLIATH, il massimo valore  $L_{MAX} \approx 100$  cm per i  $K_S^0$  ed  $L_{MAX} \approx 50$  cm per le  $\Lambda$  ed  $\bar{\Lambda}$ . Allo stesso tempo la massima distanza trasversa tra le due tracce di

decadimento, valutata nel piano  $xy$  rispetto alla direzione  $L$  della  $V^0$ , risulta piuttosto piccola, dell'ordine del centimetro per  $K_S^0$  e  $\Lambda$ . La rivelazione di queste particelle è pertanto possibile all'interno del telescopio dell'esperimento NA57, caratterizzato da una sezione trasversa limitata ( $5 \times 5 \text{ cm}^2$ ) ma in realtà appropriata per la cinematica di decadimento delle  $V^0$ , e di cui si può sfruttare tutta la lunghezza per la misura delle traiettorie delle particelle di decadimento.

Il massimo valore che può assumere l'impulso trasverso  $q_T$  delle tracce di decadimento rispetto alla linea di volo della particella madre è fornito da:

$$q_T^{MAX} = \frac{1}{2M} \sqrt{M^2 - (m_1 + m_2)^2} \sqrt{M^2 - (m_1 - m_2)^2}, \quad (3.2)$$

ed è pertanto pari a 0.206 GeV/ $c$  per i  $K_S^0$  e 0.101 GeV/ $c$  per le  $\Lambda$  e le  $\bar{\Lambda}$ . Nel programma STRIPV0, al fine di ridurre le combinazioni spurie di tracce che non corrispondono al decadimento di una  $V^0$ , si richiede pertanto la condizione  $q_T < 0.4 \text{ GeV}/c$ .

Come ultima condizione, al fine di ridurre drasticamente il numero di candidate  $V^0$  ottenute abbinando tracce *primarie* prodotte al vertice dell'interazione Pb-Pb (o p-Be), si richiede che il vertice di decadimento della candidata  $V^0$  (coincidente, come si è detto, con il punto medio del segmento di minima distanza tra le due tracce cariche) disti più di 15 cm dal bersaglio. Come si vedrà nel prossimo paragrafo, la scelta finale del volume fiduciale entro il quale una  $V^0$  deve decadere per non essere rigettata dai criteri di selezione è ben più restrittiva di questa condizione.

In fig. 3.3 sono mostrati gli spettri di massa inavariante  $M(\pi^+, \pi^-)$ ,  $M(p, \pi^-)$  e  $M(\bar{p}, \pi^+)$  corrispondenti ad un piccolo campione, pari a circa lo 0.5% dell'intera statistica dei dati raccolti nel 1998, delle candidate  $V^0$  selezionate da STRIPV0. I segnali delle diverse specie di particelle sono già evidenti nei rispettivi spettri, in corrispondenza della loro massa nominale, in misura statisticamente significativa rispetto al fondo. Il fondo è costituito da false  $V^0$ , in cui si distinguono due contributi, entrambi da eliminare; il primo è dovuto a casuali intersezioni geometriche delle tracce presenti nell'evento ( $V^0$  "geometriche"), il secondo, dovuto ad un'errata assegnazione delle masse alle particelle del decadimento, si manifesta nello spettro con picchi, detti "riflessi", in corrispondenza di valori non fisici per le masse delle  $V^0$  (fondo cinematico). Il lavoro di analisi eseguito sulle candidate  $V^0$  ricostruite da STRIPV0 ha lo scopo di isolare il segnale fisico di  $K_S^0$ ,  $\Lambda$  ed  $\bar{\Lambda}$  dagli eventi di fondo e dai riflessi.

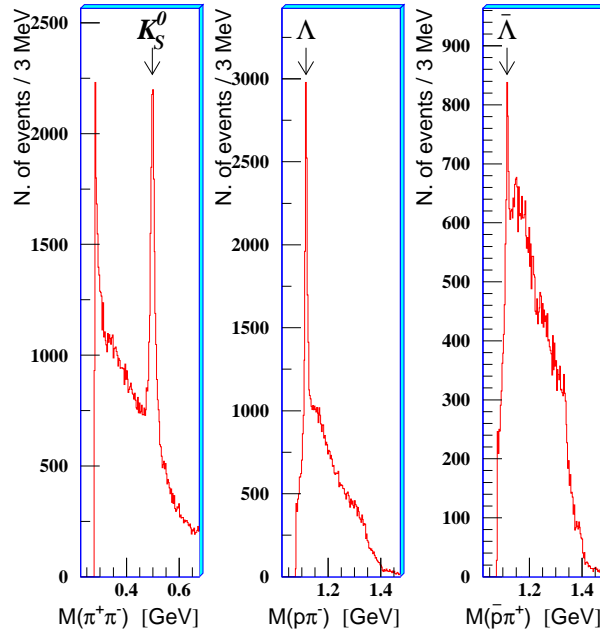


Figura 3.3: Spettri di massa invariante  $M(\pi^+, \pi^-)$  (a sinistra),  $M(p, \pi^-)$  (al centro) e  $M(\bar{p}, \pi^+)$  per un campione di candidate  $V^0$  ricostruite da STRIPV0.

### 3.3 Selezione delle $V^0$

Per selezionare ed isolare le particelle  $K_S^0$ ,  $\Lambda$  ed  $\bar{\Lambda}$  si possono applicare una serie di criteri di selezione, di natura sia geometrica che cinematica, finalizzati a minimizzare la contaminazione geometrica delle false  $V^0$  e quella cinematica dei riflessi. La determinazione dei criteri di selezione è stato oggetto di uno studio sistematico, volto a render massimo il rapporto segnale su fondo e tenendo anche conto dei risvolti che l'introduzione dei diversi criteri comporta nelle successive fasi di analisi, allorché si vogliono misurare quantità quali le distribuzioni di impulso trasverso o il tasso di produzione di una data specie di particelle. Tali criteri sono dunque stati finalizzati diversamente per i  $K_S^0$  e per le  $\Lambda$ - $\bar{\Lambda}$ ; per queste ultime è preferibile adottare gli stessi criteri di selezione, in modo tale da controllare la presenza di eventuali errori sistematici considerando la completa simmetria dei due decadimenti quando il campo magnetico viene invertito.

### 3.3.1 Selezioni generali

Si considerano in questo paragrafo i criteri di selezione comuni alle diverse specie, finalizzati alle interazioni Pb-Pb a 160 A GeV/ $c$  ed idonei ad eliminare la contaminazione geometrica e parte di quella cinematica dovuta alla presenza dei  $\gamma$  che convertono in coppie  $e^+e^-$ . La selezione finale è il risultato di un processo iterativo che, partendo da tagli approssimati su una o più variabili, li affina via via alla luce dell'effetto combinato su altre variabili.

Non verrà discusso in dettaglio tutto l'iter delle successive approssimazioni, ma a scopo illustrativo si mostreranno alcune distribuzioni ottenute applicando alle candidate  $V^0$  tutti i criteri finali di selezione, ad esclusione di quello che si verrà considerando di volta in volta e di quello sul valore della massa invariante della specie considerata.

- **Volume fiduciale per il decadimento:**  $x_{V^0}$

In fig. 3.4 sono mostrate le distribuzioni della posizione del vertice di decadimento della  $V^0$  lungo l'asse  $x$  del sistema di riferimento del magnete per un campione di candidate  $\Lambda+\bar{\Lambda}$  (fig. 3.4.a) ed uno di candidate  $K_S^0$  (fig. 3.4.b). Questi campioni sono stati ottenuti applicando tutti gli altri criteri di selezione, descritti in seguito, per isolare i segnali di  $\Lambda$  e  $K_S^0$ , tranne quello della posizione del vertice di decadimento, che si vuole studiare, e quello sull'intervallo finale di massa invariante ammesso per la specie considerata. La scelta del taglio è stata affinata osservando le correlazioni tra la posizione del vertice lungo l'asse  $x$  e la massa invariante  $M(p, \pi)$  od  $M(\pi^+, \pi^-)$ , a seconda che si studino le  $\Lambda+\bar{\Lambda}$  od i  $K_S^0$ , mostrate rispettivamente nella fig. 3.4.c e nella fig. 3.4.d. Nel sistema di ascisse in fig. 3.4, il centro del primo piano di pixel nel telescopio è posto ad  $x \simeq 0.5$  cm, mentre il bersaglio si trova ad  $x \simeq -60$  cm. Le frecce indicano il criterio di selezione operato sulla variabile  $x_{V^0}$ : le candidate  $\Lambda$  o  $\bar{\Lambda}$  sono accettate se decadono nell'intervallo  $[-30, -0.5]$  cm, mentre per le candidate  $K_S^0$  l'intervallo fiduciale è  $[-42, -0.5]$  cm. Il limite superiore viene imposto per eliminare la contaminazione residua di false  $V^0$  create utilizzando tracce prodotte nell'interazione col materiale del primo piano di rivelatori, contaminazione peraltro già ampiamente ridotta dall'azione degli altri criteri di selezione. Il valore del limite inferiore viene scelto con l'obiettivo di eliminare i vertici di decadimento posti troppo in prossimità del bersaglio, lì dove diventa elevata la concentrazione di coppie di tracce primarie, che solo apparentemente si incrociano al di fuori di esso a causa degli errori di misura, e non provengono dunque dal decadimento di una  $V^0$ . La necessità di richiedere un volume fiduciale più esteso (nella direzione verso il bersaglio) nel caso dei  $K_S^0$  discende in parte dalla loro minor vita media ( $c\tau = 2.68$  cm) rispetto a quella delle  $\Lambda$  ( $c\tau = 7.89$  cm), e quindi dallo loro maggior probabilità di decadere più vicino al bersaglio. Inoltre,

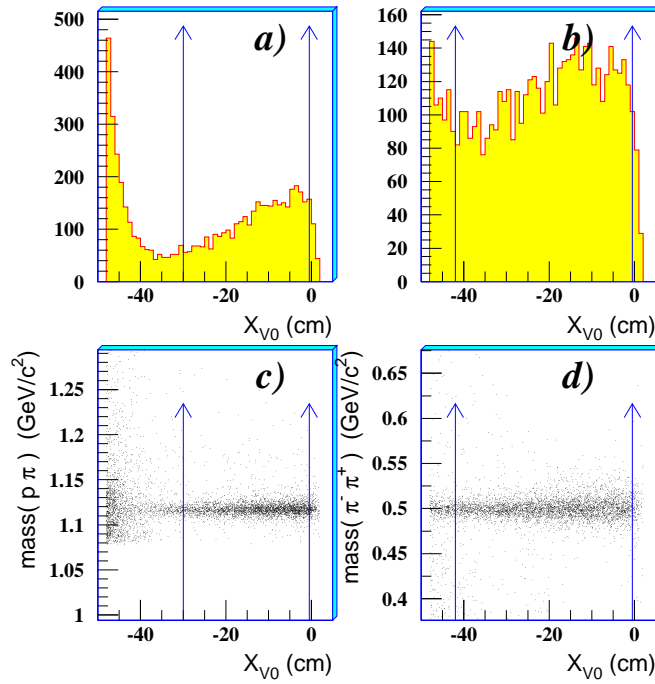


Figura 3.4: *In alto*: distribuzioni della posizione  $x_{V^0}$  del vertice di decadimento delle  $V^0$  per le  $\Lambda$  ed  $\bar{\Lambda}$  (a) e per i  $K_S^0$  (b). *In basso*: correlazioni della variabile  $x_{V^0}$  (in ascissa), relativa ai grafici soprastanti, con le masse invarianti (in ordinata)  $M(p, \pi)$  (c) ed  $M(\pi^+, \pi^-)$  (d).

la forma della distribuzione di  $x_{V^0}$  viene modulata dall'accettanza del telescopio, in maniera differente per le diverse specie di particelle, e non è quindi direttamente riconducibile alla distribuzione temporale, di tipo esponenziale, del decadimento della  $V^0$ .

- **Minima distanza tra le tracce di decadimento:**  $close_{V^0}$

In fig. 3.5 sono mostrate le distribuzioni della minima distanza tra le due tracce che formano la  $V^0$  per i campioni di candidate  $\Lambda + \bar{\Lambda}$  e di candidate  $K_S^0$ . Anche in questo caso i campioni sono stati ottenuti applicando tutti gli altri tagli tranne quello sull'intervallo di massa invariante ammesso per la specie considerata. Nei grafici in basso della stessa fig. 3.5 sono anche mostrate le correlazioni tra tale variabile e la massa invariante della specie che si vuole selezionare. Il criterio di selezione indicato dalle frecce è stato scelto in modo da eliminare le  $V^0$  con tracce di decadimento aventi minima distanza maggiore di 0.030 cm per le  $\Lambda$  ed  $\bar{\Lambda}$  e di 0.035 cm per i  $K_S^0$ . Ciò

riduce la contaminazione dovuta a false  $V^0$  generate dall'associazione di due tracce non correlate. Come già discusso nel paragrafo precedente, si accettano unicamente i

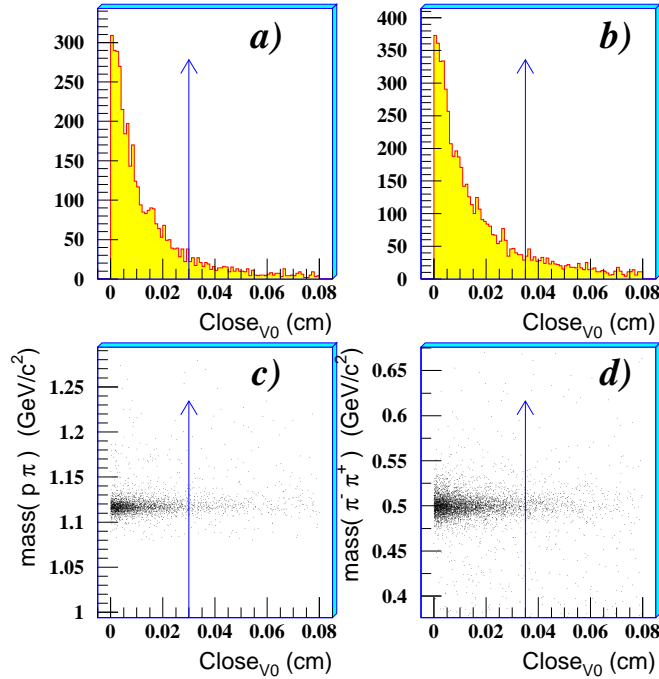


Figura 3.5: *In alto*: distribuzioni della minima distanza,  $close_{V^0}$ , tra le tracce della  $V^0$  per un campione di  $\Lambda$  ed  $\bar{\Lambda}$  selezionate (a), e per un campione di  $K_S^0$  (b). *In basso*: correlazioni della variabile  $close_{V^0}$  (in ascissa), relative ai grafici soprastanti, con le masse invarianti (in ordinata)  $M(\pi^+, \pi^-)$  (c) e  $M(\pi^+, \pi^-)$  (d).

decadimenti con topologia di tipo *cowboy*.

- **Parametro d'impatto della  $V^0$ :**  $b_{yV^0}$ ,  $b_{zV^0}$

Il parametro d'impatto della  $V^0$  si definisce, nel piano  $\Sigma$  normale all'asse del fascio (cioè parallelo al piano  $yz$  del riferimento nel laboratorio) e contenente il bersaglio, come il vettore congiungente il vertice primario dell'interazione con il punto d'intersezione tra la linea di volo della  $V^0$  ed il piano  $\Sigma$ .

Nelle interazioni Pb-Pb, caratterizzate da elevate molteplicità di tracce cariche entro il telescopio, è quasi sempre possibile (oltre il 95% dei casi) determinare la posizione del vertice primario dell'interazione Pb-Pb con buona precisione (qualche centinaia

di micron). Esso (vertice “*evento per evento*”) viene determinato con la seguente procedura iterativa. Si considerano inizialmente tutte le tracce cariche e le loro intersezione col piano  $\Sigma$ ; il vertice viene definito come il “baricentro” di queste intersezioni. Vengono quindi eliminate quelle tracce la cui distanza nel piano  $\Sigma$  dal vertice precedentemente determinato ecceda un dato limite e si determina il “baricentro” delle intersezioni rimanenti; e così via. In tal modo si eliminano le tracce non provenienti dal vertice primario, ma generate ad esempio dal decadimento di una  $V^0$ . La procedura termina quando la posizione del vertice diventa stabile rispetto ad un’ulteriore iterazione.

Tuttavia, nelle interazioni più periferiche, caratterizzate da una minor molteplicità di particelle cariche, la determinazione del vertice primario in un dato evento è meno efficiente e precisa. Si preferisce pertanto definire diversamente, uno per ciascun *run*<sup>1</sup>, il vertice primario dell’interazione (vertice “*run per run*”) utilizzato per calcolare i parametri d’impatto delle particelle prodotte. All’interno di ciascun *run* si considerano tutti gli eventi in cui si riesce a ricostruire il vertice primario *evento per evento* dell’interazione Pb-Pb. Il vertice *run per run* è quindi definito come il valore medio della distribuzione dei vertici *evento per evento* all’interno di un dato *run* e viene usato per tutti gli eventi di quel *run*.

Il vertice *run per run* così determinato è quello che viene adoperato in tutte le interazioni studiate da NA57, indipendentemente dalla centralità della collisione.

Considerando le proiezioni sull’asse  $y$  e sull’asse  $z$  di queste distribuzioni, oltre alle quantità  $y_{run}$  e  $z_{run}$  che forniscono le coordinate  $y$  e  $z$  del vertice “*run per run*”<sup>2</sup>, è possibile definire la precisione sulla determinazione di tali coordinate,  $\sigma_{y_{run}}$  e  $\sigma_{z_{run}}$ , come la sigma della gaussiana di “*best fit*” a tali proiezioni. Con tale definizione, risulta tipicamente  $\sigma_{y_{run}} \simeq 350\mu\text{m}$  e  $\sigma_{z_{run}} \simeq 600\mu\text{m}$ .

La possibilità di definire con buona precisione, su base *run per run*, la posizione ( $y_{run}, z_{run}$ ) del vertice d’interazione è conseguenza della notevole stabilità spaziale del fascio di Pb e delle sua ottima focalizzazione sul bersaglio. Ciò permette di analizzare le collisioni più periferiche con gli stessi strumenti di analisi usati per le collisioni più centrali, senza introdurre la possibilità di errori sistematici differenti per le due classi. Nelle figg. 3.6.a, 3.6.b sono mostrate le distribuzioni della componente  $y$  del parametro d’impatto della  $V^0$  per un campione di candidate  $\Lambda$  ed  $\bar{\Lambda}$  (**a**) e per un campione di

---

<sup>1</sup>Si ricorda, come discusso nel par. 2.5.2, che un *run* è un insieme di eventi temporalmente contigui, tipicamente pari a  $2 \times 10^5$  interazioni Pb-Pb.

<sup>2</sup>La coordinata  $x$  del vertice dell’interazione viene assunta coincidente con la posizione nominale del bersaglio, il cui spessore è molto minore rispetto alla precisione con cui sarebbe possibile determinare la  $x$  del vertice a partire da un’extrapolazione all’indietro delle tracce delle particelle prodotte.

candidate  $K_S^0(\mathbf{b})$ , normalizzate alla precisione sulla determinazione del vertice *run per run*  $\sigma_{y_{run}}$ . La correlazione di tale variabile  $b_{yV^0}/\sigma_{y_{run}}$  con la massa invariante  $M(p, \pi)$  e  $M(\pi^+, \pi^-)$  è riportata, rispettivamente, nella fig. 3.6.c e nella fig. 3.6.d. Gran parte del fondo geometrico viene eliminato richiedendo che la  $V^0$  provenga dal vertice d'interazione, entro qualche unità di  $\sigma_{y_{run}}$ . Negli inserti *e*), *f*), *g*) e *h*) della fig. 3.6 sono mostrate le analoghe distribuzioni per la proiezione  $z$  del parametro d'impatto delle  $V^0$ .

Dallo studio del rapporto segnale su fondo, risulta che la scelta più conveniente per il criterio di selezione sul parametro d'impatto richiede un taglio correlato sulle due proiezioni  $b_{zV^0}$  e  $b_{yV^0}$ . La correlazione tra le due variabili normalizzate alle rispettive  $\sigma_{run}$  è mostrata nella fig. 3.7 per il campione di  $\Lambda$  ed  $\bar{\Lambda}(\mathbf{a})$  e di  $K_S^0(\mathbf{b})$ . La scelta finale sul criterio di selezione è dunque la seguente: per  $\Lambda$  ed  $\bar{\Lambda}$  la  $V^0$  deve possedere un parametro d'impatto compreso entro un'ellisse di semiassi pari a  $2.5\sigma_{y_{run}}$  e  $3\sigma_{z_{run}}$ ; nel caso dei  $K_S^0$  si è definita un'ellisse limite con semiassi pari a  $2.5\sigma_{y_{run}}$  e  $2.5\sigma_{z_{run}}$ . Le ellissi così definite sono riportate in blu nella fig. 3.7. Le frecce in blu della fig. 3.6 forniscono invece il limite massimo ammesso per una delle due componenti quando l'altra assume valore nullo.

Come si discuterà nel prossimo capitolo, nell'operare questa scelta si è tenuto conto del fatto che nella procedura di correzione per accettazione ed efficienza è necessario introdurre la distribuzione dei parametri d'impatto delle  $V^0$  nelle simulazioni; la forma di queste distribuzioni non è nota esattamente a priori, ed inoltre, a causa degli errori di estrapolazione, c'è la possibilità che vengano introdotte delle distorsioni in queste distribuzioni. Una taglio troppo severo, dell'ordine di  $1 \div 2 \sigma_{run}$ , potrebbe quindi introdurre degli errori sistematici nella procedura di correzione per efficienza ed accettazione. A riguardo di ciò, si discuterà nel prossimo capitolo l'entità degli effetti introdotti dalla scelta qui operata per il taglio sul parametro d'impatto, nel caso delle  $\Lambda$ ,  $\bar{\Lambda}$  e  $K_S^0$ .

- **Componente  $y$  del parametro d'impatto dei prodotti di decadimento:**

$b_y^{neg}, b_y^{pos}$

Come si è definito il parametro d'impatto della  $V^0$ , così si può considerare il prolungamento all'indietro, verso il bersaglio, delle tracce dei prodotti di decadimento di una  $V^0$ . In tal caso si deve inseguire nel campo magnetico la traiettoria delle particelle, sino al piano  $\Sigma$  perpendicolare all'asse  $x$  e contenente il bersaglio; anche in tal caso conviene riferire il parametro d'impatto al vertice *run per run* dell'interazione. Prima dell'applicazione degli altri tagli geometrici, una cospicua frazione del fondo

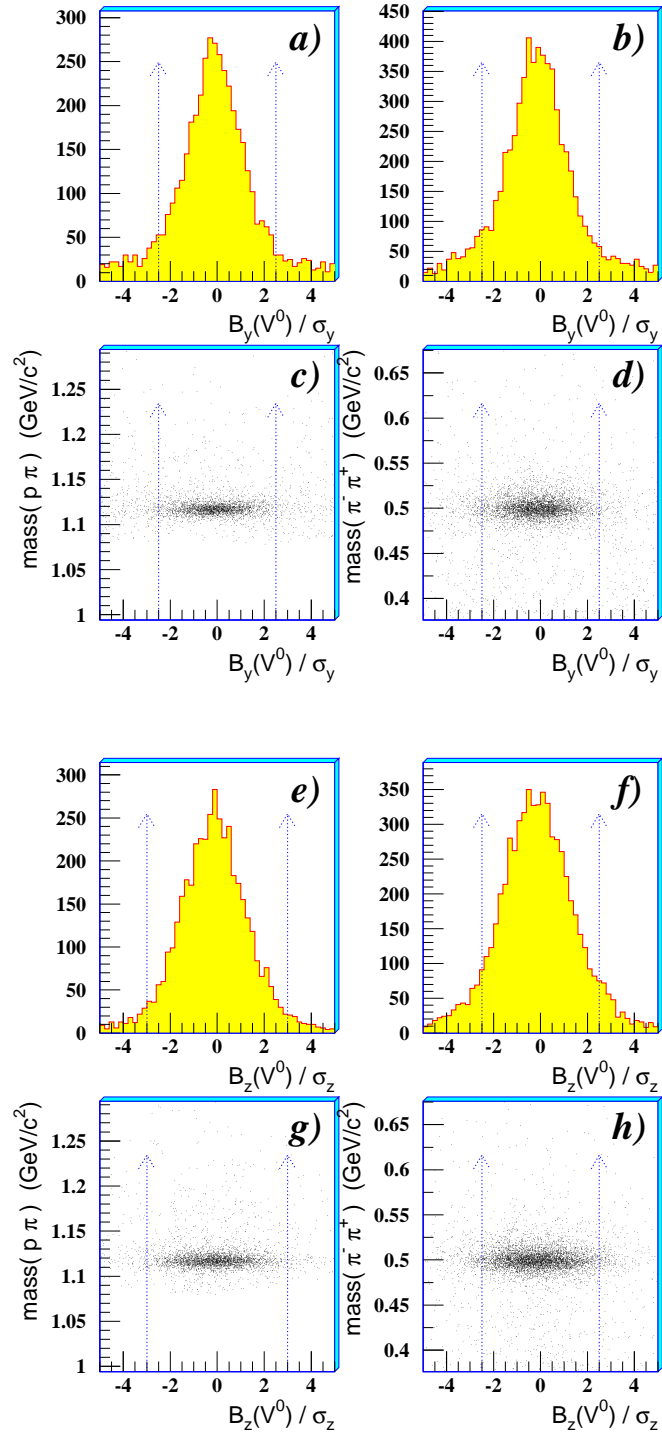


Figura 3.6: *Nei quattro grafici in alto*: Distribuzioni della proiezione lungo l'asse  $y$  del parametro d'impatto della  $V^0$  per un campione di candidate  $\Lambda\text{-}\bar{\Lambda}$  (a) e sua correlazione con la massa invariante  $M(p, \pi)$  (c); distribuzione della proiezione  $y$  del parametro d'impatto della  $V^0$  per un campione di candidate  $K_S^0$  (b) e sua correlazione con la massa invariante  $M(\pi^+, \pi^-)$  (d). *Nei quattro grafici in basso*: analoghe distribuzioni per la proiezione  $z$  del parametro d'impatto.

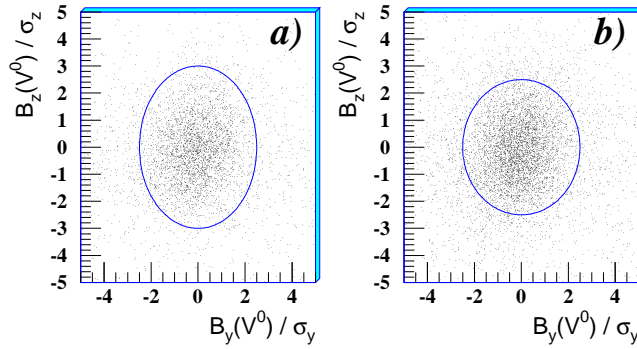


Figura 3.7: Distribuzioni bidimensionali delle proiezioni del parametro d’impatto  $b_{zV^0}$ ,  $b_{yV^0}$  per un campione di candidate  $\Lambda$  ed  $\bar{\Lambda}$  (a), e di  $K_S^0$  (b).

delle false  $V^0$ , costituite da tracce provenienti dal vertice primario, presenta valori del parametro d’impatto delle tracce di decadimento concentrati attorno allo zero. L’applicazione degli altri tagli geometrici rimuove quasi completamente tale frazione; tuttavia, nel caso dei  $K_S^0$ , è possibile rimuovere una piccola contaminazione residua di fondo geometrico operando su queste variabili. In fig. 3.8 sono mostrate le distribuzioni della componente  $y$  del parametro d’impatto della particella di carica positiva (fig. 3.8.a) e di quella di carica negativa (fig. 3.8.b) provenienti dal decadimento di un campione di candidate  $V^0$ , ottenute applicando tutti i restanti criteri di selezione finalizzati alla ricostruzione dei  $K_S^0$ . Nelle figg. 3.8.c e 3.8.d sono mostrate le correlazioni delle due variabili  $b_y^{neg}$  e  $b_y^{pos}$  con la massa invariante  $M(\pi^+, \pi^-)$ . Il taglio impostato su queste variabili, indicato dalle frecce nella fig. 3.8, elimina quelle candidate  $V^0$  le cui tracce di decadimento presentino un parametro d’impatto superiore a  $-0.2$  cm, od inferiore a  $0.2$  cm, a seconda che si tratti della particella di carica negativa o di quella di carica positiva e tenendo opportunamente conto dell’orientazione, rispetto all’asse  $z$ , del campo magnetico.

Nel caso della selezione finalizzata ad isolare i segnali di  $\Lambda$  ed  $\bar{\Lambda}$ , invece, n  l’applicazione di un simile taglio, n  quello sulla componente  $z$  del parametro d’impatto dei prodotti di decadimento, risulta di giovamento e quindi non   stato applicato.

- **Impulso trasverso delle tracce di decadimento:  $q_T$**

Nella fig. 3.9 sono riportate le distribuzioni del momento trasverso  $q_T$ , valutato rispetto alla linea di volo della  $V^0$ , per il campione di  $\Lambda$  ed  $\bar{\Lambda}$  (fig. 3.9.a) e di  $K_S^0$  (fig. 3.9.b)

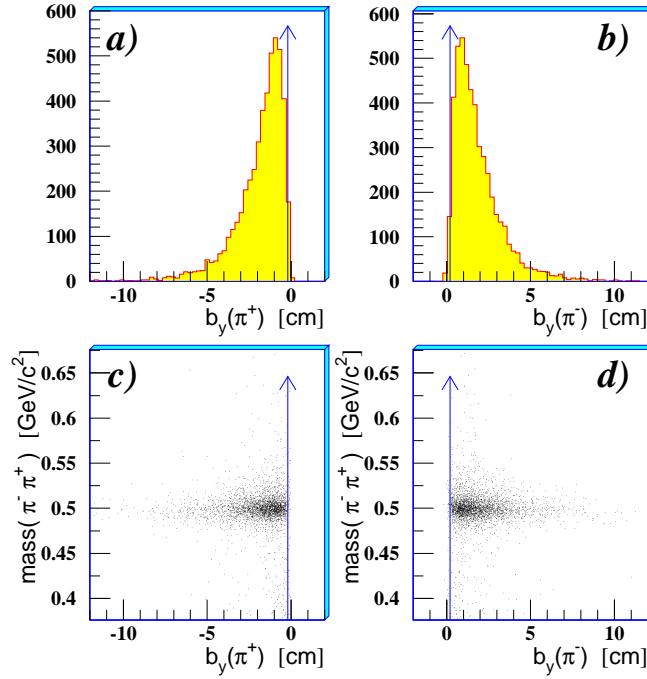


Figura 3.8: *In alto*: distribuzioni della componente  $y$  del parametro d’impatto della particella di decadimento di carica positiva (**a**) e di carica negativa (**b**), per un campione di candidate  $V^0$  selezionate con i tagli dei  $K_S^0$ . *In basso*: correlazioni con la massa invariante  $M(\pi^+, \pi^-)$  (in ordinata).

ottenuti al solito applicando tutti gli altri tagli, ad esclusione di quello sulla massa nominale della  $V^0$ . I picchi a bassi valori di  $q_T$  sono dovuti prevalentemente alla contaminazione di  $\gamma$  che convertono in coppie  $e^+e^-$  nell’aria o nel materiale del primo piano di pixel. Tale contaminazione, di carattere cinematico, è lievemente più problematica per le  $\Lambda$  ed  $\bar{\Lambda}$ , in quanto la distribuzione del momento trasverso  $q_T$  per i decadimenti di queste particelle si estende sino a poche decine di MeV/ $c$ ; nel caso dei  $K_S^0$ , invece, la distribuzione ad essi relativi è nettamente separata dal picco, peraltro più ridotto per l’azione degli altri tagli. La distribuzione attesa, calcolabile nell’ipotesi di isotropia del decadimento nel sistema centro di massa, è infatti la seguente:

$$\frac{dN}{dq_T} = \frac{q_T}{2q_T^{MAX} \sqrt{(q_T^{MAX})^2 - (q_T)^2}}. \quad (3.3)$$

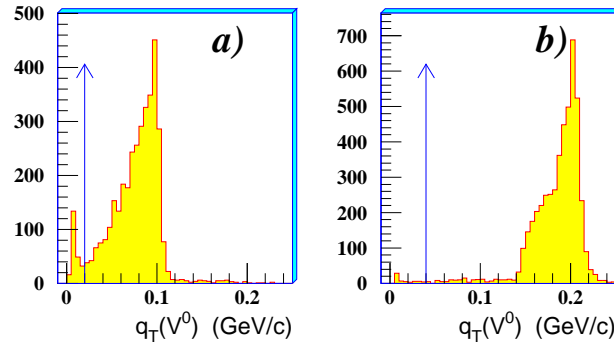


Figura 3.9: Distribuzione del momento trasverso  $q_T$  per un campione di candidate  $\Lambda$  ed  $\bar{\Lambda}$  (a sinistra), e di  $K_S^0$  (a destra).

Essa ha un massimo in corrispondenza di  $q_T^{MAX}$  (picchi principali in fig. 3.9), ma si riduce a zero per bassi impulsi trasversi, lì dove è stato operato il taglio. Nel caso delle  $\Lambda$  ed  $\bar{\Lambda}$  si è scelto dunque il valore di 20 MeV/c, mentre per i  $K_S^0$  si può assumere un taglio più conservativo a 40 MeV/c, senza perdere alcun segnale fisico.

- **Angolo interno azimuthale del decadimento:**  $\phi_{V^0}$

Si consideri il sistema di riferimento  $x'y'z'$  ottenuto ruotando il sistema del laboratorio  $xyz$  in modo tale che l'asse  $x'$  sia diretto lungo la direzione di volo della  $V^0$ , l'asse  $y'$  giaccia ancora nel piano  $xy$  di curvatura delle tracce cariche, e  $z'$  in modo tale da formare una terna destrorsa con  $x'$  ed  $y'$ . È possibile definire due angoli interni di decadimento nel sistema  $x'y'z'$  appena specificato:

1. l'angolo azimuthale  $\phi$  formato dall'impulso trasverso della particella di decadimento di carica negativa <sup>3</sup> e l'asse  $y'$  (cioè, nel caso della  $\Lambda$ , l'angolo tra la proiezione dell'impulso  $\vec{p}_{\pi^-}$  del  $\pi^-$  nel piano  $y'z'$  e l'asse  $y'$ , come schematizzato in fig. 3.10);
2. l'angolo  $\theta^*$  compreso tra l'impulso della particella di carica negativa, valutato nel sistema di riferimento ottenuto applicando a  $x'y'z'$  un "boost" di Lorentz lungo  $x'$  in modo tale da porsi nel sistema a riposo della  $V^0$ , e la direzione di volo della  $V^0$  (direzione dell'asse  $x'$ ) <sup>4</sup>. È opportuno tener presente che per porsi nel sistema a riposo della  $V^0$ , cioè per effettuare il "boost" di Lorentz, bisogna

<sup>3</sup>l'angolo formato dalla particella di carica positiva è supplementare all'angolo  $\phi$  qui definito.

<sup>4</sup>In tale sistema, l'angolo  $\theta^*$  ottenuto considerando la particella di carica positiva è supplementare a quello relativo alla particella di carica negativa che, convenzionalmente, viene preso come riferimento.

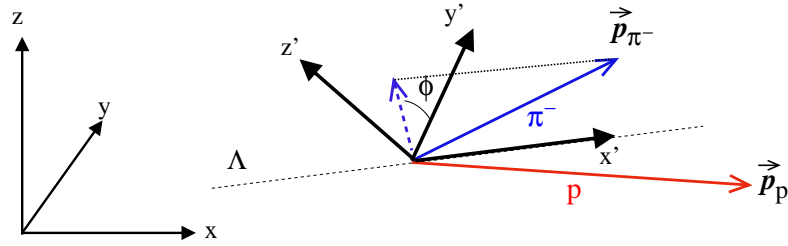


Figura 3.10: Definizione dell'angolo interno  $\phi$  nel caso del decadimento di una  $\Lambda$ .

assegnarle una massa; per una stessa  $V^0$  è quindi possibile definire due angoli:  $\theta_{K_s^0}^*$  nell'ipotesi che la  $V^0$  sia un  $K_s^0$  oppure  $\theta_{\Lambda}^*$  nell'ipotesi che la  $V^0$  sia una  $\Lambda$  od una  $\bar{\Lambda}$ . L'angolo  $\phi$  è invece indipendente dal fattore  $\gamma$  di Lorentz associato al "boost" e verrà indicato come  $\phi_{V^0}$  per distinguerlo, quando si considereranno i decadimenti delle cascate ( $\Xi$  ed  $\Omega$ ), dagli analoghi angoli interni di decadimento definibili per le cascate.

In fig. 3.11 è mostrata la distribuzione dell'angolo  $\phi$  per un campione di candidate  $\Lambda$  ed  $\bar{\Lambda}$ , per le due possibili orientazioni del campo magnetico. Poiché si accettano solo i decadimenti con configurazione di tipo *cowboy*, l'angolo  $\phi$  può assumere i valori compresi nell'intervallo  $[-90^\circ, 90^\circ]$  quando il campo è diretto verso l'alto (parallelo a  $z$ ), o negli intervalli esplementari  $[-180^\circ, -90^\circ]$ ,  $[90^\circ, 180^\circ]$  quando il campo magnetico è diretto verso il basso (antiparallelo a  $z$ ). Piccoli angoli  $\phi$  ( $\sim 0^\circ$ ) per campo magnetico verso l'alto, od angoli  $\phi$  prossimi all'angolo piatto ( $\sim \pm 180^\circ$ ) per campo magnetico verso il basso, corrispondono al caso in cui le due tracce di decadimento abbiano circa lo stesso angolo di *dip*  $\lambda$  (fig. 2.12 nel *paragrafo 2.6*), angolo  $\lambda$  dunque anche simile a quello della  $V^0$ .

Il segnale fisico dei veri decadimenti delle  $V^0$  ha un massimo (che fortunatamente non è eccessivamente pronunciato) in tale regione a causa della sezione trasversa finita del telescopio di NA57: per un decadimento di tipo *cowboy* completamente contenuto nel piano  $x'y'$  ( $\phi = 0^\circ$  o  $180^\circ$ ), infatti, l'azione del campo magnetico è quella di contenere le tracce rispetto alla loro direzione di emissione ( $y'$  appunto); mentre per un decadimento nel piano  $x'z'$  perpendicolare ad  $x'y'$  (cioè per  $\phi \sim \pm 90^\circ$ ), l'azione di contenimento delle tracce del campo magnetico è quasi nulla, e le tracce escono più facilmente dal telescopio<sup>5</sup>.

<sup>5</sup>Si ricorda che il telescopio è inclinato di soli 40 mrad rispetto alla direzione  $x$  del fascio; pertanto l'angolo tra l'asse  $z'$  e l'asse  $z$ , lungo cui è diretto il campo magnetico, è anch'esso dell'ordine di qualche

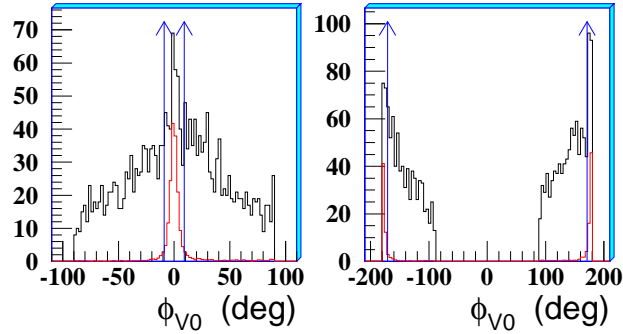


Figura 3.11: Distribuzione dell'angolo interno di decadimento  $\phi$  per un campione di  $\Lambda$  ed  $\bar{\Lambda}$  ottenuto applicando gli altri criteri di selezione (ad esclusione di quello sulla massa invariante  $M(p,\pi)$ ). L'istogramma in rosso rappresenta il fondo geometrico valutato con la tecnica degli eventi mescolati (si veda il *paragrafo 4.2*). A sinistra è mostrata la distribuzione ottenuta con campo magnetico rivolto verso l'alto, a destra quella con campo magnetico invertito.

Allo stesso tempo anche il fondo geometrico di false  $V^0$ , ottenute abbinando tracce primarie, si concentra in questa regione sia per la maggior accettazione geometrica, come nel caso del decadimento delle vere  $V^0$ , sia in quanto è maggiore l'incertezza sulla determinazione del punto di minor distanza tra le due tracce (punto di apparente intersezione), perché esse sono quasi coincidenti nella proiezione  $xz$ , ed è dunque più probabile per esse superare il taglio sul volume fiduciale di decadimento, a causa di errori di estrapolazione.

La determinazione del miglior taglio sulla variabile  $\phi$  per discriminare il segnale fisico dal fondo geometrico non è pertanto delle più agevoli. Un notevole aiuto a riguardo si ottiene considerando la distribuzione del solo fondo geometrico, ottenuta sviluppando una tecnica di *mescolamento degli eventi* che verrà discussa in dettaglio nel prossimo capitolo. Tale distribuzione è riportata in rosso nella fig. 3.11. Il criterio di selezione adottato, sia per le  $\Lambda$  e le  $\bar{\Lambda}$  che per i  $K_S^0$ , è quello di rigettare le candidate  $V^0$  quando le particelle di decadimento risultano quasi complanari, entro  $\pm 9^\circ$ , con il piano  $x'y'$ , come indicato dalle frecce in blu nella fig. 3.11.

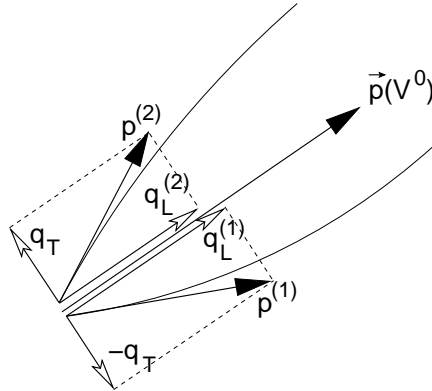


Figura 3.12: Schema del decadimento a due corpi di una  $V^0$ : si definiscono, rispetto alla linea di volo della  $V^0$ , l'impulso trasverso  $q_T$  delle tracce di decadimento ed i due impulsi longitudinali  $q_L^{(1)}$  e  $q_L^{(2)}$ .

### 3.3.2 Identificazione di $K_S^0$ , $\Lambda$ ed $\bar{\Lambda}$

Una volta operati i tagli comuni, la selezione può essere affinata per distinguere i vari tipi di particelle considerando la distribuzione dei decadimenti ricostruiti nello spazio delle fasi. Riferendosi alla fig. 3.12, le variabili cinematiche più utili a tal fine sono quelle di Armenteros-Podolanski [125] e precisamente: l'impulso trasverso  $q_T$ , già definito, e la grandezza  $\alpha$ , definita in termini dei momenti longitudinali delle particelle di decadimento, rispetto alla direzione di volo della  $V^0$ :

$$\alpha = \frac{q_L^{(1)} - q_L^{(2)}}{q_L^{(1)} + q_L^{(2)}} \quad (3.4)$$

Detto  $\langle \alpha \rangle = \frac{m_1^2 - m_2^2}{M_{V^0}^2}$  il suo valore medio, si può dimostrare [125] che, nello spazio delle fasi così determinato, i punti corrispondenti ad un dato schema di decadimento si dispongono lungo la curva di equazione:

$$\left( \frac{q_T}{q_T^{MAX}} \right)^2 + \left( \frac{\alpha - \langle \alpha \rangle}{2q_T^{MAX} \sqrt{\frac{1}{M_{V^0}^2} + \frac{1}{P^2}}} \right)^2 = 1 \quad (3.5)$$

dove  $P = q_L^{(1)} + q_L^{(2)}$  è l'impulso della particella primaria. Per decadimenti relativistici ( $P \gg M_{V^0}$ ), l'eq. 3.5 diventa l'equazione di un'ellisse nel piano  $(\alpha, q_T)$ :

$$\left( \frac{q_T}{q_T^{MAX}} \right)^2 + \left( \frac{\alpha - \langle \alpha \rangle}{\alpha_L} \right)^2 = 1 \quad \text{dove: } \alpha_L = \frac{2q_T^{MAX}}{M_{V^0}} \quad (3.6)$$

La forma dell'ellisse dipende quindi, per  $V^0$  relativistiche, soltanto dalle masse delle particelle coinvolte nel decadimento, mentre ciascun punto dell'ellisse corrisponde ad un diverso angolo di decadimento nel sistema centro di massa (dalla relazione  $q_T = q_T^{MAX} \sin \theta^*$ ). In fig. 3.13.a è mostrata la distribuzione, nel piano  $(\alpha, q_T)$ , di un campione di candidate  $V^0$  selezionate da STRIPV0 (cioè senza le ulteriori selezioni descritte in questo paragrafo).

Si riconoscono agevolmente tre archi di ellisse: i  $K_S^0$ , col loro decadimento simmetrico,

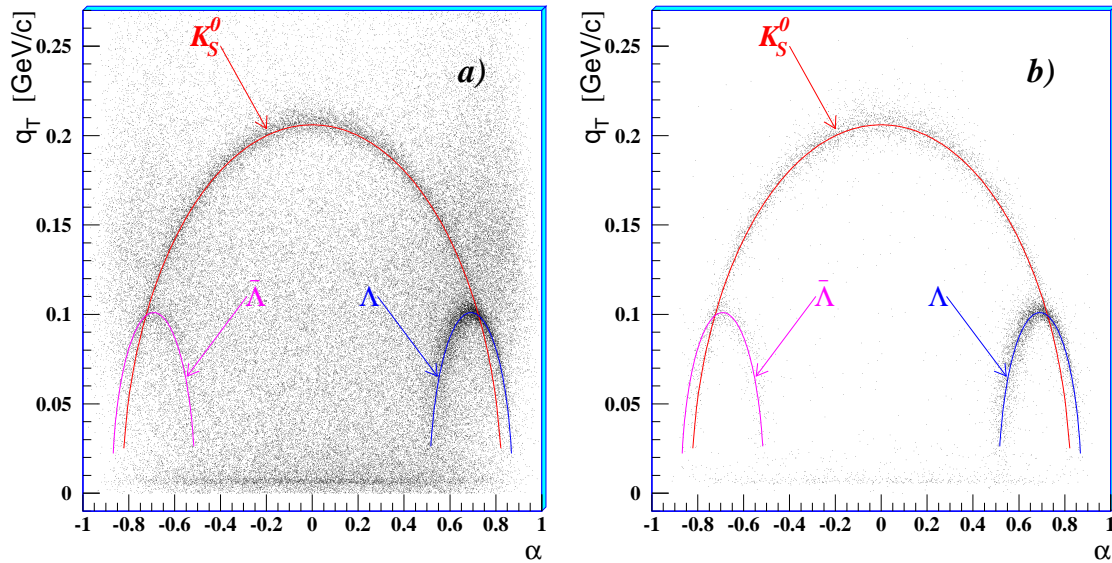


Figura 3.13: Distribuzione dei decadimenti  $V^0$  nel piano  $(\alpha, q_T)$  per un campione di candidate  $V^0$  selezionate da STRIPV0 (a) e dopo l'applicazione dei tagli geometrici (b).

si dispongono lungo l'ellisse centrale con  $\langle \alpha \rangle = 0$ , le  $\Lambda$  sono invece concentrate nella regione  $\alpha > 0.45$ , le  $\bar{\Lambda}$ , meno abbondanti delle  $\Lambda$ , nella regione  $\alpha < -0.45$ . Si nota anche l'addensamento a bassi  $q_t$  corrispondente alle conversioni dei  $\gamma$  in coppie  $e^+e^-$ , che vengono eliminati con la condizione sul minimo valore di  $q_t$  già discussa.

Nella fig. 3.13.b è mostrata la stessa distribuzione, dopo l'applicazione dei tagli geometrici, ottimizzati per la selezione delle  $\Lambda$  e  $\bar{\Lambda}$ . Per giungere ai segnali fisici finali, bisogna dunque operare la selezione delle diverse specie operando sui parametri  $\alpha$  e  $q_T$ .

### Selezione delle $\Lambda$ ed $\bar{\Lambda}$

Si può restringere la regione cinematica dello spazio delle fasi in cui sono concentrate le  $\Lambda$  ( $\bar{\Lambda}$ ) con la condizione  $\alpha > 0.45$  ( $\alpha < -0.45$ ). Bisogna comunque eliminare la regione di spazio delle fasi in cui vi è ambiguità tra  $\Lambda$  ( $\bar{\Lambda}$ ) ed i  $K_S^0$ . Rispetto alle variabili  $q_T$  ed  $\alpha$ , tale regione corrisponde all'intersezione delle ellissi associate alle  $\Lambda$  ( $\bar{\Lambda}$ ) ed ai  $K_S^0$ . La miglior condizione per eliminare l'ambiguità, massimizzando il rapporto segnale su fondo residuo, è quella di eliminare le candidate  $V^0$  che abbiano una massa invariante  $M(\pi^+, \pi^-)$  vicina alla massa nominale dei  $K_S^0$ , entro opportuni limiti. Per determinare questi limiti si è considerato lo spettro di massa invariante  $M(\pi^+, \pi^-)$  nella regione di spazio delle fasi  $0.45 < |\alpha| < 0.65$ , in cui non vi è ambiguità con le  $\Lambda$  ed  $\bar{\Lambda}$ , applicando i rimanenti criteri di selezione ottimizzati per le  $\Lambda$  ed  $\bar{\Lambda}$ , che qui si vogliono isolare. In fig. 3.14 sono mostrati tali spettri relativamente

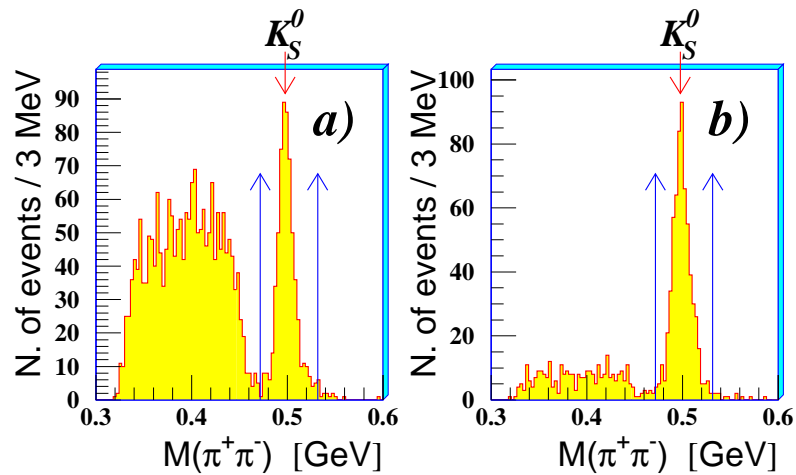


Figura 3.14: Spettri di massa invariante  $M(\pi^+, \pi^-)$  per un campione  $V^0$  cui sono stati applicati i tagli geometrici nelle regioni  $0.45 < \alpha < 0.65$  (a) e  $-0.65 < \alpha < -0.45$  (b).

alla regione  $0.45 < \alpha < 0.65$  (fig. 3.14.a) ed a quella  $-0.65 < \alpha < -0.45$  (fig. 3.14.b). Il segnale dei  $K_S^0$ , centrato sul valore nominale di massa indicato dalle frecce rosse, è ora ben distinto dal riflesso del segnale delle  $\Lambda$  ed  $\bar{\Lambda}$ , distribuito su tutto lo spettro, ma concentrato in questa particolare regione di spazio delle fasi ( $0.45 < |\alpha| < 0.65$ ) a masse invarianti minori. Le frecce blu indicano il criterio di selezione adottato per anti-selezionare i  $K_S^0$  dal campione finale di  $\Lambda$  ed  $\bar{\Lambda}$ : si richiede che le  $V^0$  abbiano una massa invariante  $M(\pi^+, \pi^-)$  superiore di  $34 \text{ MeV}/c^2$  od inferiore di  $26 \text{ MeV}/c^2$  alla massa nominale del  $K_S^0$ .

## Selezione dei $K_S^0$

L'estrazione dei  $K_S^0$  dal campione di  $V^0$  selezionate coi tagli geometrici è più agevole di quella richiesta per le  $\Lambda$  e  $\bar{\Lambda}$ , in quanto nella gran parte di spazio delle fasi in cui il loro decadimento è distribuito non vi è ambiguità con  $\Lambda$  e  $\bar{\Lambda}$ .

Un primo criterio, spesso adottato a tal fine, potrebbe essere quello di selezionare la regione  $|\alpha| < 0.45$  in cui non è ammesso alcun decadimento delle  $\Lambda$  ed  $\bar{\Lambda}$ . In tal modo si scarterebbero però anche i  $K_S^0$  concentrati nella regione tra  $0.45 < |\alpha| \lesssim 0.65$ , che sono comunque cinematicamente distinguibili dalle  $\Lambda$  ed  $\bar{\Lambda}$ . Per recuperare questi ultimi, il criterio più semplice sarebbe quello di operare un taglio sulla variabile  $q_T$ , ad un valore sui 120 MeV/c. Però questa variabile è fortemente correlata con la massa invariante della specie considerata (eq. 3.1), ed il taglio su  $q_T$  si tradurrebbe quindi in un taglio sulla massa invariante  $M(\pi^+, \pi^-)$ . Un simile criterio di selezione presenta dunque il rischio di mascherare la presenza del fondo residuo nel segnale dei  $K_S^0$ , che quindi non sarebbe agevolmente quantificabile.

Il compromesso tra questi due criteri qui adottato è quello di considerare la variabile cinematica  $\cos \theta_{K_S^0}^*$ , dove  $\theta_{K_S^0}^*$  è l'angolo interno di decadimento formato tra l'impulso della particella di decadimento di carica negativa e la linea di volo della  $V^0$  nel sistema di riferimento in cui il  $K_S^0$  è a riposo, secondo la definizione data nel par.3.3.1. In fig. 3.15.a è mostrata la correlazione tra la massa invariante  $M(\pi^+, \pi^-)$  e la variabile  $\cos \theta_{K_S^0}^*$ , dopo aver applicato i soli tagli geometrici. Rispetto a questa nuova coppia di variabili dello spazio delle fasi, le  $\Lambda$  ( $\bar{\Lambda}$ ), che si concentrano nella regione  $\cos \theta_{K_S^0}^* \lesssim -0.75$  ( $\cos \theta_{K_S^0}^* \gtrsim 0.75$ ), risultano più concentrate e quindi più efficacemente separabili dai  $K_S^0$ . Il criterio di selezione adottato per la selezione dei  $K_S^0$  è quello di accettare le candidate  $V^0$  quando  $|\cos \theta_{K_S^0}^*| < 0.7$  (freccie blu nella fig. 3.15.a). Questo criterio di selezione permette di accettare anche parte di quei decadimenti di  $K_S^0$ , che si dispongono nel grafico di Armenteros (fig. 3.13) nella parte di ellisse corrispondente a  $0.45 < |\alpha| \lesssim 0.65$ , e che sarebbero invece scartati dalla condizione più restrittiva  $|\alpha| < 0.45$ . In fig. 3.15.b è mostrato, nello spazio delle fasi  $(\alpha, q_T)$ , la distribuzione delle  $V^0$  selezionate con questo criterio. La regione in cui è cinematicamente permesso il decadimento delle  $\Lambda$  e  $\bar{\Lambda}$  è ancora completamente rimossa, mentre è ora più esteso l'arco di ellisse relativo ai  $K_S^0$  selezionati, rispetto a quanto possibile col taglio  $|\alpha| < 0.45$  (linee tratteggiate in fig. 3.15.b): il guadagno dei  $K_S^0$  selezionati è del 27%.

Di seguito sono riassunti i criteri di selezione per le  $\Lambda$ , le  $\bar{\Lambda}$  ed i  $K_S^0$  nella presa dati del 1998 (Pb-Pb a 160 A GeV/c). Quelli relativi ai  $K_S^0$  sono ancora da considerarsi preliminari in quanto si deve verificare la loro stabilità rispetto alla procedura di correzione per efficienza ed accettazione, procedura avviata solo per un campione molto ridotto di  $K_S^0$ .

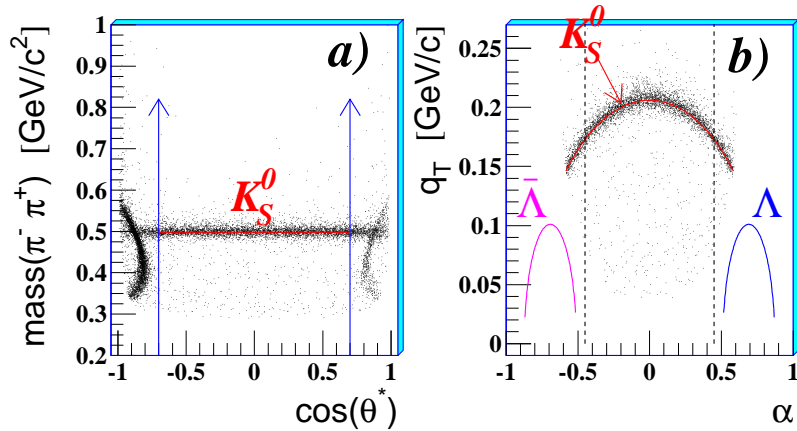


Figura 3.15: **a)** Correlazione tra la massa invariante  $M(\pi^+, \pi^-)$  ed il coseno dell'angolo interno di decadimento  $\theta_{K_S^0}^*$  per un campione di candidate  $V^0$  cui sono stati applicati i tagli geometrici finalizzati alla selezione dei  $K_S^0$ . **b)** Effetto del taglio  $|\cos \theta_{K_S^0}^*| < 0.7$  sul grafico di Armenteros per lo stesso campione di candidate  $V^0$ .

### Criteri di selezione per le $\Lambda$ e $\bar{\Lambda}$ in Pb-Pb a 160 A GeV/c (1998)

- $\Lambda$ .a)** tutte le tracce del decadimento attraversano la parte compatta del telescopio (primo e nono piano)
- $\Lambda$ .b)** decadimento della  $V^0$  di tipo *cowboy*
- $\Lambda$ .c)**  $-30. \text{ cm} < x_{V^0} < -0.5 \text{ cm}$
- $\Lambda$ .d)**  $close_{V^0} < 0.030 \text{ cm}$
- $\Lambda$ .e)**  $0.020 \text{ GeV}/c < q_{TV^0} < 0.40 \text{ GeV}/c$
- $\Lambda$ .f)**  $\left[ \frac{b_{yV^0}}{2.5 \cdot \sigma_y} \right]^2 + \left[ \frac{b_{zV^0}}{3 \cdot \sigma_z} \right]^2 < 1$
- $\Lambda$ .g)**  $\alpha > 0.45$  ( $\Lambda$ )      *OR*       $\alpha < -0.45$  ( $\bar{\Lambda}$ )
- $\Lambda$ .h)**  $M(\pi^+, \pi^-) - m_{K^0} > 0.034 \text{ GeV}/c^2$       *OR*       $m_{K^0} - M(\pi^+, \pi^-) > 0.026 \text{ GeV}/c^2$
- $\Lambda$ .i)**  $|\phi_{V^0}| > 0.157 \text{ rad}$
- $\Lambda$ .j)**  $|M(p, \pi) - m_\Lambda| < 0.010 \text{ GeV}/c^2$

### Criteri di selezione preliminari per i $K_s^0$ in Pb-Pb a 160 A GeV/c (1998)

$K_s^0$ .a) tutte le tracce del decadimento attraversano la parte compatta del telescopio (primo e nono piano).

$K_s^0$ .b) decadimento della  $V^0$  di tipo *cowboy*

$K_s^0$ .c)  $-42. \text{ cm} < x_{V^0} < -0.5 \text{ cm}$

$K_s^0$ .d)  $close_{V^0} < 0.035 \text{ cm}$

$K_s^0$ .e)  $0.040 \text{ GeV}/c < q_{TV^0} < 0.40 \text{ GeV}/c$

$K_s^0$ .f)  $\left[ \frac{b_{yV^0}}{2.5 \cdot \sigma_y} \right]^2 + \left[ \frac{b_{zV^0}}{2.5 \cdot \sigma_z} \right]^2 < 1$

$K_s^0$ .g)  $|\cos \theta_{K_s^0}^*| < 0.7$

$K_s^0$ .h)  $|\phi_{V^0}| > 0.157 \text{ rad}$

$K_s^0$ .i)  $b_{y\pi^+} * \text{Segno}(B) < -0.2$

$K_s^0$ .j)  $b_{y\pi^-} * \text{Segno}(B) > 0.2$

$K_s^0$ .k)  $M(\pi^+, \pi^-) - m_{K^0} < 0.0166 \text{ GeV}/c^2 \quad \text{AND} \quad m_{K^0} - M(\pi^+, \pi^-) < 0.0134 \text{ GeV}/c^2$

### 3.3.3 Spettri di massa finali

In fig. 3.16 sono mostrati gli spettri di massa invariante per  $K_s^0$ ,  $\Lambda$  e  $\bar{\Lambda}$  che si ottengono a partire da un campione di candidate  $V^0$ , pari a circa 1/200 dell'intera statistica raccolta nella presa dati del 1998, applicando i criteri di selezione discussi nel paragrafo precedente per le diverse specie di particelle.

Per meglio valutare la qualità dei segnali selezionati si è eseguito un “*best fit*” degli spettri di massa invariante in fig. 3.16, utilizzando una gaussiana per descrivere il segnale ed un polinomio di terzo grado per descrivere il fondo. Le distribuzioni di massa invariante non corrispondono a semplici gaussiane e ciò è riflesso dai valori del  $\chi^2$  dei “*best fit*”, che non è ottimale; tuttavia l'approssimazione è sufficiente per gli scopi qui prefissi. I risultati del fit per i parametri della gaussiana (valor medio  $\mu$  e larghezza  $\sigma$ ) sono riportati in tab. 3.1 insieme ai valori del  $\chi^2$  e della larghezza a metà altezza delle distribuzioni (*FWHM*).

I valori medii delle distribuzioni sono compatibili entro  $1 \div 2 \text{ MeV}/c^2$  coi valori nominali delle rispettive particelle, mentre la larghezza della gaussiana e la *FWHM* forniscono una stima della risoluzione in massa degli spettri, dell'ordine dei  $5 \div 10 \text{ MeV}/c^2$ .

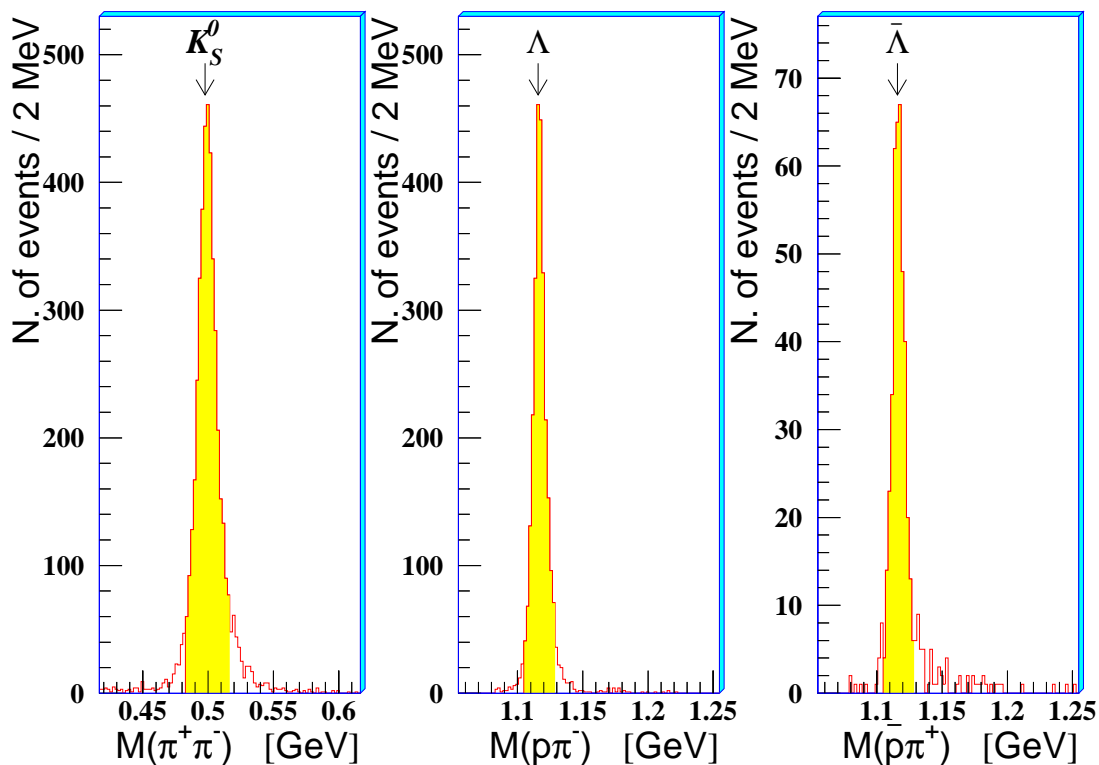


Figura 3.16: Spettri finali di massa invariante  $M(\pi^+, \pi^-)$  (a sinistra),  $M(p, \pi^-)$  (al centro) e  $M(\bar{p}, \pi^+)$  (a destra) per un campione di  $V^0$ , corrispondente a circa lo 0.5% dell'intera statistica raccolta nella presa dati del 1998. Le frecce indicano il valore nominale di massa delle diverse specie selezionate.

La procedura di fit permette, inoltre, di ottimizzare la scelta degli intervalli di massa da considerare per isolare le  $V^0$  che vengono infine selezionate per l'analisi fisica che seguirà (spettri di massa trasversa, tasso di produzione delle diverse specie, etc.). Sono stati così selezionati un intervallo di ampiezza  $20 \text{ MeV}/c^2$  centrato attorno al valore nominale di massa per le  $\Lambda$  e le  $\bar{\Lambda}$ , e l'intervallo  $[m_{K_S^0} - 26 \text{ MeV}/c^2, m_{K_S^0} + 34 \text{ MeV}/c^2]$  per i  $K_S^0$ . Gli intervalli così selezionati sono evidenziati in giallo negli spettri di massa della fig. 3.16.

	$\mu$ (MeV/c <sup>2</sup> )	$\sigma$ (MeV/c <sup>2</sup> )	$FWHM$ (MeV/c <sup>2</sup> )	$\chi^2/ndf$
$K_S^0$	$499.3 \pm 0.1$	$7.3 \pm 0.2$	15	2.15
$\Lambda$	$1116.1 \pm 0.1$	$4.6 \pm 0.1$	8	3.46
$\bar{\Lambda}$	$1116.7 \pm 0.1$	$4.8 \pm 0.1$	9	1.17

Tabella 3.1: Parametri del fit e larghezza del picco a metà altezza ( $FWHM$ ) degli spettri di massa invariante dei  $K_S^0$ ,  $\Lambda$  e  $\bar{\Lambda}$  nell'interazione Pb-Pb a 160 A GeV/c;  $\mu$  è il valore centrale e  $\sigma$  la larghezza della gaussiana.

### 3.4 Ricostruzione e selezione di $\Xi$ ed $\Omega$

La ricostruzione delle “cascate”, cioè dei decadimenti di  $\Xi$  ed  $\Omega$  in una  $\Lambda$  ed un mesone ( $\pi$  o  $K$ , rispettivamente per  $\Xi$  o  $\Omega$ ) con successivo decadimento della  $\Lambda$  in  $p$  e  $\pi^-$  (od in  $\bar{p}$  e  $\pi^+$  nel caso degli anti-iperoni), avviene a partire dall'abbinamento di tutte le candidate  $V^0$  trovate in un evento con tutte le tracce di particelle cariche ricostruite nello stesso evento, ad esclusione di quelle relative alla  $V^0$  considerata.

Come nel caso delle candidate  $V^0$ , si considerano inizialmente le “candidate cascate”, ottenute nel modo appena descritto, richiedendo tuttavia alcuni tagli preliminari, meno selettivi di quelli infine usati, che tuttavia riducono notevolmente il numero di candidate iniziali. A tal fine, le  $V^0$  delle “candidate cascate” devono soddisfare gli stessi criteri preliminari introdotti per definire le candidate  $V^0$  prodotte nell'interazione primaria. Ulteriormente, sia per quanto riguarda la  $V^0$  che per i parametri della cascata stessa, si richiede che:

1. la minima distanza spaziale tra la traccia del mesone carico e la traiettoria della  $V^0$  sia minore di 0.1 cm;
2. la coordinata  $x$  del vertice di decadimento della cascata, valutato come il punto medio del segmento congiungente i punti di minima distanza tra la traccia del mesone e la traiettoria della  $V^0$ , sia compresa nell'intervallo  $[-45, 3]$  cm;
3. la massa invariante  $M(p, \pi)$ , calcolata a partire dalle particelle componenti la  $V^0$ , sia compresa entro  $\pm 25$  MeV/c<sup>2</sup> rispetto al valore nominale della massa della  $\Lambda$ ,
4. la cascata punti verso il vertice primario dell'interazione, in modo tale che il suo parametro d'impatto sia compreso entro  $\pm 6 \sigma_{run}$ , sia nella componente  $y$  che in quella  $z$ , dove  $\sigma_{run}$  è la precisione sulla determinazione del vertice primario *run per run*, come già definito discutendo i criteri di selezione per le  $V^0$ .

A partire da questi criteri preliminari si ottengono le candidate cascate sulle quali bisogna operare dei tagli geometrici e cinematici per isolare il segnale fisico dei decadimenti delle  $\Xi^-$ , delle  $\Omega^-$  e delle anti-particelle relative. Riferendosi all'intero campione dei dati raccolti nell'anno 2000, la correlazione per le candidate cascate tra la massa invariante  $M(\Lambda, \pi)$  e quella  $M(\Lambda, K)$  è mostrata in fig. 3.17. È già possibile riconoscere il segnale delle  $\Xi$ , in corrispondenza della massa invariante  $M(\Lambda, \pi)$  intorno al valore nominale  $M_{\Xi} = 1.321 \text{ GeV}/c^2$ , che si distingue dalle regioni di accumulazione di punti poste ai bordi delle regioni permesse dello spazio delle fasi; invece, il segnale della particella  $\Omega$ , molto più rara, è ancora completamente sommerso dal fondo di cascate geometriche e quindi non è visibile in corrispondenza della massa  $M(\Lambda, K)$  intorno al valore nominale  $M_{\Omega} = 1.672 \text{ GeV}/c^2$  nel diagramma bidimensionale.

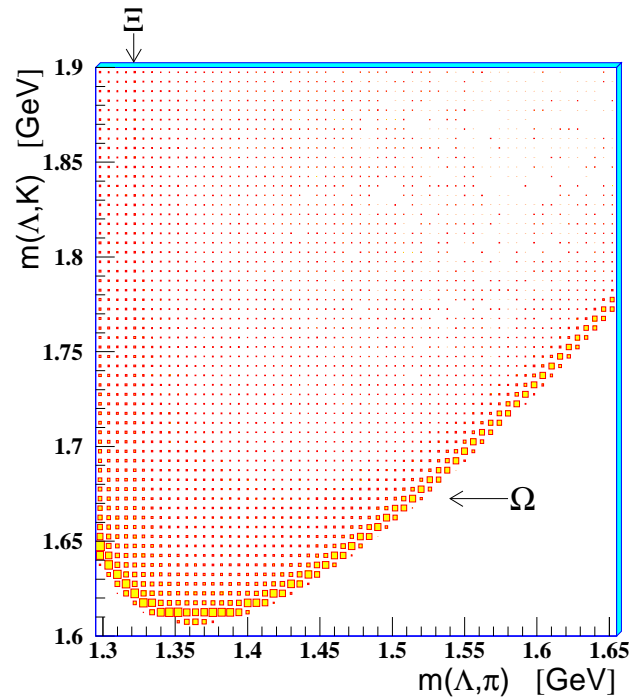


Figura 3.17: Correlazione tra lo spettro di massa invariante  $M(\Lambda, K)$  e quello  $M(\Lambda, \pi)$  per le candidate cascate ricostruite in interazioni Pb-Pb a 160 A GeV/c.

Poiché la selezione delle  $\Omega^-$  e delle  $\bar{\Omega}^+$  risulta molto più delicata di quella per le  $\Xi^-$  e le  $\bar{\Xi}^+$ , a causa del minor rapporto iniziale segnale su fondo, si esporranno qui nei dettagli i criteri di selezione adottati per le prime, mentre ci si limiterà ad elencare i valori finali usati

per le  $\Xi^-$  e le  $\bar{\Xi}^+$ , soffermandosi invece solo su quei criteri di selezione studiati *ad hoc* per queste ultime particelle.

Poiché la disposizione dei piani del telescopio è differente per la presa dati dell'anno 1998 e per quella del 2000, la selezione delle diverse specie di cascate è stata affinata separatamente per i due diversi campioni di dati. Nell'analizzare i dati dell'anno 2000, si è data la precedenza alle  $\Omega^-$  ed alle  $\bar{\Omega}^+$ , volendo ridurre in maniera più efficace gli errori statistici associati al solo campione di dati dell'anno 1998, precedentemente analizzato.

Dal momento che l'analisi dei due campioni presenta, in prima approssimazione, stesse problematiche e stessi modi d'approccio al problema, ci si riferirà, in questa discussione, ad uno solo dei due campioni di dati disponibili, quello raccolto nell'anno 2000. Per una discussione dettagliata sulla scelta finale dei valori dei tagli utilizzati per i dati del 1998, che comunque sono qui riportati, ci si può riferire a [126] nel caso delle  $\Omega$ , ed a [127] nel caso delle  $\Xi$ .

Si discuteranno dunque i criteri di selezione adottati per isolare il segnale delle  $\Omega^-$  ed  $\bar{\Omega}^+$  dal campione di dati raccolto nell'anno 2000; come nel caso della selezione delle  $V^0$  si applicheranno dei criteri puramente geometrici, che saranno preceduti nella loro discussione dal simbolo  $\bullet$ , ed altri di tipo cinematico, che agiscono dunque direttamente nello spazio delle fasi, e che verranno preceduti dal simbolo  $\blacktriangle$ . Come nella discussione dei criteri di selezione delle  $V^0$ , si mostreranno solo le distribuzioni finali, ottenute applicando i restanti criteri di selezione ad eccezione di quello in studio e la selezione finale dell'intervallo di massa invariante  $M(\Lambda, K)$  per la definizione del campione di  $\Omega$ .

- **Minima distanza tra le tracce di decadimento della cascata:**  $close_{cas}$

- Volume fiduciale per il decadimento della cascata:**  $x_{cas}$

In modo analogo a quanto visto per il decadimento delle  $V^0$ , si considerano i parametri geometrici  $close_{cas}$  — pari alla minima distanza di approccio tra la linea di volo della  $V^0$  e la traiettoria del mesone carico, inseguito all'indietro nel campo magnetico — ed  $x_{cas}$  — pari alla coordinata  $x$  del punto di decadimento della candidata cascata, definito come il punto medio del segmento congiungente le traiettorie della  $V^0$  e del mesone carico quando sono al loro minimo approccio. In fig. 3.18 sono mostrate le distribuzioni di queste due variabili e la correlazione con la massa invariante  $M(\Lambda, K)$ , riportata in ordinata. I criteri di selezione adottati (freccie blu nella fig. 3.18) escludono le candidate cascate che presentino un  $close_{cas} > 0.030$  cm ed una  $x_{cas}$  esterna all'intervallo  $[-40, 0]$  cm. In tal modo si elimina parte di quel fondo geometrico costituito da false cascate formate prendendo una o più, delle tre tracce cariche che formano la cascata, proveniente dal vertice primario, anzichè da un decadimento fisico.

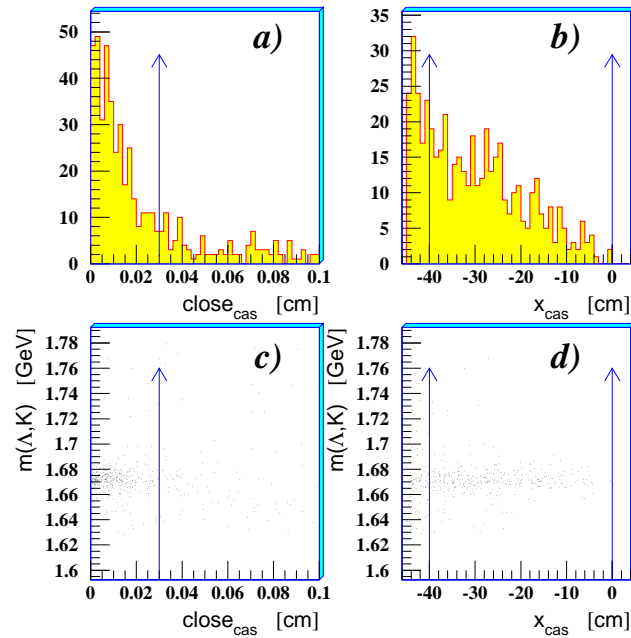


Figura 3.18: **a)** Distribuzione della variabile  $close_{cas}$  per le candidate cascate, selezionate per isolare il segnale delle  $\Omega$ . **b)** Distribuzione della coordinata  $x_{cas}$  del punto di decadimento delle candidate cascate. **c)** e **d)** Correlazioni con la massa invariante  $M(\Lambda, K)$  (in ordinata) delle variabili delle distribuzioni soprastanti (in ascissa).

- **Minima distanza tra le tracce di decadimento della  $\Lambda$ :**  $close_{V^0}$

**Volume fiduciale per il decadimento della  $\Lambda$ :**  $x_{V^0}$

Anche per il decadimento della  $V^0$  associata alla cascata è possibile agire sulle variabili  $close_{V^0}$  ed  $x_{V^0}$ , già definite nella discussione sulla selezione delle  $V^0$  primarie, per eliminare parte della contaminazione geometrica imputabile ad una  $V^0$  geometrica associata ad una traccia carica dell'evento. In fig. 3.19 sono mostrate le distribuzioni di queste variabili e la loro correlazione con la massa invariante  $M(\Lambda, K)$ , che viene sempre riportata in ordinata. Il tagli imposti su queste variabili richiedono che il  $close_{V^0}$  sia inferiore a 0.025 cm, ed il "volume" fiduciale per il decadimento della  $V^0$  corrisponda all'intervallo  $[-27, 0]$  cm.

- **Differenza tra le coordinate  $x$  dei due vertici di decadimento:**  $x_{V^0} - x_{cas}$

Nel decadimento a cascata di una  $\Xi$  o di una  $\Omega$ , il decadimento della  $\Lambda$  (cioè della

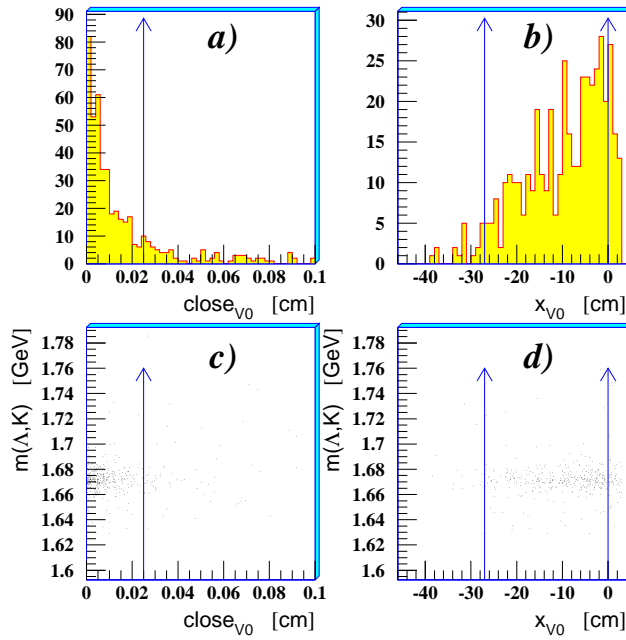


Figura 3.19: **a)** Distribuzione della variabile  $close_{V^0}$  per le  $V^0$  delle candidate cascate, selezionate per isolare il segnale delle  $\Omega$ . **b)** Distribuzione della coordinata  $x_{V^0}$  del punto di decadimento delle  $V^0$  associate alle candidate cascate. **c)** e **d)** Correlazioni con la massa invariante  $M(\Lambda, K)$  (in ordinata) delle variabili delle distribuzioni soprastanti (in ascissa).

$V^0$ ) deve seguire, più avanti nello spazio, il precedente decadimento della  $\Xi$  o della  $\Omega$ . La distribuzione della differenza  $x_{V^0} - x_{cas}$  delle candidate cascate è mostrata in fig. 3.20, in cui è anche mostrata la correlazione con la massa invariante  $M(\Lambda, K)$ . Il taglio imposto, leggermente più selettivo della semplice consequenzialità dei due decadimenti, richiede che  $x_{V^0} - x_{cas} > 0.5$  cm, per tener conto della possibilità di errori di estrapolazione.

- **Parametro d'impatto della cascata:**  $b_{y_{cas}}, b_{z_{cas}}$

Il parametro d'impatto della candidata cascata si definisce in modo analogo al parametro d'impatto delle candidate  $V^0$ . A partire dall'impulso della cascata nella posizione di decadimento — impulso valutato come la somma vettoriale degli impulsi della  $V^0$  e del mesone carico nei punti di minima distanza delle loro traiettorie — si estrapola all'indietro, inseguendo nel campo magnetico, sino al piano  $\Sigma$  parallelo al

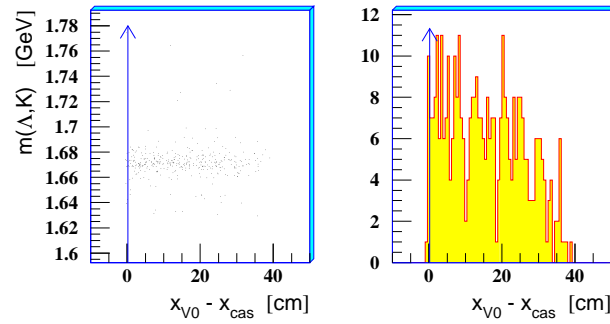


Figura 3.20: Distribuzione della differenza tra le coordinate  $x$  del vertice di decadimento della  $V^0$  e quella della cascata. La condizione imposta richiede che la  $V^0$  decada almeno 0.5 cm dopo la cascata.

piano  $yz$  e contenente il bersaglio. Il parametro d’impatto viene valutato in tale piano  $\Sigma$ , rispetto alla posizione *run per run* del vertice primario, come nel caso dello studio delle  $V^0$ . In fig. 3.21 sono mostrate le distribuzioni delle coordinate  $y$  (fig. 3.21.a) e  $z$  (fig. 3.21.b) del parametro d’impatto delle candidate cascate, normalizzate alla rispettiva  $\sigma_{run}$ . Nelle figg. 3.21.c, 3.21.d sono mostrate le correlazioni della massa invariante  $M(\Lambda, K)$  con le due proiezioni. Per selezionare le cascate fisiche bisogna richiedere che esse puntino al vertice primario dell’interazione; come nel caso delle  $V^0$  primarie, si è adottato un taglio combinato sulle due proiezioni, richiedendo che il parametro d’impatto normalizzato,  $\vec{b}_{cas}/\sigma_{run} = (b_{y\,cas}/\sigma_y, b_{z\,cas}/\sigma_z)$ , sia compreso entro una circonferenza di raggio 3. Le candidate cascate selezionate da questo taglio sono dunque quelle comprese entro la circonferenza della fig. 3.21.e. Nell’impostare tale criterio di selezione si è tenuto conto delle successive fasi di analisi: in particolare nella procedura del calcolo delle correzioni per efficienza ed accettazione, la variabile parametro d’impatto viene generata nelle simulazioni e deve essere parametrizzata. Valgono dunque le stesse considerazioni espresse discutendo i tagli sul parametro d’impatto delle  $V^0$  primarie: anche in tal caso si preferisce adottare un taglio non eccessivamente selettivo (a tre sigma, in tal caso) in modo tale che eventuali discrepanze tra le distribuzioni reali e quelle delle simulazioni influiscano in modo trascurabile sulle correzioni che si vogliono calcolare.

- **Piani del telescopio attraverso cui devono passare le tracce di decadimento**  
Nella disposizione sperimentale della presa dati del 1998 (*cfr. paragrafo 2.4.3*), i piani

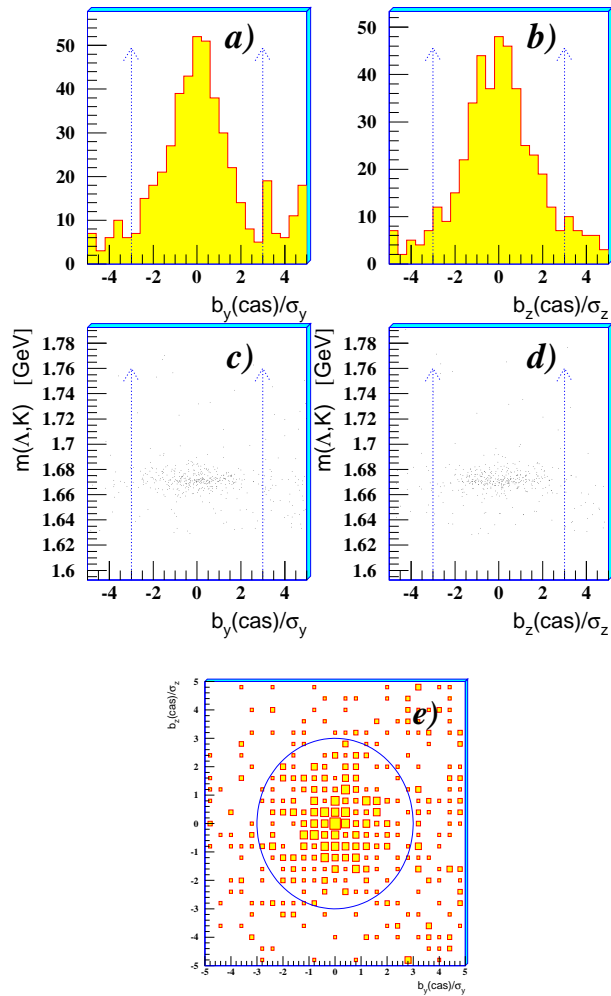


Figura 3.21: Distribuzione dei parametri d’impatto delle candidate cascate, selezionate per isolare il segnale delle  $\Omega$ , normalizzate alla relativa  $\sigma_{run}$ . In **a)** è mostrata la componente  $y$ , in **b)** quella  $z$ .

**c)** e **d)** Correlazione della massa invariante  $M(\Lambda, K)$  con le due proiezioni del parametro d’impatto delle cascate.

**e)** Correlazione delle due componenti  $z$  e  $y$  del parametro d’impatto delle cascate, normalizzate rispettivamente a  $\sigma_z$  e  $\sigma_y$ .

di pixel del telescopio erano distribuiti in una “*parte compatta*”, costituita da nove piani entro 30 cm, e nel “*lever arm*” (“braccio di leva”), in cui erano posti quattro piani entro dieci centimetri, a 30 cm dall’ultimo piano della parte compatta. Come condizione sulla qualità delle tracce, si richiede che tutte le tracce attraversino la parte compatta del telescopio. Più precisamente, la traiettoria di ogni traccia deve passare entro il profilo rettangolare, che racchiude la parte sensibile per la rivelazione, del primo e dell’ultimo piano di pixel della parte compatta del telescopio.

Nella disposizione dell’anno 2000, la funzione di “*lever arm*” viene invece completamente assolta dai rivelatori a  $\mu$ strip doppia faccia, mentre undici piani di pixel sono distribuiti, con buona uniformità, nel telescopio. Con tale disposizione, diventa importante studiare in maniera sistematica il criterio sulla qualità delle tracce, in termini dei piani entro cui le traiettorie delle tracce vanno vincolate. In vista di ciò, le candidate cascate sono state inizialmente selezionate richiedendo come condizione, poco selettiva, l’attraversamento del primo e dell’ottavo piano. La condizione geometrica che più si avvicina a quella adoperata nel 1998, impone che la traiettoria delle tracce passi per il primo ed il decimo piano di pixel, ed è stata adottata come condizione di riferimento. Senza dilungarsi nei dettagli di questa analisi, si dirà unicamente che, tanto per le  $\Xi$  quanto per le  $\Omega$ , la condizione più vantaggiosa per isolare il segnale delle cascate — condizione determinata rilasciando ad uno ad uno il vincolo sull’ultimo piano per le tre tracce costituenti una cascata — richiede che le traiettorie delle tre tracce della cascate attraversino tutte il primo ed il nono piano del telescopio. In fig. 3.22 è mostrato il segnale delle  $\Omega^-$  e delle  $\bar{\Omega}^+$  selezionate con la condizione di riferimento (primo e decimo piano, fig. 3.22.a), e quelle guadagnate rilasciando il vincolo dal decimo piano al nono piano (fig. 3.22.b). Il guadagno sul segnale, calcolato entro l’intervallo di  $\pm 17 \text{ MeV}/c^2$  attorno a  $M_\Omega = 1.672 \text{ GeV}/c^2$ , è del 30%, con un rapporto segnale su fondo paragonabile a quello di riferimento. Rilasciando ulteriormente la condizione sull’ultimo piano, portandolo all’ottavo, si ottiene un ulteriore guadagno dell’8%, ma con un sensibile deterioramento del rapporto segnale su fondo.

La situazione è molto simile nel caso delle  $\Xi$ : il guadagno passando dal decimo al nono piano è del 32% con stessa qualità del segnale, quello passando dal nono all’ottavo del 7%, ma con un deterioramento.

#### ▲ **Massa invariante $M(p, \pi)$**

In fig. 3.23 è mostrato lo spettro di massa invariante  $M(p, \pi)$  per le  $V^0$  associate al decadimento delle candidate cascate, selezionate coi criteri finalizzati ad isolare

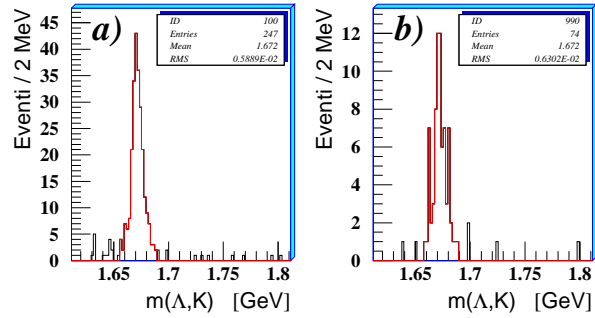


Figura 3.22: **a)** Spettro di massa invariante  $M(\Lambda, K)$  per le  $\Omega^-$  e le  $\bar{\Omega}^+$  selezionate richiedendo che tutte le tracce di decadimento passino attraverso primo e decimo piano del telescopio. **b)** Segnale guadagnato rilasciando la condizione del decimo piano e portandola al nono.

il segnale delle  $\Omega^-$  ed  $\bar{\Omega}^+$ . Nel realizzare tale spettro, è stato applicato anche il taglio finale sulla massa invariante  $M(\Lambda, K)$ , corrispondente alle linee tratteggiate nella correlazione tra le masse invarianti  $M(\Lambda, K)$  e  $M(p, \pi)$  che è altresì riportata nella fig. 3.23. Tale spettro, perfettamente centrato sul valore nominale  $m_\Lambda = 1.1157 \text{ MeV}/c^2$ , risulta più stretto di quello ottenuto studiando il segnale delle  $\Lambda$  primarie, probabilmente in quanto adesso esse decadono mediamente più in prossimità del telescopio e quindi vengono ricostruite con maggiore precisione, a riprova del fatto che la precisione sulla misura della massa invariante dipende dalla cinematica di decadimento della particella. Eseguendo il “*best fit*” con una gaussiana, si ottiene una sigma di soli  $3.7 \text{ MeV}/c^2$ . Il criterio di selezione sulla massa invariante  $M(p, \pi)$  è stato scelto in modo da accettare le candidate cascate se tale variabile cade nell’intervallo  $[m_\Lambda - 8, m_\Lambda + 8] \text{ MeV}/c^2$ , corrispondente dunque a circa due sigma della gaussiana di “*best fit*”.

▲ **Angoli interni di decadimento azimuthali:**  $\phi_{cas}, \phi_{V^0}$

Riferendosi alle definizioni già date discutendo la selezione delle  $V^0$  primarie, si considera in fig. 3.24 la correlazione tra l’angolo interno  $\phi_{V^0}$  nel decadimento della  $V^0$  e quello  $\phi_{cas}$  nel decadimento della cascata. L’angolo riportato si riferisce al mesone carico nel caso del decadimento della cascata, o alla particella di carica negativa nel caso del decadimento della  $V^0$ . Anche nel caso del decadimento della

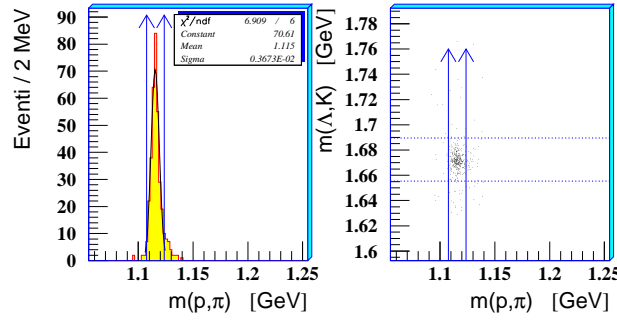


Figura 3.23: *A sinistra:* spettro di massa invariante  $M(p, \pi)$  relativo alle  $V^0$  provenienti dal decadimento delle cascate selezionate per isolare il segnale delle  $\Omega^-$  ed  $\bar{\Omega}^+$ . Nell'inserto è riportato il risultato del “best fit” con una gaussiana. *A destra:* correlazione tra le masse invarianti  $M(\Lambda, K)$  e  $M(p, \pi)$ .

cascata si accettano unicamente le topologie di tipo *cowboy*<sup>6</sup>: pertanto, a seconda dell'orientazione del campo magnetico, e nel caso di  $\phi_{cas}$  anche a seconda che si tratti di cascata o di anti-cascata, gli angoli  $\phi_{cas}$  e  $\phi_{V^0}$  variano o entro l'intervallo  $[-\pi, +\pi]$  oppure entro  $[-2\pi, -\pi] \cup [\pi, 2\pi]$ , come nel caso delle  $V^0$  primarie. Nella fig. 3.24, gli angoli al di fuori dell'intervallo  $[-\pi, +\pi]$  sono stati ribaltati, sommando o sottraendo  $2\pi$ , riportandoli entro tale intervallo.

Il miglior taglio, determinato studiando la variazione del rapporto segnale su fondo, è quello combinato sulle due variabili. Le candidate cascate vengono rigettata se, simultaneamente, risulta:  $|\phi_{cas}| < 0.15$  rad e  $|\phi_{V^0}| < 0.15$  rad. Tale condizione esclude i punti compresi entro il quadrato in blu della fig. 3.24.a. Se si considera la distribuzione della variabile  $\phi_{cas}$  (fig. 3.24.b) e la sua correlazione con la massa invariante  $M(\Lambda, \pi)$  (fig. 3.24.d), per le candidate per le quali l'altra variabile  $\phi_{V^0}$  è confinata entro una piccola banda  $[-0.30, +0.30]$  rad, è evidente come in tal modo si riduca gran parte del fondo geometrico, completamente scorrelato dalla variabile  $M(\Lambda, \pi)$ . Analoghe conclusioni si traggono considerando la distribuzione (fig. 3.24.d) e correlazione (fig. 3.24.e) per l'angolo  $\phi_{V^0}$ , limitando l'altra variabile all'intervallo  $|\phi_{cas}| < 0.30$  rad. La scelta del criterio di selezione combinato è dunque pienamente giustificata.

<sup>6</sup>Nel decadimento della cascata solo la traiettoria del mesone ( $\pi$  o  $K$ , a seconda che si abbia una  $\Xi$  od un  $\Omega$ ) è incurvata dall'azione del campo magnetico. La definizione di topologia *cowboy* o *sailor* è però identica a quella data nel caso della  $V^0$ .

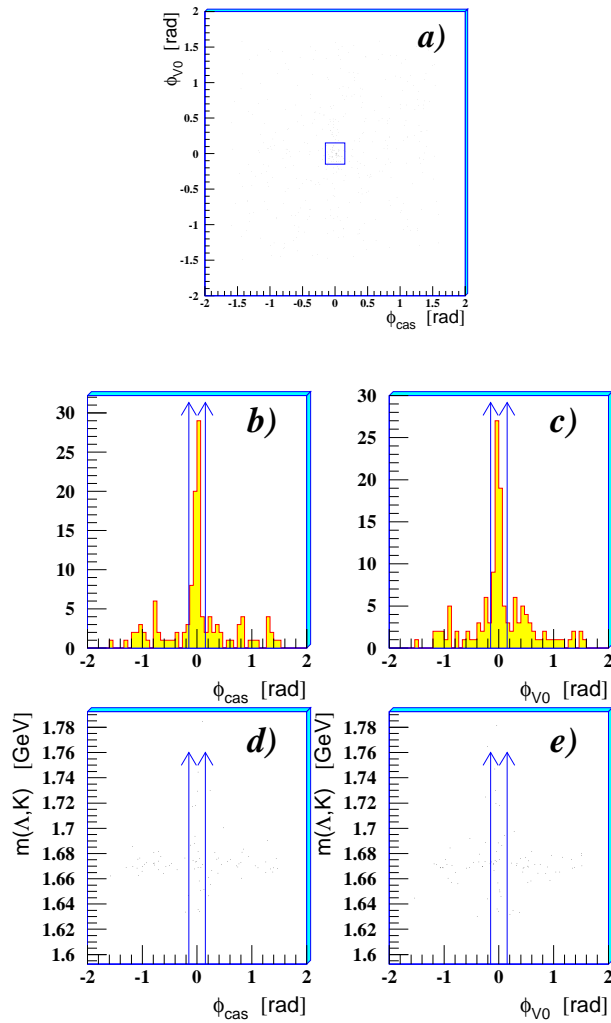


Figura 3.24: **a)** Correlazione tra l'angolo  $\phi_{V^0}$  della  $V^0$  e l'angolo  $\phi_{cas}$  della cascata (o dell'anti-cascata). **b)** Distribuzione dei valori di  $\phi_{cas}$ , per le candidate con  $|\phi_{V^0}| < 0.30$  rad. **c)** Distribuzione dei valori di  $\phi_{V^0}$ , per le candidate con  $|\phi_{cas}| < 0.30$  rad. **d)** **e)** Correlazione della massa invariante  $M(\Lambda, K)$  con la variabile  $\phi_{cas}$  ( $\phi_{V^0}$ ) per gli eventi in **b)** (**c)**.

▲ **Angolo interno di decadimento longitudinale:  $\theta^*_\Omega$**

Si consideri nel sistema di riferimento  $x'y'z'$  — dove l'asse  $x'$  è preso parallelo all'impulso della cascata nel punto in cui essa decade, l'asse  $y'$  giace nel piano  $xy$  del riferimento del laboratorio, l'asse  $z'$  è normale agli altri due — in cui la cascata, cui viene assegnata la massa di una  $\Omega$ , è a riposo. Come definito per le  $V^0$  primarie, si considera ora l'angolo longitudinale  $\theta^*_\Omega$  formato dall'impulso della particella di decadimento neutra (la  $V^0$ ) e la direzione  $x'$ . In fig. 3.25 è mostrata la distribuzione del  $\cos(\theta^*_\Omega)$  e la sua correlazione con la massa invariante  $M(\Lambda, K)$ . Nel misurare queste distribuzioni, si è rilasciato il taglio su  $q_{T_{cas}}$  il quale, altrimenti, altererebbe parte dello spazio delle fasi del decadimento. Da tali grafici si deduce

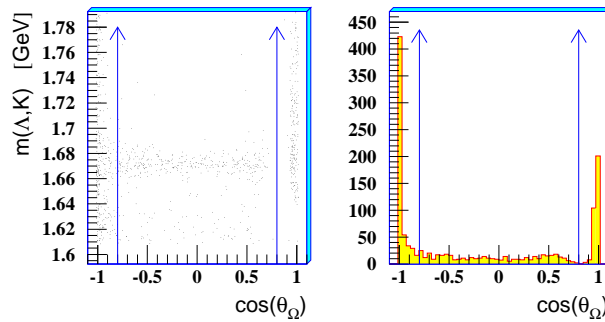


Figura 3.25: *A sinistra:* correlazione tra la massa invariante  $M(\Lambda, K)$  ed il coseno dell'angolo di decadimento  $\theta^*_\Omega$ , valutato nel sistema a riposo della  $\Omega$ . Si riconosce l'azione dell'antiselezione delle  $\Xi$ , che rimuove le cascate per le quali  $\cos(\theta^*_\Omega) \approx 0.8$ . *A destra:* distribuzione di  $\cos(\theta^*_\Omega)$ .

che la maggior parte del fondo geometrico delle cascate è concentrata nella regione  $\cos(\theta^*_\Omega) \approx \pm 1$ . Il taglio impostato, indicato dalle frecce blu nella fig. 3.25, elimina le candidate cascate per le quali  $|\cos(\theta^*_\Omega)| > 0.8$ . L'effetto di questo taglio può essere dedotto confrontando il grafico bidimensionale delle masse invarianti  $M(\Lambda, \pi)$ – $M(\Lambda, K)$  in fig. 3.26.a, ottenuto senza l'applicazione di questo criterio, con quello in fig. 3.26.c, dove il criterio è stato applicato.

▲ **Antiselezione delle  $\Xi$ :  $M(\Lambda, \pi)$**

In fig. 3.26.a è mostrata la correlazione tra la massa invariante  $M(\Lambda, K)$  e quella  $M(\Lambda, \pi)$  per le candidate cascate cui sono applicati tutti i criteri di selezione per isolare il segnale delle  $\Omega$ , ad esclusione di quello sulle variabili  $\cos(\theta^*_\Omega)$ ,  $q_{T_{cas}}$  e

$M(\Lambda, \pi)$  che si vuole studiare. La distribuzione della massa invariante  $M(\Lambda, \pi)$  è mostrata in fig. 3.26.b: il segnale delle  $\Xi$  domina completamente rispetto al debole segnale delle  $\Omega$ , distribuito su tutto lo spettro di  $M(\Lambda, \pi)$ . L'effetto dell'applicazione del taglio sulla variabile  $\cos(\theta^*_\Omega)$ , già discussa, è visibile nelle fig. 3.26.c, 3.26.d in cui tale taglio è adesso applicato: esso rimuove dunque le candidate vicine ai bordi dello spazio delle fasi  $[M(\Lambda, \pi), M(\Lambda, K)]$ . In particolare rimuove gran parte delle  $\Xi$ , che bisogna comunque anti-selezionare per isolare il segnale delle  $\Omega$ , e rimuove soprattutto l'accumulo di fondo geometrico presente, per un dato valore di  $M(\Lambda, K)$ , in corrispondenza del massimo valore di  $M(\Lambda, \pi)$  ammesso cinematicamente. Per

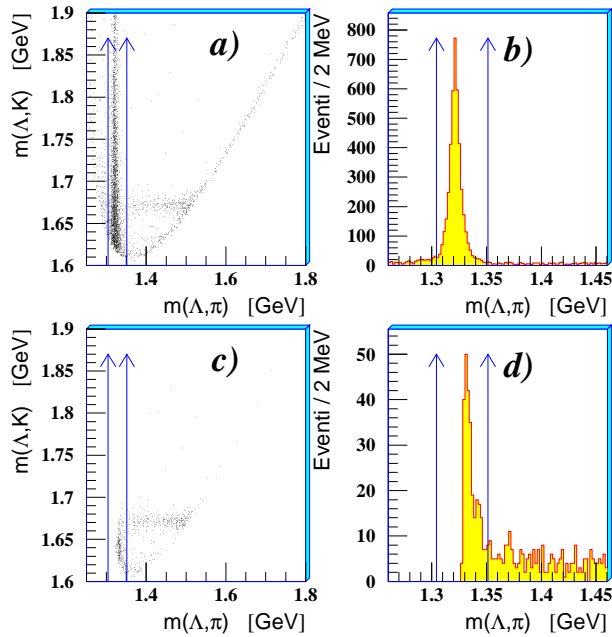


Figura 3.26: Correlazione tra le masse invarianti  $M(\Lambda, K)$  e  $M(\Lambda, \pi)$  (a) e distribuzione di  $M(\Lambda, \pi)$  (b) per un campione di candidate cascate cui sono applicati i tagli geometrici per la selezione delle  $\Omega$ . In basso (c e d), si mostra l'effetto che l'applicazione del criterio di selezione  $|\cos(\theta^*_\Omega)| < 0.8$  ha sulle distribuzioni in a) ed in b).

anti-selezionare le  $\Xi$  residue, già ridotte dall'applicazione del taglio sulla variabile  $\cos(\theta^*_\Omega)$ , si è imposto che la massa invariante  $M(\Lambda, \pi)$  cada al di fuori dell'intervallo  $[m_\Xi - 20, m_\Xi + 30]$  MeV/ $c^2$  ( $m_\Xi = 1321.3$  MeV/ $c^2$  è la massa nominale della  $\Xi$ ). Il limite inferiore di quest'ultimo criterio è ineffettivo in quanto ridondante con il criterio

di selezione imposto su  $\cos(\theta^*_\Omega)$ . Le frecce blu nella fig. 3.26 sono, al solito, poste in corrispondenza dei valori limite ammessi dal criterio di selezione.

- ▲ **Impulso trasverso minimo delle tracce di decadimento della cascata:**  $q_{T_{cas}}$
- Anche per il decadimento a due corpi di una  $\Omega$  (o di una  $\Xi$ ) è possibile definire le variabili di Armenteros,  $\alpha_{cas}$  e  $q_{T_{cas}}$ , come fatto nel caso delle  $V^0$ . Il grafico di Armenteros per le candidate cascate selezionate applicando i tagli ottimizzati per le  $\Omega^-$  e  $\bar{\Omega}^+$  è mostrato in fig. 3.27.a. Si riconoscono i due archi di ellisse corrispondenti alle  $\Omega^-$  (per valori positivi di  $\alpha_{cas}$ ) ed alle  $\bar{\Omega}^+$  (per valori negativi), mentre le  $\Xi^-$  e le  $\Xi^+$  sono già state anti-selezionate. Gran parte del fondo residuo è

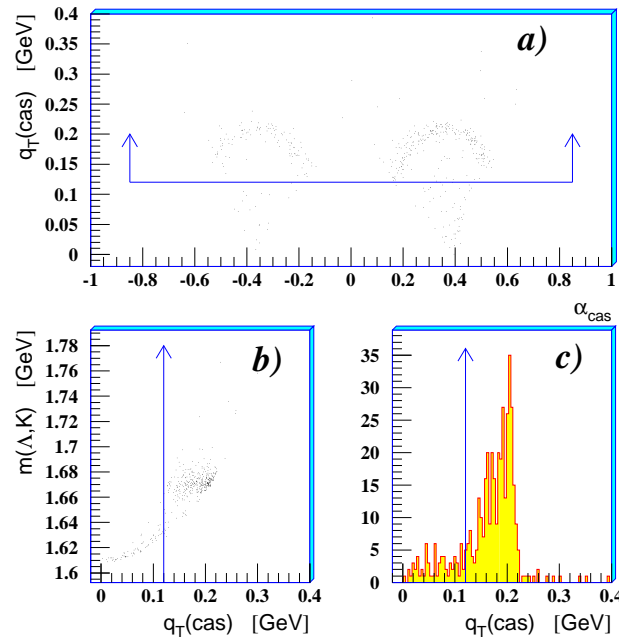


Figura 3.27: **a)** Grafico di Armenteros per il decadimento delle candidate cascate, selezionate per isolare il segnale delle  $\Omega^-$  ( $\alpha_{cas} \approx 0.15 \div 0.55$ ) e delle  $\bar{\Omega}^+$  ( $\alpha_{cas} \approx -0.55 \div -0.15$ ). **b)** Correlazione tra la massa invariante  $M(\Lambda, K)$  e l'impulso trasverso dei prodotti di decadimento della cascata, rispetto alla sua direzione ( $q_{T_{cas}}$ ). **c)** Distribuzione della variabile  $q_{T_{cas}}$ .

accumulato in corrispondenza di piccoli valori della variabile  $q_{T_{cas}}$ , la cui correlazione con la massa invariante  $M(\Lambda, K)$  è mostrata in fig. 3.27.b, e la cui distribuzione

è riportata in fig. 3.27.c. Si è applicato un taglio sulla variabile  $q_{T_{cas}}$ , accettando le candidate cascate per le quali questa variabile risulti superiore a 120 MeV/c. Nel momento in cui si applica il taglio sulla massa invariante  $M(\Lambda, K)$ , che sarà di seguito discusso, l'applicazione della condizione  $q_{T_{cas}} > 120$  MeV/c diventa praticamente ineffettiva, perché corrisponde ad eliminare candidate cascate con bassa massa invariante  $M(\Lambda, K)$ , al di sotto del limite inferiore infine utilizzato per isolare il segnale delle  $\Omega$ . Tale taglio ha dunque ragion d'essere unicamente perché ha permesso di meglio definire i limiti degli altri criteri di selezione, rimuovendo gran parte del fondo che si trova al di fuori dell'intervallo di massa invariante  $M(\Lambda, K)$ , il quale, se altrimenti non rimosso, avrebbe artificialmente alterato il rapporto segnale su fondo, che è il vero parametro di qualità nella definizione dei criteri di selezione geometrici.

Di seguito sono riassunti i criteri di selezione per le  $\Omega^-$  e le  $\bar{\Omega}^+$  del campione di dati raccolto nell'anno 2000, appena discussi, per quelle del campione di dati del 1998, e per le  $\Xi^-$  e  $\bar{\Xi}^+$  estratte dal campione di dati del 1998.

#### Criteri di selezione per le $\Omega^-$ e $\bar{\Omega}^+$ in Pb-Pb a 160 A GeV/c (2000)

- $\Omega$ .a) tutte le tracce del decadimento attraversano il primo, l'ottavo ed il nono piano di pixel.
- $\Omega$ .b) decadimento della cascata di tipo *cowboy*
- $\Omega$ .c)  $-40. \text{ cm} < x_{cas} < 0. \text{ cm}$
- $\Omega$ .d)  $close_{cas} < 0.030 \text{ cm}$
- $\Omega$ .e)  $q_{T_{cas}} > 0.120 \text{ GeV}/c$
- $\Omega$ .f)  $\left[ \frac{b_{y_{cas}}}{3 \cdot \sigma_y} \right]^2 + \left[ \frac{b_{z_{cas}}}{3 \cdot \sigma_z} \right]^2 < 1$
- $\Omega$ .g)  $|\cos \theta_{\Omega}^*| < 0.8$
- $\Omega$ .h)  $M(\Lambda, \pi) - m_{\Xi} > 0.030 \text{ GeV}/c^2 \quad OR \quad m_{\Xi} - M(\Lambda, \pi) > 0.020 \text{ GeV}/c^2$
- $\Omega$ .i) decadimento della  $V^0$  di tipo *cowboy*
- $\Omega$ .j)  $-27. \text{ cm} < x_{V^0} < 0. \text{ cm}$
- $\Omega$ .k)  $close_{V^0} < 0.025 \text{ cm}$
- $\Omega$ .l)  $0.030 \text{ GeV}/c < q_{TV^0} < 0.40 \text{ GeV}/c$

$$\Omega.\mathbf{m}) \quad x_{V^0} - x_{cas} > 0.2 \text{ cm}$$

$$\Omega.\mathbf{n}) \quad \alpha > 0.45 (\Omega^-) \quad OR \quad \alpha < -0.45 (\bar{\Omega}^+)$$

$$\Omega.\mathbf{o}) \quad |M(p, \pi) - m_\Lambda| < 0.008 \text{ GeV}/c^2$$

$$\Omega.\mathbf{p}) \quad |\phi_{V^0}| > 0.15 \text{ rad} \quad OR \quad |\phi_{cas}| > 0.15 \text{ rad}$$

$$\Omega.\mathbf{q}) \quad |M(\Lambda, K) - m_\Omega| < 0.017 \text{ GeV}/c^2$$

**Criteria di selezione per le  $\Omega^-$  e  $\bar{\Omega}^+$  in Pb-Pb a 160 A GeV/c (1998)**

$\Omega.\mathbf{a}'$ ) tutte le tracce del decadimento attraversano la parte compatta del telescopio (primo e nono piano).

$\Omega.\mathbf{b}'$ ) decadimento della cascata di tipo *cowboy*

$$\Omega.\mathbf{c}'$$
 -40. cm  $< x_{cas} < 0.$  cm

$$\Omega.\mathbf{d}'$$
  $close_{cas} < 0.038$  cm

$$\Omega.\mathbf{e}'$$
  $q_{T_{cas}} > 0.120$  GeV/c

$$\Omega.\mathbf{f}'$$
  $-2.0 < \frac{b_{y_{cas}} * \text{Segno}(B)}{\sigma_y} < 2.5 (\Omega^-) \quad OR \quad -2.5 < \frac{b_{y_{cas}} * \text{Segno}(B)}{\sigma_y} < 2.0 (\bar{\Omega}^+)$

$$\Omega.\mathbf{g}'$$
  $|b_{z_{cas}}| < 2.5\sigma_z$

$$\Omega.\mathbf{h}'$$
  $|\cos \theta_\Omega^*| < 0.75$

$$\Omega.\mathbf{i}'$$
  $M(\Lambda, \pi) - m_\Xi > 0.030 \text{ GeV}/c^2 \quad OR \quad m_\Xi - M(\Lambda, \pi) > 0.020 \text{ GeV}/c^2$

$\Omega.\mathbf{j}'$ ) decadimento della  $V^0$  di tipo *cowboy*

$$\Omega.\mathbf{k}'$$
 -27. cm  $< x_{V^0} < 0.$  cm

$$\Omega.\mathbf{l}'$$
  $close_{V^0} < 0.025$  cm

$$\Omega.\mathbf{m}'$$
  $0.030 \text{ GeV}/c < q_{TV^0} < 0.40 \text{ GeV}/c$

$$\Omega.\mathbf{n}'$$
  $x_{V^0} - x_{cas} > 0$

$$\Omega.\mathbf{o}'$$
  $\alpha > 0.45 (\Omega^-) \quad OR \quad \alpha < -0.45 (\bar{\Omega}^+)$

$$\Omega.\mathbf{p}'$$
  $M(p, \pi) - m_\Lambda < 0.010 \text{ GeV}/c^2 \quad AND \quad m_\Lambda - M(p, \pi) < 0.0072 \text{ GeV}/c^2$

$$\Omega.\mathbf{q}'$$
  $|\phi_{V^0}| > 0.15 \text{ rad} \quad OR \quad |\phi_{cas}| > 0.15 \text{ rad}$

$$\Omega.\mathbf{r}') |M(\Lambda, K) - m_{\Omega}| < 0.017 \text{ GeV}/c^2$$

**Criteria di selezione per le  $\Xi^-$  e  $\bar{\Xi}^+$  in Pb-Pb a 160 A GeV/c (1998)**

$\Xi.\mathbf{a)}$  tutte le tracce del decadimento attraversano la parte compatta del telescopio (primo e nono piano).

$\Xi.\mathbf{b)}$  decadimento della cascata di tipo *cowboy*

$$\Xi.\mathbf{c)}$$
  $-40. \text{ cm} < x_{cas} < -3. \text{ cm}$

$$\Xi.\mathbf{d)}$$
  $close_{cas} < 0.050 \text{ cm}$

$$\Xi.\mathbf{e)}$$
  $\left[ \frac{b_{ycas}}{3 \cdot \sigma_y} \right]^2 + \left[ \frac{b_{zcas}}{3 \cdot \sigma_z} \right]^2 < 1$

$$\Xi.\mathbf{f)}$$
  $\cos \theta_{\Xi}^* > -0.9$

$\Xi.\mathbf{g)}$  decadimento della  $V^0$  di tipo *cowboy*

$$\Xi.\mathbf{h)}$$
  $-30. \text{ cm} < x_{V^0} < 0. \text{ cm}$

$$\Xi.\mathbf{i)}$$
  $close_{V^0} < 0.035 \text{ cm}$

$$\Xi.\mathbf{j)}$$
  $0.020 \text{ GeV}/c < q_{TV^0} < 0.40 \text{ GeV}/c$

$$\Xi.\mathbf{k)}$$
  $x_{V^0} - x_{cas} > 0$

$$\Xi.\mathbf{l)}$$
  $\alpha > 0.45 (\Xi^-) \quad OR \quad \alpha < -0.45 (\bar{\Xi}^+)$

$$\Xi.\mathbf{m)}$$
  $M(p, \pi) - m_{\Lambda} < 0.015 \text{ GeV}/c^2 \quad AND \quad m_{\Lambda} - M(p, \pi) < 0.012 \text{ GeV}/c^2$

$$\Xi.\mathbf{n)}$$
  $|\phi_{V^0}| > 0.20 \text{ rad} \quad OR \quad |\phi_{cas}| > 0.20 \text{ rad}$

$$\Xi.\mathbf{o)}$$
  $(b_{yV^0} - b_{ycas}) * Segno(B) < -0.200 \text{ cm} (\Xi^-) \quad OR \quad (b_{yV^0} - b_{ycas}) * Segno(B) > 0.200 \text{ cm} (\bar{\Xi}^+)$

$$\Xi.\mathbf{p)}$$
  $(b_{yt} - b_{ycas}) * Segno(B) > 0 (\Xi^-) \quad OR \quad (b_{yt} - b_{ycas}) * Segno(B) < 0 (\bar{\Xi}^+)$

$$\Xi.\mathbf{q)}$$
  $M(\Lambda, \pi) - m_{\Xi} < 0.020 \text{ GeV}/c^2 \quad AND \quad m_{\Xi} - M(\Lambda, \pi) < 0.015 \text{ GeV}/c^2$

### 3.4.1 Spettri di massa invariante di $\Omega^-$ , $\bar{\Omega}^+$ , $\Xi^-$ ed $\bar{\Xi}^+$

In fig. 3.28 sono mostrati gli spettri finali di massa invariante  $M(\Lambda, K^-)$ ,  $M(\bar{\Lambda}, K^+)$ ,  $M(\Lambda, \pi^-)$  e  $M(\bar{\Lambda}, \pi^+)$  per i campioni di, rispettivamente,  $\Omega^-$ ,  $\bar{\Omega}^+$ ,  $\Xi^-$  ed  $\bar{\Xi}^+$  selezionati con le tecniche discusse nel paragrafo precedente. Il segnale delle  $\Omega^-$  ed  $\bar{\Omega}^+$  è stato ottenuto considerando tutta la statistica disponibile, unendo quindi i dati raccolti nell'anno 1998 e nell'anno 2000; il segnale delle  $\Xi^-$  ed  $\bar{\Xi}^+$ , prodotte più cospicuamente, proviene invece dal solo campione del 1998. Sebbene la ricostruzione e selezione delle  $\Xi$  dell'anno 2000 sia ormai ultimata, il calcolo delle correzioni per accettazione ed efficienza è ancora agli inizi e pertanto nel seguito si considererà il solo campione di  $\Xi$  del 1998.

Gli spettri sono centrati sul valore nominale di massa delle rispettive particelle, presentano un fondo residuo inferiore al 5% per tutte le specie, ed hanno una larghezza a metà altezza di  $9 \div 12 \text{ MeV}/c^2$ . In tab. 3.2 sono riassunti i parametri degli spettri delle cascate di fig. 3.28

	Particelle	$\mu$ (MeV/ $c^2$ )	$\sigma$ (MeV/ $c^2$ )	$FWHM$ (MeV/ $c^2$ )
$\Omega^-$	432	1672.3	5.7	12
$\bar{\Omega}^+$	193	1672.7	5.4	12
$\Xi^-$	1744	1322.7	4.7	9
$\bar{\Xi}^+$	484	1322.6	4.8	9

Tabella 3.2: Numero di particelle selezionate, valor medio e sigma del “*best fit*” con una gaussiana sul picco, e  $FWHM$  degli spettri di massa invariante di fig. 3.28.

## 3.5 Selezione delle particelle strane in interazioni Pb-Pb a 40 A GeV/ $c$

Non si intende affrontare anche la discussione sulla selezione delle cascate e delle  $V^0$  nelle collisioni a 40 A GeV/ $c$ , ma ci si limiterà ad evidenziare le analogie e le differenze con le tecniche di selezione utilizzate a più alta energia e si riporterà sullo stato dell'analisi.

Come esposto nel *paragrafo 2.7*, nel corso dell'anno 1999 l'esperimento NA57 ha raccolto dati all'energia di 40 GeV/ $c^2$  per nucleone sia nell'interazione Pb-Pb sia in quella di riferimento p-Be. La presa dati col fascio di protoni, avvenuta in realtà solo per un breve arco temporale della presa dati del 1999, è stata completata da una seconda presa dati terminata nel dicembre 2001. Per le collisioni p-Be dunque, a parte qualche analisi molto preliminare condotta sulle  $V^0$  dell'anno 1999, si sta al momento ultimando la ricostruzione

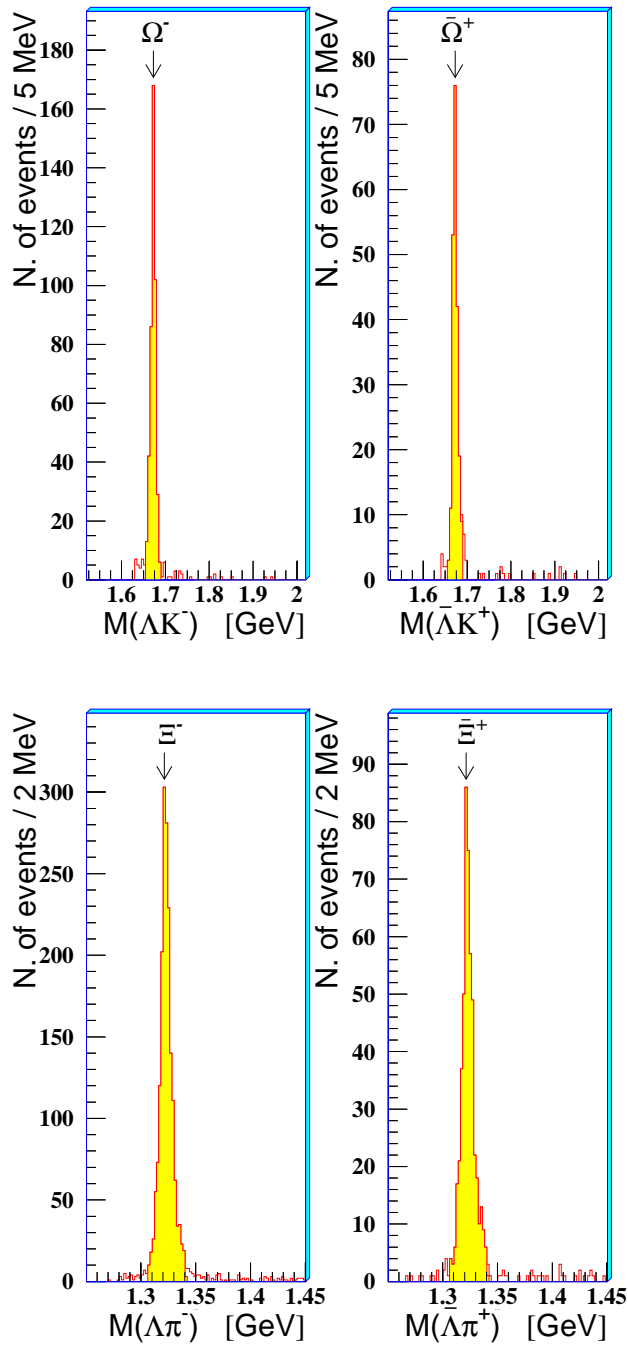


Figura 3.28: Spettri finali di massa invariante delle diverse specie di cascate nelle interazioni Pb-Pb a 160 A GeV/c. Per le  $\Xi^-$  e le  $\Xi^+$  si è considerato il campione di dati raccolto nell'anno 1998, per le  $\Omega^-$  ed  $\Omega^+$  entrambi i campioni del 1998 e del 2000. La parte in giallo degli spettri rappresenta il segnale selezionato per l'analisi successiva, discussa nei prossimi capitoli.

degli eventi del secondo campione di dati (2001) prima di passare all'analisi completa di queste interazioni. Non saranno quindi presentati risultati per le collisioni p-Be a 40 GeV/c. L'analisi delle collisioni Pb-Pb a 40 A GeV/c è invece in via di completamento. Per quanto riguarda le cascate ( $\Xi$  ed  $\Omega$ ), i primi risultati, già corretti per le perdite dovute all'accettanza ed all'efficienza dei rivelatori e dei programmi di ricostruzione, sono stati presentati recentemente [130]. Per le  $V^0$ , invece, l'analisi sin qui condotta dalla Collaborazione ha riguardato la sola selezione del segnale delle  $\Lambda$  e  $\bar{\Lambda}$ , mentre il calcolo delle correzioni deve essere ancora affrontato.

Per quanto riguarda la disposizione sperimentale dei rivelatori, le condizioni rispetto al caso del fascio di Pb a 160 GeV/c per nucleone cambiano in quanto si vuole mantenere l'accettanza delle particelle strane concentrata intorno a valori di rapidità prossimi alla rapidità del centro di massa ( $y_{cm} \simeq 2.22$  in Pb-Pb a 40 A GeV/c) e con impulsi trasversi medio-alti non troppo discosti da quelli misurati a 160 A GeV/c: il primo piano di pixel è quindi posto a circa 40 cm dal bersaglio, che è lo stesso utilizzato nelle collisioni a 160 GeV, ed il telescopio è inclinato di 72 mrad rispetto alla linea del fascio. Inoltre nel telescopio *dieci* piani di pixel sono distribuiti entro 30 cm e nel "lever arm" operano solo i rivelatori a  $\mu$ strip doppia faccia, con una logica simile a quella adottata poi anche nell'anno 2000.

Per quanto riguarda le tecniche di identificazione delle diverse specie, le stesse variabili introdotte e gli stessi strumenti di analisi sviluppati a 160 GeV sono ancora validi ed applicabili per queste collisioni; ovviamente cambiano i valori ottimali dei diversi tagli, come del resto si è anche trovato analizzando separatamente i campioni di dati a 160 GeV relativi alla presa dati del 1998 ed a quella del 2000.

Sei poi si entra nei dettagli, la prima osservazione è che le particelle prodotte sono mediamente più lente, rispetto al caso dei 160 GeV, e curvano quindi di più nel telescopio, sotto l'azione del campo magnetico; nonostante ciò, la risoluzione sperimentale sulla misura degli spettri di massa invariante delle diverse particelle strane è leggermente peggiore, forse in quanto le tracce più lente risentono maggiormente della diffusione multipla lungo la loro traiettoria. In compenso, la molteplicità di particelle cariche è più bassa, e quindi la ricostruzione delle particelle strane avviene, entro il telescopio, in un ambiente relativamente meno affollato e quindi più favorevole. Infine, la determinazione del vertice primario dell'interazione, calcolato ancora su base *run per run*, presenta una precisione confrontabile con quella trovata a 160 GeV, dato che, in entrambi i casi, un numero molto elevato di tracce viene utilizzato per la sua determinazione.

Alla fine di questo paragrafo sono elencati i criteri di selezione adottati per isolare i segnali delle  $\Lambda$ ,  $\Xi^-$ ,  $\Omega^-$  e delle relative anti-particelle; in fig. 3.29 è mostrata la correlazione tra la massa invariante  $M(\Lambda, K)$  e la massa invariante  $M(\Lambda, \pi)$  per le candidate cascate dopo

l'applicazione dei criteri di selezione di tipo geometrico <sup>7</sup>; in fig. 3.30, infine, sono mostrati gli spettri di massa invariante delle diverse specie di particelle strane selezionate nelle collisioni Pb-Pb a 40 A GeV/c. Gli spettri sono centrati ancora sui valori nominali delle masse delle

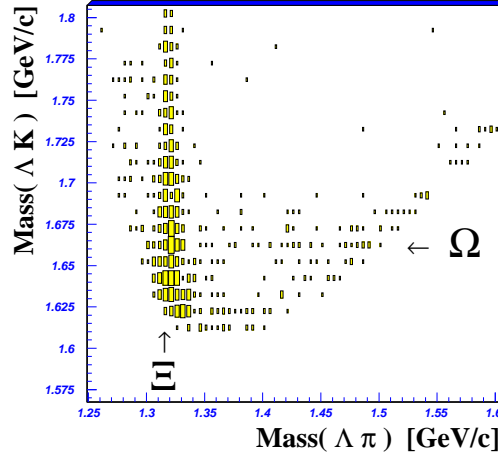


Figura 3.29: Correlazione tra le masse invarianti  $M(\Lambda, K)$  e  $M(\Lambda, \pi)$  per le candidate cascate prodotte nell'interazione Pb-Pb a 40 A GeV/c, cui sono stati applicati i criteri di selezione delle  $\Xi$ .

diverse particelle e presentano una percentuale di fondo residuo che, sebbene debba essere ancora stimata con la dovuta precisione, risulta di poco superiore a quella degli spettri a 160 GeV, specialmente per le cascate, probabilmente in quanto la resa di produzione di queste particelle è più bassa a minor energia.

#### Criteri di selezione preliminari per le $\Lambda$ e $\bar{\Lambda}$ in Pb-Pb a 40 A GeV/c (1999)

$\Lambda$ .a) tutte le tracce del decadimento attraversano il primo ed il nono piano di pixel.

$\Lambda$ .b) decadimento della  $V^0$  di tipo *cowboy*

$\Lambda$ .c)  $-30. \text{ cm} < x_{V^0} < -20. \text{ cm}$

$\Lambda$ .d)  $close_{V^0} < 0.020 \text{ cm}$

$\Lambda$ .e)  $0.040 \text{ GeV}/c < q_{TV^0} < 0.15 \text{ GeV}/c$

<sup>7</sup>Si mantengono anche qui le definizioni di *tagli geometrici* e *tagli cinematici*, come introdotto discutendo la selezione delle cascate nell'interazione Pb-Pb a 160 A GeV/c.

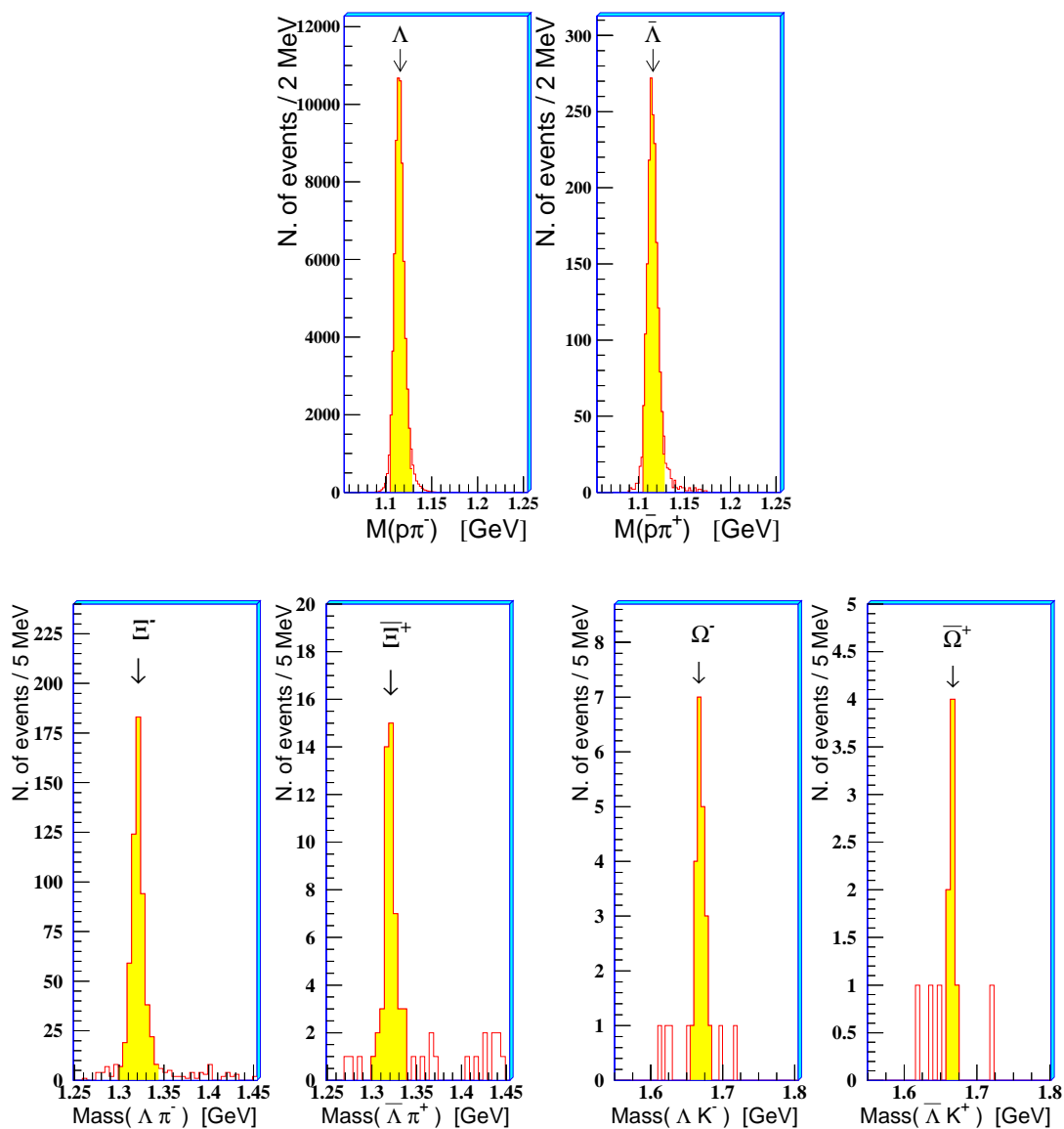


Figura 3.30: Spettri di massa invariante degli iperoni ricostruiti nell'interazione Pb-Pb a 40 A GeV/c. La parte in giallo degli spettri rappresenta il segnale selezionato per l'analisi successiva, discussa nei prossimi capitoli.

$$\Lambda.f) \left[ \frac{b_{yV^0}}{1.5 \cdot \sigma_y} \right]^2 + \left[ \frac{b_{zV^0}}{2 \cdot \sigma_z} \right]^2 < 1$$

$$\Lambda.g) 0.45 < \alpha < 0.70 (\Lambda) \quad OR \quad -0.70 < \alpha < -0.45 (\bar{\Lambda})$$

$$\Lambda.h) |M(\pi^+, \pi^-) - m_{K^0}| > 0.040 \text{ GeV}/c^2$$

$$\Lambda.i) |\phi_{V^0}| > 0.200 \text{ rad}$$

$$\Lambda.j) |M(p, \pi) - m_\Lambda| < 0.012 \text{ GeV}/c^2$$

**Criteri di selezione per le  $\Xi^-$  e  $\bar{\Xi}^+$  in Pb-Pb a 40 A GeV/c (1999)**

$\Xi.a)$  tutte le tracce del decadimento attraversano il primo ed il nono piano di pixel.

$\Xi.b)$  decadimento della cascata di tipo *cowboy*

$$\Xi.c) -50. \text{ cm} < x_{cas} < -20. \text{ cm}$$

$$\Xi.d) \text{close}_{cas} < 0.075 \text{ cm}$$

$$\Xi.e) \left[ \frac{b_{y_{cas}}}{3 \cdot \sigma_y} \right]^2 + \left[ \frac{b_{z_{cas}}}{2 \cdot \sigma_z} \right]^2 < 1$$

$\Xi.f)$  decadimento della  $V^0$  di tipo *cowboy*

$$\Xi.g) -30. \text{ cm} < x_{V^0} < -20. \text{ cm}$$

$$\Xi.h) \text{close}_{V^0} < 0.045 \text{ cm}$$

$$\Xi.i) 0.040 \text{ GeV}/c < q_{TV^0} < 0.120 \text{ GeV}/c$$

$$\Xi.j) x_{V^0} - x_{cas} > 1.25 \text{ cm}$$

$$\Xi.k) \alpha > 0.45 (\Xi^-) \quad OR \quad \alpha < -0.45 (\bar{\Xi}^+)$$

$$\Xi.l) |M(p, \pi) - m_\Lambda| < 0.016 \text{ GeV}/c^2$$

$$\Xi.m) b_{y_{V^0}} * \text{Segno}(B) < -0.15 \text{ cm} (\Xi^-) \quad OR \quad b_{y_{V^0}} * \text{Segno}(B) > 0.15 \text{ cm} (\bar{\Xi}^+)$$

$$\Xi.n) b_{y_t} * \text{Segno}(B) > 0.25 \text{ cm} (\Xi^-) \quad OR \quad b_{y_t} * \text{Segno}(B) < -0.25 \text{ cm} (\bar{\Xi}^+)$$

$$\Xi.o) |M(\Lambda, \pi) - m_\Xi| < 0.020 \text{ GeV}/c^2$$

**Criteri di selezione per le  $\Omega^-$  e  $\bar{\Omega}^+$  in Pb-Pb a 40 A GeV/c (1999)**

$\Omega.a)$  tutte le tracce del decadimento attraversano il primo ed il nono piano di pixel.

**$\Omega$ .b)** decadimento della cascata di tipo *cowboy*

**$\Omega$ .c)**  $-47.5 \text{ cm} < x_{cas} < -20. \text{ cm}$

**$\Omega$ .d)**  $close_{cas} < 0.075 \text{ cm}$

**$\Omega$ .e)**  $\left[\frac{b_{ycas}}{3 \cdot \sigma_y}\right]^2 + \left[\frac{b_{zcas}}{2 \cdot \sigma_z}\right]^2 < 1$

**$\Omega$ .f)**  $|\cos \theta_{\Omega}^*| < 0.75$

**$\Omega$ .g)**  $p_{t_{cas}} > 1 \text{ GeV}/c$

**$\Omega$ .h)**  $M(\Lambda, \pi) - m_{\Xi} > 0.029 \text{ GeV}/c^2$

**$\Omega$ .i)** decadimento della  $V^0$  di tipo *cowboy*

**$\Omega$ .j)**  $-30. \text{ cm} < x_{V^0} < -20. \text{ cm}$

**$\Omega$ .k)**  $close_{V^0} < 0.045 \text{ cm}$

**$\Omega$ .l)**  $0.040 \text{ GeV}/c < q_{TV^0} < 0.120 \text{ GeV}/c$

**$\Omega$ .m)**  $x_{V^0} - x_{cas} > 1.25 \text{ cm}$

**$\Omega$ .n)**  $\alpha > 0.45 (\Omega^-) \quad OR \quad \alpha < -0.45 (\bar{\Omega}^+)$

**$\Omega$ .o)**  $|M(p, \pi) - m_{\Lambda}| < 0.016 \text{ GeV}/c^2$

**$\Omega$ .p)**  $b_{y_{V^0}} * \text{Segno}(B) < -0.25 \text{ cm} (\Omega^-) \quad OR \quad b_{y_{V^0}} * \text{Segno}(B) > 0.25 \text{ cm} (\bar{\Omega}^+)$

**$\Omega$ .q)**  $b_{y_t} * \text{Segno}(B) > 0.25 \text{ cm} (\Omega^-) \quad OR \quad b_{y_t} * \text{Segno}(B) < -0.25 \text{ cm} (\bar{\Omega}^+)$

**$\Omega$ .r)**  $|b_{z_{V^0}}| > 0.1 \text{ cm}$

**$\Omega$ .s)**  $|M(\Lambda, K) - m_{\Omega}| < 0.015 \text{ GeV}/c^2$



# Capitolo 4

## Analisi dei dati

### 4.1 Introduzione

In questo capitolo si affronterà lo studio dei segnali fisici per le particelle strane ottenute applicando i criteri di selezione discussi nel capitolo precedente. Si discuterà inizialmente una tecnica sviluppata per misurare con precisione il fondo geometrico residuo sotto i segnali delle  $V^0$  ( $\Lambda$ ,  $\bar{\Lambda}$  e  $K_S^0$ ), studio motivato principalmente dalla necessità di controllare precisamente gli eventuali errori sistematici per queste particelle, per le quali gli errori statistici risultano molto piccoli.

Si discuterà la procedura di correzione per tenere conto delle perdite di particelle strane dovute all'accettanza geometrica dell'apparato sperimentale, all'efficienza dei rivelatori e dei programmi di ricostruzione, ed infine ai tagli introdotti nella procedura di identificazione dei diversi tipi di particelle.

Verranno discusse le regioni cinematiche scelte per lo studio dei differenti segnali. Particolare enfasi si darà alla determinazione della finestra di accettanza per le particelle con più bassa statistica, le  $\Omega$ , per le quali è stato compiuto uno studio Monte Carlo dedicato, ed alla stabilità delle quantità misurate (tasso di produzione e spettri di massa trasversa) per le altre specie.

All'interno delle finestre di accettanza determinate per le diverse specie, con una procedura di “*best fit*” si misureranno gli spettri di massa trasversa ed il tasso di produzione, applicando le correzioni precedentemente calcolate. I parametri del “*best fit*”<sup>1</sup> verranno quindi utilizzati per estrapolare il tasso di produzione delle diverse particelle ad una regione cinematica più facilmente confrontabile con quella degli altri esperimenti.

---

<sup>1</sup>In questo capitolo la pendenza inversa degli spettri di massa trasversa, ricavata dal “*best fit*”, verrà sempre indicata con  $T_a$  (“temperatura apparente”).

Le possibili sorgenti di errori sistematici introdotte nelle varie fasi di analisi del segnale saranno evidenziate di volta in volta e saranno discusse le procedure che hanno portato al calcolo dei relativi contributi.

## 4.2 Studio del fondo geometrico residuo nel segnale delle $V^0$

### 4.2.1 Introduzione

Nel paragrafo 3.3 sono state discusse le tecniche di selezione ed identificazione delle particelle  $\Lambda$ ,  $\bar{\Lambda}$  e  $K_S^0$ ; gli spettri di massa per un campione di queste particelle, selezionate con tali tecniche, sono state mostrate nella fig. 3.16; infine, nella tabella 3.1 sono state riassunte le caratteristiche degli spettri. Nel determinare i criteri di selezione per le tre specie di particelle considerate, si è cercato di mantenere il rapporto segnale su fondo residuo il più alto possibile, tenendo tuttavia in considerazione gli effetti che i diversi tagli introdotti comportano nelle successive fasi di analisi, che verranno descritte in questo capitolo.

Il fondo residuo può essere descritto con una funzione analitica, tipicamente un polinomio, ma questa descrizione è insoddisfacente poiché l'adattamento della funzione ai punti sperimentali (il “*best fit*”) viene eseguito sulle code delle distribuzioni di massa invariante, lì dove si giudica che il segnale fisico sia ormai diventato trascurabile. Vi è dunque un approccio di tipo soggettivo in questa descrizione: sebbene il segnale non richieda alcuna parametrizzazione<sup>2</sup>, si assume che esso vada a zero, oltre certi limiti anch'essi arbitrari, e che quindi gli estremi delle code degli spettri siano imputabili al solo fondo. Inoltre, il vero limite del metodo consiste nell'assumere che la stessa funzione (il polinomio) che ben descrive le code della distribuzione sia anche adatta a descrivere la parte di spettro in cui domina il segnale (la regione sotto il picco del segnale), che poi è la regione in cui si ha reale interesse a stimare il fondo stesso.

La principale motivazione per avere una stima precisa del rapporto segnale su fondo nella regione selezionata degli spettri di massa discende dall'intenzione di misurare il tasso assoluto di produzione (lo “*yield*”) delle diverse specie nelle collisioni Pb-Pb, misura che sarà oggetto di discussione di questo capitolo. In questo paragrafo si descriverà dunque la tecnica di mescolamento degli eventi sviluppata per riprodurre il fondo di  $V^0$  geometriche. Tale studio ha permesso al tempo stesso una migliore definizione dei criteri di selezione, come discusso ad esempio a riguardo dell'angolo interno di decadimento  $\phi_{V^0}$  (vedi fig. 3.11).

La conoscenza dettagliata delle diverse distribuzioni per i parametri geometrici e/o

---

<sup>2</sup>Volendo quantificare la contaminazione residua col rapporto  $\frac{B}{T-B}$ , il fondo  $B$  viene stimato come l'integrale della funzione che lo descrive nell'intervallo considerato, mentre  $T$  è pari al numero di eventi sperimentali trovati.

cinematici del solo fondo di  $V^0$  geometriche renderà anche possibile determinare con precisione l'entità di eventuali errori sistematici nella procedura di correzione per efficienza ed accettazione. Una discussione di questo metodo di analisi può esser trovata in [128].

Nel caso delle cascate, cioè delle particelle  $\Xi$  ed  $\Omega$ , lo studio dettagliato del fondo residuo non è indispensabile in quanto l'errore statistico sulle osservabili che si intende misurare (tasso di produzione, pendenza dello spettro di massa trasversa, etc.), risulta dominante rispetto a quello introdotto dalla presenza di eventi di fondo.

#### 4.2.2 La tecnica di mescolamento degli eventi

Come esposto nel capitolo precedente, le candidate  $V^0$  vengono selezionate, durante la fase di ricostruzione degli eventi, provando ad abbinare tutte le tracce di carica negativa con tutte quelle di carica positiva ricostruite nell'evento ed applicando dei criteri di selezione preliminari molto conservativi. Nelle interazioni Pb-Pb, per contenere la quantità di informazioni da riversare su dischi e nastri magnetici, vengono memorizzati, per le fasi successive di analisi, solamente quegli eventi che contengono una o più candidate  $V^0$ .

L'idea alla base del metodo sviluppato per la descrizione del fondo geometrico è quella di eliminare ogni segnale fisico proveniente dal decadimento a due corpi di una particella ( $\Lambda \rightarrow p\pi^-$ ,  $\bar{\Lambda} \rightarrow \bar{p}\pi^+$ ,  $K_S^0 \rightarrow \pi^+\pi^-$ , conversione di  $\gamma \rightarrow e^+e^-$ ) formando nuove candidate  $V^0$ , ottenute abbinando le tracce di carica negativa di un evento con quelle di carica positiva di un'altro evento.

Il codice sviluppato legge le informazioni sui parametri cinematici delle tracce ricostruite e cerca di formare le candidate  $V^0$  con la stessa procedura usata nel programma STRIPV0 per la ricostruzione delle  $V^0$  reali. Il programma è stato messo alla prova accertandosi che, quando applicato ad eventi reali non mescolati, fornisca le stesse candidate  $V^0$  di STRIPV0 e con gli stessi parametri cinematici.

Per porsi nelle stesse condizioni degli eventi reali, si è ripetuta la ricostruzione di un campione rappresentativo dell'intera statistica dei dati raccolti, ottenuto selezionando gli eventi uno ogni duecento, salvando adesso su nastro magnetico *tutti* gli eventi ricostruiti, anche quelli non contenenti candidate  $V^0$ .

Su questo campione di dati si è applicato il programma sviluppato per costruire il campione di  $V^0$  geometriche. Per mantenere le condizioni degli "eventi mescolati" il più vicino possibile a quelle degli eventi reali, due eventi sono stati combinati solo se:

1. provengono dallo stesso *run*
2. differiscono in molteplicità di "hit" per meno di venti "hit" (molteplicità misurata dalle MSD non estrapolata, cfr. paragrafo 4.5).

Con la prima condizione ci si assicura che i due eventi siano temporalmente vicini, in modo tale che le caratteristiche del fascio e dei rivelatori siano simili tra loro ed a quelle degli eventi reali; inoltre in tal modo si è certi di combinare eventi in cui l'orientazione del campo magnetico sia la stessa ed a cui si possa associare lo stesso vertice primario dell'interazione (il vertice *run per run*). Con la seconda condizione si vogliono riprodurre quanto più è possibile le condizioni cinematiche dell'evento reale. Inoltre, per ciascuna coppia di eventi  $A, B$  si sono abbinate le negative di  $A$  con le positive di  $B$ , e le positive di  $A$  con le negative di  $B$ . Per render trascurabile l'errore statistico associato alle distribuzioni delle  $V^0$  mescolate, ciascun evento è stato combinato parecchie volte con altri eventi (in media circa 17), prima di essere abbandonato. In tal modo l'incertezza (statistica) sulla misura del rapporto segnale su fondo residuo è determinata principalmente dalla consistenza statistica del campione di particelle reali identificate.

Nel confrontare le distribuzioni delle  $V^0$  reali e delle “ $V^0$  mescolate” si è applicato a queste ultime un unico fattore di normalizzazione  $\mathcal{N}$ , pari a:

$$\mathcal{N} = \frac{\sum_A N_A \cdot P_A}{\sum_{\substack{A, B \\ A \neq B}} (N_A \cdot P_B + N_B \cdot P_A)} \quad (4.1)$$

dove  $N_A$  ( $P_A$ ) è il numero di tracce negative (positive) contenute nell'evento  $A$ , e la somma si estende a tutti gli eventi reali nel numeratore ed a tutte le combinazioni  $A, B$  nel denominatore. Il fattore di normalizzazione, dunque, tiene unicamente conto del numero di tentativi fatti, negli eventi reali ed in quelli “mescolati”, di formare una  $V^0$ .

### 4.2.3 Confronto tra le distribuzioni reali ed il fondo

Le distribuzioni delle “ $V^0$  reali” e di quelle “mescolate” sono state confrontate in maniera sistematica sia a livello di candidate — ottenute applicando dei criteri di selezione preliminari poco selettivi, ma leggermente più severi di quelli di STRIPV0 (*cfr. paragrafo 3.2*), tanto agli eventi reali quanto a quelli mescolati — sia dopo l'applicazione dei criteri di selezione per isolare i segnali delle diverse specie. Un secondo confronto, anch'esso con esito positivo ma di cui si accennerà soltanto, è stato eseguito selezionando gli eventi nella regione centrale del grafico di Armenteros (fig. 3.13) in cui nessun segnale fisico è presente. Questi confronti hanno permesso di accertarsi che il campione di “ $V^0$  mescolate” ben descrive il fondo geometrico degli eventi reali, nelle regioni in cui non è atteso alcun segnale fisico. Inoltre hanno permesso di determinare in modo ottimale la definizione dei criteri di selezione, come già discusso. A conferma di quest'ultimo punto, nei grafici che verranno mostrati

(solo alcuni di quelli studiati) si riporterà l'intervallo fiduciale selezionato per la variabile in studio, delimitandolo al solito con delle frecce di colore blu.

Come primo esempio, in fig. 4.1 è mostrata la distribuzione della coordinata  $x$  del vertice di decadimento delle  $V^0$  reali (in chiaro) con sovrapposta la distribuzione delle  $V^0$  "mescolate" (in giallo), prima (a) e dopo (c) l'applicazione degli altri criteri di selezione. Sottraendo le

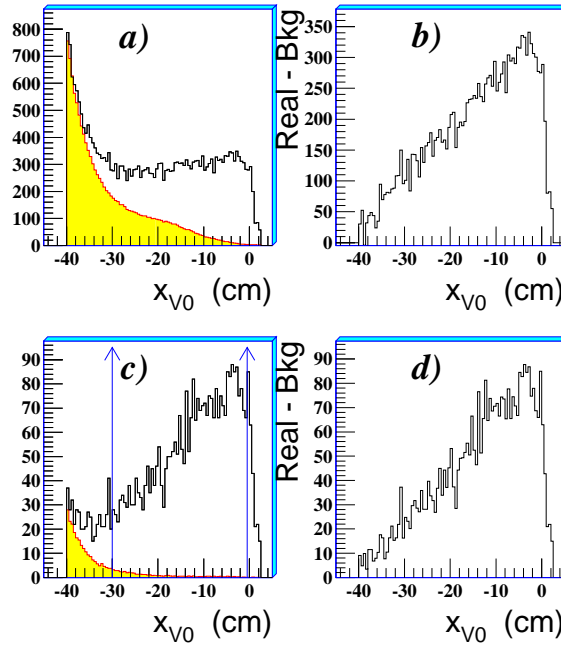


Figura 4.1: **a)** Distribuzione della variabile  $x_{V^0}$  per le candidate  $V^0$  reali (in chiaro) e per il fondo geometrico (in giallo). **b)** Distribuzione di  $x_{V^0}$  per il solo segnale fisico, ottenuto sottraendo dalla distribuzione delle  $V^0$  reali il fondo delle  $V^0$  geometriche. **c)** e **d)** Distribuzioni analoghe a quelle soprastanti, ma ottenute dopo l'applicazione dei criteri di selezione per isolare il segnale delle  $\Lambda$  e  $\bar{\Lambda}$ .

due distribuzioni, si ottiene la distribuzione del solo segnale fisico, mostrato nella fig. 4.1.b (candidate) e nella fig. 4.1.d (particelle selezionate).

Come secondo esempio, in fig. 4.2 si è considerata la distribuzione di  $close_{V^0}$ . L'intensità del fondo geometrico ha una piccola dipendenza da tale variabile, mentre il segnale fisico decresce molto rapidamente all'aumentare di  $close_{V^0}$  sino a scomparire del tutto.

Il fondo nella distribuzione delle variabile  $\phi_{V^0}$  è stato già discusso nel *paragrafo 3.3*. Come ultimo esempio si presentano in fig. 4.3 le distribuzioni delle proiezioni  $y$  e  $z$  del

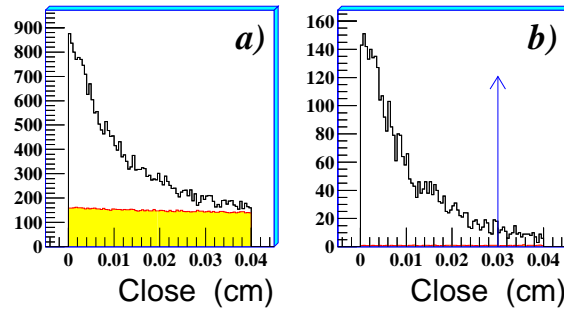


Figura 4.2: Distribuzione della variabile  $close_{V^0}$  per le candidate  $V^0$  (a) e per le  $V^0$  selezionate coi tagli delle  $\Lambda$  e  $\bar{\Lambda}$  (b). Le distribuzioni in chiaro si riferiscono agli eventi reali, quelle in giallo agli eventi mescolati.

parametro d’impatto delle  $V^0$ . Il fondo geometrico presenta in tal caso una struttura difficilmente prevedibile a priori; queste distribuzioni saranno usate più avanti per stimare l’entità di un errore sistematico introdotto dall’uso, nelle simulazioni Monte Carlo, di una parametrizzazione di tipo gaussiano per tali distribuzioni. Si noti ancora una volta come, sulle code delle distribuzioni, vi sia buon accordo tra eventi “mescolati” ed eventi “reali”, sia a livello di candidate che per le  $V^0$  selezionate<sup>3</sup>. Per completezza si osservi che il criterio di selezione su queste due variabili è di tipo correlato (ellittico, *cfr. paragrafo 3.3*) e le frecce, apposta tratteggiate, forniscono il limite massimo per una proiezione quando l’altra è nulla.

#### 4.2.4 Stima del fondo geometrico residuo per $K_S^0$ , $\Lambda$ e $\bar{\Lambda}$

In fig. 4.4 sono mostrati gli spettri di massa invariante  $M(p, \pi)$  e  $M(\pi^+, \pi^-)$  per il campione di candidate  $V^0$  reali (in chiaro) e “mescolate” (in giallo). Per entrambi gli spettri il fondo geometrico degli eventi reali è ben descritto dagli eventi mescolati a livello delle candidate. Nella stessa fig. 4.4 sono anche mostrate le  $V^0$  selezionate applicando, sia alle particelle reali sia a quelle “mescolate”, i criteri di selezione delle  $\bar{\Lambda}$  (in alto) e dei  $K_S^0$  (in basso)<sup>4</sup>. Nel caso delle  $\bar{\Lambda}$  il fondo geometrico residuo è concentrato sotto il picco del segnale fisico, principalmente nel suo versante sinistro. Una simile distribuzione conferma la fondatezza

<sup>3</sup>Si ricordi che la normalizzazione non è effettuata sulle singole variabili ma è “assoluta”, cioè calcolata a priori (eq. 4.1).

<sup>4</sup>Un’analoga distribuzione per le  $\Lambda$  può trovarsi in [129]; qui si è preferito soffermarsi sulle  $\bar{\Lambda}$  per le quali si attende una maggior contaminazione di fondo, in quanto il segnale delle  $\bar{\Lambda}$  è di un ordine di grandezza inferiore a quello delle  $\Lambda$ .

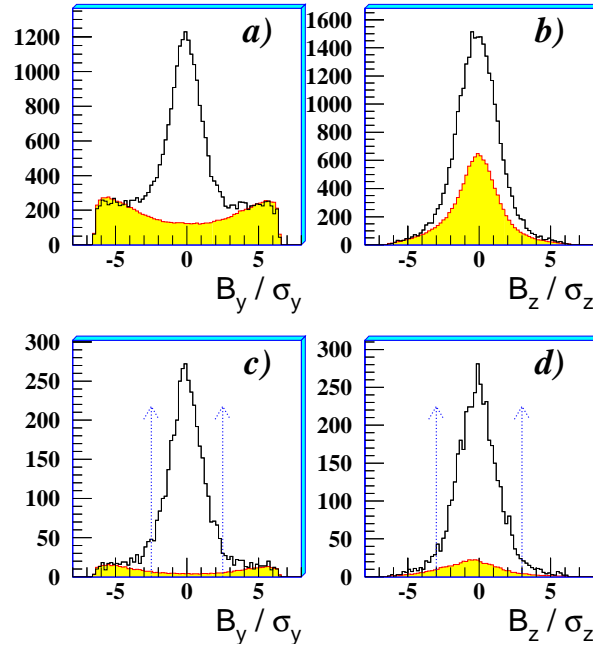


Figura 4.3: Distribuzioni delle proiezione  $y$  e  $z$  del parametro di impatto delle candidate  $V^0$  (**a** e **b**) e delle  $V^0$  selezionate coi tagli delle  $\Lambda$  e  $\bar{\Lambda}$  (**c** e **d**). Le distribuzioni in chiaro si riferiscono agli eventi reali, quelle in giallo agli eventi mescolati.

dei timori avanzati precedentemente, allorché si considerava la difficoltà di stimare il fondo utilizzando un polinomio adattato ai punti sperimentali sulle code dello spettro del segnale fisico. Simili considerazioni valgono anche nel caso dei  $K_S^0$  in cui il fondo geometrico aumenta monotonamente al diminuire della massa invariante  $M(\pi^+, \pi^-)$  ed al diminuire di  $q_{TV^0}$  (e delle  $\Lambda$ , il cui fondo è distribuito in modo molto simile a quello delle  $\bar{\Lambda}$ ).

Dopo l'applicazione dei criteri di selezione, è evidente dalla fig. 4.4 come il fondo geometrico non descriva completamente le code, specialmente ad alte masse invarianti, nello spettro delle  $\bar{\Lambda}$ . Questa discrepanza è stata oggetto di un ulteriore studio che ha condotto ad attribuire l'eccesso di eventi nella distribuzione reale a due fattori:

1. presenza dei  $K_S^0$  residui non completamente anti-selezionati dal criterio sulla massa invariante  $M(\pi^+, \pi^-)$ ;
2.  $V^0$  fisiche cui viene attribuita una massa invariante alterata a causa di errori nell'associazione degli "hit" alle tracce nel programma ORHION.

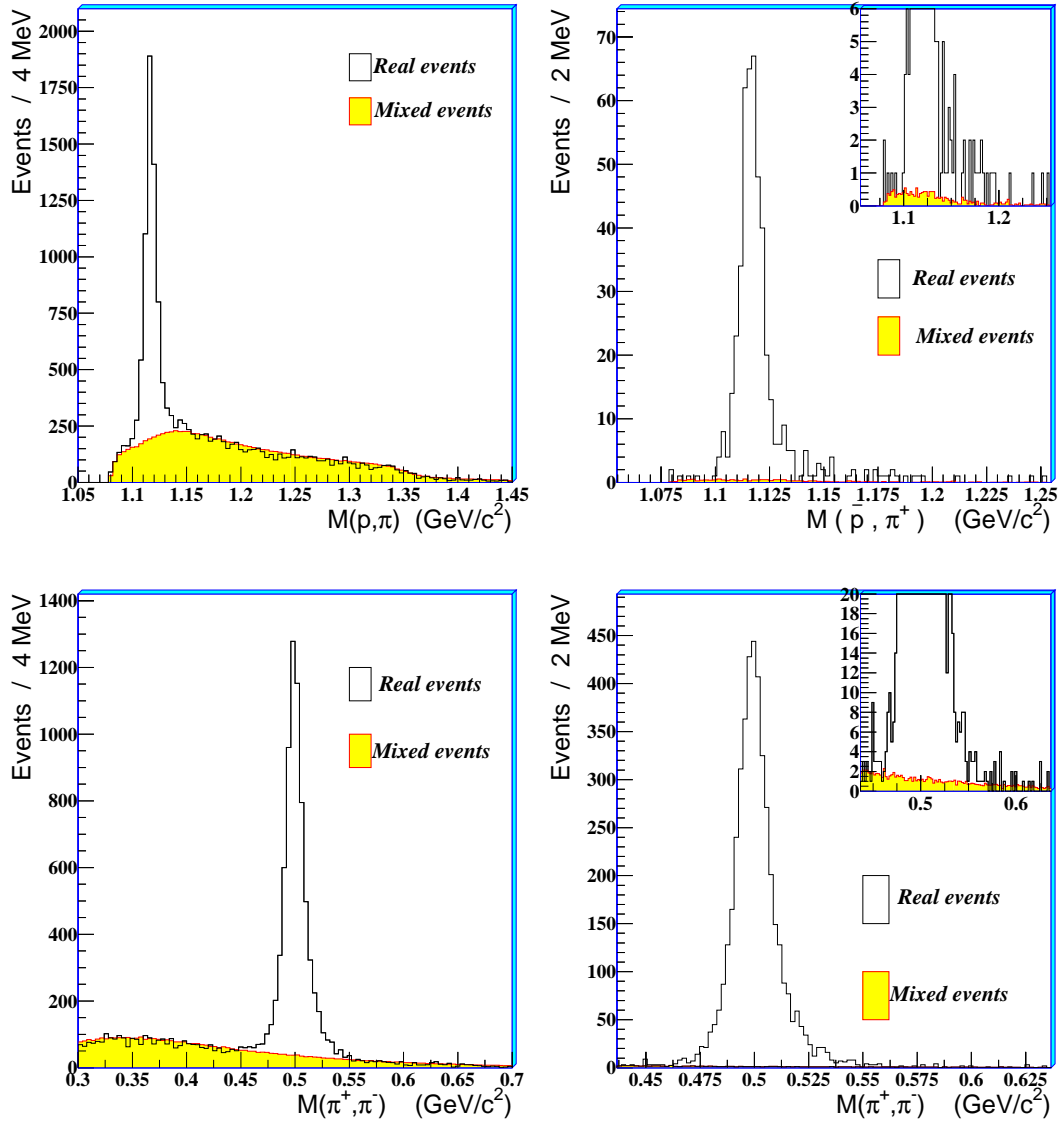


Figura 4.4:

**In alto:**

*A sinistra:* distribuzione della massa invariante  $M(p, \pi)$  per un campione di *candidate*  $V^0$  ( $\Lambda + \bar{\Lambda}$ ) di eventi reali (in chiaro) e di eventi mescolati (in giallo). *A destra:* spettro di massa invariante  $M(\bar{p}, \pi^+)$  per un campione di  $\bar{\Lambda}$  ricostruite in eventi reali (in chiaro) ed in eventi mescolati (in giallo); l'inserto in alto è un ingrandimento lungo l'asse delle ordinate.

**In basso:**

*A sinistra:* distribuzione della massa invariante  $M(\pi^+, \pi^-)$  per un campione di *candidate*  $V^0$  di eventi reali (in chiaro) e di eventi mescolati (in giallo). *A destra:* spettro di massa invariante  $M(\pi^+, \pi^-)$  per un campione di  $K_S^0$  ricostruite in eventi reali (in chiaro) ed in eventi mescolati (in giallo); l'inserto in alto è un ingrandimento lungo l'asse delle ordinate.

Di entrambi i contributi il metodo sviluppato non può, nè vuole (in quanto si intende valutare il solo fondo geometrico), tener conto. Uno studio che ha messo in risalto come il segnale dei  $K_S^0$  si riflette nello spettro di massa invariante  $M(\bar{p}, \pi^+)$  al variare dello spazio delle fasi del decadimento (più precisamente, per diversi settori dell'ellisse dei decadimenti delle  $K_S^0$  nel grafico di Armenteros) conduce a concludere che il residuo dei  $K_S^0$  si concentra ad elevate masse invarianti  $M(\bar{p}, \pi^+)$ . La contaminazione residua dei  $K_S^0$  all'interno dell'intervallo di massa invariante selezionato per l'analisi delle  $\bar{\Lambda}$  ( $\pm 10 \text{ MeV}/c^2$  rispetto al valore nominale) è invece trascurabile ( $\lesssim 2\%$ ).

Il problema dell'ambiguità con altre particelle non è invece presente nel caso dei  $K_S^0$ , come discusso nel paragrafo 3.3.2; nel caso delle  $\Lambda$ , infine, il problema è marginale in quanto, sebbene il numero assoluto di  $K_S^0$  residui sia confrontabile con quello del caso delle  $\bar{\Lambda}$  per la simmetria del decadimento dei  $K_S^0$ , la contaminazione percentuale è un'ordine di grandezza inferiore al caso delle  $\bar{\Lambda}$ .

Per quanto riguarda il secondo contributo, un'indagine condotta allo scopo ha accertato che, in una percentuale piccola ma non irrilevante di casi ( $1 \div 3\%$ ), il programma ORHION può distorcere lievemente la traiettoria di una delle due tracce della  $V^0$  vincolandola a passare per l'ultimo "hit" associato all'altra traccia. Il problema si presenta solamente per le tracce ricostruite in uno stesso evento e non per gli "eventi mescolati". Questo aspetto non desta tuttavia ulteriori preoccupazioni in quanto si presenta, con la stessa frequenza, anche nelle simulazioni sviluppate per calcolare le correzioni per accettazione ed efficienza dei rivelatori e dei programmi di ricostruzione ed identificazione. Pertanto, anche le perdite di particelle dovute a questo problema vengono tenute nel giusto conto nelle correzioni.

Nella tabella 4.1 sono stati riassunti i risultati sulla stima del fondo geometrico per le diverse

	N. di particelle	$\frac{B}{T-B}$ % (intero spettro)	$\frac{B}{T-B}$ % (intervallo selezionato)
$\Lambda$	2800	1.35	<b>0.7</b>
$\bar{\Lambda}$	480	3.45	<b>2.3</b>
$K_S^0$	4650	9.0	<b>0.5</b>

Tabella 4.1: Consistenza statistica del campione di  $V^0$  reali identificate ed usate per la stima del rapporto segnale su fondo geometrico; percentuale di fondo geometrico residuo sull'intero spettro e negli intervalli di massa invariante selezionati per l'analisi.

specie di  $V^0$  identificate: il numero di particelle reali usate per la stima, che ne determina la precisione, la percentuale di fondo nell'intero spettro, ed infine quella all'interno degli

intervalli di massa selezionati, alla cui misura questa analisi è stata finalizzata.

### 4.3 Correzione per accettazione ed efficienza

Fra gli obiettivi primari dell'esperimento vi è la misura della sezione d'urto inclusiva (doppiamente) differenziale <sup>5</sup>

$$\frac{d^2N(m_T, y)}{dm_T dy} \quad (4.2)$$

di ciascuna delle diverse specie di particelle osservate e, a partire da questa, del loro tasso di produzione integrale  $Y = \iint_V \frac{d^2N(m_T, y)}{dm_T dy} dm_T dy$  in un certo volume  $V$  dello spazio delle fasi  $(m_T, y)$ . A questo scopo è necessario conoscere il modo con cui la particolare geometria dei rivelatori limita la loro misura (“accettazione geometrica”) e l'efficienza con la quale le particelle sono rivelate e ricostruite.

Come discusso nel secondo capitolo, l'esperimento NA57 dispone di un telescopio di altissima risoluzione ma che copre una porzione limitata dello spazio delle fasi permesso alle particelle nello stato finale; il calcolo dell'accettazione riveste dunque un ruolo cruciale. La precisione richiesta nella misura del tasso di produzione di particelle strane impone altresì che la loro efficienza di rivelazione (cioè l'efficienza dei diversi piani di rivelatori nel telescopio) e di ricostruzione (cioè l'efficienza dei programmi di ricostruzione degli eventi e quelli sviluppati per la selezione ed identificazione delle diverse particelle) siano note con grande accuratezza. È stato dunque sviluppato un metodo di calcolo basato su una simulazione Monte Carlo che consente di associare ad ognuna delle particelle identificate una correzione che contiene un contributo dovuto all'accettazione geometrica ed uno dovuto all'efficienza di rivelazione e ricostruzione. La procedura consiste, *per ciascuna particella identificata*, nei seguenti passi:

#### 1. Generazione di particelle con metodo Monte Carlo e loro tracciamento nel telescopio

Si generano delle particelle Monte Carlo dello stesso tipo, di impulso trasverso  $p_T$  e di rapidità  $y$  pari a quelli della particella reale in questione, cui si vuole applicare la correzione. Tutti gli altri parametri del decadimento sono invece privi di vincoli, ad eccezione dei due seguenti, modificati unicamente per velocizzare il calcolo: (i) si considera solo il canale di decadimento nel quale sono state ricostruite le particelle misurate (ad esempio:  $\Lambda \rightarrow p\pi^-$ ,  $\Xi^- \rightarrow \Lambda\pi^-$ ); la percentuale di particelle perse perché, nei decadimenti reali, decadute in un altro canale è fornita da  $1 - BR$ , dove  $BR$  è la frequenza di decadimento (“*Branching Ratio*”) nel canale considerato. (ii) Le

---

<sup>5</sup>Si ricorda, come discusso nel *paragrafo 1.5.3*, che la “massa trasversa” di una particella di massa  $m$  viene definita come  $m_T = \sqrt{m^2 + p_T^2}$ , mentre  $y$  rappresenta la rapidità della particella.

particelle sono generate in modo tale che l'angolo  $\phi$  di azimuth che il loro impulso trasverso  $\vec{p}_T$  forma con l'asse  $y$ , nel piano  $yz$  del riferimento del laboratorio, sia compreso tra  $35^\circ$  e  $145^\circ$ , in modo da includere un'angolo solido ben più esteso di quello sotteso dal telescopio, ma comunque ridotto rispetto ai  $4\pi$ .

Il vertice primario d'interazione è generato entro il piano  $\Sigma$  contenente il bersaglio e parallelo al piano  $yz$  del riferimento del laboratorio (quindi a coordinata  $x$  fissata), con una distribuzione gaussiana bidimensionale nel piano  $\Sigma$  di valor medio  $(y_{run}, z_{run})$ , pari alle coordinate del vertice *run per run* dell'evento in cui la particella reale è stata misurata, e larghezze  $(\sigma_{y_{run}}, \sigma_{z_{run}})$  pari alle larghezze delle gaussiane di “*best fit*” (in  $y$  ed in  $z$ ) alle distribuzioni dei vertici *evento per evento* utilizzati per determinare il vertice *run per run*. Si ricorda che, negli eventi reali, i parametri d'impatto delle diverse particelle, su cui si sono operati criteri di selezione, sono stati calcolati riferendosi al vertice *run per run*. Questo aspetto della simulazione sarà oggetto di discussione nei prossimi paragrafi.

Il decadimento delle particelle generate viene quindi simulato rispettando la vita media di ciascuna specie ed i prodotti di decadimento sono tracciati all'interno dell'apparato sperimentale per mezzo del programma GEANT3 [131]. Durante la generazione vengono registrate tutte le informazioni relative alle particelle simulate le cui tracce di decadimento attraversano il telescopio. All'interno di GEANT è stata inserita la struttura a pixel dei piani del telescopio e quella relativa alle  $\mu$ strip a doppia faccia del “*lever arm*”; ai pixel ed alle “*strip*” interessati dal passaggio dei prodotti carichi di decadimento sono assegnati degli “*hit*” elettronici, secondo l'efficienza dei rivelatori. L'efficienza dei pixel e quella delle  $\mu$ strip viene misurata ed assegnata per ciascun “*chip*” di lettura (*cfr. paragrafo 2.4.3*), e per differenti periodi di funzionamento durante la presa dati. Questa fase termina quando il numero di particelle che risultano potenzialmente ricostruibili nelle successive fasi di analisi, in quanto i loro prodotti di decadimento sono geometricamente accettati dal telescopio, diventa tale da assicurare un numero cospicuo di particelle infine ricostruite (qualche centinaio). In tal modo l'errore sulla correzione è reso indipendente dall'accettanza della particella sotto esame. Tipicamente si richiede di avere, a seconda della specie in esame,  $2500 \div 5000$  particelle potenzialmente ricostruibili sulla base della loro accettanza geometrica.

## 2. Impiantazione degli “*hit*” di GEANT in eventi di fondo

Per riprodurre la situazione reale in cui ogni particella strana è stata ricostruita — in presenza cioè di altre tracce e del rumore elettronico dei rivelatori — gli “*hit*” elettronici delle tracce di GEANT vengono impiantati entro eventi reali (detti

“eventi di fondo”), uno per per ciascuna delle particelle simulate; gli eventi di fondo vengono campionati sull’intera statistica accumulata, e sono quindi rappresentativi delle condizioni operative durante tutta la presa dati. Si costruisce in tal modo, per ciascuna delle particelle generate da GEANT, un evento “ibrido” costituito dagli “hit” delle tracce reali, dagli “hit” di quelle simulate e dagli “hit” dovuti al rumore elettronico. Gli eventi di fondo vengono scelti in modo tale che la loro molteplicità di “cluster di hit”<sup>6</sup> nei piani di pixel del telescopio sia prossima, entro certi limiti opportunamente definiti, a quella dell’evento contenente la particella da correggere. Questo criterio ha lo scopo di ricreare, nell’evento ibrido, la stessa situazione fisica presente in quello originale.

### 3. Ricostruzione degli eventi ibridi col programma ORHION

Gli eventi ibridi sono poi processati col programma di ricostruzione ORHION, come nel caso degli eventi reali. Le candidate  $V^0$  vengono al solito preventivamente individuate e selezionate in STRIPV0. In tutte le fasi della ricostruzione il programma ignora se un dato “hit” è originariamente associato ad una traccia della particella simulata od all’evento di fondo. Gli eventi così processati sono registrati per le successivi fasi di analisi nel formato usuale, conservando tuttavia l’informazione sugli “hit” associati a ciascuna delle tracce ricostruite.

### 4. Identificazione e ricostruzione delle particelle strane

A questo punto gli eventi ricostruiti da ORHION vengono analizzati dal programma sviluppato in fase di analisi per la selezione e l’identificazione delle particelle strane, esattamente come nel caso degli eventi reali. Si applicano dunque anche agli eventi ibridi gli stessi criteri di selezione usati per isolare ed identificare i diversi campioni di particelle. Il programma, utilizzato tanto in fase di analisi quanto in fase di correzione, è diverso a seconda che si tratti di una  $V^0$  ( $\Lambda$  o  $K_S^0$ ) od una cascata ( $\Omega$  o  $\Xi$ ), ma in entrambi i casi fornisce in uscita un sotto-insieme degli eventi processati da ORHION, formato soltanto da quegli eventi che contengono una  $V^0$  od una cascata, a seconda del programma, che abbia superato i tagli dell’analisi.

### 5. Riconoscimento delle particelle generate

È necessario infine determinare se e quale, tra le particelle strane ricostruite nei precedenti passi, ve ne sia una che corrisponde a quella originariamente generata

---

<sup>6</sup>Un cluster è un insieme di più “hit” tra loro adiacenti. La molteplicità di cluster è generalmente correlata alla molteplicità di “hit”, ma si è preferito utilizzare il numero di cluster come riferimento perché tale variabile si è dimostrata più rappresentativa della reale occupazione del telescopio soprattutto rispetto ad eventi con rumorosità localizzata solo in alcuni chip.

con GEANT. Vi è infatti la possibilità che la particella generata non sia stata affatto ricostruita (e ciò a causa dell'inefficienza stessa, che si intende misurare), e quella osservata corrisponda ad un particella presente nell'evento di fondo. Per ciascun evento ricostruito — che può contenere dunque, al più, una sola particella Monte Carlo, di cui si conoscono tutti i parametri iniziale ed anche gli “hit” nei rivelatori — si confrontano gli “hit” associati alle tracce di ciascuna particella strana che ha superato i criteri di selezione (tre tracce nel caso di una cascata, due nel caso di una  $V^0$ ) con quelli della particella Monte Carlo originariamente generata. Se le tracce sono tra loro compatibili, entro determinate tolleranze che tengono conto degli errori di estrapolazione e della possibilità di perdere parte degli “hit” originari durante la fase di ricostruzione, la particella viene identificata con quella originariamente generata.

Vengono così calcolati, per ogni particella da correggere, il numero di particelle Monte Carlo generate ( $N_{gen}$ ), quello delle particelle Monte Carlo accettate geometricamente ( $N_{acc}$ ), numero generalmente mantenuto costante per una data specie (2500 ÷ 5000), e quello delle particelle ricostruite ( $N_{rec}$ ) ed identificate come corrispondenti alla particella Monte Carlo originaria.

Il fattore di correzione per ciascuna particella (il “peso”) — che dunque tiene conto, simultaneamente, del contributo delle perdite per l'accettazione geometrica e di quelle per l'efficienza di rivelazione e di ricostruzione — è dato da:

$$w = \frac{360^\circ}{\Delta\phi} \times \frac{N_{gen}}{N_{rec}} \times \frac{1}{BR} \quad (4.3)$$

dove  $\Delta\phi$  corrisponde all'intervallo di angolo azimuthale  $\phi$  entro il quale le particelle sono state generate nella simulazione (ed al di fuori del quale nessuna sarebbe stata comunque ricostruita) ed il fattore  $\frac{1}{BR}$  tiene conto che si è imposto, nella simulazione, il decadimento delle particelle generate secondo un unico canale, cui l'esperimento è sensibile, di cui è noto il “branching ratio”  $BR$ . Poiché la simulazione è espletata per mezzo di generatori di numeri a caso, l'errore sul peso è calcolabile a partire dalla distribuzione binomiale ed, indicando con  $P$  il rapporto  $\frac{N_{rec}}{N_{gen}}$ , esso è fornito da <sup>7</sup>:

$$\delta w = w \times \frac{\delta P}{P} = \frac{w}{P} \sqrt{\frac{P \cdot (1 - P)}{N_{gen}}} \quad (4.4)$$

Nella tabella 4.2 sono riportati i valori medii della correzione ( $\langle w \rangle$ ) per i segnali studiati nelle interazioni Pb-Pb.

---

<sup>7</sup>L'incertezza sulla probabilità di decadimento nel canale considerato ( $BR$ ) è del tutto trascurabile.

	Pb-Pb 160 A GeV/c		Pb-Pb 40 A GeV/c
	$\langle w \rangle$		$\langle w \rangle$
$\Omega^-$	$20740 \pm 1360$	$\Omega^- + \bar{\Omega}^+$	$63600 \pm 25100$
$\bar{\Omega}^+$	$19245 \pm 1770$		
$\Xi^-$	$26090 \pm 719$	$\Xi^-$	$28530 \pm 1550$
$\bar{\Xi}^+$	$25590 \pm 1365$	$\bar{\Xi}^+$	$26100 \pm 4600$
$\Lambda$	$1517 \pm 38$		
$\bar{\Lambda}$	$1552 \pm 36$		
$K_S^0$	$986 \pm 52$		

Tabella 4.2: Valori medii delle correzioni calcolate per le particelle strane nelle collisioni Pb-Pb.

La necessità di generare e processare migliaia di eventi per ogni particella rivelata rende il calcolo delle correzioni per accettazione ed efficienza molto dispendioso in termini di tempo di esecuzione al computer. Nel caso delle  $V^0$  non è quindi possibile correggere con questa tecnica l'intero campione raccolto, costituito tipicamente da decine o centinaia di migliaia di particelle<sup>8</sup>. Per le cascate, invece, che nelle collisioni Pb-Pb (in cui sono più abbondantemente prodotte) ammontano a poche centinaia ( $\Omega$ ) o migliaia ( $\Xi$ ) di esemplari, questa tecnica è ottimale ed applicabile all'intero campione.

Nella tab. 4.3 sono riassunti i dati sulla consistenza statistica dei diversi campioni di particelle strane identificate, e la frazione di queste corrette con la tecnica esposta. Come discusso nel terzo capitolo, nel calcolare le correzioni per le cascate raccolte nella presa dati dell'anno 2000 si è data precedenza alle  $\Omega$ , volendo diminuire in modo più significativo l'errore statistico delle osservabili legate a questa particella, la più rara tra quelle studiate; pertanto le  $\Xi$  corrette sino ad ora provengono dall'intero campione del 1998, mentre un secondo campione delle  $\Xi$  raccolto nell'anno 2000 raddoppierà la statistica sino ad ora analizzata. I dati sulle  $V^0$  a 160 A GeV/c si riferiscono invece al solo campione di dati del 1998. I dati p-Be a 160 GeV/c sono invece quelli raccolti dall'esperimento WA97 e verranno utilizzati come riferimento a questa energia nel prossimo capitolo. Nell'ultima colonna della tab. 4.3, infine, è riportata la stima — fatta a partire dal campione del 1999 — delle particelle attese nelle collisioni p-Be a 40 GeV/c, utilizzabili per l'analisi.

<sup>8</sup>Si pensa allo scopo di sviluppare metodi di correzione più veloci, da applicarsi direttamente alle diverse distribuzioni, e non particella per particella, del tipo di quello sperimentato da WA97 in [28].

	Pb-Pb 160 A GeV/c		Pb-Pb 40 A GeV/c		p-Be (WA97) 160 GeV/c		p-Be 40 GeV/c
	raccolte	% pesate	raccolte	% pesate	raccolte	% pesate	stima attese
$\Omega^-$	432	100	35	100	$\Omega^- + \bar{\Omega}^+$		—
$\bar{\Omega}^+$	193	100	4	100	33	100	—
$\Xi^-$	$\approx 2 \times 2234$	$\approx 50$	550	100	397	100	30
$\bar{\Xi}^+$	$\approx 2 \times 601$	$\approx 50$	47	100	157	100	—
$\Lambda$	470000	0.5	78000	—	119300	4	25000
$\bar{\Lambda}$	67950	4	2100	—	34350	15	1500
$K_S^0$	706000	0.08	$\approx 60000$	—	da analizzare		10000

Tabella 4.3: Statistica delle particelle strane e frazione di particelle corrette contenute nell'intero campione di dati di NA57 relativi all'interazione Pb-Pb a 160 e 40 A GeV/c, ed in quello dell'esperimento WA97 relativo all'interazione p-Be che sarà usata come riferimento a 160 GeV/c; stima delle particelle attese nelle collisioni p-Be a 40 GeV/c.

#### 4.3.1 Confronto tra dati e Monte Carlo

Il calcolo delle correzioni riveste un ruolo di primo piano per come è concepito l'esperimento NA57, che si prefigge di studiare, tra l'altro, i tassi di produzione delle diverse specie di particelle strane. È pertanto fondamentale accertarsi che la simulazione Monte Carlo ben descriva le distribuzioni dei dati reali, ed in modo particolare quelle sulle quali si sono applicati i tagli dell'analisi.

Si consideri, ad esempio, per una cascata ( $\Xi$  od  $\Omega$ ) la distribuzione della variabile  $x_{V^0}$ , pari alla coordinata  $x$  del vertice di decadimento della  $\Lambda$  prodotta nel decadimento della cascata. La forma di questa distribuzione è il risultato della convoluzione della distribuzione esponenziale dei decadimenti della cascata, secondo la propria vita media ( $c\tau = 4.91$  cm per la  $\Xi$ ,  $c\tau = 2.461$  cm per la  $\Omega$ ) e di quella dei decadimenti della  $\Lambda$  stessa ( $c\tau = 7.89$  cm), il tutto modulato dall'accettanza ed efficienza dei rivelatori. Un buon accordo tra la distribuzione dei dati reali e quella ottenuta al Monte Carlo suggerisce che la vita media osservata per le particelle reali è effettivamente quella nominale *introdotta* nella simulazione e che nella simulazione è ben riprodotta la modulazione dovuta all'accettanza ed all'efficienza dei rivelatori.

Per tutte le specie si sono effettuati confronti sistematici tra le distribuzioni delle particelle generate al Monte Carlo e quelle dei dati reali.

In fig. 4.5 sono mostrati alcuni dei confronti per le  $\Xi^-$  e le  $\bar{\Xi}^+$ ; da sinistra verso destra, e dall'alto in basso, si osservano le distribuzioni per:  $x_{cas}$ ,  $x_{V^0}$ ,  $close_{V^0}$ ,  $b_y(\Lambda)$ ;  $b_y(\pi)$ ,

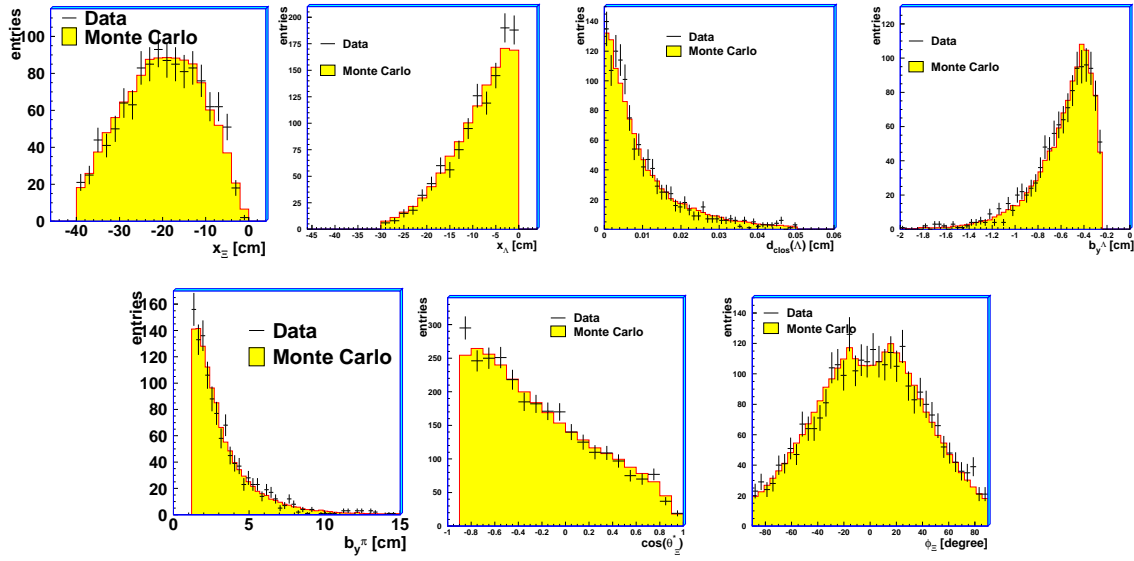


Figura 4.5: Confronto tra varie distribuzioni delle  $\Xi^-$  e  $\Xi^+$  reali (punti con errori statistici) e le relative distribuzioni ottenute col Monte Carlo (distribuzioni in giallo).

$\cos(\theta_{\Xi}^*)$ ,  $\phi_{cas}$ . Nei grafici della fig. 4.5, e così in tutti quelli relativi alle altre particelle considerate, le distribuzioni Monte Carlo, caratterizzate da un più piccolo errore statistico, sono rappresentate per mezzo di istogrammi in giallo, mentre per i dati reali si sono adoperati i punti con le barre di errore (e le distribuzioni in chiaro per le correlazioni bidimensionali).

In fig. 4.6 sono mostrati i confronti per le  $\Omega^-$  e le  $\bar{\Omega}^+$ ; guardando da sinistra verso destra, sono riportate le distribuzioni per:  $b_{ycas}/\sigma_y$ ,  $b_{zcas}/\sigma_z$ ,  $close_{cas}$ ,  $x_{cas}$ ;  $close_{V^0}$ ,  $x_{V^0}$ ,  $\phi_{cas}$ ,  $\phi_{V^0}$ ;  $\cos(\theta_{\Omega}^*)$ ,  $\cos(\theta_{\Lambda}^*)$ ,  $M(\Lambda, K)$ ,  $M(p, \pi)$ ;  $p_T$  versus  $y_{\Omega}$  per i dati reali (in chiaro),  $p_T$  versus  $y_{\Omega}$  secondo il Monte Carlo (in giallo),  $p_T$ ,  $y_{\Omega}$ ;  $q_T$  versus  $\alpha_{Arm}$  per il decadimento delle  $\Lambda$  reali (in chiaro) e di quelle generate (in giallo),  $q_T$ ,  $\alpha_{Arm}$ .

In fig. 4.7 sono mostrati i dati relativi alle  $\Lambda$  ed  $\bar{\Lambda}$ , in particolare le distribuzioni di:  $b_{yV^0}/\sigma_y$ ,  $b_{zV^0}/\sigma_z$ ,  $close_{V^0}$ ,  $x_{V^0}$ ;  $\phi_{V^0}$ ,  $\cos(\theta_{\Lambda})$ , massa invariante  $M(p, \pi)$ ; il grafico di Armenteros per le  $V^0$  reali (in chiaro) e per quelle del Monte Carlo (in giallo),  $\alpha_{Arm}$ ,  $q_T$ ;  $p_T$  versus  $y_{\Lambda}$  per i dati reali (in chiaro),  $p_T$  versus  $y_{\Lambda}$  per i dati del Monte Carlo (in giallo), rapidità della  $\Lambda$ ,  $p_T$ ; modulo dell'impulso della  $V^0$ ,  $p_y$  e  $p_z$  della  $V^0$ .

In fig. 4.8, infine, sono mostrati i confronti relativi allo studio preliminare condotto sui  $K_S^0$ ; col solito ordine da sinistra a destra, le distribuzioni mostrate si riferiscono a:  $b_{yV^0}/\sigma_y$ ,

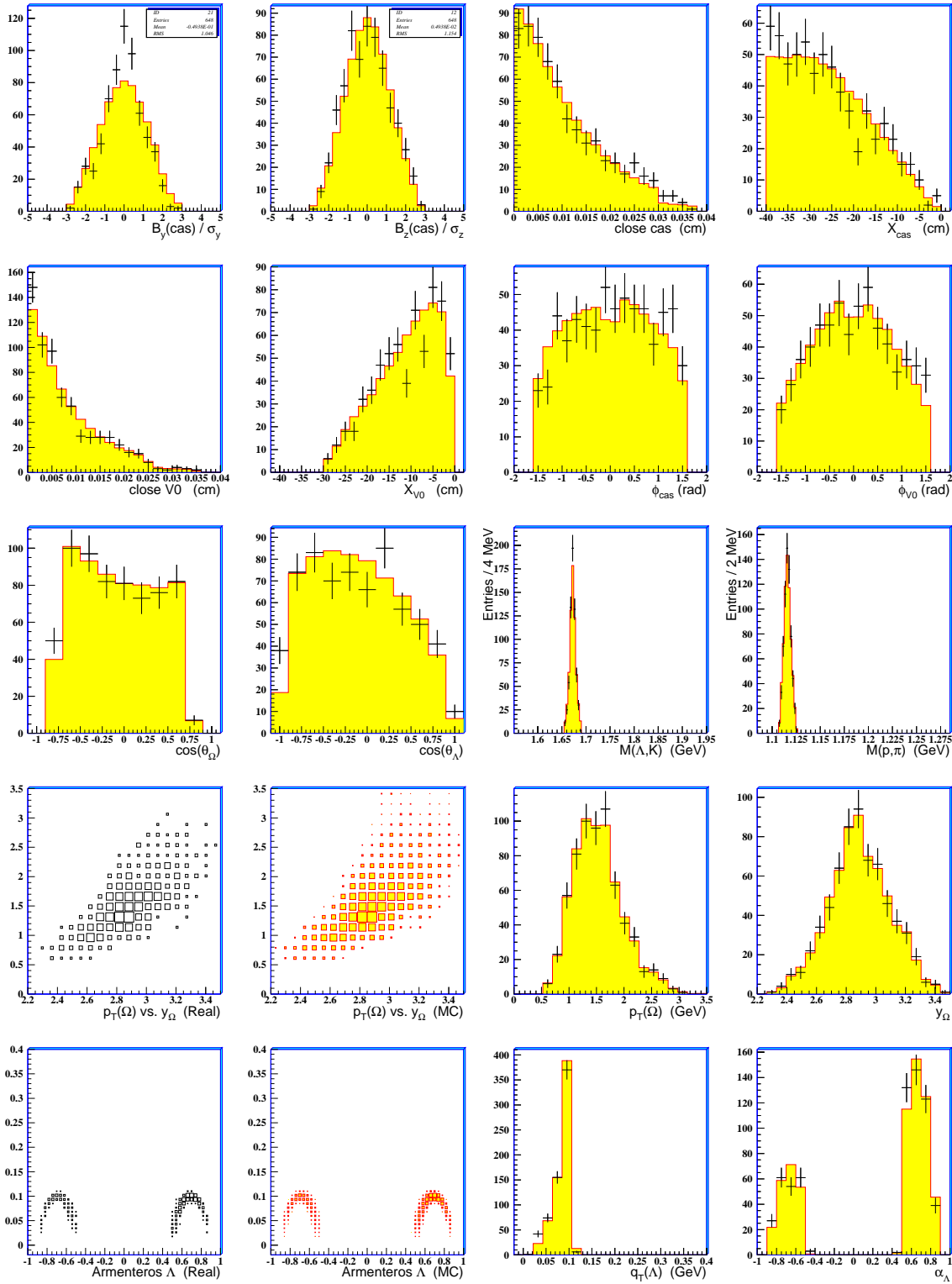


Figura 4.6: Confronto tra varie distribuzioni delle  $\Omega^-$  e  $\bar{\Omega}^+$  reali (punti con errori statistici o distribuzioni bidimensionali in chiaro) e le relative distribuzioni ottenute col Monte Carlo (distribuzioni in giallo).

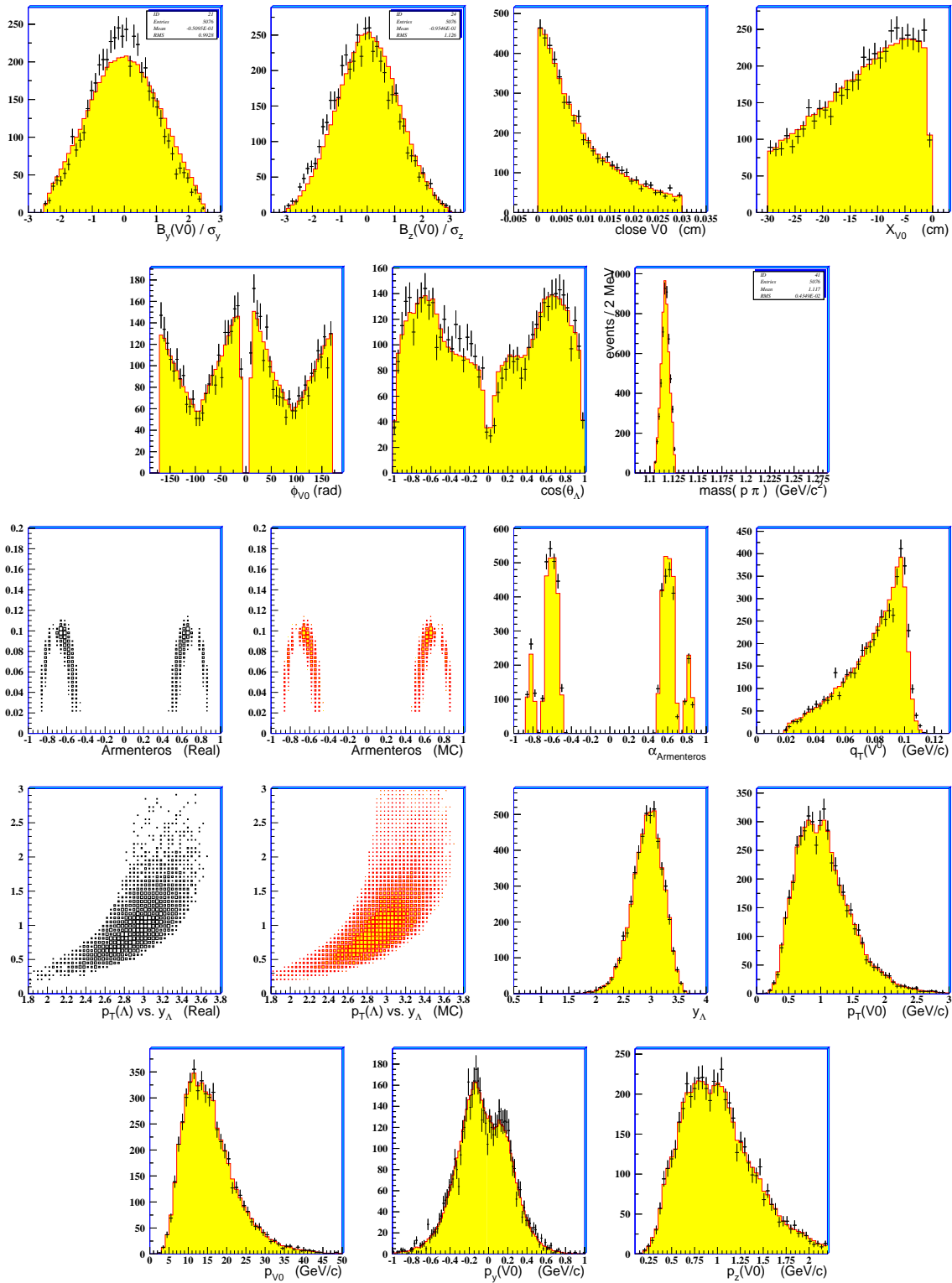


Figura 4.7: Confronto tra varie distribuzioni delle  $\Lambda$  e  $\bar{\Lambda}$  reali (punti con errori statistici o distribuzioni bidimensionali in chiaro) e le relative distribuzioni ottenute col Monte Carlo (distribuzioni in giallo).

$b_{zV^0}/\sigma_z$ ,  $close_{V^0}$ ;  $x_{V^0}$ ,  $\phi_{V^0}$ ,  $\cos(\theta_{K_S^0}^*)$ ; al grafico di Armenteros per i dati reali (in chiaro) e per le particelle Monte Carlo (in giallo), massa invariante  $M(\pi^+, \pi^-)$ ; rapidità della  $K_S^0$ ,  $p_T$ ,  $p_y$  e  $p_z$  della  $V^0$ .

Le distribuzioni sono tutte riprodotte in modo eccellente, entro gli errori statistici, ad esclusione di quelle sui parametri d'impatto della particella primaria studiata. Per le diverse specie, si osserva infatti che le distribuzioni reali (maggiormente quelle in  $y$ ) presentano un picco centrale più pronunciato rispetto a quelle del Monte Carlo; inoltre, soprattutto per le  $V^0$ , la distribuzione della proiezione  $z$  dei dati reali è leggermente traslata verso valori negativi ( $\approx 0.1\sigma$  per le  $V^0$ ). Come spiegato all'inizio di questo paragrafo, nella simulazione le particelle vengono generate attorno al vertice *run per run* secondo una gaussiana di larghezze pari alle  $\sigma_y, \sigma_z$  di quel *run*. La fase successiva di ricostruzione introduce un ulteriore sbrodolamento, per cui la distribuzione bidimensionale (normalizzata alle  $\sigma_y, \sigma_z$ ) dei parametri d'impatto delle particelle Monte Carlo,  $(b_y/\sigma_y, b_z/\sigma_z)$ , ricostruiti da ORHION è più larga della gaussiana introdotta nella fase di *generazione* delle particelle. Inoltre, le particelle reali non sono misurate tutte con la stessa precisione, pertanto non è detto, a priori, che la distribuzione dei loro parametri d'impatto sia di forma gaussiana.

A causa dei tagli (*ad hoc*) operati in fase di analisi, la discrepanza tra il Monte Carlo ed i dati reali per queste distribuzioni introduce un errore sistematico, di entità pari alla differenza, tra gli eventi reali e quelli simulati, delle frazioni di eventi esclusi per via dei tagli, rispetto al totale. Poiché, però, i tagli operati per tutte le specie di particelle non sono troppo selettivi ( $2.5 \div 3 \sigma_{y(z)}$ ), tale errore sistematico è, al più, dell'ordine di qualche percento. In particolare, per le cascade, in cui l'entità dell'effetto è ulteriormente ridotto rispetto alle  $V^0$ , questo errore sistematico è trascurabile rispetto all'errore statistico.

Nel caso delle  $V^0$ , invece, per cui la discrepanza è più marcata e per cui gli errori statistici sono molto piccoli, diventa fondamentale valutare con precisione l'entità dell'errore sistematico introdotto nella misura del tasso di produzione <sup>9</sup>.

Per quanto riguarda il Monte Carlo, è possibile calcolare agevolmente la frazione degli eventi *generati*, che sono poi stati ricostruiti e che hanno superato tutti gli altri tagli dell'analisi, ma che vengono scartati per la sola azione del taglio sul parametro d'impatto. Nel caso delle  $\Lambda$  e  $\bar{\Lambda}$  tale frazione è pari all'8.5%, nel caso dei  $K_S^0$  al 10%.

Per i dati reali si presenta invece una complicazione, dovuta alla presenza del fondo residuo di  $V^0$  geometriche, concentrato soprattutto sulle code della distribuzione (bidimensionale) del parametro d'impatto. Tuttavia, disponendo di una buona descrizione del fondo geometrico, ottenuta col metodo di mescolamento degli eventi (*cfr. paragrafo 4.2*), diventa possibile

---

<sup>9</sup>Non ci si aspetta alcun errore sistematico nella misura degli spettri di massa trasversa in quanto non si osserva correlazione tra il parametro d'impatto e le variabili  $p_T$  e rapidità.

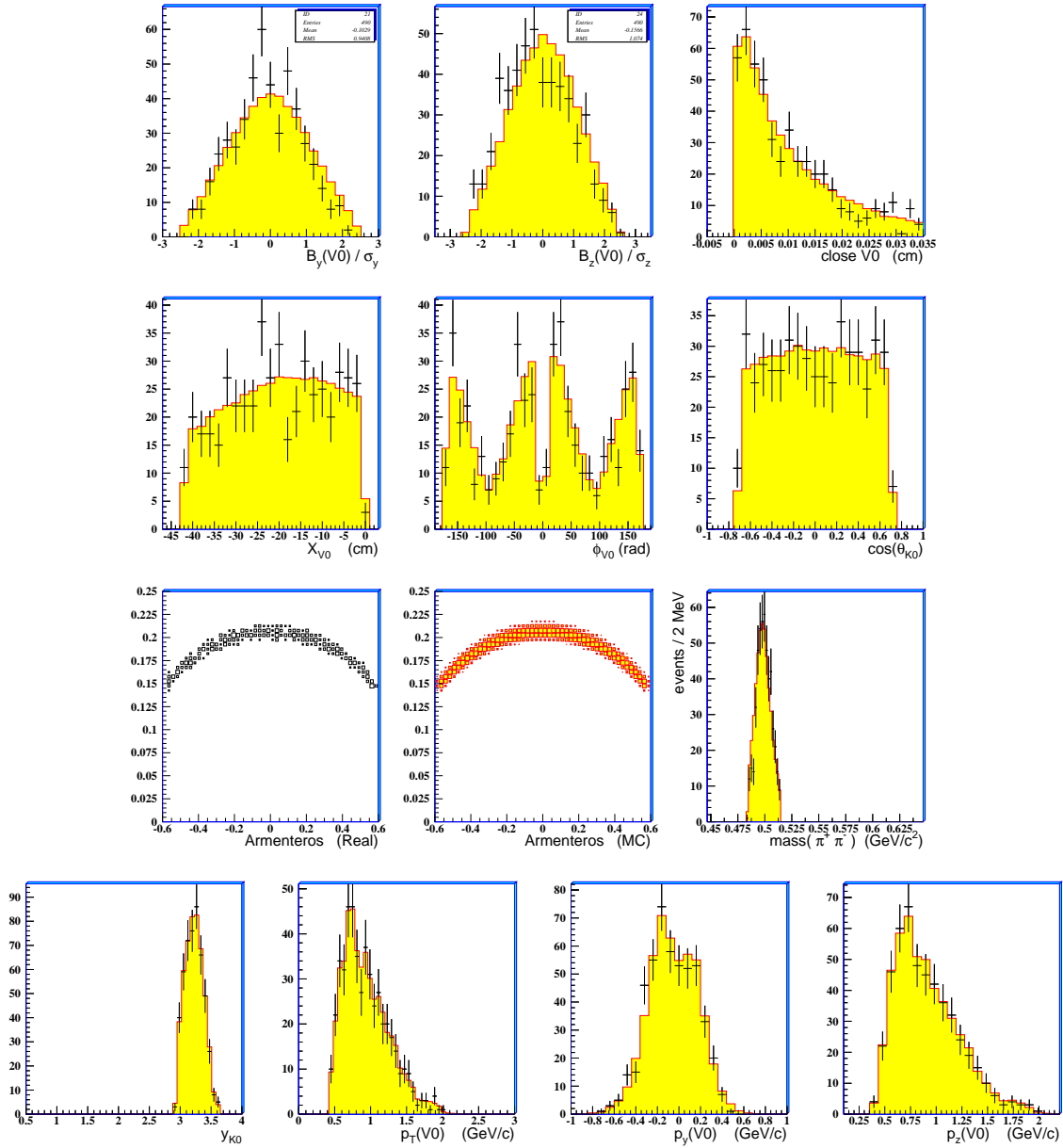


Figura 4.8: Confronto tra varie distribuzioni dei  $K_S^0$  reali (punti con errori statistici o distribuzioni bidimensionali in chiaro) e le relative distribuzioni ottenute col Monte Carlo (distribuzioni in giallo).

stimare la frazione del “segnale fisico” (cioè  $V^0$  reali *meno* il fondo geometrico) rimossa dall’azione del taglio sul parametro di impatto, così come fatto per le particelle Monte Carlo. Nel caso delle  $\Lambda$  e  $\bar{\Lambda}$  tale frazione è pari al 12.5%, nel caso di  $K_S^0$  al 13.5%. Considerando la differenza trovata tra il Monte Carlo e gli eventi reali, si conclude che le correzioni calcolate per le  $\Lambda$  e le  $\bar{\Lambda}$ , e conseguentemente i tassi di produzione, sono sistematicamente sottostimate del 4% a causa di questa discrepanza, mentre quelle dei  $K_S^0$  del 3.5%. Si terrà conto di ciò includendo questi contributi negli errori sistematici.

#### 4.4 Determinazione delle finestre di accettazione delle particelle strane

Per ciascuna specie di particella strana, e differentemente per ciascuna interazione considerata, è opportuno definire una finestra di accettazione, nel piano rapidità–impulso trasverso, più limitata rispetto al limite intrinseco fornito dall’accettazione geometrica del telescopio. Questa opportunità può presentarsi anche a parità di interazioni, per diversi periodi della presa dati, se si è avuta una variazione nella disposizione sperimentale del telescopio e nelle efficienze dei diversi piani di rivelatori.

La necessità di una simile ridefinizione ha due origini: (*i*) si vogliono escludere le particelle dirette verso i bordi geometrici del telescopio, per le quali si possono avere grandi fluttuazioni statistiche dovute alla minor accettazione entro il telescopio dei prodotti di decadimento, rispetto ad una particella che punti verso il centro del telescopio; (*ii*) è preferibile effettuare la misura della sezione d’urto inclusiva di produzione  $\frac{d^2N(m_T, y)}{dm_T dy}$  entro una regione del piano  $(y, p_T)$  in cui l’efficienza globale di ricostruzione ed identificazione è sufficientemente uniforme. Anche in tal caso i due aspetti — quello proprio dell’accettazione geometrica e quello dell’efficienza — sono interconnessi e difficilmente separabili: senza cercare di scinderli, si vogliono qui semplicemente escludere le regioni di spazio delle fasi cui corrisponderebbero correzioni molto elevate, rispetto a quelle medie, in quanto eventuali piccole imprecisioni sulla determinazione di tali correzioni influenzerebbero molto le distribuzioni che si vogliono misurare, specialmente per le particelle caratterizzate da più bassa statistica.

Due approcci per la determinazione della miglior finestra di accettazione sono stati seguiti, il secondo dei quali, molto più adatto per i campioni di bassa statistica, è stato sviluppato solo di recente [132], apposta per le  $\Omega$ .

## Determinazione della finestra di accettazione considerando la stabilità dei risultati

Il primo metodo sviluppato consiste nel calcolare le correzioni, come discusso nel *par. 4.3*, per tutte le particelle rivelate, e di definire inizialmente una finestra di accettazione fiduciale in modo da escludere quelle particelle per le quali il “peso” (la correzione) risulta superiore a circa 10 volte quello delle regioni più centrali, caratterizzate dai “pesi” più bassi. A partire da questa prima definizione di finestra di accettazione se ne considerano altre, più e meno estese, rispetto alle quali si studia la stabilità dei risultati (tassi di produzione e spettri di massa trasversa). La finestra infine scelta è tale da cadere in una regione di stabilità, rispetto alle altre definizioni, ed accettando quante più particelle possibile.

In fig. 4.9 è mostrato il risultato di questo tipo di studio nel caso delle  $\Lambda$  e  $\bar{\Lambda}$ . Sono state definite otto finestre, numerate con gli interi dal  $-2$  al  $+5$ : ai numeri negativi corrispondono finestre via via meno estese e viceversa per i positivi. Sia per i tassi di produzione (“*yield*”), che sono estrapolati in una finestra di accettazione comune come si discuterà nel *par. 4.5*, sia per le pendenze inverse degli spettri di massa trasversa (“*inverse slope*”), si riconoscono agevolmente dei “*plateau*” che corrispondono alla regione di stabilità desiderata. Il ginocchio di questi “*plateau*” cade in corrispondenza della finestra indicata col numero  $+1$ , ma un’analisi svolta in diversi periodi di presa dati ha mostrato come nella finestra “ $0$ ” i risultati siano molto più stabili [133]. I risultati di questo studio sono mostrati nella fig. 4.10, dove sono stati definiti due periodi, pari grosso modo alla prima ed alla seconda metà della presa dati del 1998, che si differenziano tra loro per un (improvviso) aumento (di circa il 35%) della sezione del profilo, nella sola direzione  $z$ , del fascio di ioni di Pb incidente sul bersaglio: risulta evidente come gli *yield* diventino compatibili solo a partire dalla finestra “ $0$ ”, sebbene il valor medio sia stabile già da quella “ $+1$ ”. La finestra  $0$  è dunque quella scelta per l’analisi delle  $\Lambda$  e  $\bar{\Lambda}$ .

Volendo tuttavia approfondire la comprensione delle differenze tra i due periodi, limitandosi a considerare solo quelle particelle che cadono entro la finestra “ $+1$ ” ma sono al di fuori di quella “ $0$ ”, si è appurato che esse sono essenzialmente imputabili alla regione prossima al bordo curvo inferiore della finestra, corrispondente ai piccoli angoli della particella emessa rispetto alla linea di fascio. Tale regione corrisponde alla parte dei rivelatori più prossimi al fascio, per cui l’efficienza è generalmente inferiore a causa del danneggiamento da radiazione. A parità di impulso trasverso e di rapidità, le variazioni nella posizione  $z$  del vertice primario modificano ovviamente l’accettazione geometrica di una particella, tuttavia i “*pesi*” calcolati col Monte Carlo non riescono a correggere completamente per questo effetto, a conferma che le regioni prossime a bordi del telescopio sono le più critiche e vanno escluse.

In fig. 4.11 sono mostrati i grafici della stabilità degli “*yield*” delle  $\Xi^-$  e delle  $\bar{\Xi}^+$  con

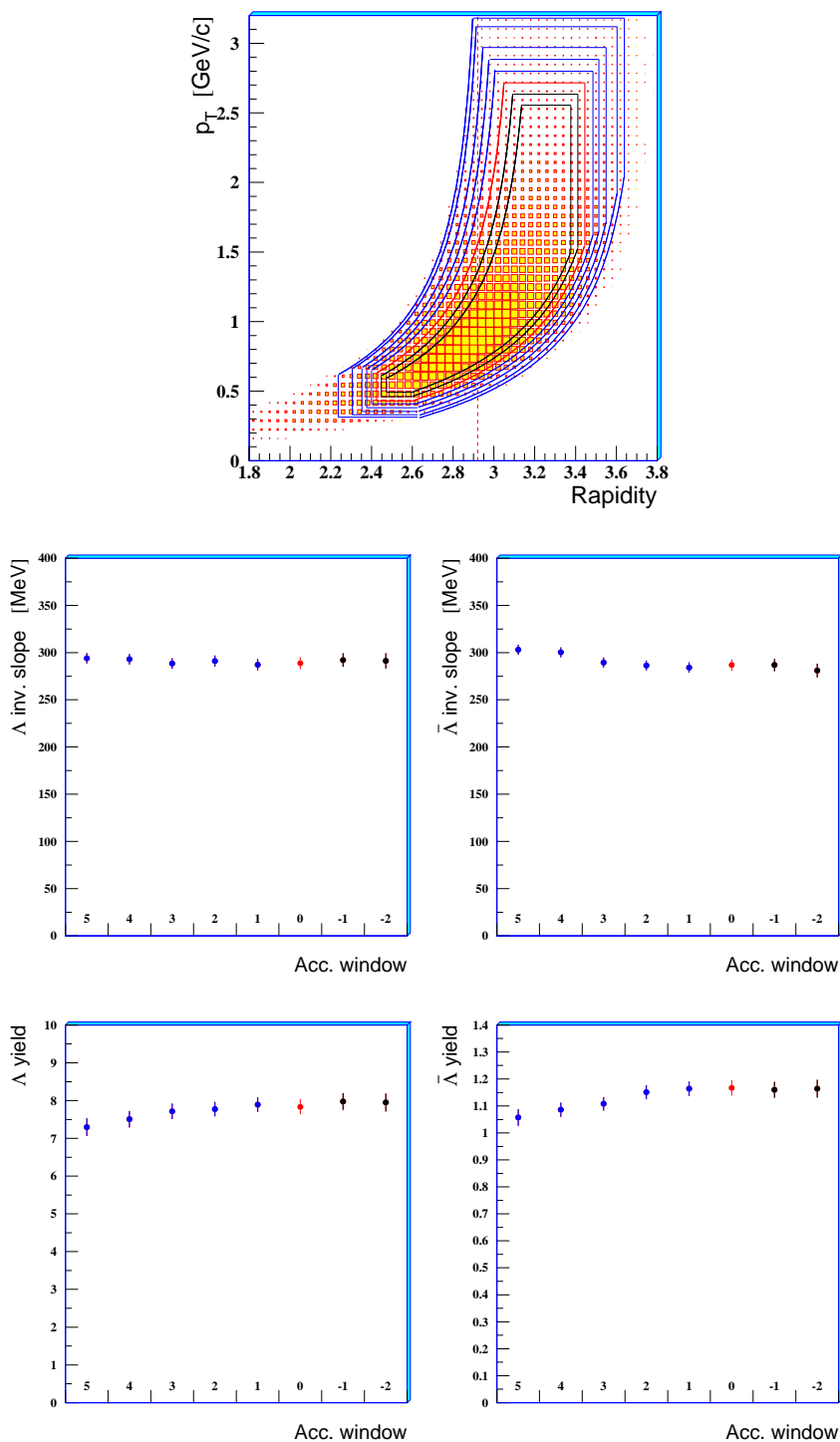


Figura 4.9: Dipendenza della pendenza inversa (“*inverse slope*”) degli spettri di massa trasversa e del tasso di produzione (“*yield*”) estrapolato per  $\Lambda$  e  $\bar{\Lambda}$  dalla definizione della finestra di accettazione. Diverse finestre sono state definite, a partire da quelle più esterne (in blu) cui sono state assegnate dei numeri interi decrescenti e positivi, sino a quelle più interne (in nero) cui corrispondono numeri interi negativi. Alla finestra scelta (numero 0) è assegnato il colore rosso.

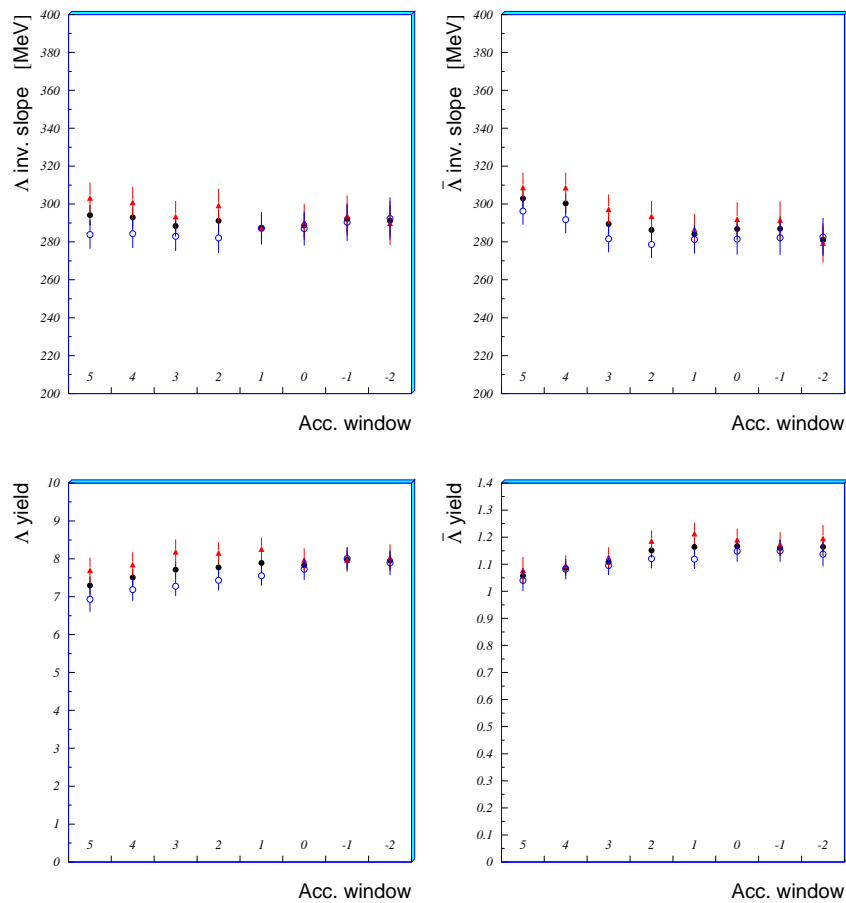


Figura 4.10: Dipendenza delle “inverse slope” (in alto) e degli “yield” (in basso) per le  $\Lambda$  (a sinistra) e le  $\bar{\Lambda}$  (a destra) in funzione delle finestre di accettazione, durante la prima metà (triangolini rossi) e la seconda metà (cerchietti blu vuoti) della presa dati e per l’intera presa dati (cerchietti neri pieni) del 1998.

la definizione della finestra di accettazione. La scelta adottata, corrispondente alla finestra

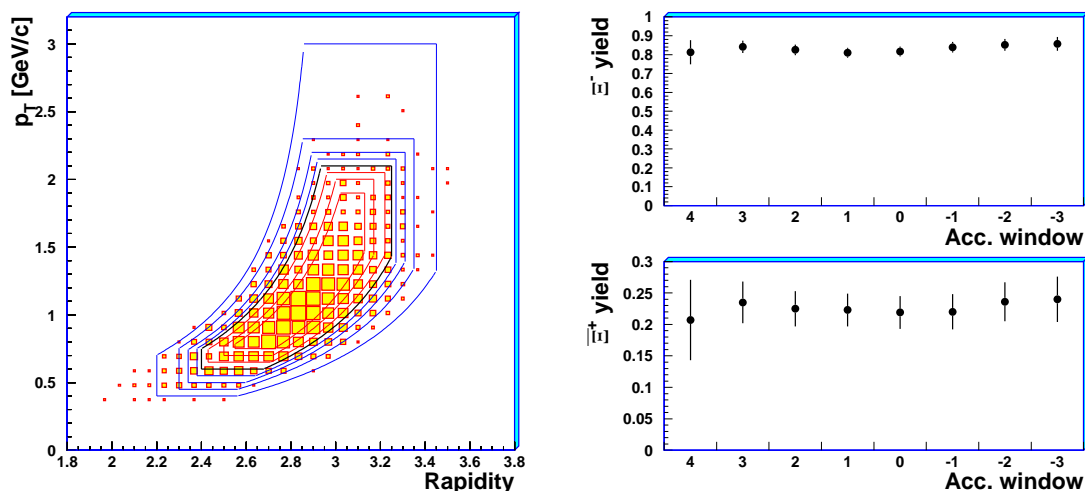


Figura 4.11: Dipendenza del tasso di produzione (“yield”) estrapolato delle particelle  $\Xi^-$  e  $\Xi^+$  dalla definizione della finestra di accettazione. Valori negativi sull’asse delle ascisse dei grafici di destra corrispondono alle finestre più interne (in rosso) sul grafico di sinistra, valori positivi a quelle più esterne (in blu). La finestra etichettata con 0, in nero, è quella adottata.

“0”, cade in una regione molto stabile, entro gli errori statistici, sia per le  $\Xi^-$  che per le  $\Xi^+$ . Sebbene la più bassa statistica non consenta ulteriori indagini, da un punto di vista qualitativo, la maggior stabilità dei risultati delle cascate rispetto a quelli delle  $\Lambda$  è probabilmente dovuta alla maggior libertà di distribuirsi nello spazio per i prodotti di decadimento della cascata (in cui vi è un doppio decadimento) rispetto a quella concessa ai prodotti di decadimento della  $V^0$ . Per una  $V^0$ , in altre parole, al crescere dell’angolo  $\theta = \arccos \frac{p_T}{p}$ , formato dall’impulso della  $V^0$  rispetto alla linea del fascio, la probabilità che i suoi prodotti di decadimento siano accettati geometricamente entro il telescopio aumenta molto più rapidamente rispetto al caso di una cascata.

In fig. 4.12 è mostrato infine lo studio analogo condotto sul campione delle  $\Omega$  raccolte nell’anno 1998. Anche in tal caso, la scelta adottata dà confidenza nella stabilità dei risultati, come per tutte le altre particelle.

Questo approccio funziona bene quando la densità di particelle nella finestra che si vuole definire è sufficientemente elevata; invece nel caso di campioni con basso numero di particelle,

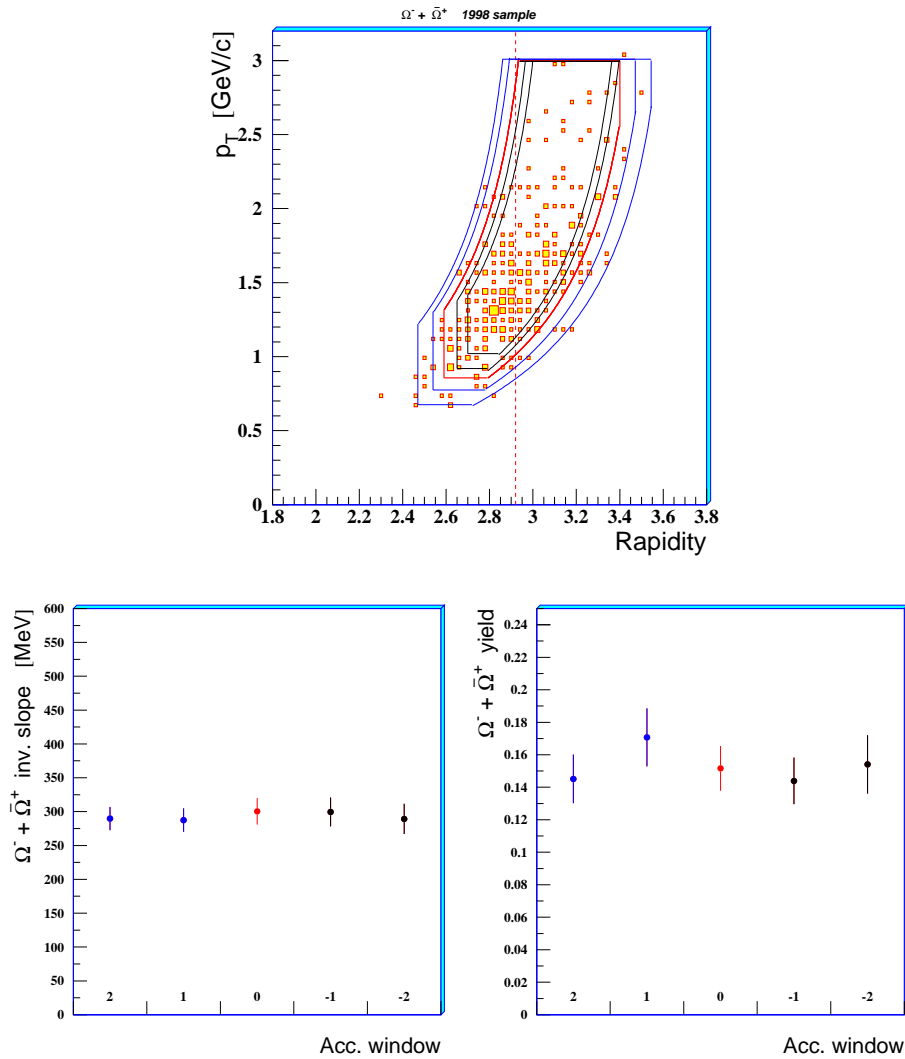


Figura 4.12: Stabilità delle pendenze inverse (“*inverse slope*”) degli spettri di massa trasversa e dei tassi di produzione (“*yield*”) estrapolati, al variare della definizione della finestra di accettazione per il campione di  $\Omega^-$  e  $\bar{\Omega}^+$  dell’anno 1998. Valori negativi sull’asse delle ascisse corrispondono alle finestre più interne, valori positivi a quelle più esterne.

spesso non si è in grado di valutare in modo obiettivo se alcune zone sono spopolate perché effettivamente la produzione è inferiore in quella regione o perché essa ha bassa efficienza.

### Determinazione della finestra di accettazione per via Monte Carlo

Si consideri ad esempio il campione delle  $\bar{\Omega}^+$  raccolte nel 2000, che ha pur consistenza statistica superiore a quello del 1998, e la cui distribuzione nel piano  $(y_\Omega, p_T)$  è mostrata in fig. 4.13. Si immagini di definire diverse finestre di accettazione, come nel caso delle altre specie considerate, ad esempio quelle disegnate nella fig. 4.13: si comprende facilmente che il passaggio dall'una all'altra è accompagnato da notevoli fluttuazioni statistiche dovute a quelle *poche* particelle, cui sono associate *elevate* correzioni, che vengono incluse od escluse. Inoltre, quando la densità è bassa, nel definire la finestra di accettazione si può incrementare o diminuire la superficie della stessa, in modo non obiettivo, senza che il numero di particelle racchiuse al suo interno varii apprezzabilmente, ed il tasso di produzione varierà di conseguenza. Infine, con il precedente approccio, vi è il rischio

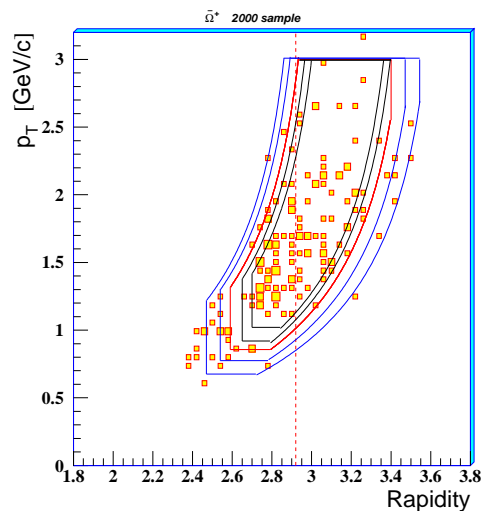


Figura 4.13: Distribuzione nel piano  $y_\Omega$ - $p_T$  delle  $\bar{\Omega}^+$  raccolte nella presa dati del 2000. Le finestre sovrapposte rappresentano possibili scelte per la definizione della regione fiduciale (si veda il testo per la discussione).

di eliminare quelle regioni del piano in cui vi è una minor popolazione, escludendole semplicemente dalla finestra di accettazione, senza però accertarsi se ciò è dovuto a bassa efficienza, nel qual caso l'esclusione può essere legittima, oppure perché lì le particelle

non vengono prodotte tanto abbondantemente quanto atteso, nel qual caso si perdono importanti informazioni. Potrebbe ad esempio nascere tale dubbio nel caso delle  $\bar{\Omega}^+$  nella regione intorno a  $(y_{\Omega} \approx y_{cm}, p_T \approx 1.0 \text{ GeV}/c)$ , in cui si osserva uno spopolamento della distribuzione.

Per superare queste difficoltà si sono generate delle  $\Omega^-$  e delle  $\bar{\Omega}^+$  con il Monte Carlo, assumendo una distribuzione *uniforme* nel piano  $y_{\Omega}-p_T$ , nell'intervallo di valori di  $p_T$   $[0.5 \text{ GeV}/c, 3.4 \text{ GeV}/c]$ . Mentre il limite inferiore dell'intervallo tiene conto del limite imposto dall'accettanza geometrica del telescopio, quello superiore è applicato solo perché non si ha speranza di misurare le distribuzioni di  $\Omega$  reali oltre  $p_T \approx 3 \text{ GeV}/c$ , in quanto la loro produzione è (esponenzialmente) soppressa con  $p_T$ . Come nel caso del calcolo delle correzioni, gli "hit" rilasciati dai prodotti carichi di decadimento sono stati introdotti in eventi di fondo, e quindi i nuovi eventi ibridi sono stati processati con ORHION. Si sono infine applicati i criteri di selezione dell'analisi per ricostruire il campione delle particelle generate. In tal modo si è ottenuta una misura della "funzione di risposta"  $F(y_{\Omega}, p_T)$  del telescopio e dei programmi di ricostruzione per le particelle  $\Omega$ , funzione che fornisce la probabilità di ricostruire una  $\Omega^-$  od una  $\bar{\Omega}^+$  di dato impulso trasverso e rapidità. In fig. 4.14 è mostrato il risultato della simulazione: muovendosi dal centro della finestra, in cui si ha la maggior efficienza (zona in nero), verso le regioni esterne di efficienza via via più bassa, ciascun cambiamento di colore corrisponde ad una diminuzione del 12.5% rispetto all'efficienza massima. È quindi possibile definire delle curve di livello, sulle quali l'efficienza globale di rivelazione e ricostruzione è costante. Si ottiene in tal modo un criterio obiettivo per la definizione della finestra di accettanza; ad esempio nella fig. 4.14, la finestra in nero è stata tracciata in modo tale da escludere le zone in cui l'efficienza sia inferiore a circa il 30% dell'efficienza massima. Questo metodo è stato sino ad ora sviluppato solo per le  $\Omega$  nella configurazione del 2000, ma sarà presto esteso per rifinire la definizione della finestra di accettanza di tutti i campioni di bassa statistica (cascate a 40 GeV/c,  $\Omega$  del 1998).

Le finestre di accettanza definite per l'analisi delle diverse particelle prodotte nelle collisioni Pb-Pb a 160 e 40 A GeV/c sono mostrate in fig. 4.15. I risultati delle  $\Omega^-$  ed  $\bar{\Omega}^+$  a 160 A GeV/c che si presenteranno in questo capitolo sono stati ottenuti unendo il campione del 1998 e quello del 2000, assumendo la miglior finestra determinata per il solo campione del 1998, ma innalzando il valore minimo di  $p_T$  in corrispondenza del segmento blu in fig. 4.15 (al valore 1.15 GeV/c). La finestra delle  $\Lambda$  a 40 GeV è preliminare e verrà utilizzata solo per determinare il rapporto  $\frac{\bar{\Lambda}}{\Lambda}$  a questa energia. La finestra delle  $\Omega$  a 40 GeV è stata assunta, anch'essa in modo preliminare, coincidente con quella delle  $\Xi$  alla stessa energia, in attesa della determinazione per via Monte Carlo, in quanto vi rientrano tutte le 39 particelle raccolte.

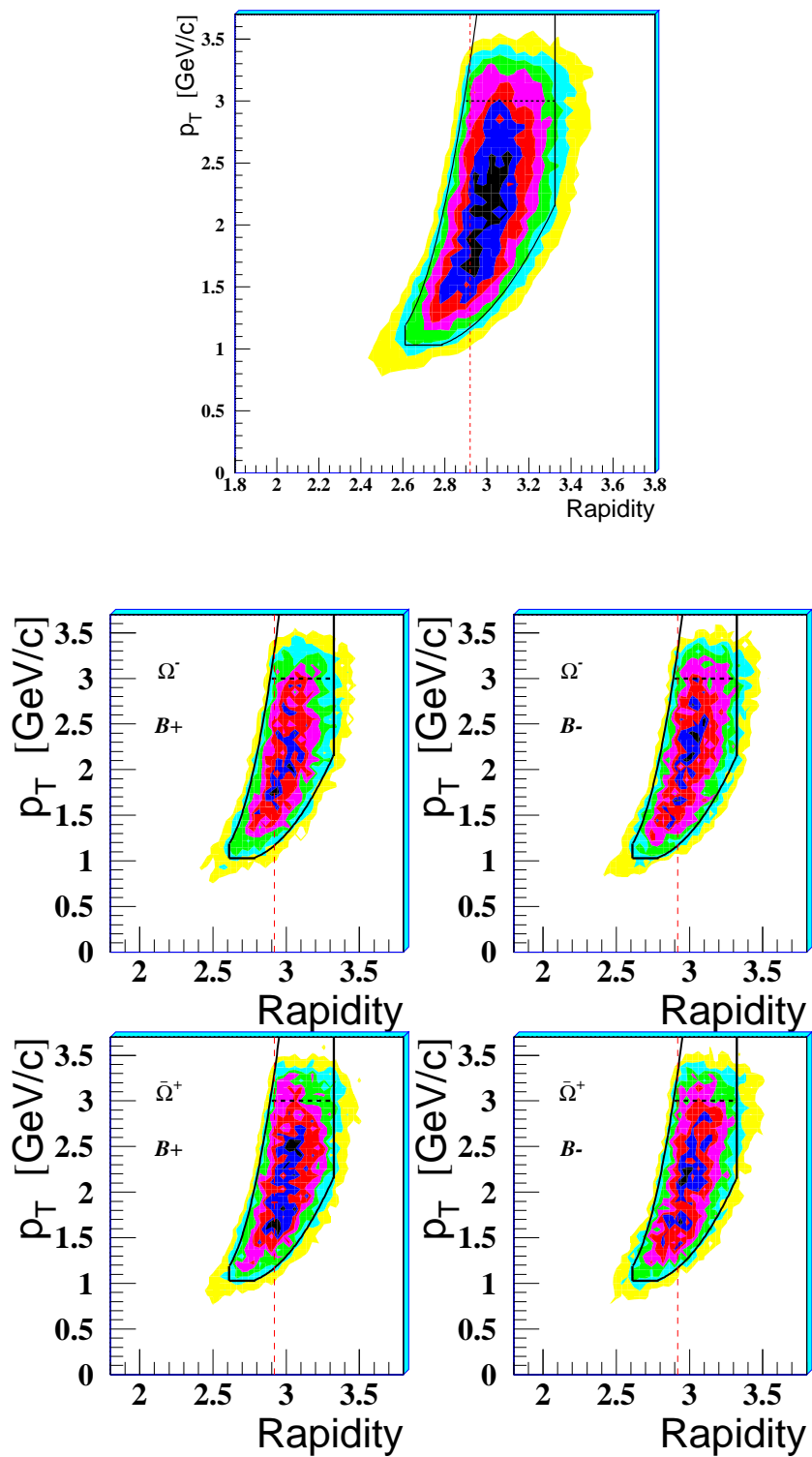


Figura 4.14: Risultati per la distribuzione nel piano  $(y, p_T)$  delle  $\Omega$  generate con la simulazione Monte Carlo nella disposizione sperimentale dell'anno 2000. Il grafico in alto si riferisce all'unione del campione di  $\Omega^-$  ed  $\bar{\Omega}^+$  generate. I quattro grafici in basso alle diverse combinazioni  $\Omega^-$ ,  $\bar{\Omega}^+$  e polarità del campo magnetico. La curva nera definisce la miglior finestra di accettazione determinata con questo studio, che ben si adatta a tutti i cinque grafici.

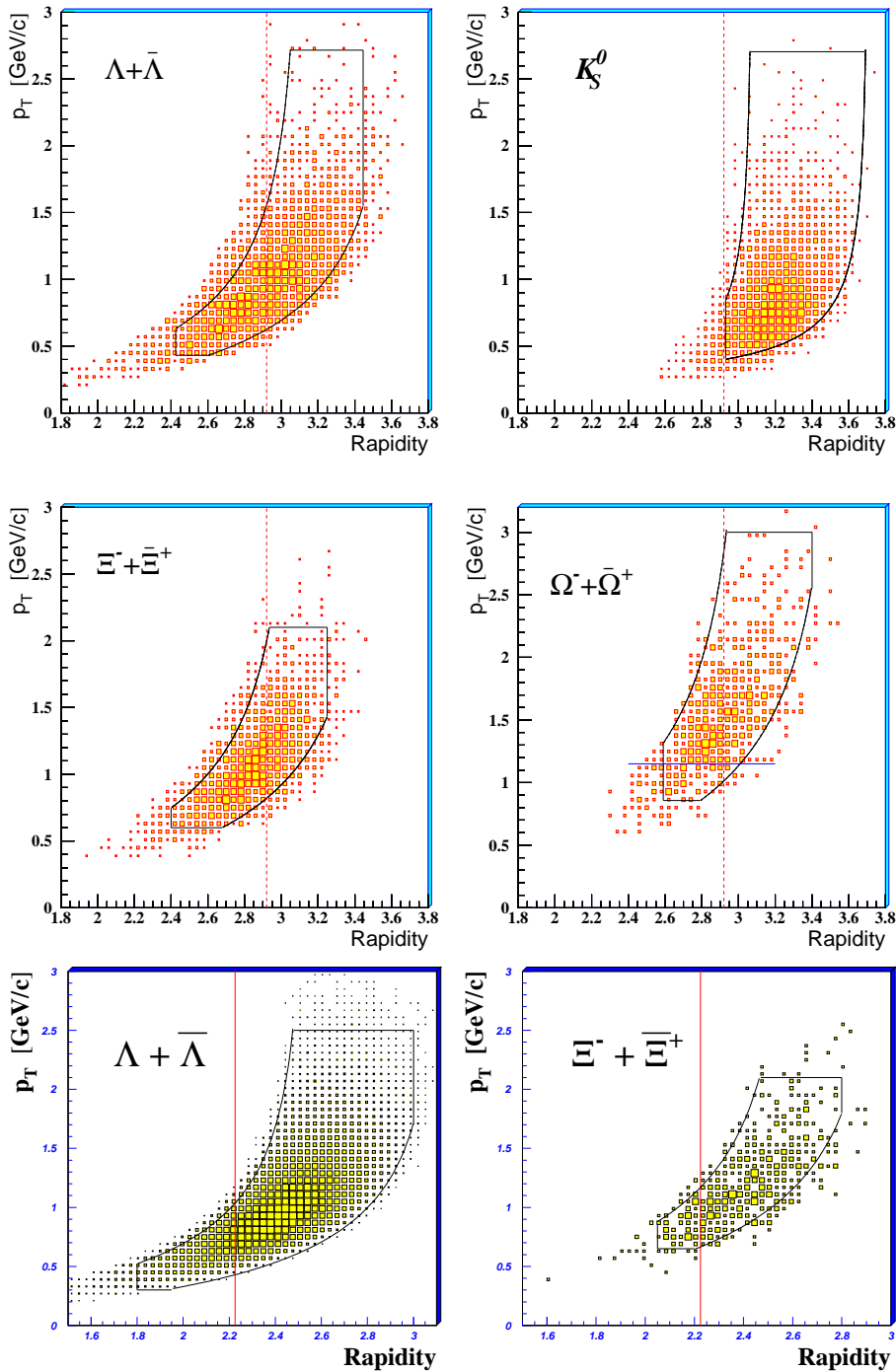


Figura 4.15: Finestre di accettazione delle particelle strane nelle collisioni Pb-Pb a 160 A GeV/c (i quattro grafici più in alto) e nelle collisioni Pb-Pb a 40 A GeV/c (i due grafici in basso). A tutti gli iperoni mostrati sono stati sovrapposti i relativi anti-iperoni. Le linee rosse verticali rappresentano la rapidità del centro di massa.

## 4.5 Determinazione della centralità della collisione

La descrizione dettagliata del metodo adoperato dall'esperimento NA57 per la determinazione della centralità della collisione è presentata in [35]. Si ritiene utile riassumere qui brevemente i concetti più importanti ed i risultati che saranno poi utilizzati per analizzare la produzione di stranezza in funzione della centralità della collisione.

Nel *paragrafo 2.4.2* sono stati descritti i rivelatori di molteplicità a micro-strip (MSD). La determinazione sperimentale della molteplicità di particelle cariche prodotte in una collisione avviene a partire dal conteggio delle particelle cariche campionate dalle due stazioni di questi rivelatori negli intervalli di pseudo-rapidità, rispettivamente,  $2 < \eta < 3$  e  $3 < \eta < 4$ . La copertura azimuthale è di circa il 30% per ciascuna stazione. Ogni “*strip*” fornisce un segnale analogico proporzionale al rilascio di energia in essa; la molteplicità di “*hit*” nei rivelatori viene calcolata con un algoritmo che tiene conto, oltre che del numero di *cluster*<sup>10</sup>, anche dell'energia totale depositata, della sottrazione del rumore elettronico e di una piccola correzione per i doppi “*hit*”. Si valuta quindi la contaminazione delle interazioni che avvengono in aria o negli altri materiali lungo la linea di fascio, considerando i *run* speciali eseguiti senza bersaglio (contaminazione di “*empty target*”); tale contaminazione viene sottratta dalla distribuzione sperimentale. Si considera ulteriormente una correzione dovuta ai raggi  $\delta$  (più precisamente alla coda di più alta energia di questi) prodotti principalmente nel passaggio in aria degli ioni che non hanno interagito nel bersaglio, dell'ordine dell'1%. Per ottenere la molteplicità di particelle cariche nell'intervallo di pseudo-rapidità  $2 < \eta < 4$ , si corregge infine, con una simulazione Monte Carlo, la distribuzione della molteplicità di “*hit*” per accettazione geometrica, risposta del rivelatore (cioè per efficienza, doppi “*hit*”, condivisione di carica tra “*strip*” contigue), interazioni secondarie e conversioni di raggi  $\gamma$ . Nel grafico di sinistra della fig. 4.16 è mostrata la distribuzione di particelle cariche nelle collisioni Pb-Pb a 160 A GeV/*c* calcolata con il metodo appena descritto. In fig. 4.17 è mostrata la distribuzione di molteplicità di “*hit*” misurata in collisioni Pb-Pb a 40 A GeV/*c*; il contributo dell'*empty target* corrisponde alla curva in rosso nella stessa fig. 4.17. Per entrambe le distribuzioni, la soppressione di eventi a bassa molteplicità è dovuta al trigger di centralità operato dagli scintillatori a petali.

Il trigger d'interazione *CU1* è studiato per selezionare i soli urti centrali tra i nuclei di piombo; la frazione della sezione d'urto anelastica totale  $\sigma_I$  cui gli eventi selezionati dal trigger corrispondono può essere calcolata tramite la relazione:

$$\frac{\sigma_{trig}^{exp}}{\sigma_I} = \frac{\lambda_I}{L} \left[ \left\langle \frac{CU1}{BEAM DT} \right\rangle \right] \quad (4.5)$$

<sup>10</sup>Un cluster è definito come l'insieme delle “*strip*” contigue sopra soglia.

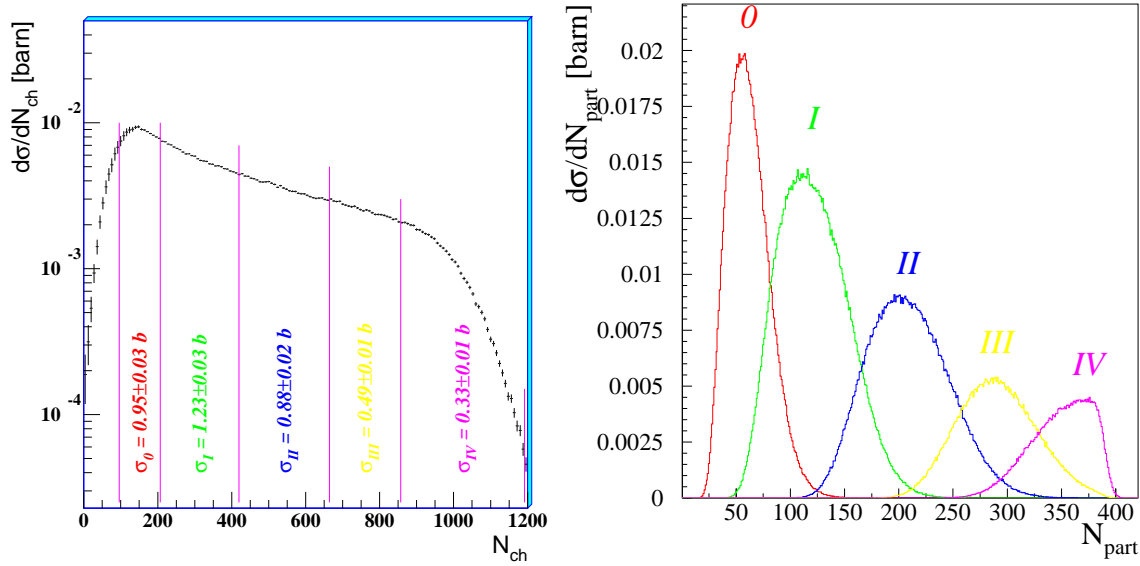


Figura 4.16: *A sinistra*: distribuzione della molteplicità di particelle cariche nelle collisioni Pb-Pb a 160 A GeV/c; i cinque intervalli in cui è divisa la distribuzione definiscono le cinque classi di centralità. *A destra*: distribuzione del numero di nucleoni partecipanti nelle cinque classi di centralità definite in termini di molteplicità di particelle cariche.

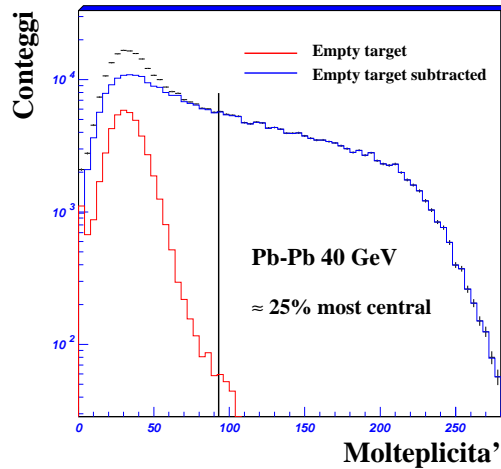


Figura 4.17: Distribuzione della molteplicità di “hit” nell’interazione Pb-Pb a 40 A GeV/c col contributo della contaminazione di “empty target” (curva in rosso). I risultati presentati in questa tesi si riferiscono al 25% delle collisioni più centrali.

dove  $L$  è lo spessore del bersaglio,  $\lambda_I$  è la lunghezza d'interazione anelastica ed il termine tra parentesi quadre contiene le medie, fatte su tutta la presa dati, dei conteggi dei corrispondenti livelli di trigger e misura la frequenza di interazione. Esso rappresenta il rapporto tra il numero di eventi selezionati ( $CU1$ ) e quello degli ioni del fascio contati escludendo il tempo morto ( $BEAM \overline{DT}$ ). Risulta che la sezione d'urto selezionata  $\sigma_{trig}^{exp}$  vale  $4.15 \pm 0.11$  barn nelle collisioni Pb-Pb a 160 A GeV/ $c$  e  $4.07 \pm 0.16$  barn in quelle Pb-Pb a 40 A GeV/ $c$ , corrispondendo quindi a circa il 60% della sezione d'urto totale anelastica  $\sigma_I$  per entrambe le energie.

La distribuzione di molteplicità viene descritta nell'ambito del modello dei nucleoni partecipanti (*cfr. paragrafo 1.4.2*). Si assume che la molteplicità di particelle cariche sia proporzionale (in media) al numero di nucleoni partecipanti, calcolato con il modello di Glauber (*cfr. paragrafo 1.3.3* ed appendice A):

$$\langle N_{ch} \rangle = qN_{part}.$$

Fissato il parametro d'impatto  $\mathbf{b}$  dei due nuclei, il valor medio del numero di nucleoni partecipanti è fornito dall'eq. A.9 e la dispersione del numero di particelle cariche prodotte è calcolabile come:

$$\sigma_{N_{ch}}^2 = q^2 \sigma_{N_{part}}^2 + N_{part} \sigma_q^2 + (\sigma_{N_{ch}}^{exp})^2 \quad (4.6)$$

dove  $\sigma_{N_{part}}$  è la dispersione del numero di nucleoni partecipanti per fissato parametro d'impatto — quantità che viene valutata con una simulazione Monte Carlo del modello di Glauber — e  $\sigma_q$  quella del numero di particelle cariche per nucleone partecipante. La dispersione  $\sigma_q$  viene valutata dalle informazioni sulle collisioni p-p e risulta proporzionale alla molteplicità di particelle cariche (cioè  $\sigma_q = aq$ ) [134]; all'energia dell'SPS e per  $2 < \eta < 4$  risulta  $a \simeq 1$ . L'ultimo addendo nel secondo membro dell'eq. 4.6 è la dispersione sperimentale dovuta al campionamento nella misura di  $N_{ch}$ .

La sezione d'urto differenziale per collisioni anelastiche Pb-Pb, che viene approssimata ai dati sperimentali con una procedura di “*best fit*”, assume la seguente espressione:

$$\frac{d\sigma_{an}^{Pb-Pb}}{dN_{ch}}(N_{ch}) = \int d\mathbf{b} [1 - P(0, \mathbf{b})] \times \frac{1}{\sqrt{2\pi}\sigma_{N_{ch}}} \exp \left\{ -\frac{[N_{ch} - q \langle N_{part}(\mathbf{b}) \rangle]^2}{2\sigma_{N_{ch}}^2} \right\} \quad (4.7)$$

dove il termine  $[1 - P(0, \mathbf{b})]$  è la probabilità di avere almeno una collisione anelastica (nucleone-nucleone) con parametro di impatto  $\mathbf{b}$ . Nella procedura di “*best fit*” è possibile ricavare sia la costante di proporzionalità  $q$ , pari al numero medio di particelle cariche prodotte per partecipante, sia la sezione d'urto selezionata dal trigger  $\sigma_{trig}^{fit}$  <sup>11</sup>. Per le

<sup>11</sup>La sezione d'urto può anche essere fissata a priori ponendola pari a quella sperimentale ( $\sigma_{trig}^{exp}$ ).

collisioni Pb-Pb a 160 A GeV/c risulta:  $q = 2.62 \pm 0.03_{-0.05}^{+0.02}$ ,  $\sigma_{trig}^{fit} = 4.42 \pm 0.14_{-0.07}^{+0.15}$  barn; per quelle a 40 A GeV/c:  $q = 1.43 \pm 0.01$ ,  $\sigma_{trig}^{fit} = 3.6 \pm 0.2$  barn. In queste espressioni, il primo errore è quello di origine statistica, il secondo (se presente) di tipo sistematico. A 40 A GeV/c si è dunque trovata una differenza del 14% tra la determinazione di  $\sigma_{trig}$  sperimentale e quella ricavata dal “best fit” alla distribuzione di molteplicità con il modello dei nucleoni partecipanti. È attualmente in corso una indagine per appurare l’origine di questa discrepanza.

Nelle collisioni Pb-Pb a 160 A GeV/c sono state definite cinque classi di centralità, corrispondenti a cinque intervalli contigui di molteplicità di particelle cariche ( $N_{ch}$ ), come mostrato in fig. 4.16; le quattro classi più centrali corrispondono con buona approssimazione alle quattro classi di centralità definite nell’esperienza WA97 (cfr. paragrafo 1.5.3) e sono state indicate con gli stessi numeri romani *I*, *II*, *III* e *IV*, dove la *IV* classe è quella delle collisioni più centrali. In aggiunta, è stato possibile definire una nuova classe più periferica, cui corrisponde un numero medio di nucleoni partecipanti  $\langle N_{part} \rangle = 62$ , che verrà indicata col numero arabo 0. Le distribuzioni del numero di nucleoni partecipanti per le diverse classi di centralità sono mostrate nella parte destra della fig. 4.16. In tab. 4.4 sono riassunti i risultati del modello dei nucleoni partecipanti per le diverse classi di centralità nelle collisioni Pb-Pb a 160 A GeV/c.

Classe	$N_{ch}$	$\sigma_{trig}^{exp}$ [barn]	$\langle N_{part} \rangle$	Larghezza	$\langle b \rangle$ [fm]
0	$96.0 < N_{ch} < 206.6$	$0.95 \pm 0.03$	$62 \pm 4$	$_{-26}^{+22}$	$10.43 \pm 0.14$
I	$206.6 < N_{ch} < 419.8$	$1.23 \pm 0.03$	$121 \pm 4$	$_{-42}^{+37}$	$8.57 \pm 0.12$
II	$419.8 < N_{ch} < 664.0$	$0.88 \pm 0.02$	$209 \pm 3$	$_{-49}^{+41}$	$6.30 \pm 0.09$
III	$664.0 < N_{ch} < 857.1$	$0.49 \pm 0.01$	$290 \pm 2$	$_{-43}^{+38}$	$4.22 \pm 0.06$
IV	$857.1 < N_{ch} < 1191.7$	$0.33 \pm 0.01$	$349 \pm 1$	$_{-31}^{+41}$	$2.46 \pm 0.02$

Tabella 4.4: Intervalli di molteplicità di particelle cariche ( $N_{ch}$ ) e sezione d’urto sperimentale  $\sigma_{trig}^{exp}$  dopo la sottrazione della contaminazione di “empty target” nelle cinque classi di centralità definite nell’interazione Pb-Pb a 160 A GeV/c. Per ciascuna classe è riportato il numero medio di nucleoni partecipanti alla collisione  $\langle N_{part} \rangle$ , la larghezza del picco a metà altezza a destra (+) ed a sinistra (-) rispetto al valore  $\langle N_{part} \rangle$ , ed il parametro d’impatto medio  $\langle b \rangle$ .

I risultati che saranno presentati per le collisioni Pb-Pb a 40 A GeV/c si riferiscono alle collisioni più centrali che riguardano circa il 25 % delle sezione d’urto anelastica  $\sigma_I$  e corrispondono alla parte di distribuzione di molteplicità di “hit” a destra del segmento verticale in nero nella fig. 4.17. Il numero medio di nucleoni partecipanti nella regione di

centralità così selezionata risulta pari a  $\langle N_{part} \rangle = 262 \pm 17$ . L'errore associato a questa determinazione, di tipo sistematico, è pari alla differenza tra i risultati di due differenti metodi di calcolo: nel primo la frazione di sezione d'urto si ricava dalla procedura di “*best fit*” alla distribuzione sperimentale e corrisponde quindi ad un ulteriore parametro libero, nel secondo tale frazione è quella misurata sperimentalmente, secondo l'eq. 4.5; in questo secondo metodo si prescinde quindi dalla relazione di stretta proporzionalità tra la molteplicità di particelle cariche ed il numero di nucleoni partecipanti. Si terrà conto della presenza di questo errore sistematico nella discussione dei risultati nel prossimo capitolo.

## 4.6 Calcolo della produzione di particelle strane

Una volta determinata la correzione da apportare a ciascuna particella identificata e la finestra di accettazione fiduciale, il tasso di produzione di una data specie all'interno della regione cinematica selezionata può essere calcolato sommando tali correzioni e normalizzando il risultato al numero di eventi raccolti. In formule:

$$Y_{AccWin}^{\mathbf{j}} = \frac{\sum_i w_i}{\bar{N}^{\mathbf{j}}} \quad (4.8)$$

dove la sommatoria delle correzioni  $w_i$  (fornite dall'eq. 4.3) è estesa a tutte le particelle di un dato tipo che cadono all'interno delle corrispondenti regioni cinematiche e che provengono da eventi di una data classe  $\mathbf{j}$  di molteplicità: ad esempio, per la IV classe di centralità delle collisioni Pb-Pb a 160 A GeV/c,  $\mathbf{j} = IV$  e si considerando solo gli eventi per cui  $857.1 < N_{ch} < 1191.7$  (cfr. tabella 4.4). Nell'eq. 4.8, infine, il denominatore  $\bar{N}^{\mathbf{j}}$  è pari al numero di *trigger* di livello più alto *CU1* (cfr. paragrafo 2.5.1), corretto per la contaminazione di eventi di “*empty target*” nel modo di seguito discusso.

Durante la presa dati, al termine di ciascun “*burst*” vengono registrate le informazioni dei contatori di fascio (cfr. paragrafo 2.5.1). Esse si riferiscono a quantità integrate su un gran numero di proiettili incidenti, ed a partire da queste informazioni è possibile ad esempio calcolare il numero di ioni incidenti (*BEAM*) ed il numero di trigger di tipo *CU1* durante ciascun “*burst*”. Tipicamente, nelle interazioni Pb-Pb a 160 A GeV/c in un “*burst*” si contano  $1.5 \times 10^5$  *BEAM* e 2000 trigger *CU1*. Per ciascuna presa dati, viene anche estratto un campione rappresentativo (selezionando gli eventi uno ogni duecento), che non è necessario processare con ORHION, ma dei cui eventi si calcola la molteplicità di particelle cariche  $N_{ch}$ . Tali eventi sono dunque un campione rappresentativo di tutti quelli selezionati dalla condizione *CU1*, ed a partire da essi è possibile calcolare la frazione di eventi della

classe di molteplicità  $\mathbf{j}$ , pari a

$$\frac{N_{ref\ Pb1\%}^{\mathbf{j}}}{\sum_{\mathbf{j}} N_{ref\ Pb1\%}^{\mathbf{j}}},$$

dove la somma al denominatore si estende su tutte le centralità raccolte con la condizione di trigger sperimentale  $CU1$  (il denominatore è semplicemente il numero di eventi totali nel campione di riferimento, il numeratore è pari al numero di eventi nel campione di riferimento ma della sola classe  $\mathbf{j}$ , entrambi ottenuti con il bersaglio di piombo). Servendosi poi dei *run* speciali eseguiti senza bersaglio (si parla di eventi di tipo “*empty target*”), si considera il numero  $N_{Emptgt}^{\mathbf{j}}$  di eventi selezionati dal trigger  $CU1$ , se pur in assenza di bersaglio, della classe di molteplicità  $\mathbf{j}$ . Per calcolare la contaminazione *assoluta* delle interazioni non avvenute all’interno del bersaglio, durante la presa dati *con* il bersaglio, si è moltiplicata la quantità  $N_{Emptgt}^{\mathbf{j}}$  per il rapporto  $\frac{\sum BEAM^{Pb1\%}}{\sum BEAM^{Emptgt}}$  tra il numero di  $BEAM$  contati durante la presa dati degli eventi col bersaglio (cui corrisponde il numero di trigger  $\sum CU1^{Pb1\%}$ ) e quello in assenza di bersaglio (cui corrisponde il numero di trigger  $N_{Emptgt}^{\mathbf{j}}$  per la generica classe  $\mathbf{j}$ ). Il fattore di correzione  $\bar{N}^{\mathbf{j}}$  — che tiene dunque conto del numero di trigger raccolti per la classe  $\mathbf{j}$  e che è corretto per la contaminazione di eventi in cui l’interazione non ha avuto luogo nel bersaglio — assume pertanto l’espressione:

$$\bar{N}^{\mathbf{j}} = \left[ \sum CU1^{Pb1\%} \cdot \frac{N_{ref\ Pb1\%}^{\mathbf{j}}}{\sum_{\mathbf{j}} N_{ref\ Pb1\%}^{\mathbf{j}}} \right] - \left[ N_{Emptgt}^{\mathbf{j}} \cdot \frac{\sum BEAM^{Pb1\%}}{\sum BEAM^{Emptgt}} \right] \quad (4.9)$$

L’errore sulla misura del tasso di produzione entro la finestra di accettazione è calcolato come

$$\delta Y_{AccWin}^{\mathbf{j}} = \frac{\sqrt{\sum_i w_i^2 + (\delta w_i)^2}}{\bar{N}^{\mathbf{j}}}, \quad (4.10)$$

sommando cioè in quadratura l’errore statistico legato al numero di particelle presenti e l’errore sulla correzione dato dall’eq. 4.4; l’incertezza legata al numero di eventi selezionati risulta invece trascurabile.

I valori calcolati per il tasso di produzione nella finestra di accettazione delle diverse particelle (eq. 4.8) e per l’errore ad esso associato (eq. 4.10), non sono qui riportati ma verranno utilizzati nel *paragrafo 4.8*, per calcolare una quantità più significativa che non dipenda dalla particolare forma della finestra di accettazione in cui la misura è stata eseguita.

## 4.7 Distribuzioni di massa trasversa

Entro la finestra di accettazione determinata per ciascuna particella, è stato eseguito il “*best fit*” della distribuzione sperimentale, corretta con la procedura descritta nel *paragrafo 4.3*, alla funzione:

$$\frac{d^2N(m_T, y)}{dm_T dy} = f(y, m_T) = \mathcal{A}m_T \exp\left[-\frac{m_T}{T_a}\right] \quad (4.11)$$

Il “*best fit*” è stato eseguito con il metodo della massima verosimiglianza, considerando la probabilità congiunta di tutte le misure:

$$\mathcal{L} = \prod_{i=1}^N f(y_i, m_{T_i})^{w_i},$$

dove l’esponente  $w_i$  è pari al “peso” relativo alla  $i$ -esima particella misurata, di rapidità  $y_i$  e massa trasversa  $m_{T_i}$ . In tal modo la singola misura di peso  $w_i$  è trattata come  $w_i$  misure indipendenti di peso unitario. Convienne minimizzare l’opposto del logaritmo della funzione di verosimiglianza  $\mathcal{L}$ , in modo da trasformare il prodotto in una somma di logaritmi in cui gli esponenti  $w_i$  diventano fattori moltiplicativi:

$$F = -\ln \mathcal{L} = -\sum_{i=1}^N w_i \ln \{f(y_i, m_{T_i})\} \quad (4.12)$$

Si ricorda tuttavia che nel metodo della massima verosimiglianza, la funzione densità di probabilità  $f$ , da cui si assume che le misure sperimentali siano state campionate, deve essere normalizzata ad una costante ( $I(T_a) = \iint_{AccWin} f(y, m_T) dy dm_T = \text{cost}$ ). Con questo metodo non è pertanto possibile ricavare anche la costante moltiplicativa  $\mathcal{A}$  che, nella procedura di minimizzazione, viene variata di volta in volta per soddisfare la condizione di normalizzazione. Sviluppando l’eq. 4.12 e volendo normalizzare correttamente la funzione densità di probabilità, si ricava infine l’espressione:

$$F = \frac{2}{\bar{w}} \sum_{i=1}^N w_i \cdot \left[ \ln\{m_{T_i}\} - \frac{m_{T_i}}{T_a} - \ln\{I(T_a)\} \right] \quad (4.13)$$

che è stata utilizzata per la minimizzazione. Nell’eq. 4.13 la costante di normalizzazione  $I(T_a)$  è pari all’integrale della funzione  $f$  con  $\mathcal{A} = 1$  ed il fattore  $\frac{2}{\bar{w}}$ , dove  $\bar{w}$  è il valor medio dei pesi, è introdotto per valutare in modo corretto l’errore del parametro  $T_a$  del *fit*.

I risultati del “*best fit*” ottenuti con il metodo della massima verosimiglianza appena descritto sono stati sistematicamente controllati, per confronto con quelli ottenuti dal “*best fit*” con il metodo del  $\chi^2$ . I valori del  $\chi^2$  ridotto risultano distribuiti attorno ad uno, confermando la validità dell’ipotesi di distribuzione esponenziale in  $m_T$ , secondo l’eq. 4.11.

In fig. 4.18 sono mostrate le proiezioni in  $m_T$  della distribuzione sperimentale  $\frac{d^2N(m_T, y)}{dm_T dy}$  delle diverse particelle strane studiate nelle collisioni Pb-Pb a 160 A GeV/c<sup>12</sup>. Le rette sovrapposte sono proporzionali alla funzione esponenziale  $m_T \exp(-m_T/T_a)$ , con il parametro  $T_a$  ricavato dalla procedura di “best fit”. Questi grafici danno ulteriore fiducia nella validità dei risultati ottenuti.

In tab. 4.5 sono riassunti i risultati del “best fit” per il parametro  $T_a$  delle particelle strane in collisioni Pb-Pb a 160 A GeV/c. Questi risultati saranno oggetto di discussione nel prossimo capitolo insieme a quelli relativi alle collisioni Pb-Pb a 40 A GeV/c, di seguito presentati.

	<b>0-IV</b>	<b>0</b>	<b>I</b>	<b>II</b>	<b>III</b>	<b>IV</b>
$\Lambda$	$289 \pm 7$	$238 \pm 19$	$276 \pm 13$	$282 \pm 12$	$308 \pm 15$	$306 \pm 16$
$\bar{\Lambda}$	$287 \pm 6$	$271 \pm 19$	$261 \pm 11$	$286 \pm 11$	$319 \pm 15$	$296 \pm 15$
$K_S^0$	$235 \pm 8$					
$\Xi^-$	$303 \pm 11$					
$\bar{\Xi}^+$	$321 \pm 23$					
$\Omega^-$	$280 \pm 16$					
$\bar{\Omega}^+$	$324 \pm 29$					

Tabella 4.5: Parametro  $T_a$  (detto di “inverse slopes”), espresso in MeV, ottenuto dal “best fit” con il metodo della massima verosimiglianza in tutto l’intervallo (**0-IV**) e per le diverse classi di centralità nelle collisioni Pb-Pb a 160 A GeV/c. Gli errori sono solo quelli statistici.

#### 4.7.1 Cascate in Pb-Pb a 40 A GeV/c

Lo stesso metodo di analisi è stato seguito nelle collisioni Pb-Pb 40 A GeV/c in cui, sino ad ora, si sono studiate le sole cascate [130]. In fig. 4.19 sono mostrati gli spettri di massa trasversa per  $\Xi^-$ ,  $\bar{\Xi}^+$  e per il campione di  $\Omega^-$  unito a quello di  $\bar{\Omega}^+$ . Nella tab. 4.6 sono riportati i valori del parametro  $T_a$  ricavati dalla procedura di “best fit”.

### 4.8 Estrapolazione della produzione di particelle strane

L’eq. 4.8 fornisce la misura del tasso di produzione delle diverse specie nella relativa finestra di accettazione cinematica. Volendo determinare una quantità che non si riferisca

<sup>12</sup>Nell’eseguire la proiezione in  $m_T$  si tiene conto della forma della finestra di accettazione, applicando un fattore moltiplicativo a ciascun canale di  $m_T$  pari all’inverso dell’estensione in rapidità della finestra di accettazione in quel canale di  $m_T$ .

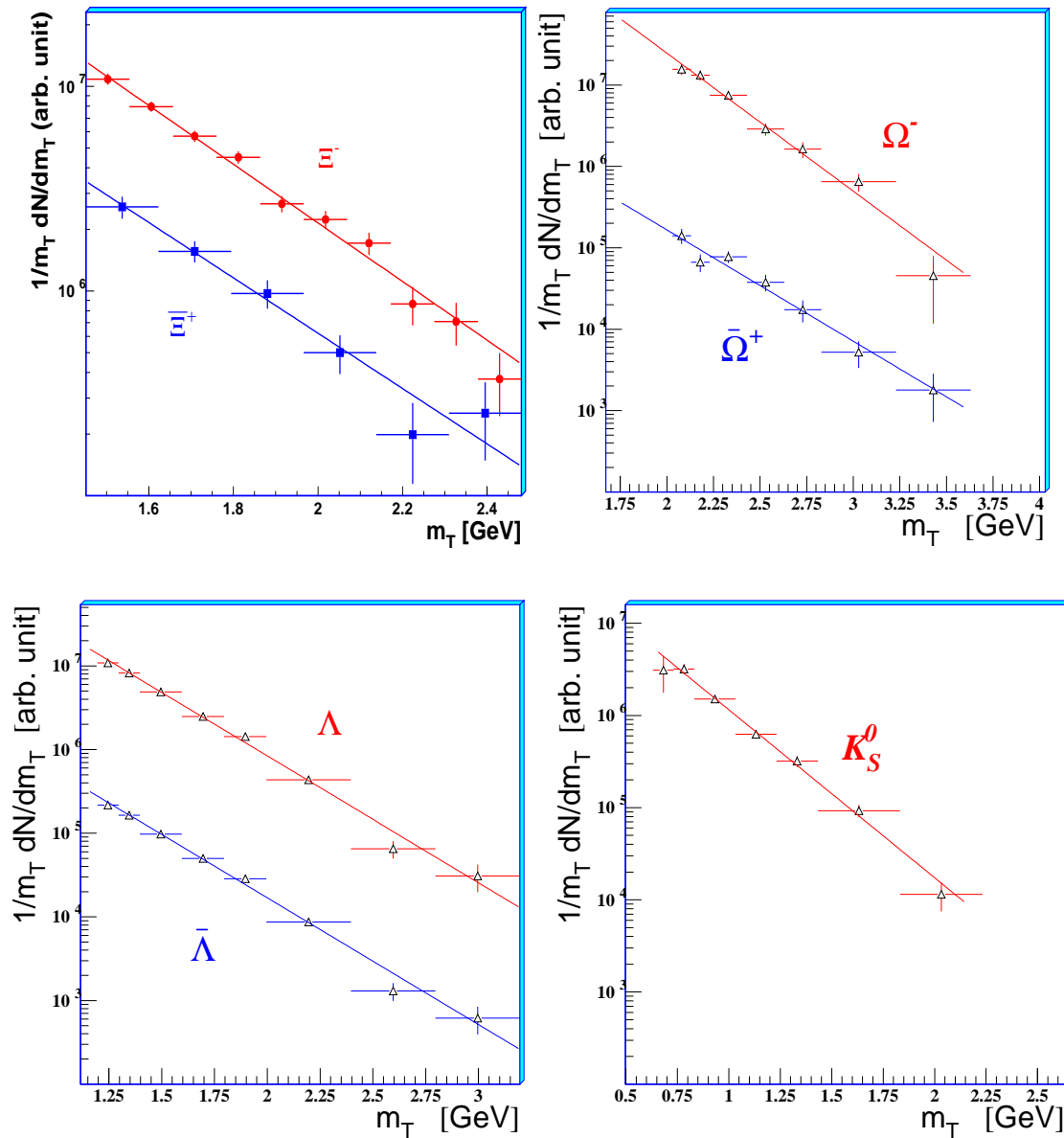


Figura 4.18: Spettri di massa trasversa per le diverse particelle strane studiate dall'esperimento NA57 nelle collisioni Pb-Pb a 160 A GeV/c. Le  $\Omega^-$  e  $\Omega^+$  sono ottenute unendo la statistica dell'anno 1998 a quella del 2000. Tutte le altre specie provengono dal solo campione del 1998. I risultati per i  $K_S^0$  sono ancora preliminari.

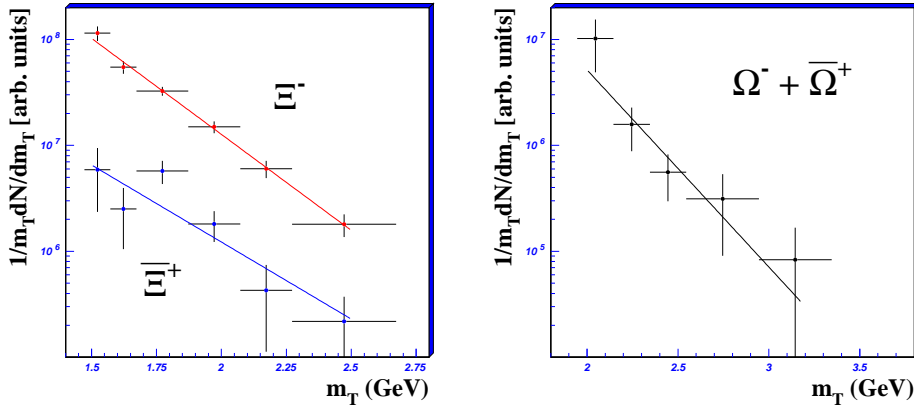


Figura 4.19: Spettri di massa trasversa nelle collisioni Pb-Pb a 40 A GeV/c per le particelle  $\Xi^-$  ed  $\Xi^+$  (a sinistra) e per l'unione dei campione di  $\Omega^-$  ed  $\bar{\Omega}^+$  (a destra).

$\Xi^-$	$228 \pm 13$
$\Xi^+$	$280 \pm 63$
$\Omega^- + \bar{\Omega}^+$	$326 \pm 66$

Tabella 4.6: Parametro di “inverse slopes”  $T_a$  (MeV) per le cascate nelle collisioni Pb-Pb a 40 A GeV/c. Gli errori riportati sono solo quelli statistici.

alla particolare finestra di accettazione utilizzata, che è differente a seconda della particella considerata e dell'interazione studiata, in modo da rendere il risultato più significativo e direttamente confrontabile tra le varie particelle e con quelli di altri esperimenti, è preferibile estrapolare i risultati ad una regione ben definita ed uguale per tutte le specie di particelle. Si sceglie quindi un'unità di rapidità attorno al valore centrale ( $y \in [y_{cm} - 0.5, y_{cm} + 0.5]$ ) e l'intero spettro di massa trasversa ( $m_T \in [m, \infty]$ ):

$$Y = I_{tot} = \int_m^\infty dm_T \int_{y_{CM}-0.5}^{y_{CM}+0.5} dy \frac{d^2 N}{dm_T dy} \quad (4.14)$$

Nel calcolare il tasso di produzione estrapolato si può pensare di utilizzare la forma analitica della funzione  $\frac{d^2 N}{dm_T dy}$  data dall'eq 4.11, che è stata determinata nel “best fit” alla distribuzione sperimentale, entro la finestra di accettazione, come discusso nel paragrafo precedente. Si ricorda però che il metodo della massima verosimiglianza, preferibile a quello

del  $\chi^2$ , determina il solo parametro  $T_a$  ma non la normalizzazione assoluta  $\mathcal{A}$ <sup>13</sup>, e quindi, operativamente, il tasso di produzione estrapolato viene misurato come:

$$Y = Y_{AccWin} \cdot S = Y_{AccWin} \cdot \frac{I_{tot}}{I_{AccWin}} \quad (4.15)$$

dove il fattore di estrapolazione  $S$  è pari al rapporto tra gli integrali calcolati in maniera analitica, a partire dalla funzione determinata dal “*best fit*” di massima verosimiglianza (ponendo arbitrariamente  $\mathcal{A} = 1$ ), sull’intero spettro di  $m_T$  entro una unità di rapidità (eq. 4.14) e sulla finestra di accettazione cinematica ( $I_{AccWin} = \iint_{AccWin} \frac{d^2N}{dm_T dy} dm_T dy$ ).

L’errore sul tasso estrapolato in questa nuova finestra è stato calcolato nel modo seguente:

$$\delta Y = [(S \cdot \delta Y_{AccWin})^2 + (\delta S \cdot Y_{AccWin})^2]^{1/2}, \quad (4.16)$$

sommando cioè in quadratura l’errore  $\delta Y_{AccWin}$  fornito dall’eq. 4.10 con quello  $\delta S = \frac{dS}{dT_a} \delta T_a$  dovuto al fattore di estrapolazione.  $\delta T_a$  indica l’errore nella determinazione del parametro  $T_a$ , calcolato durante la procedura di “*best fit*”, e la derivata  $\frac{dS}{dT_a}$  è stata calcolata facendo variare di una quantità molto piccola, nell’eq. 4.11, la temperatura apparente risultante dal “*best fit*”.

I valori dei tassi di produzione estrapolati per le particelle strane prodotte in collisioni Pb-Pb a 160 e 40 A GeV/c sono riportate in tab. 4.7. I valori per le collisioni a 160 GeV/c si riferiscono, in questa tabella, all’insieme delle cinque classi di centralità (0 + I + II + III + IV), quelli a 40 GeV/c all’unica classe definita nel *paragrafo 4.5* (pari alle interazioni più centrali per circa il 25% della  $\sigma_I$ ). Nel calcolo dell’extrapolazione del tasso di produzione delle cascate a 40 A GeV/c si è considerato un parametro  $T_a$  comune per le particelle e le rispettive antiparticelle, pari al valore ricavato eseguendo il “*best fit*” sul campione di particelle unito a quello delle rispettive anti-particelle (cioè  $\Xi^- + \bar{\Xi}^+$  ed  $\Omega^- + \bar{\Omega}^+$ ). Tutto ciò allo scopo di ridurre l’errore di estrapolazione associato a quello della determinazione del parametro  $T_a$ , molto elevato in particolare per le anti-particelle. I valori per le  $\Omega^-$  e le  $\bar{\Omega}^+$  riportati nella tab. 4.7, sono quelli presentati alla conferenza “*Quark Matter 2002*” [135] e sono stati calcolati con una “*inverse slope*”  $T_a = 251 \pm 19$  pari a quella misurata dall’esperimento WA97 per le  $\Omega^- + \bar{\Omega}^+$  [28]. Eseguendo l’extrapolazione con la  $T_a$  relativa al campione di  $\Omega^- + \bar{\Omega}^+$  misurata da NA57 ( $T_a = 293 \pm 14$ ), si ottengono dei tassi estrapolati per le  $\Omega$  inferiori del 18% a quelli riportate nella tab. 4.7, in conseguenza del più piccolo fattore di estrapolazione  $S = 5.86$ , che si ottiene con la nuova  $T_a$ .

In tab. 4.8 sono mostrati i tassi di produzione estrapolati per le particelle strane prodotte

<sup>13</sup>Il “*best fit*” con il metodo del  $\chi^2$ , fornendo invece sia  $T_a$  che  $\mathcal{A}$ , permette di calcolare il tasso estrapolato direttamente per via analitica, con l’eq. 4.14.

<b>Pb-Pb 160 A GeV/c</b>					
		<i>Y</i>	<i>S</i>		
$K_S^0$		$9.0 \pm 0.6$	3.38		
$\Lambda$		$7.8 \pm 0.2$	2.63		
$\bar{\Lambda}$		$1.17 \pm 0.03$	2.63		
$\Xi^-$		$0.819 \pm 0.026$	3.39		
$\bar{\Xi}^+$		$0.220 \pm 0.014$	3.44		
$\Omega^-$		$0.118 \pm 0.011$	7.14		
$\bar{\Omega}^+$		$0.054 \pm 0.007$	7.14		
<b>Pb-Pb 40 A GeV/c</b>					
		<i>Y</i>	<i>S</i>		
		$1.21 \pm 0.09$	5.2		
		$0.076 \pm 0.017$	5.2		
		$0.071 \pm 0.036$	4.3		
		$0.020 \pm 0.010$	4.3		

Tabella 4.7: Tasso di produzione delle particelle strane e fattore  $S$  di estrapolazione nelle collisioni Pb-Pb a 160 e 40 A GeV/c.

in collisioni Pb-Pb a 160 A GeV/c nelle cinque classi di centralità definite in NA57.

Per comodità sono anche riportati il numero medio di nucleoni partecipanti relativi a ciascuna classe ed i valori misurati dall'esperimento WA97 nelle collisioni p-Be alla stessa energia [87, 136]. L'estrapolazione per tutte le particelle è eseguita adoperando l' "inverse

	<b>p-Be</b>	<b>Pb-Pb</b>				
$\langle N_{par} \rangle$	2.5	62	121	209	290	349
$K_S^0$	—	$2.96 \pm 0.54$	$7.17 \pm 0.85$	$15.2 \pm 2.4$	$19.6 \pm 2.4$	$25.3 \pm 3.5$
$\Lambda$	$0.0344 \pm 0.0005$	$2.30 \pm 0.22$	$5.19 \pm 0.29$	$9.5 \pm 0.5$	$15.0 \pm 0.8$	$18.5 \pm 1.1$
$\bar{\Lambda}$	$0.0111 \pm 0.0002$	$0.417 \pm 0.035$	$0.82 \pm 0.04$	$1.60 \pm 0.07$	$1.84 \pm 0.10$	$2.47 \pm 0.14$
$\Xi^-$	$0.0015 \pm 0.0001$	$0.200 \pm 0.024$	$0.51 \pm 0.04$	$0.98 \pm 0.06$	$1.78 \pm 0.11$	$1.88 \pm 0.14$
$\bar{\Xi}^+$	$0.00068 \pm 0.0001$	$0.031 \pm 0.009$	$0.16 \pm 0.02$	$0.31 \pm 0.04$	$0.40 \pm 0.05$	$0.48 \pm 0.07$
$\Omega^-$	—	$0.024 \pm 0.016$	$0.064 \pm 0.013$	$0.17 \pm 0.03$	$0.22 \pm 0.04$	$0.31 \pm 0.07$
$\bar{\Omega}^+$	—	$0.013 \pm 0.008$	$0.031 \pm 0.010$	$0.065 \pm 0.015$	$0.11 \pm 0.03$	$0.16 \pm 0.04$
$\Omega^- + \bar{\Omega}^+$	$0.00016 \pm 0.00006$	$0.037 \pm 0.017$	$0.095 \pm 0.017$	$0.23 \pm 0.03$	$0.33 \pm 0.05$	$0.47 \pm 0.07$

Tabella 4.8: Tasso di produzione delle particelle strane nelle collisioni p-Be (misurati da WA97) e Pb-Pb (misurati da NA57) a 160 A GeV/c in funzione del numero medio di nucleoni partecipanti alla collisione.

slope"  $T_a$  ottenuta dall'unione delle cinque classi di centralità, ad esclusione del caso delle  $\Lambda$  e  $\bar{\Lambda}$  in cui è stato possibile adoperare i valori misurati in ciascuna classe. Inoltre, per le  $\Omega^-$  e le  $\bar{\Omega}^+$  si è assunta nuovamente la temperatura misurata da WA97. L'andamento dei tassi di produzione in funzione del numero di nucleoni partecipanti è mostrato nella fig. 4.20.

Questi risultati saranno oggetto di discussione nel prossimo capitolo.

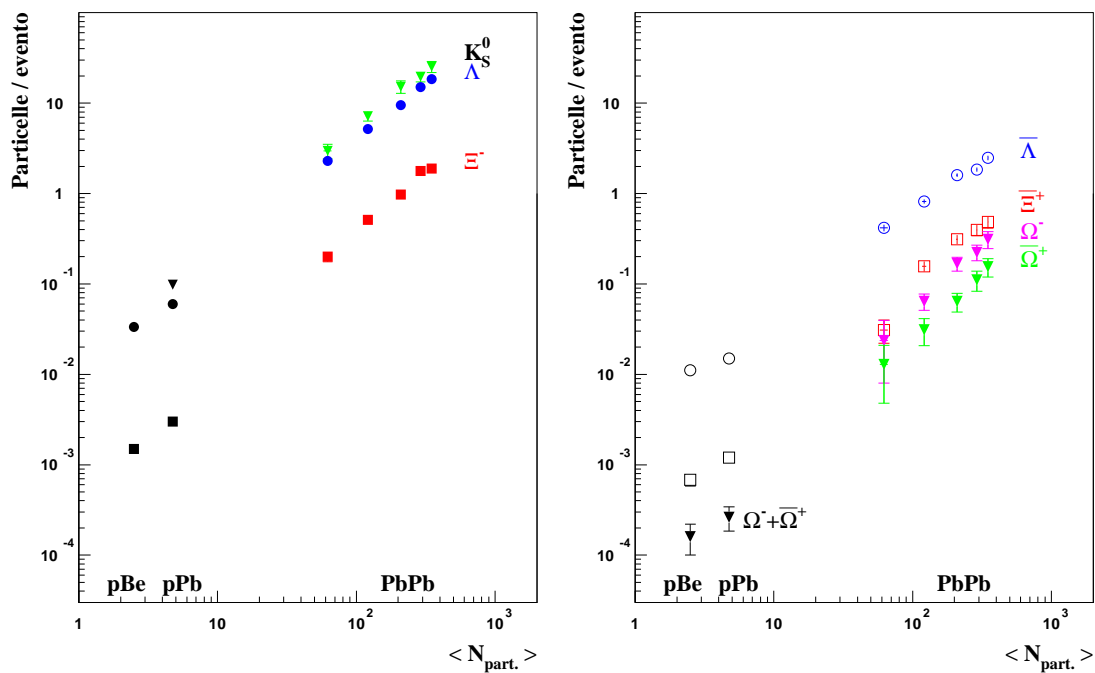


Figura 4.20: Tasso di produzione delle particelle strane in funzione del numero di nucleoni partecipanti in collisioni p-Be, p-Pb e Pb-Pb a 160 A GeV/c. I dati delle collisioni di riferimento p-Be e p-Pb sono quelli misurati dalla collaborazione WA97 [136, 137]. Nel grafico di destra sono raggruppate le particelle che non condividono alcun quark di valenza con quelli originariamente presenti nei nuclei incidenti (quark  $u$  e  $d$ ). I punti p-Be e p-Pb delle  $\Omega$  di WA97 si riferiscono al campione di  $\Omega^-$  unito a quello di  $\bar{\Omega}^+$ .



# Capitolo 5

## Discussione dei risultati

### 5.1 Introduzione

In questo capitolo si discuteranno i risultati ottenuti dall'analisi della produzione di particelle strane in collisioni Pb-Pb a 160 ed a 40 A GeV/ $c$  discussa nel capitolo precedente. Si discuteranno i risultati sulle temperature apparenti <sup>1</sup>, con particolare riferimento alla simmetria tra particelle e relative anti-particelle ed alla dipendenza dall'energia della collisione.

Da un'analisi simultanea di tutti gli spettri di massa trasversa delle particelle strane si disaccoppierà la componente termica da quella dovuta al flusso trasverso di espansione collettiva.

Saranno presentati e discussi i rapporti di produzione delle particelle strane.

Si studierà l'incremento della produzione di particelle strane in funzione della centralità, rispetto a quanto atteso nelle collisioni adroniche in assenza di plasma, confrontando i dati delle collisioni di riferimento p-Be e p-Pb di WA97.

Si studierà infine la dipendenza dall'energia della collisione, confrontando i risultati con quelli dell'esperimento STAR al RHIC.

### 5.2 Spettri di massa trasversa

#### 5.2.1 Temperature apparenti in collisioni Pb-Pb a 160 A GeV/ $c$

Lo studio degli spettri di impulso delle particelle prodotte in collisioni tra nuclei pesanti fornisce indicazioni circa il raggiungimento dell'equilibrio termico locale nella sorgente.

---

<sup>1</sup>In questo capitolo la temperatura apparente verrà indicata con  $T_{app}$ , anziché con  $T_a$ , per renderla più agevolmente distinguibile dalla temperatura di "freeze-out"  $T$ .

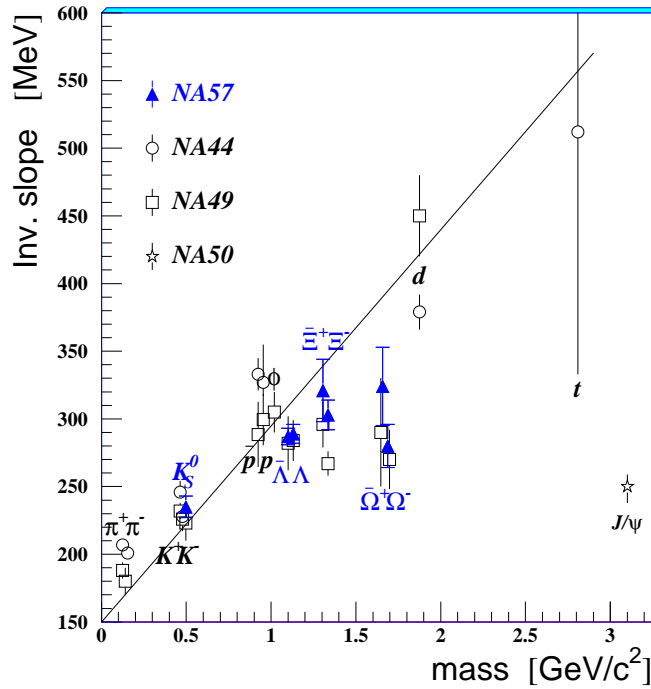


Figura 5.1: Temperature apparenti misurate in collisioni Pb-Pb a 160 A GeV/c in funzione della massa a riposo delle particelle. I triangoli blu sono i valori determinati per le particelle strane in quest'analisi; i cerchietti, i quadratini e le stelline nere sono, rispettivamente, i risultati degli esperimenti NA44, NA49 ed NA50 (si veda il testo per le referenze relative alle diverse specie). La linea rappresenta un'approssimazione lineare ai risultati forniti dal modello RQMD [39] per le particelle non-strane.

In fig. 5.1 è mostrata una compilazione dei più recenti risultati sulle pendenze inverse degli spettri di massa trasversa ottenute da “best fit” con la funzione esponenziale del tipo  $dN/dm_t \propto m_t \exp[-m_T/T_{app}]$ . Le temperature apparenti (“inverse slope”) sono rappresentate in funzione della massa della particella considerata.

I dati della collaborazione NA49 provengono dalle seguenti referenze:  $\pi^-$ ,  $K^-$  e  $K^+$  da [138];  $K_S^0$  da [139];  $\pi^+$ , p e  $\bar{p}$  da [140];  $\phi(1020)$  da [141];  $\Lambda$  e  $\bar{\Lambda}$  da [142];  $\Xi^-$  e  $\Xi^+$  da [143];  $\Omega^-$  e  $\bar{\Omega}^+$  da [144]; deutrone da [145].

Quelli della collaborazione NA44 sono stati raccolti dalle seguenti referenze:  $\pi^-$ ,  $\pi^+$ ,  $K^-$ ,  $K^+$ , p e  $\bar{p}$  da [146]; deutrone e tritone da [147]. Il punto ad  $m = 3.1 \text{ GeV}/c^2$  si riferisce alla determinazione di NA50 [47] di uno spettro termico per lo stato di charmonio  $J/\psi$ .

L'errore riportato è il più grande tra quello statistico e quello sistematico, quando quest'ultimo viene valutato.

Si osserva in generale un aumento della temperatura apparente con la massa delle particelle. Questo comportamento è atteso in uno scenario in cui il moto termico sia accompagnato da un'espansione collettiva nella direzione trasversa del sistema, come discusso nel *paragrafo 1.4.2*. Nel limite non relativistico, cioè per  $p_t \ll m_0$ , si attende infatti la semplice relazione lineare  $T_{app} = T + m_0 \langle \beta_{\perp}^2 \rangle$ , fornita dall'eq. 1.33. Questa semplice relazione non permette però di ricavare informazioni *quantitative* su  $T$  e  $\langle \beta_{\perp}^2 \rangle$  separatamente, in quanto solo per pochi punti degli spettri da cui sono state estratte le  $T_{app}$  si è ancora in regime non-relativistico. Pur con queste limitazioni, si osserva che le particelle strane si discostano rispetto dall'andamento di semplice linearità, che in fig. 5.1 è indicato servendosi di un'approssimazione lineare ai risultati del modello di produzione adronica RQMD [39] a partire dalle sole particelle non strane. Un simile comportamneto per le particelle strane è già stato osservato dalla collaborazione WA97 [28]. Ancora maggiore è lo scostamento dalla linearità per la temperatura apparente della  $J/\psi$ , misurata da NA50.

A riguardo dei risultati del deutrone e del tritone, bisogna tuttavia osservare che queste particelle sono probabilmente prodotte successivamente, rispetto alle altre: dovrebbero infatti formarsi prevalentemente nelle interazioni dello stato finale tra nucleoni trasportati dal flusso.

È incoraggiante osservare che i diversi esperimenti misurano temperature apparenti compatibili tra le stesse particelle (ad eccezione dei  $\pi^{\pm}$  in cui però vi è la complicazione dei decadimenti delle risonanze), e che si osservano valori generalmente compatibili tra le particelle e le rispettive antiparticelle.

### 5.2.2 “Freeze-out” termico

Nella descrizione idrodinamica dell'evoluzione spazio-temporale delle collisioni, gli spettri di massa trasversa sono sensibili al flusso trasverso della materia adronica.

Per caratterizzare il flusso, gli spettri di massa trasversa possono essere descritti dalla funzione [148, 149]:

$$\frac{d^2N}{m_T dy dm_T} \propto m_T \cdot K_1 \left( \frac{m_T \cosh \rho}{T} \right) \cdot I_0 \left( \frac{p_T \sinh \rho}{T} \right) \quad (5.1)$$

dove  $K_1$  ed  $I_0$  sono due funzioni di Bessel (modificate) e  $\rho = \operatorname{arctanh} \beta_{\perp}$ . Questa espressione è ricavata nell'appendice A della referenza [148], a partire da un sorgente termica in cui prima si definisce (utilizzando “l'angolo di *boost*”  $\rho = \operatorname{arctanh} \beta_{\perp}$ ) un campo di velocità trasversali, a simmetria azimuthale, nella fettina centrale della “*fireball*” (cioè per

$x = 0$ ):  $u^\nu(\tilde{t}, r, x = 0) = (\cosh \rho, 0, \vec{e}_r \sinh \rho)$ . Si esegue quindi un “*boost*” nella direzione longitudinale (con “angolo di *boost*”  $\eta$ ) per generare completamente il campo di velocità <sup>2</sup>:

$$u^\mu(\rho, \eta) = (\cosh \rho \cosh \eta, \cosh \rho \sinh \eta, \vec{e}_r \sinh \rho). \quad (5.2)$$

Questa descrizione permette la scelta di diversi profili per la velocità del flusso trasverso; ad esempio la scelta  $\beta_\perp(r) = \beta_s(\frac{r}{R})^2$  è la più prossima alla soluzione idrodinamica <sup>3</sup>. L’espressione analitica data dall’eq. 5.1 si riferisce invece al caso più semplice di profilo uniforme:  $\beta_\perp(r) = \beta_\perp = \text{cost.}$  In [148] si mostra come la forma del profilo influenzi poco i risultati dell’analisi.

I parametri del modello sono dunque la temperatura  $T$  del “*freeze-out*” e la velocità del flusso trasverso  $\beta_\perp$ . Si consideri lo spettro di massa trasversa di una data specie di particella; esso può venir descritto da un insieme di coppie di valori  $(\beta_\perp, T)$ . Tenendo conto degli errori associati a questa determinazione, ciascuno spettro di massa trasversa individua una regione fiduciale nel piano  $\beta_\perp$ - $T$ . Soltanto l’analisi di più spettri, per particelle di diversa massa, permette quindi di separare in modo non ambiguo il contributo termico da quello associato al flusso trasverso.

Un fit simultaneo della funzione 5.1 a tutti gli spettri di massa trasversa delle particelle strane misurati in questo lavoro per le collisioni Pb-Pb a 160 A GeV/ $c$ , fornisce i seguenti valori:

$$T = 155 \pm 8 \text{ MeV}$$

$$\beta_\perp = 0.41 \pm 0.02$$

con  $\chi^2/ndf = 37/42$ . In fig. 5.2 è mostrato il risultato del “*best fit*” per i diversi spettri di massa trasversa delle particelle strane. Il modello descrive in modo eccellente i dati sperimentali di tutte le particelle strane,  $\Xi$  ed  $\Omega$  incluse, perlomeno negli intervalli di  $m_T$  considerati. È stato suggerito da diversi autori [150, 151] che le  $\Xi$  ed in particolare le  $\Omega$  possano disaccoppiarsi prima rispetto alle altre specie (cioè il “*freeze-out*” sarebbe anticipato). I risultati qui trovati non danno indicazioni in questa direzione. Per quanto concerne le  $\Omega$ , assume quindi notevole interesse studiare il comportamento degli spettri sperimentali di massa trasversa per  $m_T$  prossimo ad  $m_0$ . È pertanto in corso uno studio in tal senso, volto ad estendere la regione fiduciale di accettazione verso valori i più piccoli possibile di  $m_T$ . Si ricordi che la regione a bassi valori di  $m_T$  è la più delicata per quel che

<sup>2</sup>Si ricorda che “gli angoli di *boost*”  $\eta$  e  $\rho$  sono pari al coseno iperbolico del fattore  $\gamma$  di Lorentz della rispettiva trasformazione.

<sup>3</sup>In questa espressione si assume una “*fireball*” di raggio  $R$  in cui il flusso assume il massimo valore sulla superficie, dove è pari a  $\beta_s$ .

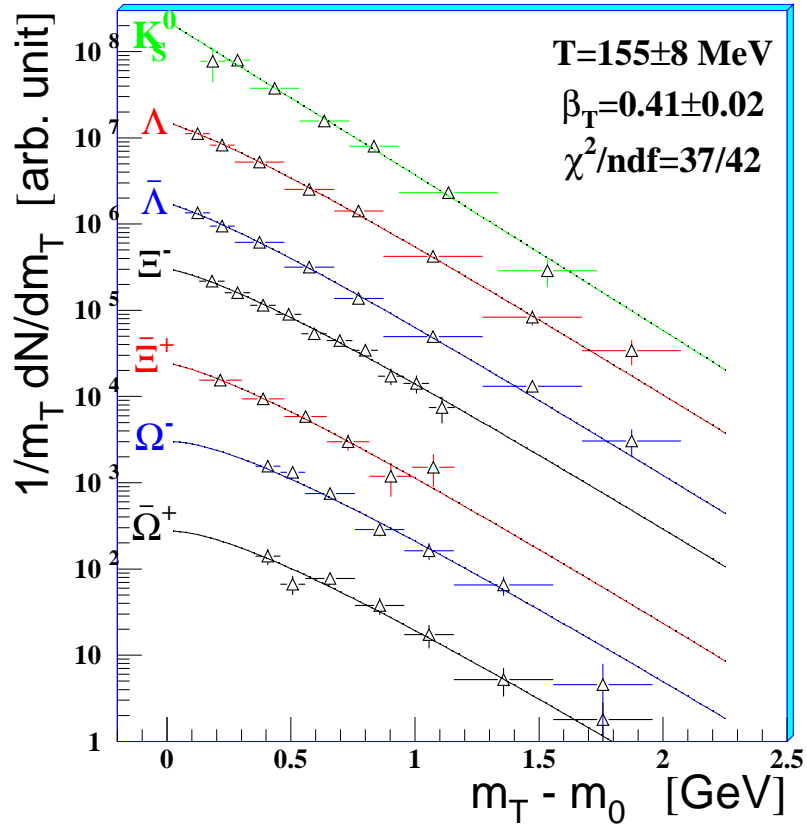


Figura 5.2: Spettri di massa trasversa delle particelle strane in collisioni Pb-Pb a 160 A GeV/c. Le curve sovrapposte sono il risultato del “best fit” dell’eq. 5.1 ai punti sperimentali.

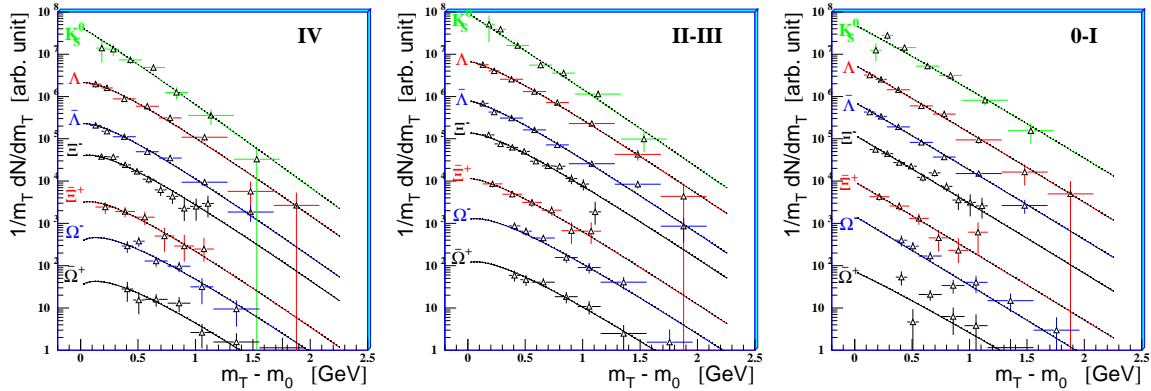


Figura 5.3: Spettri di massa trasversa in collisioni Pb-Pb a 160 A GeV/c per diverse classi di centralità. Le curve sovrapposte sono il risultato del “best fit” dell’eq. 5.1 ai punti sperimentali. Nella tab. 5.2 sono riportati i valori dei parametri del “best fit”.

riguarda il calcolo delle correzioni, come discusso nel *paragrafo 4.4*.

Gli spettri di massa trasversa sono stati successivamente divisi in due gruppi: nel primo sono contenute quelle particelle che condividono almeno un quark di valenza in comune con quelli  $u$  e  $d$  originariamente presenti nei nuclei collidenti, nell'altro le particelle che non hanno alcun quark in comune. I  $K_S^0$  sono stati inclusi nel primo gruppo in quanto, come “combinazione” di  $K^0(d\bar{s})$  e  $\bar{K}^0(\bar{d}s)$ , “contengono” un 50% di quark  $d$ . In tab. 5.1 sono riassunti i risultati del “*best fit*” eseguito separatamente sugli spettri del primo gruppo e su quelli del secondo. La temperatura di “*freeze-out*” e la velocità del flusso trasverso sono

	$T$ (MeV)	$\beta_{\perp}$	$\chi^2/ndf$
$K_S^0, \Lambda, \Xi^-$	$154 \pm 9$	$0.41 \pm 0.02$	15.1/19
$\bar{\Lambda}, \Xi^+, \Omega^-, \bar{\Omega}^+$	$156 \pm 16$	$0.40 \pm 0.04$	23.2/21

Tabella 5.1: Temperatura di “*freeze-out*” e velocità trasversa ottenuti dal “*best fit*” dell’eq. 5.1 agli spettri di massa trasversa delle particelle strane. Le particelle sono state divise tra quelle che contengono almeno un quark di valenza in comune con i nucleoni preesistenti entro i nuclei interagenti (quark  $u$  e  $d$ ) e quelli che non hanno alcun quark in comune.

compatibili entro gli errori sperimentali, confermando la simmetria tra il settore barionico e quello anti-barionico, già evidenziata dallo studio delle temperature apparenti. L’assenza di un’asimmetria negli spettri di massa trasversa tra i barioni e gli anti-barioni strani, appurata ad un elevato livello di precisione già nella misura delle temperature apparenti, rappresenta un’evidenza sperimentale molto importante. Suggerisce infatti un meccanismo di produzione comune per i barioni e gli anti-barioni strani, come atteso nel caso in cui la sorgente primaria di queste particelle sia una “fireball” di QGP (*cfr. paragrafo 1.5.2*). Per conservare questa simmetria, si deve anche escludere la possibilità di sostanziali interazioni all’interno della materia in fase adronica che dovrebbe formarsi con l’adronizzazione dello stato di QGP. Ciò può avvenire [152] o per mezzo di un improvviso disaccoppiamento delle particelle dalla “fireball” di QGP, successivo ad un considerevole surraffreddamento, oppure per un processo di evaporazione degli adroni dalla superficie, sequenziale nel tempo, senza la formazione di una fase adronica dell’intero volume. Questa simmetria tra particelle ed anti-particelle non viene invece riprodotta dai modelli di trasporto, in cui si introducono i gradi di libertà degli adroni confinati.

Un’altra possibile direzione d’indagine è la dipendenza dei parametri del “*freeze-out*” dalla centralità della collisione. Le particelle sono quindi state raggruppate nuovamente con le anti-particelle e divise per classi di centralità. Per ragioni di convenienza statistica, si sono

raggruppate la classe di centralità 0 con quella *I* e la classe *II* con la *III* (*cfr.* tab. 4.4). In fig. 5.3 è mostrato il risultato del “*best fit*” eseguito separatamente per le tre nuove classi di centralità così definite. I risultati dei parametri del “*best fit*” sono riportati nella tab. 5.2. Al diminuire della centralità della collisione (cioè all’aumentare del parametro d’impatto)

	$T$ (MeV)	$\beta_{\perp}$	$\chi^2/ndf$
<i>IV</i>	$132 \pm 13$	$0.46 \pm 0.03$	37.4/41
<i>II-III</i>	$145 \pm 9$	$0.43 \pm 0.02$	50.0/42
<i>0-I</i>	$250 \pm 10$	$\approx 0 \pm 0.2$	50.3/41

Tabella 5.2: Dipendenza della temperatura di “*freeze-out*” e della velocità del flusso trasverso dalla centralità della collisione. I dati della classe di centralità *II* e *III* e quelli delle classi 0 ed *I* (*cfr. paragrafo 4.5* ed in particolare la tab. 4.4) sono stati uniti per ridurre l’errore statistico.

si osserva una diminuzione del flusso trasverso ed un aumento della temperatura finale del “*freeze-out*”. Una temperatura più elevata può esser giustificata dalla meno intensa espansione del sistema, sino al “*freeze-out*”: espandendosi meno, la materia adronica si raffredderebbe di meno. Nel caso delle collisioni più periferiche (classe *0-I*), la soluzione privilegiata è addirittura quella con flusso trasverso nullo e sola componente termica.

Osservando le figg. 5.2 e 5.3 si deduce che, per masse trasverse prossime alla massa a riposo  $m_0$  delle particelle, l’espansione trasversa introduce una curvatura concava degli spettri di massa trasversa, tanto più accentuata quanto maggiore è la massa  $m_0$ . Ciò è evidente in modo particolare nella fig. 5.3, confrontando le curve del modello determinate per la classe *0-I*, in cui non si osserva un apprezzabile flusso trasverso, con quelle per la classe *IV* in cui la velocità del flusso trasverso è pari a circa la metà della velocità della luce.

I valori ricavati in questa analisi per la classe di maggior centralità (la *IV*) sono compatibili con quelli quotati dalla collaborazione NA49 [153], in un’analisi condotta in un analogo intervallo di centralità (collisioni più centrali da circa il 5% a circa il 10% della sezione d’urto anelastica, a seconda dell’energia). L’esperimento NA49 studia infatti le collisioni Pb-Pb più centrali in funzione dell’energia della collisione (a 40, 80 e 160 A GeV/*c*) ma non ha osservato, in questo tipo di analisi, alcuna significativa dipendenza dall’energia della collisione [153]. Anche NA49 non osserva asimmetria tra il “*freeze-out*” delle particelle e quello delle anti-particelle, alle tre energie considerate.

I risultati della *IV* classe di centralità sono anche compatibili con quelli determinati, per la stessa classe di centralità, dall’analisi dell’interferometria HBT per le particelle di carica negativa (prevalentemente  $\pi^-$ ) sui dati di WA97. Quest’analisi sarà l’oggetto della

discussione dell'ultimo capitolo. In quello studio si mostrerà ulteriormente una dipendenza dalla centralità analoga, da un punto di vista *qualitativo*, a quella qui determinata.

I risultati di questo studio sembrano suggerire, nel caso delle particelle di massa a riposo più elevata, un appiattimento degli spettri di massa trasversa per valori di  $m_T$  prossimi ad  $m_0$ . Nel calcolare i tassi di produzione si è estrapolata la misura eseguita nella finestra di accettazione di ciascuna particella all'intero spettro di  $m_T$ , secondo la funzione esponenziale dell'eq. 4.11, nel modo discusso nel *paragrafo 4.8*. Supponendo pertanto che la relazione esponenziale venga violata per valori di  $m_T$  prossimi alla massa a riposo della particella, si sarebbero sistematicamente sottovalutati i tassi di produzione. È opportuno quindi stimare di quanto variano i tassi di produzione estrapolando con la funzione definita dall'eq. 5.1. La stima verrà fatta per le particelle di massa più elevata, le  $\Xi$  e le  $\Omega$ , in modo da ottenere un limite superiore nel caso delle altre particelle, in cui l'effetto, qualora fosse davvero presente, è molto minore.

Si consideri il fattore di estrapolazione:

$$S'_{exp} = \frac{\int_{m_0}^{\infty} \mathcal{A} m_T \exp\left[-\frac{m_T}{T_{app}}\right] dm_T}{\int_{m_T^{min}}^{\infty} \mathcal{A} m_T \exp\left[-\frac{m_T}{T_{app}}\right] dm_T} \quad (5.3)$$

definito come il rapporto tra l'integrale sull'intero spettro di  $m_T$  della funzione esponenziale misurata entro la finestra sperimentale (dove la  $T_{app}$  è quella misurata sperimentalmente) e quello sull'intervallo  $[m_T^{min}, \infty]$  della stessa funzione. Nell'eq. 5.3  $m_T^{min}$  è il valor minimo di  $m_T$  corrispondente al valor minimo di  $p_T$  nella finestra di accettazione:  $m_T^{min} = \sqrt{(p_T^{min})^2 + m_0^2}$ .

Si indica invece con  $S'_{blast}$  il fattore di estrapolazione che si ottiene a partire dallo spettro di massa trasversa descritto dall'eq. 5.1, nella seguente forma:

$$S'_{blast} = \frac{\int_{m_0}^{\infty} d^2N/(dy dm_T) dm_T}{\int_{m_T^{min}}^{\infty} d^2N/(dy dm_T) dm_T}. \quad (5.4)$$

Nell'eq. 5.4 i limiti d'integrazione sono gli stessi dell'eq. 5.3, ma si integra la funzione definita nel modello che prevede il moto collettivo trasverso sovrapposto al moto termico (cioè l'eq. 5.1), anziché la semplice funzione esponenziale.

Si osservi che le definizioni qui date per il fattore di estrapolazione, eq. 5.3 ed eq. 5.4, differiscono da quella usata nel *paragrafo 4.8* (eq. 4.15), in cui si opera anche l'integrazione sulla variabile rapidità nella finestra di accettazione sperimentale.

Nel caso di  $\Xi^-$  e  $\Xi^+$ ,  $m_T^{min}$  è pari a circa 1.45 GeV/c<sup>2</sup> e risulta  $S'_{exp} = 1.421$  per le  $\Xi^-$  ed  $S'_{exp} = 1.389$  per le  $\Xi^+$ ; per entrambe le particelle risulta  $S'_{blast} = 1.354$ . La differenza tra i

due possibili metodi di estrapolazione è del 5% nel caso delle  $\Xi^-$ , e del 2.5% nel caso delle  $\Xi^+$ .

Nel caso delle  $\Omega$ , in questa analisi  $m_T^{min}$  è pari a circa 2.03 GeV/c<sup>2</sup> e risulta quindi  $S'_{exp} = 2.86$  se calcolato con  $T_{app} = 293$  MeV, che è il valore della temperatura apparente misurato per il campione di  $\Omega^- + \bar{\Omega}^+$ . Il modello fornisce invece un fattore di estrapolazione più piccolo,  $S'_{blast} = 2.30$ . Ciò vuol dire che un'estrapolazione a partire dai risultati ottenuti da questo modello fornirebbe un tasso estrapolato inferiore dell'20% rispetto a quelli calcolati estrapolando con la funzione  $\mathcal{A}m_T \exp(-m_T/T_{app})$ . Si ricordi tuttavia che in questa analisi l'estrapolazione è stata eseguita servendosi della temperatura apparente misurata da WA97, come discusso nel *paragrafo 4.8*, il che ha condotto a dei tassi estrapolati superiori del 18% rispetto a quelli che si avrebbero con la  $T_{app}$  misurata.

### 5.2.3 Dipendenza dall'energia della collisione

Nelle collisioni Pb-Pb a 40 A GeV/c, disponendo allo stato attuale dell'analisi dei soli spettri di massa trasversa delle cascate ( $\Xi$  ed  $\Omega$ ), non è ancora possibile separare in maniera quantitativa la temperatura di "freeze-out" dal flusso trasverso.

Le temperature apparenti possono però fornire una prima indicazione. Per poter confrontare in maniera consistente i dati a 160 GeV/c con quelli a 40 GeV/c si sono raggruppate le tre classi di maggior centralità definite a 160 GeV/c (*II, III, IV*). In tal modo, ad entrambe le energie, si considerano gli eventi più centrali corrispondenti a circa il 25% della sezione d'urto anelastica.

In fig. 5.4 sono mostrate le temperature apparenti misurate per  $\Xi^-$ ,  $\Xi^+$  e  $\Omega^- + \bar{\Omega}^+$  in collisioni Pb-Pb a 160 A GeV/c (quadretti vuoti blu) ed a 40 A GeV/c (quadretti pieni rossi). Entro gli errori sperimentali, anche a 40 A GeV/c, si osserva una stessa temperatura apparente per  $\Xi^-$  e  $\Xi^+$ .

Confrontando in funzione dell'energia, le  $\Xi^+$  e le  $\Omega^- + \bar{\Omega}^+$ , caratterizzate però da un maggior errore statistico, sono tra loro compatibili, mentre per la temperatura apparente delle  $\Xi^-$ , misurata con maggior precisione, si osserva una significativa ( $\approx 6\sigma$ ) diminuzione a più bassa energia. Questo risultato può essere giustificato o da un minor flusso trasverso oppure, più semplicemente, dalla minore energia iniziale disponibile nel sistema.

## 5.3 Rapporti di produzione

La misura dei rapporti di produzione fornisce informazioni riguardanti l'equilibrio chimico nella produzione delle diverse specie di particelle. Nel *paragrafo 1.5* si è evidenziata

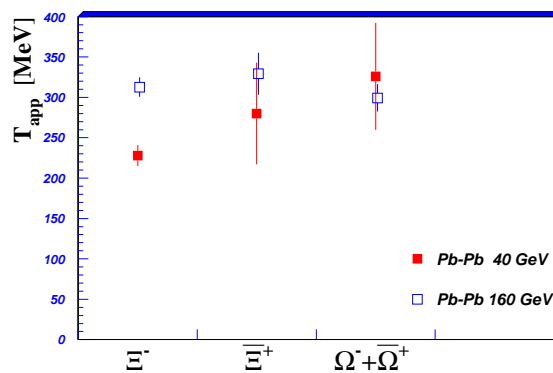


Figura 5.4: Temperature apparenti misurate per le cascate nelle collisioni Pb-Pb a 160 ed a 40 A GeV/c.

l'importanza di stabilire il grado di saturazione nella produzione di stranezza, in quanto ciò potrebbe consentire di discriminare uno scenario di produzione adronica da uno che preveda la formazione di QGP.

I rapporti di produzione, inoltre, vengono utilizzati nell'ambito di modelli termici, contenenti l'intera evoluzione dinamica delle collisioni, per determinare i parametri caratteristici della sorgente negli istanti immediatamente successivi all'urto, secondo un approccio di tipo statistico-termodinamico. Ad esempio, da un "best fit" con uno di questi modelli ai rapporti di produzione misurati da WA97 per le particelle strane ed a quelli di molte altre particelle è stata ricavata la temperatura del "freeze-out chimico" di circa 170 MeV [154].

### Rapporti di produzione in Pb-Pb a 160 A GeV/c

I rapporti di produzione riguardanti  $K_S^0$ ,  $\Lambda$ ,  $\Xi$  ed  $\Omega$  prodotte in collisioni Pb-Pb a 160 A GeV/c sono riportati in tab. 5.3. Essi sono stati ottenuti considerando i tassi di produzione calcolati nella regione di estrapolazione  $p_T > 0$  GeV/c e  $|y - y_{CM}| < 0.5$ . Gli errori riportati sono solo statistici e non includono quelli di estrapolazione.

Dai dati della tab. 5.3 si osserva un andamento crescente dei rapporti del tipo anti-particella/particella, in funzione del loro contenuto di stranezza.

Pb-Pb a 160 A GeV/c			
$\frac{\Omega^-}{\Lambda^-}$	$0.144 \pm 0.014$	$\frac{\Xi^-}{\Lambda^-}$	$0.105 \pm 0.004$
$\frac{\Omega^+}{\Lambda^+}$	$0.245 \pm 0.035$	$\frac{\Xi^+}{\Lambda^+}$	$0.188 \pm 0.013$
$\frac{\Omega^- + \Omega^+}{\Xi^- + \Xi^+}$	$0.166 \pm 0.013$	$\frac{\Xi^- + \Xi^+}{\Lambda^- + \Lambda^+}$	$0.116 \pm 0.004$
$\frac{\Lambda}{\Lambda}$	$0.150 \pm 0.005$	$\frac{\Lambda}{K_S^0}$	$0.87 \pm 0.06$
$\frac{\Lambda^+}{\Lambda^+}$	$0.269 \pm 0.019$	$\frac{\Lambda^+}{K_S^0}$	$0.13 \pm 0.01$
$\frac{\Omega^-}{\Omega^-}$	$0.46 \pm 0.07$	$\frac{\Lambda + \Lambda}{K_S^0}$	$0.997 \pm 0.07$

Tabella 5.3: Rapporti di produzione delle particelle strane nelle collisioni Pb-Pb a 160 A GeV/c. Altri rapporti sono calcolabili a partire dai valori in tab. 4.7.

### Confronto tra i rapporti di produzione in p-Be, p-Pb e Pb-Pb a 160 A GeV/c

Il calcolo della produzione di stranezza in interazioni tra nuclei pesanti assume particolare rilevanza se riferita a quella dovuta ad interazioni più semplici, quali quelle di tipo protone-nucleo. I rapporti di produzione delle particelle strane sono stati quindi confrontati con quelli misurati da WA97 nelle collisioni p-Pb [136, 137] e p-Be [136], relativi alla stessa regione di estrapolazione. Nella tab. 5.4 sono riportate le “variazioni” dei rispettivi rapporti nel passaggio da collisioni p-Pb a collisioni Pb-Pb (prima colonna) e da collisioni p-Be a collisioni Pb-Pb (seconda colonna). Queste “variazioni” sono ottenute semplicemente dividendo tra loro i rapporti nelle collisioni Pb-Pb con quelli p-Pb o p-Be.

Si può notare che, per quanto riguarda i rapporti che coinvolgono particelle con diverso contenuto di stranezza, la variazione aumenta con il contenuto di stranezza delle particelle coinvolte. L’incremento, inoltre, risulta maggiore per le anti-particelle che per le particelle. Poiché nelle normali interazioni adroniche è sfavorita la produzione di adroni multi-strani, ed ancor più quella di anti-barioni multi-strani, per via delle reazioni con scambio di *flavour*, l’incremento osservato non è compatibile con uno scenario di reazione coinvolgente unicamente collisioni tra adroni. Tale risultato è invece in linea con uno scenario che prevede la formazione e l’emissione da una sorgente di materia deconfinata.

Per quanto riguarda i rapporti del tipo anti-particella/particella, le variazioni riportate nella tab. 5.4 corrispondono ad una decrescita per le  $\bar{\Lambda}$  e le  $\bar{\Xi}^+$ , attribuibile a fenomeni di assorbimento degli anti-barioni che si manifestano in maniera maggiore nel sistema di collisione più massivo. Il rapporto relativo alle  $\Omega$ , al contrario, pur in presenza di un grande errore statistico, presenta un incremento nel passaggio da interazioni p-A a quelle Pb-Pb,

Rapporti	$E\left(\frac{Pb-Pb}{p-Pb}\right)$	$E\left(\frac{Pb-Pb}{p-Be}\right)$
$\frac{\Omega^-}{\Xi^-}$	$2.1 \pm 0.9$	
$\frac{\Omega^+}{\Xi^+}$	$6 \pm 3$	
$\frac{\Omega^- + \Omega^+}{\Xi^- + \Xi^+}$	$2.8 \pm 1.0$	$2.7 \pm 0.8$
$\frac{\bar{\Lambda}}{\Lambda}$	$2.06 \pm 0.18$	$2.34 \pm 0.18$
$\frac{\bar{\Lambda}}{\Lambda}$	$2.35 \pm 0.34$	$3.1 \pm 0.5$
$\frac{\Xi^- + \Xi^+}{\Lambda + \bar{\Lambda}}$	$2.07 \pm 0.16$	$2.37 \pm 0.17$
$\frac{\bar{\Lambda}}{\Lambda}$	$0.58 \pm 0.05$	$0.60 \pm 0.05$
$\frac{\bar{\Lambda}}{\Xi^-}$	$0.71 \pm 0.11$	$0.67 \pm 0.09$
$\frac{\bar{\Lambda}}{\Xi^+}$	$2.2 \pm 1.4$	

Tabella 5.4: Variazioni nei rapporti di produzione degli iperoni nel passaggio da collisioni Pb-Pb a collisioni p-Pb e p-Be. La variazione è calcolata dividendo il rapporto misurato in collisioni Pb-Pb con quello misurato in collisioni p-Pb o p-Be. I rapporti delle collisioni di riferimento p-A sono quelli misurati da WA97, come esposto nel testo.

probabilmente in seguito alla concomitanza di due fattori: il modesto assorbimento di  $\Omega^-$  e  $\bar{\Omega}^+$  nel mezzo adronico (nel caso Pb-Pb) e la soppressione della produzione di barioni con tre unità di stranezza in interazioni adroniche, a causa dell'alta soglia in massa (nel caso p-A).

### Rapporti di produzione in Pb-Pb a 40 A GeV/c

In tab. 5.5 sono calcolati i rapporti di produzione per  $\Xi$  ed  $\Omega$  in collisioni Pb-Pb a 40 A GeV/c. È anche riportato il valore del rapporto  $\bar{\Lambda}/\Lambda$ , sebbene non ancora corretto per accettazione ed efficienza. Questo valore fornisce infatti già una attendibile indicazione, in quanto le correzioni sui rapporti anti-particella/particella sono piccole, in virtù della simmetria tra lato destro e sinistro dei rivelatori e dell'inversione della direzione del campo magnetico eseguita durante la presa dati. Questi risultati saranno commentati nello studio in funzione dell'energia della collisione, confrontando anche con i dati dell'esperimento STAR alla più alta energia di RHIC.

Pb-Pb a 40 A GeV/c			
$\frac{\Lambda}{\Xi+\Xi^+}$	$0.0248 \pm 0.0007$	$\frac{\Omega^-}{\Xi+\Xi^+}$	$0.06 \pm 0.03$
$\frac{\Xi+\Xi^+}{\Omega^-}$	$0.063 \pm 0.015$	$\frac{\Xi+\Xi^+}{\Xi+\Xi^+}$	$0.26 \pm 0.14$
$\frac{\Omega^-}{\Xi+\Xi^+}$	$0.3 \pm 0.2$	$\frac{\Omega^-+\Omega^+}{\Xi+\Xi^+}$	$0.07 \pm 0.03$

Tabella 5.5: Rapporti di produzione delle particelle strane nelle collisioni Pb-Pb a 40 A GeV/c. Altri rapporti sono calcolabili a partire dai valori in tab. 4.7.

## 5.4 Produzione di stranezza in funzione della centralità

In fig. 4.20 è stata mostrata la dipendenza del numero di  $K_S^0$ ,  $\Lambda$ ,  $\Xi$  ed  $\Omega$  prodotte per evento (cioè i tassi di produzione estrapolati) in funzione del numero di partecipanti, nelle interazioni p-Be, p-Pb e Pb-Pb. Le barre verticali d'errore in fig. 4.20 indicano le sole incertezze statistiche.

In fig. 5.5, la produzione di ciascun tipo di particella è stata scalata in modo da porre ad uno i relativi valori per interazioni p-Be. La produzione di iperoni risulta così espressa in unità della corrispondente produzione per interazioni p-Be ed è confrontata con la linea continua proporzionale al numero di partecipanti, passante per il punto comune relativo all'interazione p-Be. Nel caso dei  $K_S^0$ , non disponendo del tasso di produzione in collisioni p-Be ma di quello in collisioni p-Pb, si sono riscaldati tutti i punti in modo che quello p-Pb si disponga sulla linea di proporzionalità.

Si può osservare che la produzione di tutte le particelle strane cresce con la centralità molto più velocemente rispetto a quanto previsto dalla semplice proporzionalità col numero di partecipanti (e quindi dal semplice effetto di sovrapposizione tra nucleoni interagenti) e questo incremento aumenta in funzione del contenuto di stranezza della particella, essendo maggiore per le  $\Omega$  rispetto alle  $\Xi$ , e per le  $\Xi$  rispetto alle  $\Lambda$  ed ai  $K_S^0$ . L'incremento delle  $\Omega$  rispetto alla crescita col numero di partecipanti, in particolare, si manifesta con più di un ordine di grandezza.

### 5.4.1 Incremento nella produzione di stranezza rispetto alle collisioni p-A

Per poter valutare in maniera quantitativa l'incremento della produzione di particelle strane, rispetto alla normale sovrapposizione di collisioni calcolata (in termini di nucleoni partecipanti) a partire dalle interazioni di riferimento (p-A), si definisce la quantità:

$$E = \left( \frac{\langle Yield \rangle}{\langle N_{part} \rangle} \right)_{Pb-Pb} / \left( \frac{\langle Yield \rangle}{\langle N_{part} \rangle} \right)_{p-Be} . \quad (5.5)$$

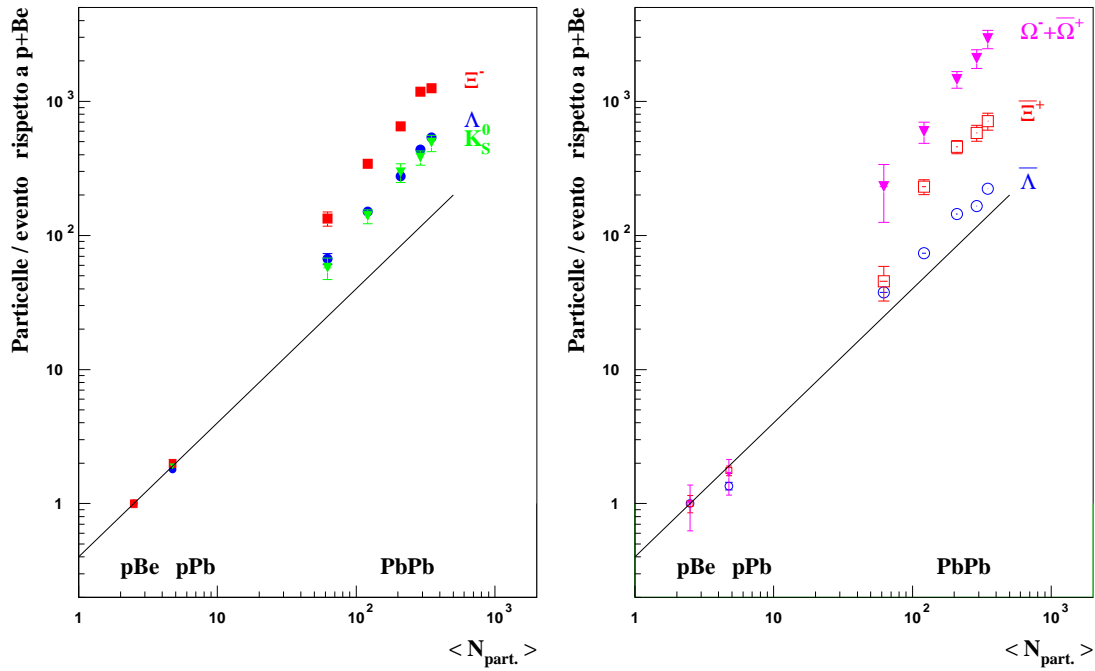


Figura 5.5: Numero di particelle per evento, in unità della corrispondente produzione osservata in collisioni p-Be, in funzione del numero di partecipanti. I punti delle interazioni di riferimento p-Be e p-Pb sono le misure della collaborazione WA97 [136, 137]. La linea continua indica la proporzionalità col numero di partecipanti. I  $K_S^0$  sono stati riscaldati in modo da disporre il punto relativo alle interazioni p-Pb sulla linea di proporzionalità, non disponendo del tasso di produzione in collisioni p-Be.

Nell'eq. 5.5 il numeratore è pari al tasso di produzione nell'intervallo di centralità considerato (eq. 4.15), diviso il numero medio di partecipanti in tale intervallo, numero calcolato col modello di Glauber come discusso nel *paragrafo 4.5*; il denominatore è il tasso di produzione misurato in collisioni p-Be diviso il numero medio di partecipanti ( $\simeq 2.5$ ) in tali collisioni. In fig. 5.6 è mostrato l'andamento dell'incremento di produzione (specifico), ora definito, in funzione del numero di nucleoni partecipanti alla collisione. Oltre agli errori statistici è riportata anche la stima attuale di quelli sistematici, in cui si tiene anche conto dell'errore di estrapolazione.

Tutti i punti rappresentativi della quantità  $E$  si trovano al di sopra della linea continua orizzontale, corrispondente ad assenza di incremento. Gli incrementi risultano crescenti con il contenuto di stranezza della particella. Il massimo incremento si osserva per la particella  $\Omega$ , con maggior contenuto di stranezza, e corrisponde ad un fattore circa 20 per

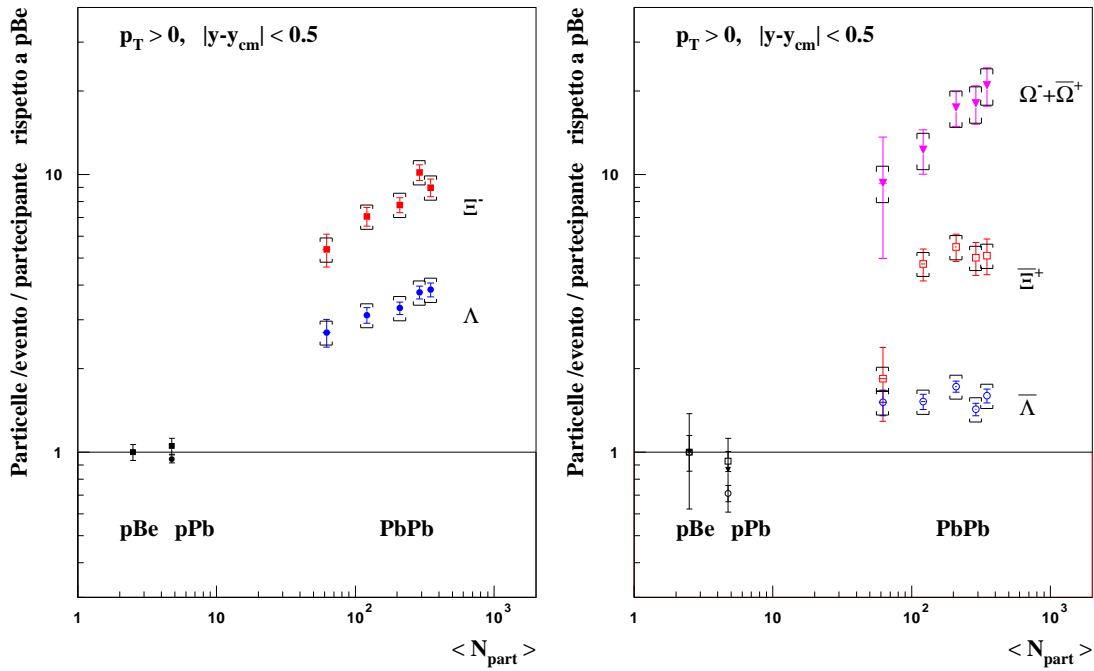


Figura 5.6: Iperoni prodotti per evento e per partecipante normalizzati a quelli dell’interazione p-Be, in funzione del numero medio di nucleoni partecipanti. Per le barre di errore si è adoperato il simbolo  $\square$  (in nero con le “alette” laterali) per indicare l’errore di natura sistematica, quello  $\square$  (nello stesso colore dei punti sperimentali, senza “alette”) per indicare l’errore statistico.

la classe di maggior centralità. Questi risultati risultano difficilmente interpretabili in un contesto di produzione adronica ed un incremento così pronunciato della produzione degli stati  $\Omega^- (sss)$  e  $\overline{\Omega}^+ (\bar{s}\bar{s}\bar{s})$  nel passaggio da interazioni protone-nucleo a quelle nucleo-nucleo, presente anche dopo aver considerato l’effetto di sovrapposizione dei nucleoni interagenti, indica chiaramente la possibilità che le particelle possano essere prodotte da una sorgente di quark e gluoni liberi e deconfinati.

In fig. 5.7 è mostrato un confronto tra questi risultati (punti colorati) e quelli di WA97 (punti in bianco e nero), nell’intervallo di centralità coperto da WA97 ( $N_{part} \geq 100$ ) corrispondente con ottima approssimazione alle quattro classi di maggior centralità di NA57. Considerando globalmente i risultati, è così confermato l’incremento della produzione di stranezza nelle collisioni Pb-Pb a 160 A GeV/c trovato da WA97, rispetto a quanto atteso dalla sovrapposizioni di “normali” (cioè in assenza di plasma) collisioni nucleone-nucleone. È altresì confermata la stessa gerarchia nell’incremento della produzione di iperoni.

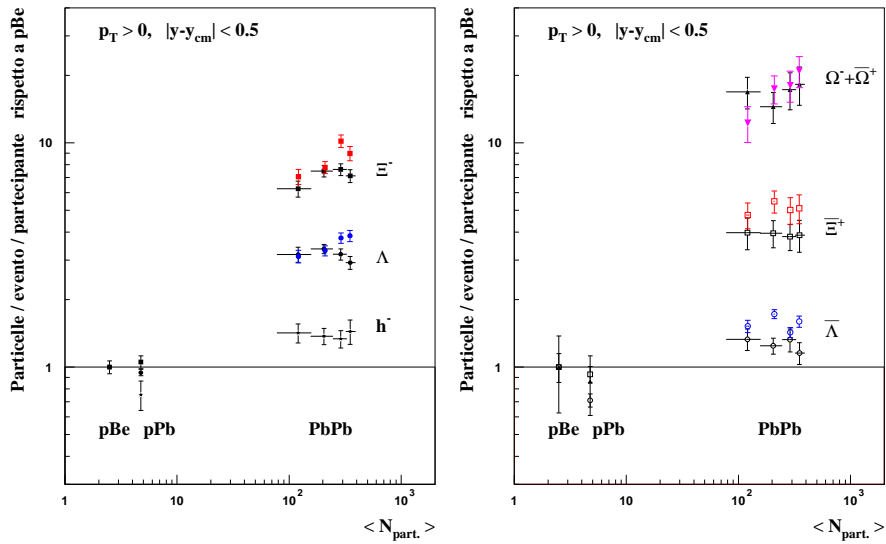


Figura 5.7: Confronto dell'incremento della produzione degli iperoni in collisioni Pb-Pb a 160 A GeV/c con quello misurato da WA97 nella regione di centralità comune  $N_{part} \geq 100$ . I dati di riferimento delle collisioni p-Be e p-Pb sono quelli di WA97.

Entrando più nei dettagli, risulta che i tassi di produzione misurati da WA97 sono inferiori di un 10-20% per tutte le specie; inoltre, almeno per le  $\Lambda$  e le  $\Xi^-$ , si osserva una dipendenza dalla centralità significativamente differente. Questa differenza è stata investigata e compresa [155, 156] e sono principalmente imputabili al modo non del tutto soddisfacente con cui si correggeva per un'instabilità del fascio di piombo utilizzato da WA97 (i dati dei protoni non presentano invece questo problema).

Come già discusso nel primo capitolo, considerando *globalmente* le indicazioni fornite dai diversi esperimenti coinvolti nella ricerca del QGP all'SPS ed "in primis" quelle qui illustrate sulla produzione di stranezza e quelle sulla soppressione della produzione di stati di charmonio, si può affermare, con ragionevole certezza, che nelle collisioni Pb-Pb più centrali venga formato il QGP. Se si accetta questo scenario, la domanda che subito si pone diventa la seguente: in che maniera avviene la transizione tra il regime di produzione in ambiente adronico (collisioni p-Be e p-Pb) e quello in presenza di QGP (collisioni Pb-Pb più centrali) ?

Gli incrementi di tutte le specie, ad eccezione delle  $\bar{\Lambda}$ , mostrano una crescita col numero di nucleoni partecipanti.

Nel caso delle  $\Xi^+$  si osserva una decrescita improvvisa nella classe di centralità più periferica:

passando dalla classe  $I$  ( $\langle N_{part} \rangle = 121$ ) alla classe  $0$  ( $\langle N_{part} \rangle = 62$ ) il tasso di produzione per partecipante decresce di un fattore 2.6, corrispondente ad un effetto pari a  $3.5\sigma$ . Le sole  $\Xi^+$  suggerirebbero dunque un improvviso raggiungimento delle condizioni per la formazione del QGP tra i 60 ed i 120 partecipanti. Sarà interessante vedere se questo risultato verrà confermato studiando il campione di  $\Xi$  dei dati dell'anno 2000.

Considerando le altre specie,  $\Xi^-$ ,  $\Lambda$ ,  $\Omega^- + \bar{\Omega}^+$ , si osserva un incremento crescente con maggior continuità. Ciò è ugualmente vero anche per le  $\Omega^-$  e le  $\bar{\Omega}^+$  considerate separatamente, e per i  $K_S^0$ , come risulta considerando la dipendenza dei tassi di produzione per partecipante dalla centralità <sup>4</sup>, mostrata nella fig. 5.8. In questa seconda prospettiva si è eseguita una

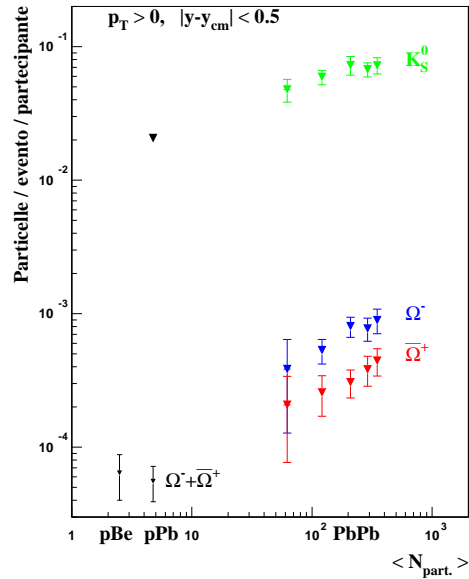


Figura 5.8: Particelle prodotte per evento normalizzate al numero medio di nucleoni partecipanti in funzione del numero di partecipanti. I punti p-Be e p-Pb (misurati da WA97) per le  $\Omega$  si riferiscono al segnale di  $\Omega^- + \bar{\Omega}^+$ .

procedura di “*best fit*” assumendo una dipendenza del tipo  $N_{part}^\beta$ , applicata inizialmente ai punti relativi alla sola produzione in collisioni Pb-Pb, come mostrato in fig. 5.9. I risultati del “*best fit*” forniscono i valori dell’esponente  $\beta$  riportati nella prima colonna della tab. 5.6. Quindi si è ripetuta la procedura del “*best fit*”, includendo anche i punti delle interazioni di riferimento p-A, come mostrato nella fig. 5.10. I risultati dei nuovi esponenti  $\beta$ , così

<sup>4</sup>La normalizzazione ai dati del p-Be, di cui non si dispone, introduce solamente un fattore di scala comune per tutti i punti, senza modificare gli andamenti.

determinati, sono riportati nella seconda colonna della tab. 5.6.

Particelle	$\beta$ (Pb-Pb)	$\chi^2/ndf$	$\beta$ (p-A, Pb-Pb)	$\chi^2/ndf$
$K_S^0$	$1.22 \pm 0.19$	0.6/3	$1.30 \pm 0.02$	1.3/4
$\Lambda$	$1.21 \pm 0.05$	0.9/3	$1.29 \pm 0.01$	55/5
$\bar{\Lambda}$	$1.00 \pm 0.07$	8.6/3	$1.11 \pm 0.01$	63/5
$\Xi^-$	$1.32 \pm 0.09$	4.8/3	$1.50 \pm 0.01$	20/5
$\Xi^+$	$1.43 \pm 0.19$	9.1/3	$1.41 \pm 0.03$	12/5
	$1.05 \pm 0.19$	0.6/2		
$\Omega^- + \bar{\Omega}^+$	$1.46 \pm 0.23$	0.35/3	$1.71 \pm 0.05$	3.4/5
$\Omega^-$	$1.45 \pm 0.28$	0.62/3		
$\bar{\Omega}^+$	$1.49 \pm 0.36$	0.19/3		

Tabella 5.6: Valori di “*best fit*” dell’esponente  $\beta$  e del  $\chi^2$  ridotto nell’approssimazione di una dipendenza dei tassi di produzione dal numero di nucleoni partecipanti secondo una funzione di potenza ( $\propto N_{part}^\beta$ ). Nella prima colonna si sono approssimati i soli cinque punti dell’interazione Pb-Pb, nella seconda anche quelli delle interazioni di riferimento p-Be e p-Pb. Nel “*best fit*” ai soli punti Pb-Pb delle  $\Xi^+$ , si è anche provato ad escludere il punto di minor centralità (classe 0), l’unico che si discosta significativamente da una semplice dipendenza lineare.

Dai risultati di questo studio si può affermare che una descrizione con la legge di potenza sull’intero intervallo di collisioni non sembra una scelta appropriata. Dai valori del  $\chi^2$  si deduce infatti che questa descrizione può essere rigettata con un livello di confidenza del 97.5% per tutte le particelle ad esclusione dei  $K_S^0$  e delle  $\Omega$ . Queste ultime (le  $\Omega$ ) sono la specie con l’errore statistico associato più elevato, per i  $K_S^0$  bisogna tener presente che si dispone di un solo punto sperimentale (p-Pb) relativo alle interazioni di riferimento e che i risultati qui presentati provengono da un’analisi preliminare condotta su un piccolo numero di particelle. Per tutte le altre specie questi risultati suggeriscono un *brusco* salto passando dalle collisioni p-A a quelle Pb-Pb.

Limitandosi a considerare l’approssimazione con la legge di potenza sui soli punti delle collisioni Pb-Pb, tale descrizione si adatta molto meglio ai risultati sperimentali. Gli esponenti  $\beta$ , ad esclusione di quello relativo alle  $\bar{\Lambda}$ , sono tutti significativamente superiori ad uno. L’eliminazione del punto di minor centralità (la classe 0) modifica apprezzabilmente il risultato del “*best fit*” solo nel caso delle  $\Xi^+$ . Ciò vuol dire che l’incremento della produzione di stranezza <sup>5</sup> non satura completamente con il numero di partecipanti, anche nelle collisioni Pb-Pb più centrali corrispondenti ad  $N_{part} \gtrsim 120$ , ma continua ad aumentare.

<sup>5</sup>Per incremento si intende la definizione data nell’eq. 5.5.

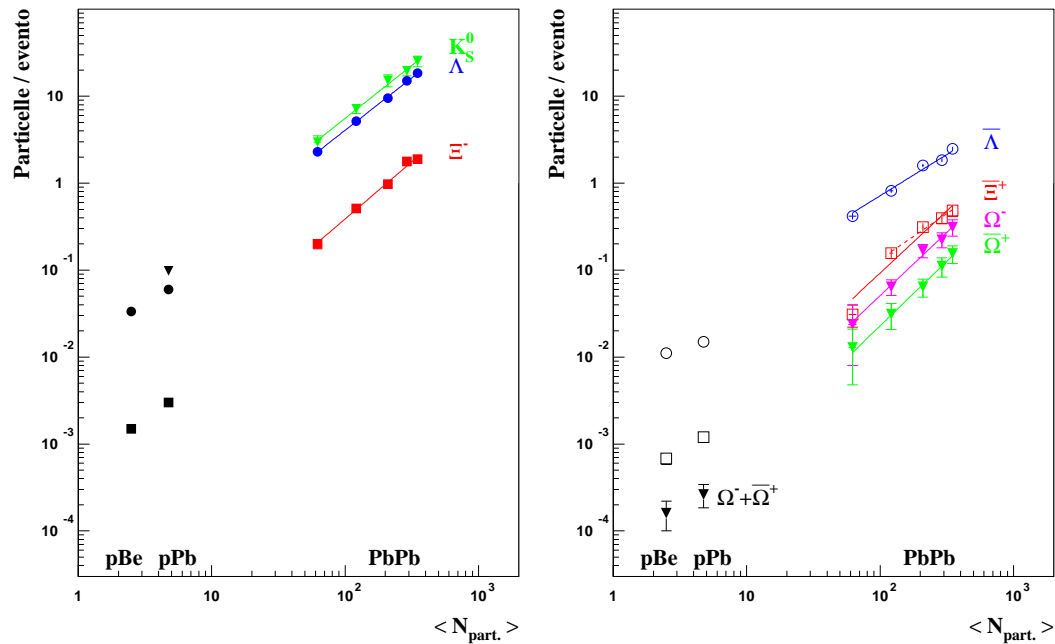


Figura 5.9: “Best fit” della funzione potenza (cost  $N_{part}^\beta$ ) ai tassi di produzione delle particelle strane in funzione della centralità, per le sole collisioni Pb-Pb a 160 A GeV/c. I risultati del “best fit” per l’esponente  $\beta$  sono riportati nella prima colonna della tab. 5.6. Per le  $\Xi^-$  si è anche eseguito il “best fit” escludendo il punto di centralità più periferica (curva tratteggiata).

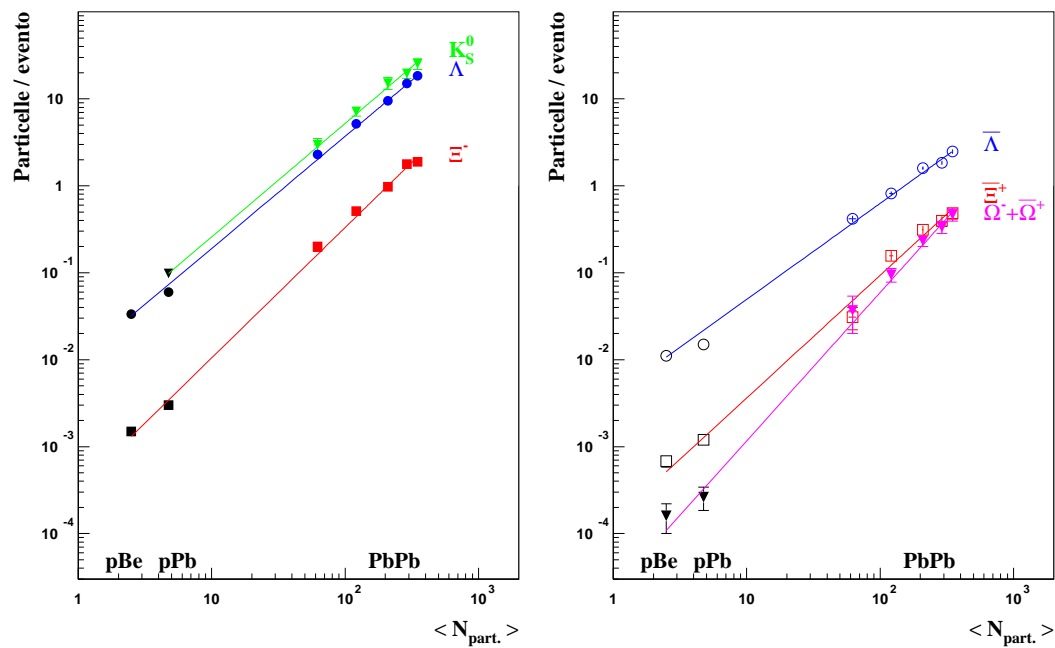


Figura 5.10: “Best fit” della funzione potenza ai tassi di produzione delle particelle strane in collisioni p-Be (non disponibile per i  $K_S^0$ ), p-Pb e Pb-Pb. I risultati del “best fit” sono riportati nella seconda colonna della tab. 5.6.

La dipendenza è tanto più rapida quanto maggiore è il contenuto di stranezza della specie considerata: il valore dell'esponente passa da  $\beta \approx 1.2$  per le particelle con una unità di stranezza ( $\Lambda$  e  $K_S^0$ ) a  $\beta \approx 1.45$  per le particelle con tre unità di stranezza ( $\Omega^-$  e  $\bar{\Omega}^+$ ).

La conclusione più significativa che si trae da questo studio è pertanto la seguente: passando dalle collisioni p-A a quelle Pb-Pb si osserva un salto talmente brusco che neanche una legge di potenza riesce a raccordare in maniera continua; considerando le sole collisioni Pb-Pb la dipendenza dal numero di partecipanti diviene sostanzialmente continua ed aumenta all'aumentare del contenuto di stranezza.

Per poter trarre delle conclusioni ancor più precise, si dovrebbe tentare di ridurre in maniera significativa gli errori statistici e, simultaneamente, mantenere un buon controllo di quelli sistematici. Per quanto riguarda le  $V^0$  ( $\Lambda$  e  $K_S^0$ ), la procedura da seguire è quella di implementare metodi alternativi di correzione per accettazione ed efficienza, in modo da poter utilizzare interamente il campione di particelle raccolte. Venendo alle cascate, per quel che riguarda le  $\Xi$  si raddoppierà (perlomeno) la consistenza statistica del campione di particelle, mentre per le  $\Omega$  si può solo pensare di seguire un'altro approccio: rinunciare alla purezza del campione, con dei criteri di selezione molto meno selettivi. In tal modo diventa però necessario disporre di una buona descrizione del fondo, con metodi, ancora da sviluppare, analoghi a quello discusso nel *paragrafo 4.2* a proposito delle  $V^0$ .

Il metodo d'indagine più efficace sarebbe però quello di esplorare l'intervallo di centralità compreso tra  $\langle N_{part} \rangle = 62$  (classe 0 delle interazioni Pb-Pb) ed  $\langle N_{part} \rangle = 4.5$  (interazioni p-Pb). La Collaborazione NA57 ha quindi avanzato la richiesta di studiare le collisioni di un sistema più leggero del Pb-Pb, quale l'In-In (*cfr. paragrafo 2.7*).

## 5.5 Produzione di stranezza in funzione della energia della collisione

In fig. 5.11 è mostrato il confronto tra la produzione di  $\Xi$  ed  $\Omega$  in collisioni Pb-Pb a 160 A GeV/c e quella in collisioni Pb-Pb a 40 A GeV/c. Per questo confronto, i tassi di produzione nelle collisioni a 160 GeV/c sono stati ricalcolati considerando unicamente le tre classi di maggior centralità (II-III-IV); in tal modo, ad entrambe le energie, si considerano le collisioni più centrali relative a circa il 25% della sezione d'urto analestica. Nella fig. 5.11 sono anche mostrati i rapporti di produzione calcolabili a partire da questi tassi di produzione, ed il rapporto  $\bar{\Lambda}/\Lambda$ , che ancora deve essere corretto per accettazione ed efficienza come discusso nel *paragrafo 5.3*.

Dalla fig. 5.11 si deduce che la produzione di  $\Xi^-$  è circa la stessa a 40 ed a 160 GeV, mentre

le  $\Xi^-$ ,  $\Omega^-$  e  $\bar{\Omega}^+$  vengono prodotte meno abbondantemente a più bassa energia. Questo andamento è giustificato tenendo conto che, a più bassa energia, si attende una maggiore densità barionica: essa favorisce la produzione di iperoni che condividono almeno un quark di valenza con i nucleoni collidenti. La maggior densità barionica è conseguenza del maggior frenamento dei nuclei dopo l'urto a più bassa energia, come discusso nel *paragrafo 1.4.2*. Ad energie molto più elevate (come ad esempio al RHIC), invece, i due nuclei collidenti diventano l'uno "trasparente" all'altro (nel senso discusso nel *paragrafo 1.4.2*) e la densità barionica della "fireball" approssima zero.

Dal grafico dei rapporti di produzione, si osserva che, andando da 160 a 40 GeV, il rapporto anti-iperone/iperone diminuisce. L'effetto maggiore si ha nel caso delle  $\Lambda$  ma è quasi nullo (entro gli errori) per le  $\Omega$ . Per i rapporti  $\Omega$  su  $\Xi$ , si osserva una riduzione di un fattore tre nel caso di  $\Omega^-/\Xi^-$ , mentre il rapporto  $\bar{\Omega}^+/\bar{\Xi}^+$  è quasi uguale, come già osservato commentando i tassi di produzione.

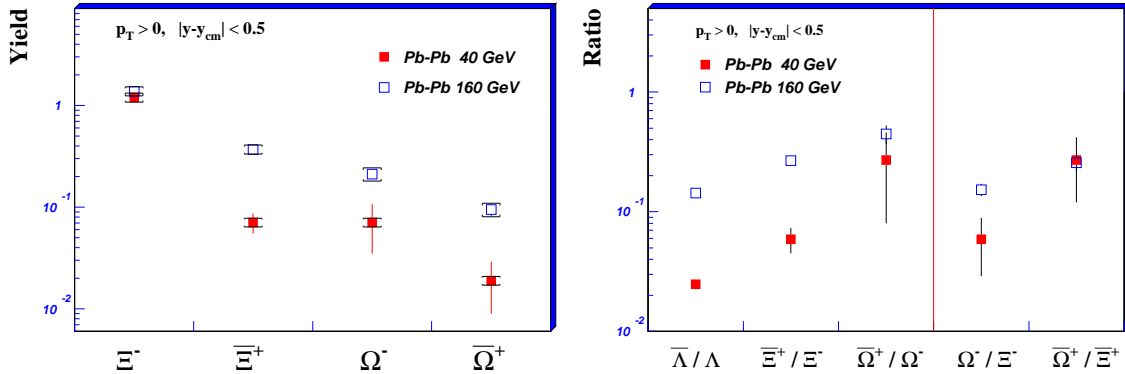


Figura 5.11: *A sinistra*: confronto tra il tasso di produzione ("yield") di  $\Xi$  ed  $\Omega$  nelle collisioni Pb-Pb a 160 A GeV/c e quello nelle collisioni Pb-Pb a 40 A GeV/c. *A destra*: rapporti di produzione degli iperoni strani in collisioni Pb-Pb a 160 e 40 A GeV/c.

Per poter stabilire se si ha già incremento nella produzione di particelle all'energia di 40 GeV/c per nucleone, ed in quale quantità, bisogna attendere la disponibilità dei dati di riferimento p-Be alla stessa energia.

Nella fig. 5.12 si confrontano i tassi di produzione misurati ad entrambe le energie con i primi risultati dell'esperimento STAR al RHIC. I risultati di STAR si riferiscono alle collisioni Au-Au più centrali per il 14% della sezione d'urto anelastica [157]. Per confronto, i tassi di produzione di NA57 sono stati ricalcolati, sia a 160 GeV/c che a 40

GeV/ $c$ , in un'intervallo di centralità corrispondente all'unione delle due classi più centrali definite a 160 GeV/ $c$  (III-IV). Ciò corrisponde alle collisioni più centrali relative a circa il 15% della sezione d'urto anelastica. All'aumentare dell'energia della collisione, i tassi di

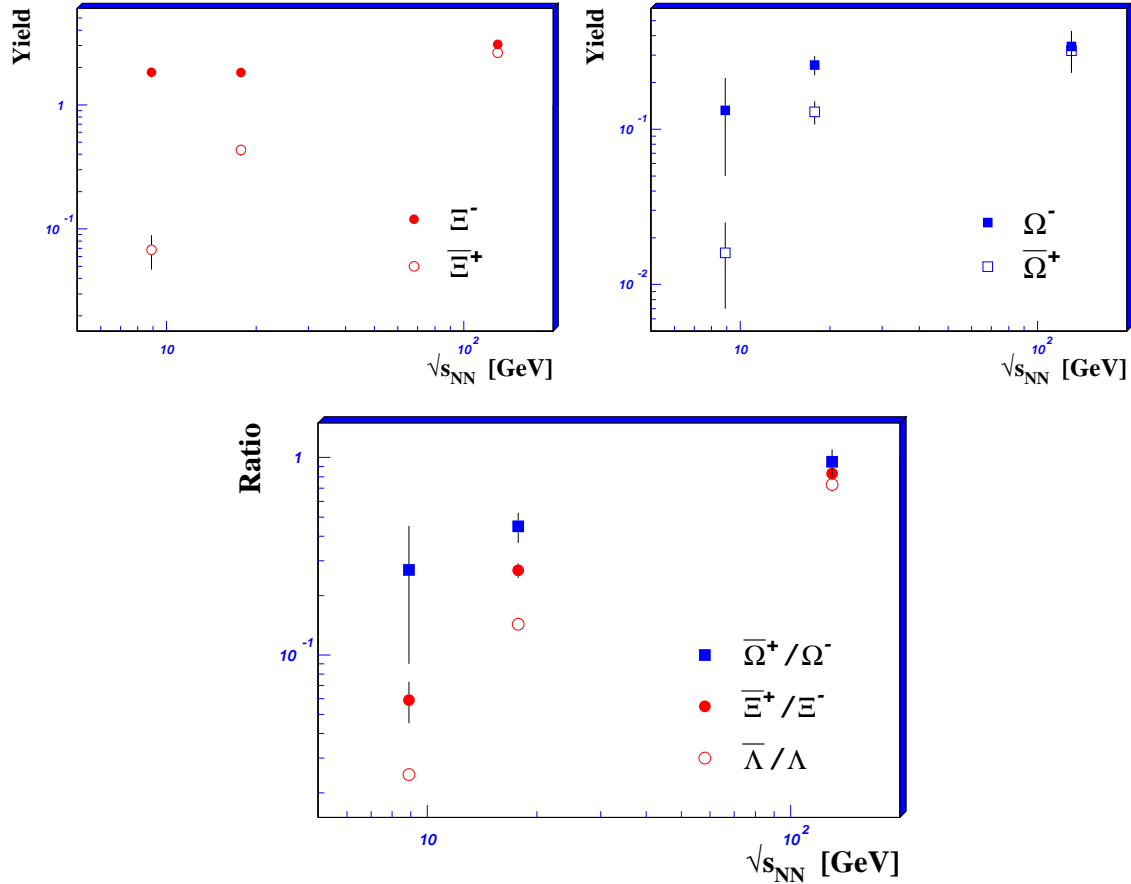


Figura 5.12: *In alto*: confronto tra le rese di produzione delle  $\Xi$  e delle  $\Omega$  misurate nelle collisioni Pb-Pb a 40 e 160 A GeV/ $c$  e quelle misurate da STAR [157] nelle collisioni Au-Au a  $\sqrt{s_{NN}} = 130$  GeV.

*In basso*: andamento dei rapporti di produzione anti-iperone/iperone in funzione dell'energia nel centro di massa. I dati a più alta energia sono quelli pubblicati da STAR [157].

produzione delle  $\Xi^-$  e delle  $\Omega^-$  crescono molto meno rapidamente di quelli delle relative anti-particelle. In particolare, all'energia di RHIC, i tassi di produzione di particelle e relative anti-particelle sono circa le stesse. Questo comportamento è conseguenza, come detto, della minor densità barionica della "fireball" all'aumentare dell'energia della collisione. Ciò

è evidente considerando i rapporti di produzione, anch'essi mostrati nella fig. 5.12. Nel calcolare i rapporti di produzione, al fine di ridurre l'incertezza statistica, si sono considerate nuovamente le tre classi di maggior centralità, corrispondenti alle collisioni più centrali per il 25% della sezione d'urto anelastica, dove la dipendenza dalla centralità è simile per particelle ed anti-particelle. Dalla fig. 5.12 si deduce che tutti i rapporti anti-iperone/iperone aumentano con l'energia della collisione, approssimando il valore unitario all'energia di RHIC, valore atteso per la produzione di stranezza nella fase di QGP in un'ambiente a densità barionica nulla. Inoltre, la dipendenza dall'energia è più debole per le particelle con più elevato contenuto di stranezza.



## Capitolo 6

# Studio della dinamica di espansione in collisioni Pb-Pb a 160 A GeV/c con l'interferometria HBT

### 6.1 Introduzione

Come accennato nel *paragrafo 1.4.3* la tecnica dell'interferometria di intensità permette di ottenere importanti informazioni circa le dimensioni geometriche del sistema allo stato del *freeze-out* e sulla dinamica di espansione sino a tale stato.

Per una “*review*” con gli ultimi sviluppi della tecnica di analisi “HBT” nella fisica degli ioni pesanti, sia sotto l'aspetto teorico che sperimentale, si consiglia la referenza [158]. Essa comprende un'ampia rassegna e discussione dei risultati sperimentali dall'AGS al RHIC.

In questo capitolo si descriveranno i risultati di un'analisi eseguita sui dati raccolti nell'anno 1995 dall'esperimento WA97 relativi all'interazione Pb-Pb a 160 A GeV/c.

Per i dettagli dell'analisi si rimanda alla referenza [159], che è allegata, per comodità, al termine di questa tesi. Dopo una discussione sui fondamenti teorici del metodo, si discuteranno i risultati principali dell'analisi svolta.

### 6.2 L'interferometria HBT nella fisica degli ioni pesanti

La tecnica dell'interferometria di intensità (o del secondo ordine), sviluppata da R.Hanbury-Brown e R.Q.Twiss negli anni Cinquanta per l'astronomia e la radio astronomia [40], fu riscoperta nella fisica delle particelle, in maniera del tutto indipendente, qualche anno più tardi da G.Goldhaber, S.Goldhaber, W.Lee e A.Pais [41]. Fin d'allora tale tecnica è indicata

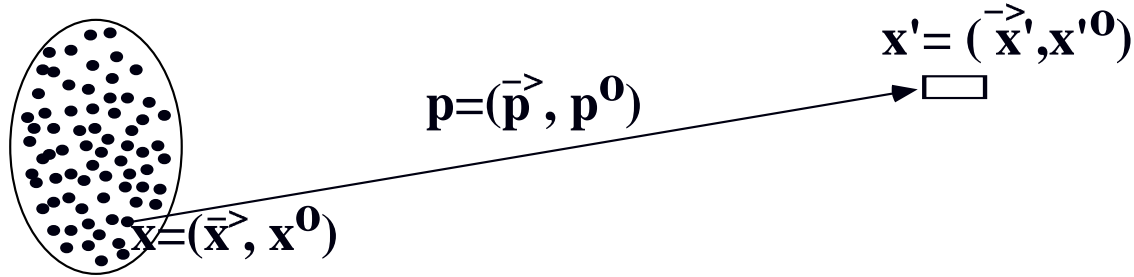


Figura 6.1: Un pione di impulso  $p$  è emesso da un punto-sorgente  $x$  di una sorgente estesa ed è rivelato nel punto  $x'$ .

coi nomi di “interferometria HBT”, “effetto GGLP” o “correlazione di Bose Einstein” se applicata a bosoni.

Il metodo fa leva sugli effetti, prodotti dalla proprietà di simmetria (bosoni) od antisimmetria (fermioni) degli stati di più particelle identiche, sulla densità di stati nello spazio delle fasi. In astronomia si studiano coppie di fotoni, mentre in fisica nucleare e delle particelle elementari si utilizzano generalmente coppie di pioni (adesso anche tripletti e quadrupletti [160][161]), o coppie di nucleoni, di kaoni o di iperoni dello stesso tipo.

### 6.2.1 Correlazione per sorgenti caotiche

Si consideri una sorgente estesa di particelle di una data specie, che supporremo bosoni (ad esempio  $\pi^-$ ). La trattazione per fermioni identici procede sulla stessa falsariga e non si ripeterà: l’unica differenza compare allorché si introduce la proprietà di simmetria (antisimmetria per i fermioni) per la funzione d’onda che descrive le due particelle identiche. La sorgente estesa emette un  $\pi^-$  di quadrimpulso  $p = (\vec{p}, p^0)$  dal punto  $x = (\vec{x}, x^0)$  dello spazio tempo, osservato da un rivelatore in  $x' = (\vec{x}', x'^0)$ , come schematizzato in fig. 6.1. È conveniente utilizzare, nella trattazione che segue, il sistema centro di massa della sorgente; la scelta di un tale sistema è più ovvia per le collisioni di due particelle identiche ai collisionatori, mentre negli esperimenti a bersaglio fisso la sorgente è in moto rispetto ai rivelatori. I benefici di tale scelta discendono dal fatto che le distribuzioni di impulso per particella singola e per coppie,  $P(p)$  e  $P(p_1, p_2)$ , non dipendono dalle coordinate del rivelatore  $x'$ , ma da quelle della sorgente  $x$ . La risoluzione spaziale e temporale nella misura di  $p$  e  $x'$  non permette di determinare il punto di origine del pione nella sorgente, ma soltanto di stabilire che un pione è emesso da un punto qualsiasi della sorgente estesa. Vi sono molti punti-sorgente  $x$  da cui il pione può aver origine, che soddisfano tutti la relazione

approssimata, che descrive la traiettoria classica del pione,

$$\vec{x}' - \vec{x} \approx \frac{\vec{p}}{p^0}(t' - t) \quad (6.1)$$

dove  $\frac{\vec{p}}{p^0} = \frac{d\vec{x}'}{dt'}$  è la velocità del  $\pi^-$ . L'ampiezza di probabilità per la propagazione del pione da  $x$  ad  $x'$ , calcolata con il metodo dell'integrale di percorso di Feynman, è data da:

$$\psi(p : x \rightarrow x') = \sum_{\text{tutti i percorsi}} e^{iS(\text{percorso})} \quad (6.2)$$

dove:

$$S(\text{percorso}) = -m \int \sqrt{1 - \left(\frac{d\vec{x}'}{dt'}\right)^2} dt'$$

è "l'azione" relativistica per il pione, il cui valore dipende dal percorso nello spazio-tempo. Tutti i percorsi nella eq. 6.2 hanno estremi di integrazione fissati; il contributo dominante della somma viene dalla traiettoria classica, descritta approssimativamente dall'eq. 6.1. I contributi provenienti dagli altri percorsi, variando notevolmente e con segno a caso, tendono a cancellarsi a vicenda. È ragionevole quindi approssimare la eq. 6.2 col contributo del solo termine classico; si assume altresì che il pione si propaghi con probabilità nulla di attenuazione od assorbimento

$$\psi(p : x \rightarrow x') \approx e^{iS(\text{traiettoria classica})}$$

Valutando l'azione lungo la traiettoria classica si trova:

$$S(\text{traiettoria classica}) \approx p \cdot (x - x') \approx p^0(t - t') - \vec{p} \cdot (\vec{x} - \vec{x}')$$

e pertanto, in tale approssimazione, la eq. 6.2 si riduce alla

$$\psi(p : x \rightarrow x') \approx e^{ip \cdot (x - x')} \quad (6.3)$$

Nel seguito, pur servendosi di tale approssimazione, si utilizzerà il simbolo = anziché  $\approx$  per semplicità di notazione. La eq. 6.3 fornisce l'ampiezza di probabilità per un  $\pi^-$  (non interagente) di propagarsi da  $x$  ad  $x'$  con impulso  $p$ . L'ampiezza di probabilità per la sua produzione è descritta, invece, da un modulo  $A(p, x)$ , che si può assumere positivo, ed una fase  $\phi(x)$ . L'ampiezza di probabilità, per la produzione di  $\pi^-$  in  $x$  e la sua propagazione in  $x'$  è data quindi da

$$\Psi(p : x \rightarrow x') = A(p, x) e^{i\phi(x)} \psi(p : x \rightarrow x') = A(p, x) e^{i\phi(x)} e^{ip \cdot (x - x')} \quad (6.4)$$

L'ampiezza totale per la produzione da un qualsiasi punto-sorgente è dunque

$$\Psi(p : \left\{ \begin{array}{l} \text{tutti i} \\ \text{punti } x \end{array} \right\} \rightarrow x') = \sum_x A(p, x) e^{i\phi(x)} e^{ip \cdot (x-x')} \quad (6.5)$$

La somma sui punti-sorgente richiede la conoscenza della densità  $\rho(x)$  di questi entro la sorgente. Se si suppone continua la distribuzione dei punti nella sorgente, la sommatoria  $\sum_x$  si può riscrivere come integrale su  $x$

$$\sum_x \dots \longrightarrow \int \rho(x) dx \dots \quad (6.6)$$

La distribuzione di impulsi per singola particella,  $P(p)$ , che fornisce la densità di probabilità, per un pione di impulso  $p$ , di essere prodotto entro la sorgente e di giungere al rivelatore, è pari al modulo quadro della  $\Psi$

$$P(p) = |\Psi|^2 = \left| \sum_x A(p, x) e^{i\phi(x)} e^{ip \cdot (x-x')} \right|^2 = \left| \sum_x A(p, x) e^{i\phi(x)} e^{ip \cdot x} \right|^2 \quad (6.7)$$

I risultati fin qui ottenuti valgono per una qualsiasi sorgente; si consideri ora una *sorgente caotica*, che si definisce tale se la fase  $\phi(x)$  dipende in modo del tutto arbitrario dalla coordinata  $x$  (funzione “random”): essa non presenta, cioè, alcuna continuità nei suoi valori al variare di  $x$ . Convienne in tal caso riscrivere la eq. 6.7 come

$$P(p) = \sum_x A(p, x)^2 + \sum_{\substack{x, y \\ x \neq y}} A(p, x) A(p, y) e^{i\phi(x)} e^{-i\phi(y)} e^{ip \cdot (x-y)} \quad (6.8)$$

Tenendo conto della caratteristica di caoticità, che si riflette nel comportamento “random” di  $\phi(x)$ , la seconda somma dà contributo nullo, poiché gli addendi nella somma, avendo modulo che varia lentamente con  $x$  e fase fluttuante rapidamente, si cancellano a vicenda. Pertanto la eq. 6.8 si riscrive, in termini della densità  $\rho(x)$ , come:

$$P(p) = \int A^2(p, x) \rho(x) dx \quad (6.9)$$

Convienne confrontare quest'ultima espressione con le proprietà della funzione di distribuzione dello spazio delle fasi  $f(p, x)$ , nota come funzione di emissione o densità di Wigner, per la quale vale:

$$P(p) = \int f(p, x) dx \quad (6.10)$$

Pertanto, per una sorgente caotica, vale la relazione  $f(p, x) = A^2(p, x) \rho(x)$ , che permette di ricavare  $A(p, x)$  a partire da  $f(p, x)$ , noto  $\rho(x)$

$$A(p, x) = \sqrt{\frac{f(p, x)}{\rho(x)}} \quad (6.11)$$

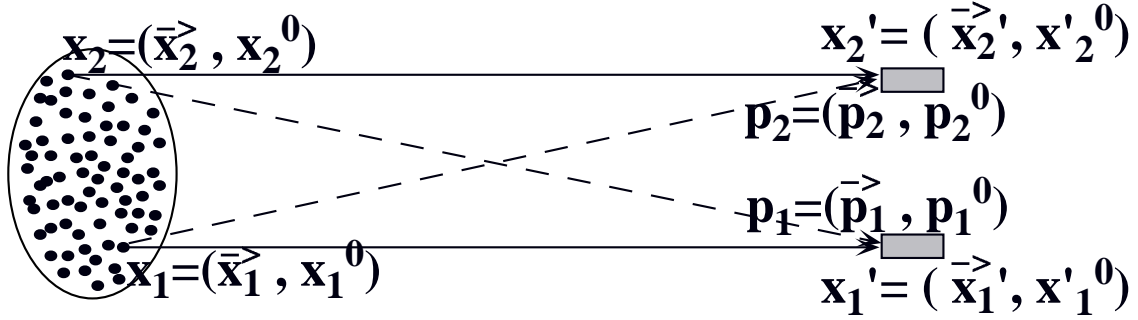


Figura 6.2: Due pioni, emessi da una sorgente estesa, sono rivelati nei punti  $x'_1$  e  $x'_2$  con impulsi pari, rispettivamente, a  $p_1$  e  $p_2$ . Il pione di impulso  $p_1$  ( $p_2$ ) può provenire sia dal punto-sorgente  $x_1$  che da  $x_2$ .

Si vuole ora calcolare la distribuzione  $P(p_1, p_2)$  per una coppia di  $\pi^-$  di impulsi  $p_1$  e  $p_2$ . Si consideri un  $\pi^-$  di quadrimpulso  $p_1$  rivelato nel punto  $x'_1$  ed un secondo  $\pi^-$  di impulso  $p_2$  e rivelato in  $x'_2$ ; nel caso in cui il primo pione si propaghi da  $x_1$  ed il secondo da  $x_2$ , come descritto in fig. 6.2 dalle linee continue, l'ampiezza di probabilità vale

$$\psi(p_1 : x_1 \rightarrow x'_1)\psi(p_2 : x_2 \rightarrow x'_2) \approx e^{ip_1 \cdot (x_1 - x'_1)} e^{ip_2 \cdot (x_2 - x'_2)}$$

nella stessa approssimazione usata in precedenza. L'ampiezza di probabilità per la produzione in  $x_i$  e la successiva propagazione fino ad  $x'_i$ , per la coppia di  $\pi^-$  di impulso  $p_i$  ( $i = 1, 2$ ), è data da

$$A(p_1, x_1)e^{i\phi(x_1)} A(p_2, x_2)e^{i\phi(x_2)}\psi(p_1 : x_1 \rightarrow x'_1)\psi(p_2 : x_2 \rightarrow x'_2)$$

Tuttavia il  $\pi^-$  di impulso  $p_1$ , rivelato in  $x'_1$ , può anche provenire da  $x_2$ , quando l'altro proviene da  $x_1$ . In questo secondo caso l'ampiezza di probabilità vale:

$$A(p_1, x_2)e^{i\phi(x_2)} A(p_2, x_1)e^{i\phi(x_1)}\psi(p_1 : x_2 \rightarrow x'_1)\psi(p_2 : x_1 \rightarrow x'_2)$$

L'ampiezza di probabilità, a causa dell'indistinguibilità di una coppia di bosoni identici, deve essere simmetrica nello scambio degli indici che permettono di distinguere tra i due bosoni. In tal caso, gli unici indici che distinguono i due pioni sono le coordinate spazio-temporali dei punti-sorgente  $x_1$  ed  $x_2$ , in quanto si assume di misurare gli impulsi  $p_1$  e  $p_2$  nei punti  $x'_1$  ed  $x'_2$ . L'ampiezza di probabilità deve essere quindi simmetrica nello scambio

di  $x_1$  ed  $x_2$

$$\begin{aligned} & \frac{1}{\sqrt{2}} \{ A(p_1, x_1) e^{i\phi(x_1)} A(p_2, x_2) e^{i\phi(x_2)} e^{ip_1 \cdot (x_1 - x'_1)} e^{ip_2 \cdot (x_2 - x'_2)} + \\ & A(p_1, x_2) e^{i\phi(x_2)} A(p_2, x_1) e^{i\phi(x_1)} e^{ip_1 \cdot (x_2 - x'_1)} e^{ip_2 \cdot (x_1 - x'_2)} \} \\ & \equiv e^{i\phi(x_1)} e^{i\phi(x_2)} \Phi(p_1, p_2 : x_1 x_2 \rightarrow x'_1 x'_2) \end{aligned} \quad (6.12)$$

dove  $\Phi(p_1, p_2 : x_1 x_2 \rightarrow x'_1 x'_2)$  è la parte di ampiezza di probabilità non dipendente da  $\phi$

$$\begin{aligned} \Phi(p_1, p_2 : x_1 x_2 \rightarrow x'_1 x'_2) = \\ \frac{1}{\sqrt{2}} \{ A(p_1, x_1) A(p_2, x_2) e^{ip_1 \cdot (x_1 - x'_1)} e^{ip_2 \cdot (x_2 - x'_2)} + \\ A(p_1, x_2) A(p_2, x_1) e^{ip_1 \cdot (x_2 - x'_1)} e^{ip_2 \cdot (x_1 - x'_2)} \} \end{aligned} \quad (6.13)$$

I due pioni possono esser prodotti in altri punti-sorgente; l'ampiezza totale è la somma delle ampiezze per tutte le combinazioni dei punti-sorgente. Pertanto l'ampiezza di probabilità per due pioni identici di essere prodotti dalla sorgente e quindi rivelati in  $x'_1$  ed  $x'_2$ , con impulsi pari a, rispettivamente,  $p_1$  ed  $p_2$ , è data da:

$$\Psi(p_1 p_2 : \left\{ \begin{array}{l} \text{tutti } i \\ \text{punti } x_1 x_2 \end{array} \right\} \rightarrow x'_1 x'_2) = \sum_{x_1, x_2} e^{i\phi(x_1)} e^{i\phi(x_2)} \Phi(p_1, p_2 : x_1 x_2 \rightarrow x'_1 x'_2) \quad (6.14)$$

La distribuzione di probabilità  $P(p_1, p_2)$ , pari al modulo quadro della eq. 6.14, vale quindi

$$P(p_1, p_2) = \frac{1}{2!} \left| \Psi(p_1 p_2 : \left\{ \begin{array}{l} \text{tutti } i \\ \text{punti } x_1 x_2 \end{array} \right\} \rightarrow x'_1 x'_2) \right|^2 \quad (6.15)$$

I risultati ottenuti nelle eq. 6.12, 6.14, 6.15 sono del tutto generali e validi per lo studio della correlazione degli impulsi tanto per sorgenti caotiche che per quelle coerenti. Per una *sorgente caotica*, sfruttando ancora la natura "random" delle fasi, sviluppando la eq. 6.15 e separando i termini che contengono  $\phi$ , si ha

$$\begin{aligned} P(p_1, p_2) = & \frac{1}{2} \sum_{x_1, x_2} \{ \Phi^*(p_1, p_2 : y_1 y_2 \rightarrow x'_1 x'_2) \Big|_{\substack{y_1=x_1 \\ y_2=x_2}} \Phi(p_1, p_2 : x_1 x_2 \rightarrow x'_1 x'_2) + \\ & \Phi^*(p_1, p_2 : y_1 y_2 \rightarrow x'_1 x'_2) \Big|_{\substack{y_1=x_2 \\ y_2=x_1}} \Phi(p_1, p_2 : x_1 x_2 \rightarrow x'_1 x'_2) \} \\ & + \frac{1}{2} \sum_{\substack{x_1, x_2, y_1, y_2 \\ \{x_1, x_2\} \neq \{y_1, y_2\}}} \{ e^{i\phi(x_1) + i\phi(x_2)} \Phi(p_1, p_2 : x_1 x_2 \rightarrow x'_1 x'_2) \cdot \\ & e^{-i\phi(y_1) - i\phi(y_2)} \Phi^*(p_1, p_2 : y_1 y_2 \rightarrow x'_1 x'_2) \} \end{aligned} \quad (6.16)$$

I due termini nella prima sommatoria della eq. 6.16 sono uguali per la simmetria di scambio e, per sorgenti caotiche, le somme sui termini che contengono le fasi danno contributo nullo. Pertanto si può riscrivere

$$P(p_1, p_2) = \sum_{x_1, x_2} |\Phi(p_1, p_2 : x_1 x_2 \rightarrow x'_1 x'_2)|^2$$

e, cambiando le sommatorie in integrali secondo la prescrizione dell'eq. 6.6, si ottiene

$$P(p_1, p_2) = \int |\Phi(p_1, p_2 : x_1 x_2 \rightarrow x'_1 x'_2)|^2 \rho(x_1) \rho(x_2) dx_1 dx_2.$$

Includendo la eq. 6.13, quest'ultima espressione diventa

$$\begin{aligned} P(p_1, p_2) &= \int A^2(p_1, x_1) \rho(x_1) dx_1 \int A^2(p_2, x_2) \rho(x_2) dx_2 \\ &+ \int A(p_1, x_1) A(p_2, x_1) e^{i(p_1 - p_2) \cdot x_1} \rho(x_1) dx_1 \\ &\int A(p_2, x_2) A(p_1, x_2) e^{i(p_2 - p_1) \cdot x_2} \rho(x_2) dx_2 \end{aligned} \quad (6.17)$$

Utilizzando infine la eq. 6.9, la funzione di distribuzione degli impulsi per due particelle identiche si esprime come

$$P(p_1, p_2) = P(p_1) \cdot P(p_2) + \left| \int e^{i(p_1 - p_2) \cdot x} \rho(x) A(p_1, x) A(p_2, x) dx \right|^2 \quad (6.18)$$

Conviene, a questo punto, introdurre la funzione di densità effettiva,  $\rho_{eff}(x; p_1, p_2)$ , per riscrivere la eq. 6.18 come:

$$P(p_1, p_2) = P(p_1) \cdot P(p_2) \left( 1 + \left| \int e^{i(p_1 - p_2) \cdot x} \rho_{eff}(x; p_1, p_2) dx \right|^2 \right) \quad (6.19)$$

dove

$$\rho_{eff}(x; p_1, p_2) = \frac{\rho(x) A(p_1, x) A(p_2, x)}{\sqrt{P(p_1) P(p_2)}} \quad (6.20)$$

In termini della funzione di distribuzione dello spazio delle fasi, la  $\rho_{eff}(x; p_1, p_2)$  si esprime come

$$\rho_{eff}(x; p_1, p_2) = \frac{\sqrt{f(p_1, x) f(p_2, x)}}{\sqrt{\int f(p_1, x_1) dx_1 \int f(p_2, x_2) dx_2}} \quad (6.21)$$

La trasformata di Fourier di  $\rho_{eff}(x; p_1, p_2)$  viene indicata con

$$\tilde{\rho}_{eff}(q; p_1 p_2) = \int e^{iq \cdot x} \rho_{eff}(x; p_1 p_2) dx \quad (6.22)$$

dove  $q = p_1 - p_2$ . La funzione di distribuzione  $P(p_1, p_2)$  dipende dunque dalla trasformata di Fourier della  $\rho_{eff}$ ; dalle eq. 6.22, 6.19 si ottiene infatti

$$P(p_1, p_2) = P(p_1) \cdot P(p_2) \left( 1 + |\tilde{\rho}_{eff}(q; p_1 p_2)|^2 \right) \quad (6.23)$$

Si definisce *funzione di correlazione*  $C_2(p_1, p_2)$  il rapporto

$$C_2(p_1, p_2) = \frac{P(p_1, p_2)}{P(p_1) \cdot P(p_2)}. \quad (6.24)$$

Esso vale, per una sorgente caotica:

$$C_2(p_1, p_2) = 1 + |\tilde{\rho}_{eff}(q; p_1 p_2)|^2 \quad (6.25)$$

Pertanto, per una sorgente caotica estesa, la funzione di correlazione  $C_2(p_1, p_2)$  è direttamente collegata alla trasformata di Fourier della densità effettiva, secondo la eq. 6.25, e può essere utilizzata per misurare la configurazione dello spazio delle fasi della sorgente al momento dell'emissione delle particelle.

Come si esporrà nei paragrafi successivi, in molte applicazioni si parametrizza la densità effettiva con una distribuzione gaussiana

$$\rho_{eff}(x; p_1 p_2) = \frac{N}{4\pi^2 R_x R_y R_z \sigma_t} \exp \left\{ -\frac{x^2}{2R_x^2} - \frac{y^2}{2R_y^2} - \frac{z^2}{2R_z^2} - \frac{t^2}{2\sigma_t^2} \right\} \quad (6.26)$$

dove la costante di normalizzazione,  $N(p_1, p_2)$ , e le deviazioni standard  $R_x, R_y, R_z$  e  $\sigma_t$ , dipendono da  $p_1$  e  $p_2$ . Il coefficiente  $N$  si può prendere in modo tale che

$$N(p_1, p_2) = \int \rho_{eff}(x; p_1, p_2) dx \quad (6.27)$$

Per la disuguaglianza di Schwartz, si ha anche

$$\int \sqrt{f(p_1, x) f(p_2, x)} dx \leq \sqrt{\int f(p_1, x_1) dx_1 \int f(p_2, x_2) dx_2} \quad (6.28)$$

e quindi, per le eq. 6.21, 6.28

$$\int \rho_{eff}(x; p_1, p_2) dx = N(p_1, p_2) \leq 1$$

dove l'uguaglianza vale per  $p_1 = p_2$ . Si ha dunque  $N(q = 0) = 1$ . La trasformata di Fourier della  $\rho_{eff}(x; p_1, p_2)$ , eq. 6.22, è pari, in questa particolare parametrizzazione, a

$$\tilde{\rho}_{eff}(q; p_1 p_2) = N \exp \left\{ -\frac{R_x^2 q_x^2}{2} - \frac{R_y^2 q_y^2}{2} - \frac{R_z^2 q_z^2}{2} - \frac{\sigma_t^2 q_t^2}{2} \right\} \quad (6.29)$$

La funzione di correlazione diventa, nella parametrizzazione gaussiana,

$$C_2(p_1, p_2) = C_2(q; p_1 p_2) = 1 + N \exp \left\{ -R_x^2 q_x^2 - R_y^2 q_y^2 - R_z^2 q_z^2 - \sigma_t^2 q_t^2 \right\} \quad (6.30)$$

I risultati relativi alla parametrizzazione gaussiana possono essere usati per analizzare dati sperimentali sulla correlazione degli impulsi. Bisogna enfatizzare che i parametri  $N$ ,  $R_i$  e  $\sigma_t$  in queste espressioni, sono funzioni di  $p_1$  e  $p_2$ . Soltanto in casi speciali questa dipendenza viene a mancare. Questo accade quando  $A(p, x)$  è indipendente da  $x$ , e  $f(p, x)$  si fattorizza in  $f(p, x) = A^2(p)\rho(x)$ . In tal caso si ha  $\rho_{eff}(x) = \rho(x)$  e  $P(p) = \int f(p, x) dx = A^2(p)$ , ponendo  $\int \rho(x) dx = 1$ ; inoltre  $C_2(p_1, p_2) = C_2(q)$  è dato semplicemente dalla trasformata di Fourier della distribuzione spazio-temporale della sorgente. Pertanto una parametrizzazione gaussiana, con parametri indipendenti da  $p_1$  e  $p_2$ , fornisce una descrizione rigorosa per una sorgente statica, ma è chiaramente approssimativa per una sorgente in cui il centro della distribuzione dei punti sorgente di pioni di fissato impulso cambia al variare del valore dell'impulso, come nel caso della produzione di particelle accompagnata da espansione collettiva della sorgente.

Un'approssimazione ottenuta da Pratt [162], per la  $\rho_{eff}(x; p_1, p_2)$ , valida quando  $p_1 \simeq p_2$ , si ottiene espandendo  $f(p, x)$  rispetto a  $f(K, x)$ , dove  $K = \frac{p_1 + p_2}{2}$

$$\begin{aligned} f(p_1, x) &= f(K, x) + \frac{\partial f(p, x)}{\partial x^\mu} \Big|_{p=K} \frac{q^\mu}{2} + \frac{\partial^2 f(p, x)}{2! \partial x^\mu \partial x^\nu} \Big|_{p=K} \frac{q^\mu q^\nu}{4} \\ f(p_2, x) &= f(K, x) - \frac{\partial f(p, x)}{\partial x^\mu} \Big|_{p=K} \frac{q^\mu}{2} + \frac{\partial^2 f(p, x)}{2! \partial x^\mu \partial x^\nu} \Big|_{p=K} \frac{q^\mu q^\nu}{4} \end{aligned}$$

Trascurando termini del second'ordine in  $q^\mu$ , poiché

$$\sqrt{f(p_1, x)f(p_2, x)} = f(K, x) + \mathcal{O}(q^\mu q^\nu),$$

la densità effettiva vale:

$$\rho_{eff}(x; p_1, p_2) \simeq \frac{f(K, x)}{\sqrt{\int f(p_1, x_1) dx_1 \int f(p_2, x_2) dx_2}} \quad (6.31)$$

### 6.2.2 Sorgenti coerenti e parzialmente coerenti: parametro di caoticità

Da questa derivazione dettagliata della funzione di correlazione è possibile capire l'origine della correlazione per una sorgente caotica. Per questo tipo di sorgente, la funzione di fase  $\phi(x)$  non ha andamento regolare e lo sviluppo della somma nella distribuzione di probabilità può essere completato separando i termini in cui la fase "random" rende nullo il contributo alla probabilità, da quelli in cui la fase non compare. Uno dei termini che non è eliminato

proviene dalla imposta simmetria di scambio richiesta per bosoni identici, ed è il termine proporzionale alla trasformata di Fourier di una funzione della distribuzione dello spazio delle fasi  $f(k, x)$ . È dunque la simmetria di scambio per particelle identiche l'origine della correlazione tra gli impulsi, per una sorgente caotica.

Che tipo di correlazione è attesa per una sorgente estesa coerente?

Una sorgente coerente ha una fase di produzione  $\phi(x)$  che è una funzione regolare delle coordinate  $x$  dei punti sorgente. È facile ricavare [163, 164] che per una sorgente coerente risulta  $P(k_1, k_2) = P(k_1)P(k_2)$ , senza alcuna correlazione.

Per l'analisi dei dati sperimentali, conviene spesso introdurre un *parametro di caoticità*  $\lambda$  che modifica la funzione di correlazione, eq. 6.30, nella forma:

$$C_2(q) = 1 + \lambda \exp \{ -R_x^2 q_x^2 - R_y^2 q_y^2 - R_z^2 q_z^2 - \sigma_t^2 q_t^2 \} \quad (6.32)$$

Questa parametrizzazione interpola tra il caso di sorgente coerente, corrispondente a  $\lambda = 0$ , e quello di sorgente completamente caotica, per cui  $\lambda = 1$ .

Il parametro  $\lambda$  non dipende solo dal livello di coerenza intrinseca della sorgente, ma anche [165] dalla contaminazione dovuta ad altre particelle interpretate erroneamente come pioni, dal numero di punti-sorgente, da decadimenti di risonanze, da processi di “scattering” multiplo, dalla media sul parametro di impatto, dalla risoluzione sperimentale finita e, non ultima, dall'espansione della sorgente.

In particolare, è stato mostrato [166, 167, 168] che le particelle erroneamente identificate influenzano unicamente il parametro  $\lambda$  (riducendone il valore) e non i “raggi HBT”  $R_i$  (e  $\sigma_t$ ) da cui si estraggono le informazioni sulla geometria della sorgente. Pertanto in molte analisi sperimentale si considereranno tutte le coppie  $h^-h^-$  di particelle di carica negativa, non identificate, ma costituite prevalentemente da coppie  $\pi^-\pi^-$ . Questo approccio è stato seguito in questo lavoro, in quanto non è possibile identificare in WA97 particelle primarie che non decadono.

### 6.2.3 Approssimazioni di continuità e di “on shell”

Conviene riesprimere la funzione di correlazione, eq. 6.25, in termini della sola funzione di emissione  $f(p, x)$ , utilizzando l'approssimazione di Pratt (eq. 6.31) nell'eq. 6.21

$$C_2(\vec{q}, \vec{K}) = 1 + \frac{|\int f(K, x) e^{iqx} dx|^2}{\int f(p_1, x_1) dx_1 \int f(p_2, x_2) dx_2} \quad (6.33)$$

Nell'ulteriore approssimazione, nota come “approssimazione di continuità”, la regolarità della dipendenza da  $p$  della funzione di emissione permette di porre:

$$f(K - \frac{1}{2}q, x_1) f(K + \frac{1}{2}q, x_2) \approx f(K, x_1) f(K, x_2) \quad (6.34)$$

In [169] si mostra come gli errori introdotti da questa approssimazione siano trascurabili per le tipiche funzioni di emissione degli adroni. Utilizzando l'approssimazione di continuità, la funzione di correlazione assume l'espressione:

$$C_2(\vec{q}, \vec{K}) \approx 1 + \frac{|\int f(K, x) e^{iqx}|^2 dx}{|\int f(K, x)|^2 dx} \quad (6.35)$$

La funzione di emissione  $f(K, x)$  dipende in generale dal quadrivettore  $K$ , dove  $K^0 = \frac{1}{2}(E_1 + E_2)$ . In molte applicazioni si usa un'ulteriore approssimazione, detta di "on shell", in cui:

$$f(K^0, \vec{K}, x) \approx f(E_K, \vec{K}, x) \quad \text{dove : } E_K = \sqrt{m^2 + \vec{K}^2} \quad (6.36)$$

Anche in tal caso le correzioni, che possono essere calcolate sistematicamente, risultano essere trascurabili [169].

#### 6.2.4 Condizione di shell di massa

Sebbene la funzione di correlazione sia ottenuta come trasformata di Fourier della  $f(K, x)$ , come indicato dalla eq. 6.35, la funzione di emissione non può essere ricostruita in maniera univoca dal correlatore. Ciò è dovuto al fatto che le particelle rivelate obbediscono alla condizione di "shell di massa"  $p_1^2 = p_2^2 = m_1^2 = m_2^2$ , e pertanto:

$$K \cdot q = p_1^2 - p_2^2 = m_1^2 - m_2^2 = 0 \quad (6.37)$$

il che implica che solo tre delle quattro componenti dell'impulso relativo  $q$  sono cinematicamente indipendenti. Quindi la dipendenza da  $q$  di  $C_2(q, K)$  permette di sondare solo tre delle quattro direzioni indipendenti dello spazio-tempo. È inevitabile quindi introdurre una dipendenza dai modelli nel ricostruire la  $f(K, x)$ . Questa dipendenza può essere rimossa fornendo ulteriori informazioni non provenienti dalla correlazione tra particelle identiche. L'eq. 6.37 suggerisce di utilizzare la correlazione tra particelle non identiche, con diverse combinazioni di masse. Particelle non identiche non presentano ovviamente correlazione di natura statistica, ma la correlazione proveniente dall'interazione nello stato finale contiene tuttavia informazioni sulla funzione di emissione. Attualmente la correlazione tra particelle non identiche è oggetto di intensa attività di ricerca [170][171][172][173][174][175].

#### 6.2.5 Parametrizzazione gaussiana della funzione di correlazione

La funzione di correlazione è generalmente parametrizzata con una funzione gaussiana nelle componenti della differenza tra gli impulsi delle due particelle. Questa discende ovviamente

da una parametrizzazione della funzione di emissione anch'essa di tipo gaussiano. Si esprima dunque  $f(K, x)$  come

$$f(K, x) = N(K) f(K, \bar{x}(K)) \exp \left[ -\frac{1}{2} \tilde{x}^\mu(K) B_{\mu\nu} \tilde{x}^\nu(K) \right] \quad (6.38)$$

dove  $B_{\mu\nu}$  è un tensore simmetrico  $3 \times 3$  che descrive la curvatura della funzione di correlazione intorno a  $\vec{q} = 0$ . Le coordinate  $\tilde{x}_\mu$  sono definite riferendosi a  $\bar{x}(K)$ , il “centro effettivo della sorgente” per bosoni emessi con impulso  $\vec{K}$  [176][177][178]:

$$\tilde{x}^\mu(K) = x^\mu - \bar{x}^\mu \quad \bar{x}^\mu(K) = \langle x^\mu \rangle (K) \quad (6.39)$$

dove  $\langle \dots \rangle$  indica una media sulla funzione di emissione:

$$\langle g \rangle (K) = \frac{\int g(x) f(K, x) dx}{\int f(K, x) dx}$$

La scelta

$$(B^{-1})_{\mu\nu}(K) = \langle \tilde{x}_\mu \tilde{x}_\nu \rangle (K) \quad (6.40)$$

assicura che la funzione di emissione gaussiana (eq. 6.38) abbia le stesse larghezze quadratiche medie (nello spazio-tempo) della funzione di emissione completa. Inserendo l'eq. 6.38 nella relazione fondamentale, eq. 6.33, si ottiene la seguente forma gaussiana per la funzione di correlazione:

$$C_2(\vec{q}, \vec{K}) = 1 + \exp \left[ -q_\mu q_\nu \langle \tilde{x}^\mu \tilde{x}^\nu \rangle (\vec{K}) \right] \quad (6.41)$$

in cui si sono assunte le approssimazioni di continuità e di “on shell”, che permettono di esprimere le varianze spazio-temporali  $\langle \tilde{x}^\mu \tilde{x}^\nu \rangle$  come funzioni del solo  $\vec{K}$ . Poiché la funzione di correlazione dipende solo dalle distanze relative  $\tilde{x}_\mu$ , essa non fornisce alcuna informazione circa la posizione assoluta  $\bar{x}(\vec{K})$  del centro della sorgente nello spazio-tempo. La funzione di correlazione, eq. 6.41, dà accesso alle larghezze quadratiche medie della “sorgente effettiva” di particelle di impulso  $\vec{K}$ . In generale queste larghezze non caratterizzano l'estensione totale della regione di collisione, ma piuttosto la “regione di omogeneità” [179], cioè le dimensioni della regione da cui vengono emesse con maggiore probabilità coppie di particelle con impulso  $\vec{K}$ . Le varianze spazio-temporali coincidono con l'estensione totale della sorgente solo quando la funzione di emissione non presenta correlazioni tra impulso e posizione e si fattorizza come

$$f(K, x) = A^2(K) \rho(x)$$

Per confrontare l'eq. 6.41 con i dati sperimentali bisogna eliminare una delle quattro

componenti di  $q_\mu$  per mezzo della condizione di shell di massa. A seconda della scelta delle tre componenti indipendenti, si ottengono diverse parametrizzazioni gaussiane; le più accreditate sono quella cartesiana e quella di Yano-Koonin-Podgoretskii (YKP).

### Parametrizzazione cartesiana

Nella parametrizzazione cartesiana si adopera il sistema di coordinate di riferimento  $osl$ , illustrato in fig. 6.3, basato sulle tre componenti cartesiane spaziali della differenza d'impulso  $q_o$  (*out*),  $q_s$  (*side*),  $q_l$  (*long*). La componente temporale è eliminata per mezzo della

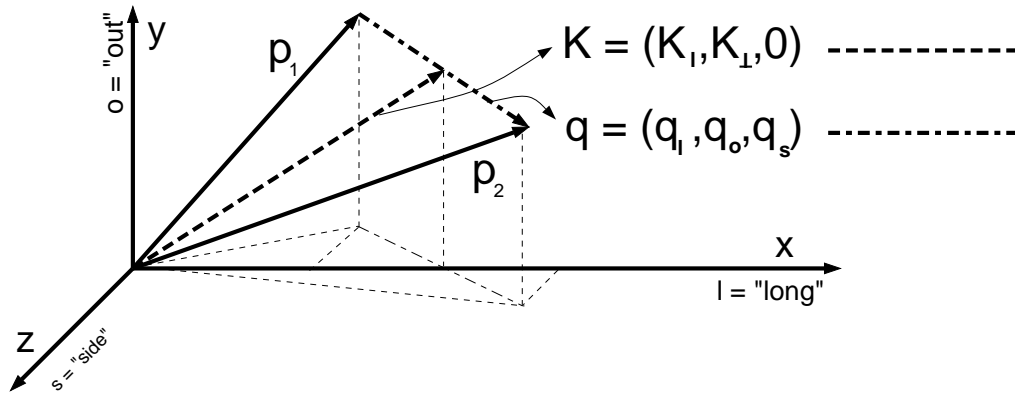


Figura 6.3: Sistema di coordinate  $osl$ : la direzione longitudinale (*long*) è parallela all'asse del fascio. Nel piano ad esso perpendicolare, la direzione *out* è presa parallela alla componente trasversa dell'impulso della coppia  $\vec{K}_\perp$ ; la restante componente cartesiana individua la direzione *side*.

condizione di shell di massa (eq. 6.37):

$$q_0 = \vec{\beta} \cdot \vec{q} \quad \vec{\beta} = \frac{\vec{K}}{K^0} \quad (6.42)$$

$$\vec{\beta} = (\beta_l, \beta_\perp, 0) \quad \text{nel sistema } osl \quad (6.43)$$

In generale, nel sistema di riferimento del laboratorio,  $C_2(\vec{q}, \vec{K})$  dipende non solo da  $K_\perp$  e  $K_l$ , ma anche dall'orientazione azimutale  $\Phi$  dell'impulso trasverso della coppia  $\vec{K}_\perp$ . Questo angolo non compare esplicitamente nel sistema  $osl$  che è orientato diversamente per ogni coppia. Si deve dunque definire  $\Phi$  rispetto a qualche direzione indipendente dalla particolare coppia considerata nel sistema laboratorio, ad esempio rispetto al parametro di impatto  $\vec{b}$ . Per collisioni centrali ( $\vec{b} = 0$ ) la regione di collisione presenta simmetria azimutale e le

funzioni di emissione e di correlazione non dipendono da  $\Phi$ . Nel sistema *osl* l'indipendenza da  $\Phi$  si manifesta in una simmetria per riflessione rispetto alla direzione *side* [180]:

$$\begin{aligned} f_{lab}(K_{\perp}, \Phi, K_l; x) &= f_{lab}(K_{\perp}, \Phi + \delta\Phi, K_l; x) \iff \\ f_{osl}(K_{\perp}, K_l; x_l, x_s, x_o, t) &= f_{osl}(K_{\perp}, K_l; x_l, -x_s, x_o, t) \end{aligned} \quad (6.44)$$

Per la simmetria per riflessioni  $x_s \rightarrow -x_s$  della funzione di emissione, si ha  $\bar{y} = \langle y \rangle = 0$  e le tre varianze spazo-temporali  $\langle \tilde{x}_{\mu} \tilde{x}_{\nu} \rangle (\vec{K})$  lineari in  $\tilde{y}$  sono nulle. Il tensore simmetrico  $B_{\mu\nu}(\vec{K})$  ha quindi solo sette componenti indipendenti non nulle. Esse si combinano per formare quattro parametri  $R_{ij}^2(\vec{K})$  non nulli che caratterizzano la funzione di correlazione [176][177]:

$$R_s^2(\vec{K}) = \langle \tilde{x}_s^2 \rangle (\vec{K}) \quad (6.45)$$

$$R_o^2(\vec{K}) = \langle (\tilde{x}_o - \beta_{\perp} \tilde{t})^2 \rangle (\vec{K}) \quad (6.46)$$

$$R_l^2(\vec{K}) = \langle (\tilde{x}_l - \beta_l \tilde{t})^2 \rangle (\vec{K}) \quad (6.47)$$

$$R_{ol}^2(\vec{K}) = \langle (\tilde{x}_o - \beta_{\perp} \tilde{t})(\tilde{x}_l - \beta_l \tilde{t}) \rangle (\vec{K}) \quad (6.48)$$

$$R_{os}^2(\vec{K}) = 0 \quad (6.49)$$

$$R_{sl}^2(\vec{K}) = 0 \quad (6.50)$$

Nel sistema *osl*, nell'ipotesi di simmetria azimutale, la funzione di correlazione assume quindi l'espressione

$$C_2(\vec{q}, \vec{K}) = 1 + \lambda \exp \left[ -R_o^2 q_o^2 - R_s^2 q_s^2 - R_l^2 q_l^2 - 2|R_{ol}|R_{ol} q_l q_o \right] \quad (6.51)$$

che sarà utilizzata per riprodurre i dati sperimentali<sup>1</sup>.

### Parametrizzazione di Yano-Koonin-Podgoretskii

La condizione di shell di massa,  $K \cdot q = 0$ , permette di scegliere differientemente le tre componenti indipendenti di  $q$ . La parametrizzazione di Yano-Koonin-Podgoretskii (YKP), che presuppone una regione di collisione a simmetria azimutale<sup>2</sup>, utilizza le componenti  $q_{\perp} = \sqrt{q_o^2 + q_s^2}$ ,  $q^0$ ,  $q_{\parallel}$  e la funzione:

$$\begin{aligned} C_2(\vec{q}, \vec{K}) = 1 + \lambda \exp \left[ -R_{\perp}^2(\vec{K}) q_{\perp}^2 - R_{\parallel}^2(\vec{K}) (q_{\parallel}^2 - (q^0)^2) \right. \\ \left. - (R_0^2(\vec{K}) + R_{\parallel}^2(\vec{K})) (q \cdot U(\vec{K}))^2 \right] \end{aligned} \quad (6.52)$$

<sup>1</sup>Nel caso di collisioni non centrali, la simmetria azimutale è ristabilita quando si considera un insieme molto numeroso di collisioni caratterizzato da una distribuzione "random" del parametro di impatto  $\vec{b}$ .

<sup>2</sup>Vedi nota 1.

In questa espressione  $U(\vec{K})$  è una quadrivelocità con la sola componente spaziale non nulla nella direzione longitudinale:

$$U(\vec{K}) = \gamma(\vec{K})(1, v_{yk}(\vec{K}), 0, 0)$$

$$\gamma(\vec{K}) = \frac{1}{\sqrt{1 - v_{yk}^2(\vec{K})}}$$

Poiché  $(q_l^2 - (q^0)^2)$ ,  $(q \cdot U(\vec{K}))^2$  e  $q_\perp^2$  si comportano come scalari a seguito di trasformazioni di Lorentz (“boost”) nella direzione longitudinale, i tre parametri  $R_\perp^2(\vec{K})$ ,  $R_0^2(\vec{K})$  e  $R_\parallel^2(\vec{K})$  sono invarianti a seguito di tali trasformazioni. I loro valori non dipendono quindi dalla velocità longitudinale del sistema di riferimento. Il parametro  $v_{yk}(\vec{K})$ , noto come velocità di Yano-Koonin, è strettamente legato alla velocità della sorgente [181]. La corrispondente rapidità

$$Y_{YK}(\vec{K}) = \frac{1}{2} \ln \left( \frac{1 + v_{yk}(\vec{K})}{1 - v_{yk}(\vec{K})} \right) \quad (6.53)$$

si trasforma in maniera additiva a seguito di “boost” longitudinali. Le relazioni tra i parametri introdotti e le varianze spazio-temporali  $\langle \tilde{x}^\mu \tilde{x}^\nu \rangle$  sono date da [181][182]:

$$R_\perp^2(\vec{K}) = R_s^2(\vec{K}) = \langle \tilde{y}^2 \rangle (\vec{K}) \quad (6.54)$$

$$R_0^2(\vec{K}) = A - v_{yk}C \quad (6.55)$$

$$R_\parallel^2(\vec{K}) = B - v_{yk}C \quad (6.56)$$

$$v(\vec{K}) = \frac{A+B}{2C} \left( 1 - \sqrt{1 - \left( \frac{2C}{A+B} \right)^2} \right) \quad (6.57)$$

dove  $\vec{\beta} = \vec{K}/K^0$  e, con la notazione  $\tilde{\xi} = \tilde{y} + i\tilde{z}$ ,

$$A = \langle \left( \tilde{t} - \frac{\tilde{\xi}}{\beta_\perp} \right)^2 \rangle (\vec{K})$$

$$B = \langle \left( \tilde{x} - \frac{\beta_l}{\beta_\perp} \tilde{\xi} \right)^2 \rangle (\vec{K})$$

$$C = \langle \left( \tilde{t} - \frac{\tilde{\xi}}{\beta_\perp} \right) \left( \tilde{x} - \frac{\beta_l}{\beta_\perp} \tilde{\xi} \right) \rangle (\vec{K})$$

### 6.2.6 Approccio sperimentale

Nell’eq. 6.24, la definizione di  $C_2$  corrisponde alla scelta  $\mathcal{N} = 1$  del fattore di normalizzazione nella definizione più generale della funzione di correlazione:

$$C_2 = \mathcal{N} \frac{P(p_1, p_2)}{P(p_1)P(p_2)}. \quad (6.58)$$

$P(p_1, p_2)$  e  $P(p)$ , che qui conviene riscrivere in termini delle sezioni d'urto differenziali come:

$$P(p) = E \frac{1}{\sigma} \frac{d\sigma_\pi}{d\vec{p}}$$

$$P(p_1, p_2) = E_1 E_2 \frac{1}{\sigma} \frac{d\sigma_{\pi\pi}}{d\vec{p}_1 d\vec{p}_2}$$

sono normalizzati a:

$$\int P(p) \frac{d^3p}{E} = \langle \hat{N} \rangle$$

$$\int P(p_1, p_2) \frac{d^3p_1}{E_1} \frac{d^3p_2}{E_2} = \langle \hat{N}(\hat{N} - 1) \rangle$$

In queste espressioni  $\langle \hat{N} \rangle$  è il valore di aspettazione dell'operatore numero  $\hat{N}$ .

Da un punto di vista sperimentale conviene normalizzare separatamente all'unità il numeratore ed il denominatore della eq. 6.58, il che fornisce

$$\mathcal{N} = \frac{\langle \hat{N} \rangle^2}{\langle \hat{N}(\hat{N} - 1) \rangle}$$

Questa scelta permette infatti di intendere la funzione di correlazione come il fattore che collega la sezione d'urto differenziale per due pioni del mondo reale (cioè in presenza della simmetria di Bose-Einstein), con una ideale, in cui la correlazione di Bose-Einstein non esiste,

$$d\sigma_{\pi\pi}^{BE}/d\vec{p}_1 d\vec{p}_2 = C_2(\vec{q}, \vec{K}) d\sigma_{\pi\pi}^{NBE}/d\vec{p}_1 d\vec{p}_2 \quad (6.59)$$

Per calcolare il denominatore della funzione di correlazione (eq. 6.58), occorre quindi costruire una distribuzione a partire da particelle

- con la stessa massa dei pioni
- con la stessa energia ed impulso delle coppie reali
- estratte da eventi con la stessa molteplicità e lo stesso stato finale
- con le stesse correlazioni di origine dinamica (decadimenti di risonanze)
- senza la correlazione di Bose-Einstein.

Vi sono diversi modi di costruire, dai dati sperimentali, questa distribuzione di riferimento.

1. Il metodo più semplice è quello di prendere coppie  $\pi^- \pi^+$  dallo stesso evento. Energia ed impulso sono conservate e la correlazione di Bose-Einstein sparisce. Tuttavia correlazioni di diversa origine vengono introdotte poiché l'interazione coulombiana è ora attrattiva e molte coppie provengono da decadimenti di risonanze.
2. Un altro approccio possibile è quello di rimescolare le componenti trasverse dell'impulso dei pioni. Questo non aggiunge nuove correlazioni ed il quadrimpulso dell'evento è conservato. Ovviamente vi è violazione per i singoli pioni ma, poiché generalmente  $|p_t| \ll E$ , si ha  $E^2 - p^2 \approx m_\pi^2$  per le nuove particelle. Il problema principale è che la correlazione di Bose-Einstein non è completamente rimossa, specialmente nella direzione longitudinale.
3. Prendendo pioni identici da eventi diversi non si introducono nuove correlazioni. Si viola però la conservazione dell'energia e dell'impulso. Questo effetto si riduce combinando eventi con stato finale simile e diventa trascurabile per i tipici stati finali delle interazioni tra ioni pesanti, caratterizzati da un'elevata molteplicità. La correlazione di Bose-Einstein è in tal caso quasi del tutto eliminata [183].

### 6.2.7 Un modello per una sorgente in espansione

Come esposto nei paragrafi precedenti, la condizione di shell di massa rende l'interpretazione dei raggi HBT dipendente dal modello con cui si parametrizza la funzione di emissione. Un modello alquanto generale e flessibile è stato sviluppato da S. Chapman et al. [184]. La funzione di emissione ha la forma, nel sistema di unità naturali ( $c=1$ ):

$$f(K, x) = \frac{M_\perp \cosh(\eta - Y)}{(2\pi)^3 \sqrt{2\pi(\Delta\tau)^2}} \exp\left[-\frac{K \cdot u(x)}{T}\right] \exp\left[-\frac{(\tau - \tau_0)^2}{2(\Delta\tau)^2} - \frac{r^2}{2R_G^2} - \frac{(\eta - \eta_0)^2}{2(\Delta\eta)^2}\right] \quad (6.60)$$

dove le coordinate nelle direzioni longitudinali e temporali sono parametrizzate dalla rapidità (spazio-temporale)  $\eta = 0.5 \ln[(t+x)/(t-x)]$  e dal tempo proprio longitudinale  $\tau = \sqrt{t^2 - x^2}$ , quelle trasversali da  $r = \sqrt{y^2 + z^2}$ . L'impulso della coppia è specificato dalla rapidità della coppia  $Y = 0.5 \ln[(1+\beta_l)/(1-\beta_l)]$  e dalla massa trasversa  $M_\perp = \sqrt{m^2 + K_t^2}$ , avendo assunto  $K^0 = E_K = \sqrt{m^2 + \vec{K}^2}$  (approssimazione di "on shell").  $u^\mu$  parametrizza infine la velocità del flusso nella forma:

$$u^\mu(x) = \left( \cosh \eta_l(\tau, \eta) \cosh \eta_t(r), \sinh \eta_l(\tau, \eta) \cosh \eta_t(r), \frac{y}{r} \sinh \eta_t(r), \frac{z}{r} \sinh \eta_t(r) \right).$$

Il primo fattore dell'eq. 6.60 specifica la forma dell'iper-superficie al "freeze-out". Il secondo codifica l'ipotesi di equilibrio termico locale sovrapposto ad un'espansione collettiva: si

assume una rapidità del flusso longitudinale indipendente da  $\tau$  ( $\eta_t(\tau, \eta) = \eta$ ), cioè un profilo (di Bjørken [24])  $v_l = x/t$  nella direzione longitudinale, ed un profilo lineare di intensità  $\eta_f$  per la rapidità di flusso trasverso:  $\eta_t(r) = \eta_f \frac{r}{R_G}$ . L'ultimo fattore ha invece un'interpretazione puramente geometrica.

I parametri del modello sono dunque l'intensità del flusso trasverso  $\eta_f$  in unità di rapidità o, equivalentemente, il valor medio della *velocità* del flusso trasverso  $\langle \beta_T \rangle$  (la velocità e la rapidità del flusso sono legate dalla relazione  $\beta_{\perp} = \tanh \eta_t$ ; nel seguito ci si riferirà a  $\langle \beta_T \rangle$ , che verrà indicato più semplicemente come  $\beta_T$ , piuttosto che ad  $\eta_f$ ), la temperatura al freeze-out  $T$ , il raggio geometrico trasverso  $R_G$ , il tempo proprio di freeze-out  $\tau_0$  e la durata dell'emissione  $\Delta\tau$  (ossia la dispersione di  $\tau$  attorno a  $\tau_0$ ), il centro della distribuzione di rapidità della sorgente  $\eta_0$  e la sua larghezza gaussiana  $\Delta\eta$ .

### 6.2.8 Estrazione dei parametri della sorgente dalla studio dei “raggi HBT”

Come discusso nei paragrafi precedenti, nel caso di una sorgente statica i raggi HBT estratti dal “*best fit*” alla distribuzione misurata sperimentalmente forniscono direttamente le dimensioni geometriche della sorgente. Nel caso di una sorgente in espansione questa semplice interpretazione non è più valida ed i raggi HBT dipendono dall'impulso della coppia  $K$ . Per comprendere questo aspetto, si consideri un osservatore che guardi una regione di collisione che si trova in uno stato di rapida espansione. Alcune regioni della sorgente si muovono verso l'osservatore e lo spettro d'impulso delle particelle emesse da queste regioni risulterà “spostato verso il blu” per effetto Doppler (“*blue-shift*”); altre regioni della sorgente si allontanano dall'osservatore ed appariranno quindi “spostate verso il rosso” (“*red-shift*”). Se l'osservatore guarda la regione di collisione con un filtro di lunghezze d'onda, osserverà soltanto una parte della regione di collisione. Con l'espressione coniata da Sinyukov [179] si dirà che l'osservatore guarda una “regione di omogeneità”.

Nell'interferometria HBT, il ruolo del filtro di lunghezze d'onda è espletato dall'impulso della coppia  $\vec{K}$ . La direzione di  $\vec{K}$  corrisponde alla direzione da cui la sorgente viene osservata. Il modulo di  $\vec{K}$  caratterizza la velocità centrale  $\beta = \vec{K}/K_0$  di quella parte della sorgente che è osservata attraverso il filtro di lunghezza d'onda. La situazione è schematizzata nella fig. 6.4; al variare della direzione e del modulo di  $\vec{K}$ , regioni differenti della sorgente vengono misurate. La posizione del centro di una regione di omogeneità  $\langle x_{\mu} \rangle$  (cfr. eq. 6.39) dipende da  $\vec{K}$  e si trova generalmente tra il centro della sorgente e l'osservatore. Nell'approssimazione gaussiana, la regione di omogeneità è descritta con un ellissoide quadrimensionale (nello spazio-tempo) centrato attorno a  $\langle \tilde{x}_{\mu} \rangle$  e caratterizzato

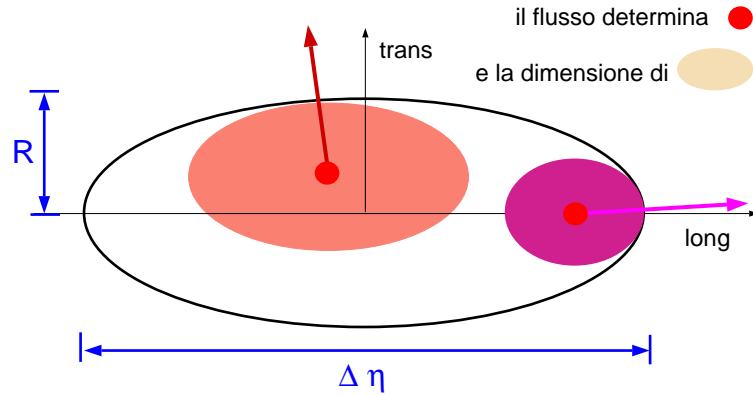


Figura 6.4: Schema della regione di emissione delle particelle con espansione dinamica collettiva. L'ampiezza e l'orientazione del momento medio della coppia  $\vec{K}$  fungono come filtro di lunghezze d'onda: al variare di  $\vec{K}$ , le misure HBT sono sensibili a diverse parti della regione di collisione.

(localmente) da una funzione di emissione  $f(\vec{K}, x)$ , secondo l'eq. 6.38. Le larghezze di questa regione di omogeneità corrispondono alle varianze spazio-temporali  $\langle \tilde{x}_\mu \tilde{x}_\nu \rangle(\vec{K})$ , fornite dall'eq. 6.40. Pertanto i raggi HBT danno accesso alle varianze spazio-temporali (cioè alle larghezze della regione di omogeneità); essi non dipendono invece dal “centro effettivo” della sorgente  $\langle x_\mu \rangle(\vec{K})$  per particelle di impulso  $\vec{K}$ .

Le informazioni sulla geometria al “freeze-out” e sulla dinamica di espansione della sorgente possono essere ricavate dallo studio della dipendenza dei raggi HBT dall'impulso della coppia. L'interpretazione non è però univoca per quanto discusso nel *paragrafo 6.2.3*, ma è indispensabile riferirsi a qualche modello.

A partire dal modello proposto in questo paragrafo (eq. 6.60), si possono ricavare [179, 184] le relazioni seguenti che permettono di estrarre i parametri della sorgente:

$$R_\perp(K_t, Y_{\pi\pi}) = R_G \left[ 1 + M_t \frac{\beta_\perp^2}{T} \cosh(Y_{YK} - Y_{\pi\pi}) \right]^{-\frac{1}{2}} \quad (6.61)$$

$$R_\parallel(K_t, Y_{\pi\pi}) = \tau_o \left[ \frac{M_t}{T} \cosh(Y_{YK} - Y_{\pi\pi}) - \cosh^{-2}(Y_{YK} - Y_{\pi\pi}) + 1/(\Delta\eta)^2 \right]^{-\frac{1}{2}} \quad (6.62)$$

$$\Delta\tau \simeq R_0 \quad \text{ad elevati } K_t \quad (6.63)$$

$$(\Delta\eta)^2 = (\Delta y)^2 - \frac{T}{m_T} \quad (6.64)$$

In queste espressioni  $R_\perp$ ,  $R_\parallel$  ed  $R_0$  sono i raggi HBT della parametrizzazione di Yano-Koonin (eq. 6.52);  $K_t$  e  $Y_{\pi\pi}$  sono la componente trasversale dell'impulso medio e la rapidità media della coppia

$$\begin{aligned} K_t &= \frac{1}{2} \sqrt{(p_{y1} + p_{y2})^2 + (p_{z1} + p_{z2})^2}; \\ Y_{\pi\pi} &= \frac{1}{2} \log \frac{E_1 + E_2 + p_{x1} + p_{x2}}{E_1 + E_2 - p_{x1} - p_{x2}} \end{aligned} \quad (6.65)$$

ed  $M_t = \sqrt{K_t^2 + m_\pi^2}$ . Nell'eq. 6.64  $\Delta y$  è pari alla larghezza della distribuzione di rapidità dei  $\pi^-$ , quantità misurabile dagli esperimenti di grande accettazione, e permette di ottenere la larghezza della distribuzione di rapidità della sorgente  $\Delta\eta$ . Questa quantità, cui WA97 non ha accesso, è stata misurata da NA49 che ha determinato il valore  $\Delta\eta = 1.3 \pm 0.1$  [189]. Dall'eq. 6.61 è possibile ricavare il raggio geometrico trasverso  $R_G$  ed il rapporto  $\frac{\beta_\perp^2}{T}$ . Dallo studio della distribuzione di massa trasversa di singola particella si ottiene un'ulteriore informazione sulle due variabili  $\beta_\perp$  e  $T$ , come prescritto dall'eq. 1.32 che per convenienza si riscrive:

$$T_{app} = T \sqrt{\frac{1 + \beta_\perp}{1 - \beta_\perp}}.$$

Dalla dipendenza del raggio  $R_\parallel$  da  $(K_t, Y_{\pi\pi})$  (eq. 6.62) si ricava il valor medio del tempo (proprio) di “freeze-out”  $\tau_0$ . La durata del “freeze-out”  $\Delta\tau$  si ricava dal valore del raggio  $R_0$  ad elevati  $K_t$ . Infine si possono estrarre informazioni sull'espansione longitudinale dallo studio della dipendenza di  $v_{yk}$  (od equivalentemente dalla sua rapidità  $Y_{YK}$ , eq. 6.53) dalla rapidità media della coppia  $Y_{\pi\pi}$ .

### 6.3 Discussione dei risultati

Ci si soffermerà inizialmente sull'aspetto dell'analisi che riguarda il calcolo delle correzioni per l'interazione coulombiana tra le particelle della coppia poichè il metodo che è stato sviluppato a tal fine rappresenta una novità. Inoltre si sono confrontati tra loro i diversi approcci generalmente seguiti per calcolare questo tipo di correzione. Per tutti gli altri aspetti tecnici dell'analisi, quali la correzione dovuta alla risoluzione di coppie di tracce o la procedura di “best fit” delle correlazioni misurate sperimentalmente, si rimanda alla pubblicazione acclusa (cioè alla referenza [159]).

### 6.3.1 Correzione per interazione coulombiana

L'interazione coulombiana tra due particelle di carica elettrica dello stesso segno introduce un'anticorrelazione in quanto le due particelle interagenti vengono accelerate l'una rispetto all'altra. Il calcolo delle correzioni è di notevole importanza in quanto gli effetti dell'interazione coulombiana non sono trascurabili rispetto a quelli dell'interferenza di Bose-Einstein ed agiscono sulla funzione di correlazione entrambi a piccoli valori dell'impulso relativo e su scale confrontabili. I diversi metodi utilizzati per calcolare le correzioni possono quindi modificare i risultati dei "raggi HBT" e l'andamento della loro dipendenza dall'impulso medio della coppia  $\vec{K}$ .

L'interazione coulombiana tra due particelle cariche è descritta dalla funzione d'onda relativa della coppia, espressa in termini della funzione ipergeometrica confluyente  $F$ :

$$\begin{aligned}\Psi_{\vec{q}/2}^{coul}(\vec{r}) &= \Gamma(1 + i\eta) e^{-\frac{1}{2}\pi\eta} e^{\frac{i}{2}\vec{q}\cdot\vec{r}} F(-i\eta; 1; z_{\pm}) \\ z_{\pm} &= \frac{1}{2}(qr \pm \vec{q}\cdot\vec{r}) = \frac{1}{2}qr(1 \pm \cos\theta)\end{aligned}\quad (6.66)$$

dove  $r = |\vec{r}|$ ,  $q = |\vec{q}|$  e  $\theta$  denota l'angolo tra i due vettori  $\vec{r}$  e  $\vec{q}$ . Il parametro di Sommerfeld  $\eta = \alpha/(v_{rel}/c)$  dipende dalla massa della particella  $m$  e dall'intensità della costante di accoppiamento elettromagnetica  $\alpha$ . Conviene indicare:

$$\eta_{\pm} = \pm \frac{e^2}{4\pi} \frac{\mu}{q/2} = \pm \frac{me^2}{4\pi q}$$

dove  $\mu$  è pari alla massa ridotta ed il segno + ed il segno - si riferiscono, rispettivamente, a coppie di carica opposta e di ugual carica. Se le particelle vengono emesse da una sorgente *statica* a distanza relativa iniziale  $r$  con probabilità  $f_{stat}(\vec{r}, \vec{K})$ , la correlazione per l'interazione coulombiana è pari alla media del modulo quadro della funzione d'onda eq. 6.66:

$$C_2^{Coul}(\vec{q}, \vec{K}) = \int d^3r f_{stat}(\vec{r}, \vec{K}) |\Psi_{\vec{q}/2}^{coul}(\vec{r})|^2. \quad (6.67)$$

La dipendenza da  $\vec{K}$  viene generalmente trascurata nel calcolare le correzioni coulombiane.

La maniera più semplice e più frequentemente adoperata per "correggere" gli effetti introdotti dall'interazione coulombiana tra le due particelle che contribuiscono alla correlazione sperimentale prescrive di includere il cosiddetto fattore di Gamow; questo è pari al modulo quadro della funzione d'onda  $\Psi_{\vec{r}/2}^{coul}(0)$ , soluzione dell'equazione di Schrodinger a due corpi e valutata a separazione radiale nulla. Si assume infatti implicitamente una sorgente di tipo puntiforme:  $f_{stat}(\vec{r}) = \delta^{(3)}(\vec{r})$ . La correlazione dovuta all'interazione coulombiana fornita dall'eq. 6.67 diventa quindi il fattore

$$G(\eta) = \left| \Psi_{\vec{q}/2}^{coul}(0) \right|^2 = \frac{2\pi\eta}{e^{2\pi\eta} - 1} \quad (6.68)$$

Nei primi studi la funzione di correlazione di Bose-Einstein per particelle cariche identiche era calcolata dividendo quella misurata per il fattore di Gamow:

$$C_{corr}(\vec{q}, \vec{K}) = C_{mis}(\vec{q}, \vec{K})/G(\eta_-).$$

La correzione di Gamow sovrastima tuttavia le correzioni da apportare, in quanto assume una sorgente puntiforme; nel caso di interazioni tra nuclei pesanti, caratterizzate da sorgenti di estesi volumi, l'imprecisione diviene intollerabile [185]. Inoltre, in un ambiente ad elevata molteplicità quale è quello prodotto in collisioni relativistiche tra ioni pesanti, effetti di schermaggio possono ridurre l'interazione dello stato finale fino a quando le particelle non si sono allontanate sufficientemente dal vertice dell'interazione.

Un notevole miglioramento si può ottenere calcolando il fattore di correzione per una sorgente statica di dimensioni finite, come suggerito da diversi autori [186, 187, 188]. Tipicamente si assume una distribuzione gaussiana, del tipo  $f_{stat}(\vec{r}) \propto \exp[-r^2/4R^2]$ . Il fattore di correzione e la funzione di correlazione corretta diventano quindi, rispettivamente:

$$F_{corr}^{stat}(\vec{q}) = \int d^3r f_{stat}(\vec{r}) |\Psi_{\vec{q}/2}^{coul}(\vec{r})|^2 \quad (6.69)$$

$$C_{corr}(\vec{q}, \vec{K}) = C_{mis}(\vec{q}, \vec{K})/F_{corr}^{stat}(\vec{q}) \quad (6.70)$$

Nel modello classico suggerito da Baym e Braun-Munzinger [188] si tiene conto degli effetti dell'interazione coulombiana ed anche di quelli di schermaggio del mezzo nucleare trascurando l'interazione coulombiana delle particelle fino a quando queste distano per meno di una certa quantità  $r_0$ , ed includendo la sola interazione coulombiana relativa quando la loro separazione supera  $r_0$ . La differenza di impulso iniziale,  $\vec{q}_0$ , e quella finale misurata,  $\vec{q}$ , sono quindi legate dalla relazione:

$$\frac{(\vec{q}/2)^2}{2\mu} = \frac{(\vec{q}_0/2)^2}{2\mu} \pm \frac{e^2}{r_0}$$

dove il segno + vale per particelle di stesso segno di carica, quello – per coppie di carica opposta. La funzione di correlazione per due particelle viene quindi modificata dallo Jacobiano  $|d^3q_0/dq^3| = q_0/q$  e diventa:

$$C(\vec{q}) = \left| \frac{d^3q_0}{dq^3} \right| C_0(\vec{q}) = C_0(\vec{q}) \sqrt{1 \mp \frac{2\mu e^2}{r_0(q/2)^2}} \quad (6.71)$$

Per calcolare il valore di  $r_0$  necessario per correggere i dati sperimentali nella correlazione tra particelle di ugual carica, si può studiare la correlazione tra particelle di carica opposta ( $\pi^-$  e  $\pi^+$ ) per le quali la correlazione non ha origine dalla statistica quantistica, ma

essenzialmente dall'interazione nello stato finale. Assumendo che la correlazione abbia solo origine nell'interazione coulombiana ( $C_0 = 1$ ) si parametrizza la distribuzione di coppie di carica opposta con la funzione:

$$\sqrt{1 + \frac{2\mu e^2}{r_o(q/2)^2}}.$$

Noto  $r_0$ , si corregge quindi il contributo che ciascuna coppia apporta alla funzione di correlazione tra particelle identiche moltiplicando per il fattore:

$$\frac{1}{\sqrt{1 - \frac{m_\pi e^2}{r_o(q/2)^2}}}. \quad (6.72)$$

I tre metodi esposti in questa breve panoramica sono tutti, per diversi aspetti, insoddisfacenti. Delle limitazioni intrinseche del semplice fattore di Gamow si è già discusso; i metodi che assumono una sorgente estesa e statica sono altresì criticabili nello studio delle collisioni tra ioni ultra-relativistici in cui si attende un elevato flusso collettivo della materia nucleare da cui sono emesse le particelle. Il modello di Baym e Braun-Munzinger ha delle attrattive, in quanto si basa sulla misura sperimentale della correlazione tra particelle di carica opposta (che quindi può tener anche conto di effetti strumentali altrimenti non apprezzabili), ma anche molte limitazioni. In primo luogo non è detto che trascurare completamente l'interazione tra le particelle della coppia per  $r < r_0$  tenga conto correttamente dello schermaggio elettrico dell'ambiente circostante. Inoltre, la correzione è la stessa per tutte le componenti di  $\vec{q}$ , dipendendo solo dal modulo: ciò vuol dire che si assume implicitamente simmetria spaziale sferica per la sorgente e nessuna dipendenza dal tempo (cioè la sorgente è ancora di tipo statico).

Si è sviluppato pertanto un nuovo metodo nel quale si calcolano le correzioni per interazione coulombiana assumendo che l'emissione delle particelle avvenga da una sorgente in espansione, secondo lo stesso modello fornito dall'eq. 6.60 che viene poi impiegato in fase di interpretazione dei risultati sperimentali. Il fattore di correzione viene dunque calcolato a partire dall'eq. 6.69, in cui  $f_{stat}$  viene sostituita dalla funzione dell'eq. 6.60 che assume una sorgente in espansione. Operativamente il calcolo non è eseguito in maniera analitica ma con una tecnica Monte Carlo in cui si generano particelle secondo tale funzione di emissione (eq. 6.60) e per ciascuna coppia si calcola la funzione d'onda  $\Psi_{\vec{q}/2}^{coul}(\vec{r})$ . Il metodo Monte Carlo è stato verificato applicandolo al caso di una sorgente puntiforme, parametrizzata con la funzione  $f_{point} = \delta^{(3)}(\vec{r})\delta(t - t_0)$  in cui tutte le particelle sono emesse simultaneamente da un unico punto dello spazio, e confrontando i risultati con quanto prescritto dal fattore di Gamow. In fig. 6.5 è mostrato il risultato di questa verifica: la curva continua rappresenta la correlazione calcolata con il fattore di Gamow (eq. 6.68), i punti con le barre di errore

il risultato del Monte Carlo per la correlazione di origine coulombiana nel caso di sorgente puntiforme. L'ottimo accordo tra le due distribuzioni dà fiducia nel metodo.

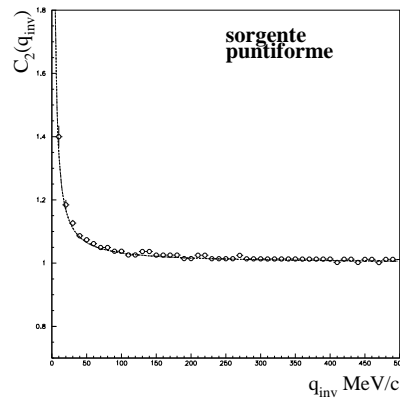


Figura 6.5: Risultati del calcolo con il Monte Carlo per la correlazione dovuta all'interazione coulombiana nel caso di sorgente puntiforme (cerchietti) con sovrapposta la predizione del fattore di Gamow (curva continua).

Tuttavia, venendo al caso della funzione di emissione (eq. 6.60), vi è il problema che ancora non si conoscono i parametri del modello  $(T, \beta_{\perp}, R_G, \tau_0, \Delta\tau, \Delta\eta)$ , che sono le quantità che si desidera misurare con l'analisi HBT. È dunque necessario procedere in modo iterativo:

- si parte da una correzione coulombiana iniziale ragionevole, quale quella ottenuta col metodo di Baym e Braun-Munzinger, a partire dalla misura della correlazione tra particelle di carica opposta, come si vedrà;
- si calcolano dei valori iniziali per i parametri del modello, a partire dallo studio della dipendenza dei raggi HBT, estratti dalla funzione di correlazione così corretta, nel modo discusso in dettaglio nella pubblicazione allegata (cioè la referenza [159]);
- si calcola nuovamente la correzione coulombiana, utilizzando adesso il nuovo metodo implementato, che assume la sorgente in espansione con i parametri ottenuti nella fase precedente; si calcolano nuovamente i raggi HBT per la funzione di correlazione così corretta, ed a partire da questi si ricalcolano i nuovi parametri del modello  $(T, \beta_{\perp}, R_G, \tau_0, \Delta\tau, \Delta\eta)$ ;
- si ripete la procedura fino a quando non si ottiene la convergenza dei valori dei parametri.

La convergenza è stata raggiunta già dopo la prima iterazione, suggerendo così che la correzione iniziale del metodo di Baym e Braun-Munzinger e quella finale calcolata per una sorgente in espansione sono tra loro abbastanza simili.

In fig. 6.6 sono mostrati i risultati finali per le correzioni  $F(\vec{q})$  calcolate nel modo appena descritto e, per confronto, le correzioni calcolate con gli altri approcci descritti in precedenza. L'istogramma in grigio è il risultato del metodo sviluppato che suppone una sorgente in

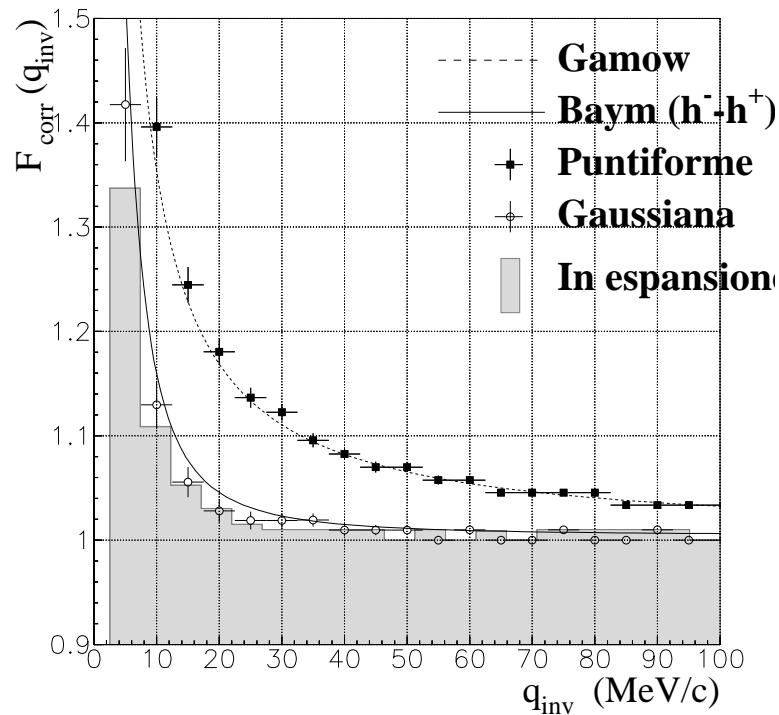


Figura 6.6: Risultati delle correzioni per interazione coulombiana secondo diversi metodi di calcolo. Si veda il testo per il loro significato.

espansione. Esso è quello che fornisce le correzioni più piccole. Il metodo di Baym e Braun-Munzinger prescrive una correzione secondo la curva a tratto continuo nella fig. 6.6. Per calcolare questa curva si è studiata la correlazione tra le particelle di carica opposta, ottenendo un raggio effettivo  $r_0 = 6.1 \pm 0.5$  fm, compatibile con quello misurato da NA49 [168], e si è calcolata la funzione fornita dall'eq. 6.72. I cerchietti vuoti si riferiscono al caso della sorgente statica gaussiana (eq. 6.69, eq. 6.70) di raggio  $R = 4$  fm, valore frequentemente incontrato in letteratura. Nella fig. 6.6 sono anche riportati i risultati del

fattore di Gamow e della sorgente puntiforme, descritti in riferimento alla fig. 6.5. È evidente come il fattore di Gamow sovrastimi in modo significativo le correzioni; il metodo con la sorgente gaussiana statica e quello dello studio della correlazione tra coppie di carica opposta (secondo il modello di Baym e Braun-Munzinger) sono tra loro in buon accordo. Entrambi sovrastimano però le correzioni nel caso di una sorgente in espansione, soprattutto a piccoli valori di  $q_{inv}$ , che sono quelli più critici per lo studio delle correlazioni.

### 6.3.2 Studio della dipendenza dei raggi HBT dall'impulso della coppia $\vec{K}$

Per poter studiare la dipendenza dei raggi HBT dall'impulso medio della coppia  $\vec{K}$ , si è suddivisa la finestra di accettazione, definita per questo studio nel piano  $(Y_{\pi\pi}, K_t)$ , nei 20 intervalli indicati nella tab. 6.1. La funzione di correlazione è stata quindi misurata in

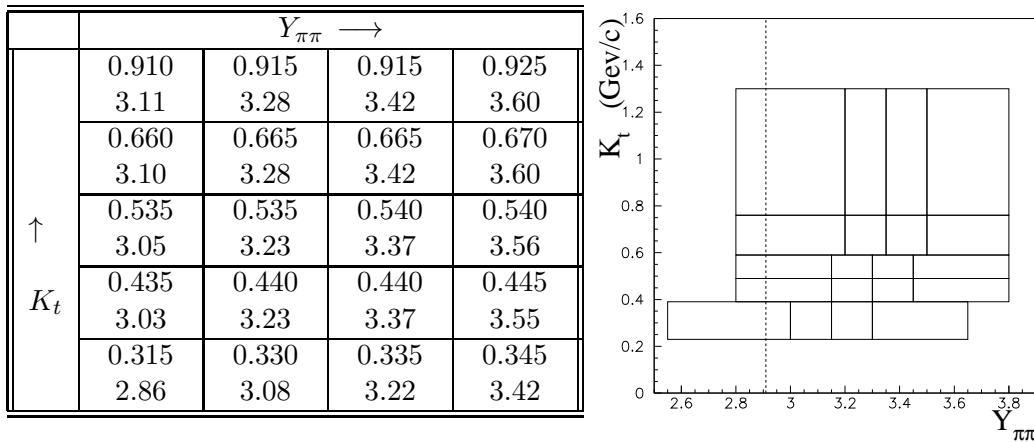


Tabella 6.1: Finestra di accettazione per le coppie di particelle di carica negativa nel piano  $(Y_{\pi\pi}, K_t)$  (a destra). Per ciascuno dei venti rettangoli in cui si è suddivisa la finestra di accettazione sono riportati il valor medio della distribuzione di  $K_t$  (numeri in alto in ciascuna cella) e quello della distribuzione di  $Y_{\pi\pi}$  (numeri in basso). La linea tratteggiata in figura indica il valore di rapidità centrale.

ciascuno dei venti rettangoli così definiti, sia nella parametrizzazione cartesiana (eq. 6.51) sia in quella di Yano-Koonin (eq. 6.52). I raggi estratti dalla parametrizzazione cartesiana sono stati sistematicamente adoperati per controllare quelli dell'altra parametrizzazione, come spiegato in dettaglio in [159]. In fig. 6.7 sono mostrate le proiezioni della funzione di correlazione misurata nell'intervallo a valori di  $K_t$  più piccoli.

L'analisi è stata ripetuta in ciascuna delle quattro classi di centralità definite nell'esperimento WA97 (*cfr. paragrafo 1.5.3* ed in particolare la tab. 1.5). In tal modo si è

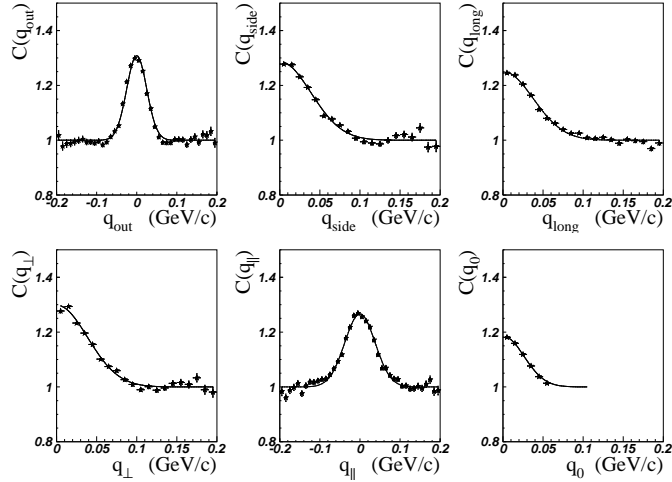


Figura 6.7: Proiezioni della funzione di correlazione per coppie  $h^-h^-$  misurata adoperando la parametrizzazione cartesiana (in alto) e quella YKP (in basso) per coppie di rapidità  $2.55 < Y_{\pi\pi} < 3.65$  ed impulso trasverso  $0.23 < K_t < 0.39$  GeV/c.

realizzato uno studio della dinamica di espansione della sorgente in funzione della centralità della collisione.

### Temperatura e dimensione trasversa al “freeze-out”, intensità del flusso trasverso collettivo

Dal “best fit” ai raggi sperimentali  $R_{\perp}$  misurati nei venti intervalli di  $(Y_{\pi\pi}, K_t)$  con la funzione definita dall’eq. 6.61 si sono estratti il raggio trasverso  $R_G$  ed il rapporto  $\beta_{\perp}^2/T$ . Combinando l’informazione sul rapporto  $\beta_{\perp}^2/T$  con quella della temperatura apparente calcolata dagli spettri di massa trasversa (eq. 1.32) è possibile disaccoppiare le due quantità. Ciò è mostrato nella fig. 6.8, in cui per ciascuna classe di centralità, si delimitano delle regioni fiduciali nel piano  $(\beta_{\perp}, T)$ . I valori adoperati per  $T_{app}$  sono quelli pubblicati in [28]. I valori estratti per le quantità  $R_G$ ,  $\beta_{\perp}$  e  $T$  sono riportati nella tabella 6.2 riassuntiva e saranno discussi in seguito.

### Espansione longitudinale

In fig. 6.9 è mostrata la dipendenza della rapidità di  $Y_{YK}$  (eq. 6.53) dalla rapidità della coppia, per le quattro classi di centralità. Entrambe le rapidità sono qui calcolate nel riferimento del laboratorio. È stato suggerito [182] che la dipendenza della rapidità  $Y_{YK}$  (eq. 6.53) dalla rapidità della coppia fornisce una misura diretta dell’espansione

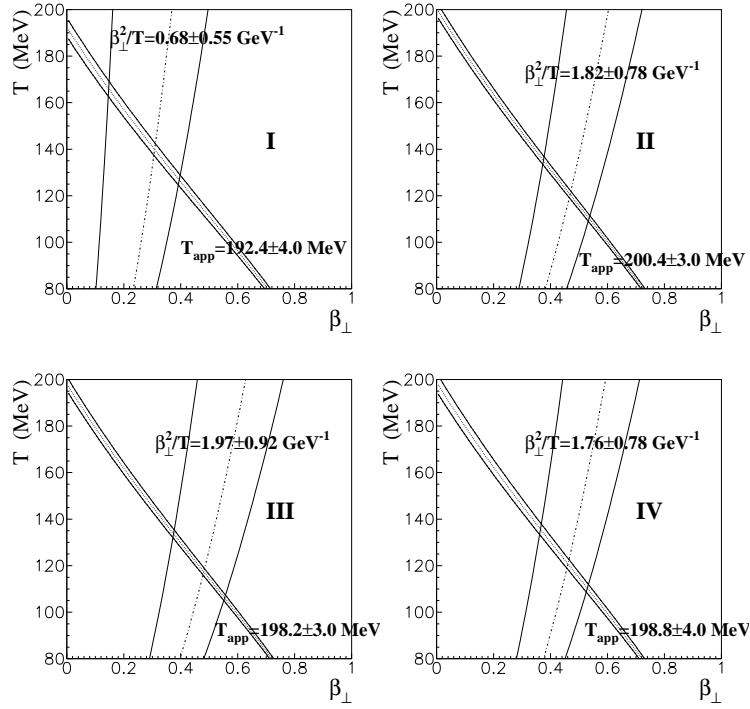


Figura 6.8: Regioni permesse per la coppia di variabili  $\beta_{\perp}$  (velocità del flusso trasverso) e  $T$  (temperatura di “freeze-out”), in funzione della centralità della collisione. La classe I corrisponde alle collisioni più periferiche, quella IV alle più centrali.

longitudinale della sorgente, ben separata dalla dinamica nella direzione trasversale. In particolare, per una sorgente statica (nella direzione longitudinale)  $Y_{YK}$  dovrebbe essere indipendente da  $Y_{\pi\pi}$  (linee orizzontali in fig. 6.9), mentre per una sorgente (in espansione) invariante per “boost” di Lorentz nella direzione longitudinale le due variabili dovrebbero essere completamente correlate (linee a  $45^\circ$  nella fig. 6.9). Si attende invece soltanto una debole dipendenza di  $Y_{YK}$  (od equivalentemente della relativa velocità  $v_{yk}$ ) da  $K_t$ .

I dati sperimentali indicano pertanto un’espansione longitudinale molto meno intensa per la classe di centralità più periferica.

Studiando la correlazione tra la velocità di Yano-Koonin (a partire dalla quale si calcola  $Y_{YK}$ , secondo l’eq. 6.53) e l’impulso trasverso della coppia  $K_t$ , si osserva, contrariamente alle previsioni del modello, una forte dipendenza di  $v_{yk}$  da  $K_t$ , come è mostrato in fig. 6.10. Eseguendo un “best fit” ai dati sperimentali con la relazione lineare  $v_{yk} = a + bK_t$ , si trovano delle pendenze  $b$  simili tra le diverse classi di centralità (con un valore di circa

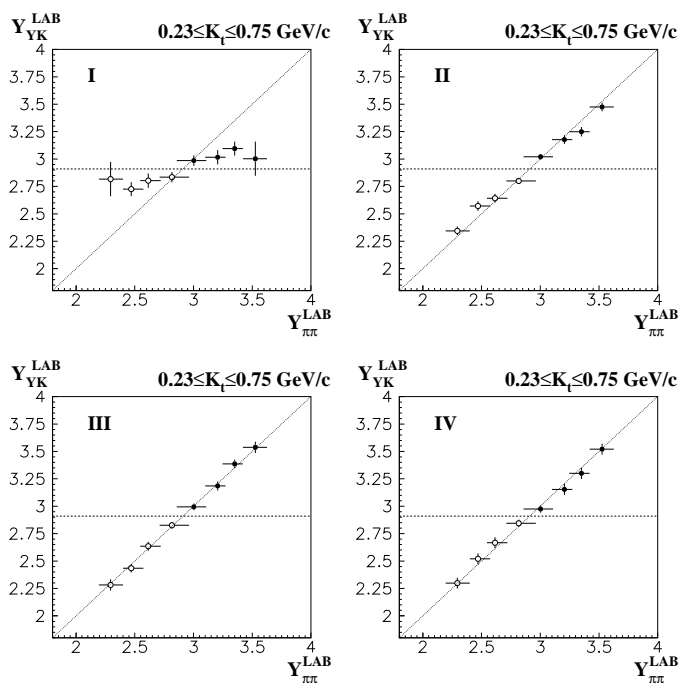


Figura 6.9: Dipendenza di  $Y_{YK}$  dalla rapidità della coppia per le diverse classi di centralità. I cerchietti pieni sono i dati sperimentali, quelli vuoti sono i dati riflessi rispetto a  $y_{cm}$ .

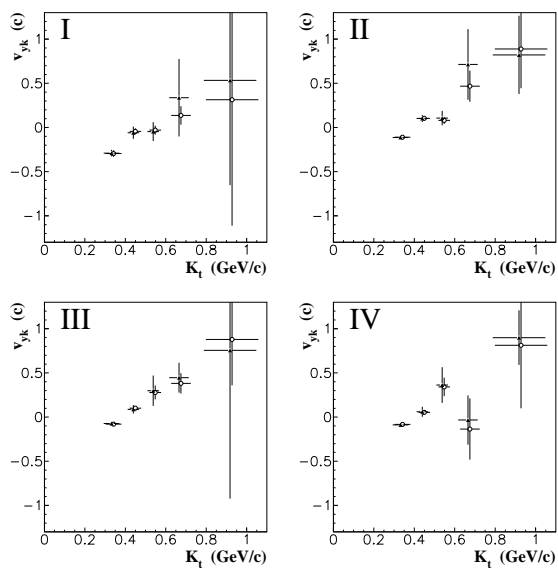


Figura 6.10: Dipendenza della velocità di Yano-Koonin da  $K_t$ .

$1.5[\text{GeV}c^{-2}]^{-1}$ ), mentre l'intercetta  $a$  è diversa per la classe I ( $a \approx -0.8c$ ), rispetto alle classi II-III-IV ( $a \approx -0.6c$ ). La relazione lineare diventa non fisica ( $v_{yk} > c$ ) per  $K_t > \frac{c-a}{b} \sim 1 \text{ GeV}c^{-1}$ , e pertanto si attende una saturazione di  $v_{yk}$ , per elevati valori di  $K_t$ , ad un valore prossimo alla velocità della luce. Tutto ciò implica che i due semplici scenari suggeriti come riferimenti discutendo la fig. 6.9 (quello di sorgente statica o di sorgente in rapida espansione longitudinale) non sono del tutto validi, ma bisogna tener conto del particolare intervallo di  $K_t$  considerato. Per elevati  $K_t$ , infatti, le linee a  $45^\circ$  della fig. 6.9 possono essere oltrepassate, mentre riducendo il valore di  $K_t$  i punti sperimentali si spostano verso la curva orizzontale. Tuttavia la conclusione, tratta precedentemente, che l'espansione nella direzione longitudinale è meno intesa per la classe I è ancora valida: (i) i quattro grafici in fig. 6.9 sono infatti ottenuti per valori di  $K_t$  distribuiti (con stesso valor medio) nello stesso intervallo  $[0.23, 0.75] \text{ GeV}/c$ ; (ii) l'intercetta  $a$  assume un valore più piccolo (o meglio meno negativo) per la sola classe I.

### Durata del “freeze-out”: $\Delta\tau$

In fig. 6.11 è mostrata la dipendenza del quadrato del “raggio”  $R_0$  dall'impulso trasverso della coppia, per le quattro classi di centralità. Questi grafici sono stati ottenuti integrando sull'intero spettro di  $Y_{\pi\pi}$  allo scopo di ridurre l'errore statistico nella determinazione di  $R_0^2$ , che è il parametro con l'errore associato più elevato. Ciò è lecito in quanto non si è osservata dipendenza di  $R_0^2$  da  $Y_{\pi\pi}$  (cfr. pubblicazione [159]).

È preferibile misurare il parametro  $R_0^2$ , piuttosto che la sua radice quadrata, in quanto per alcuni modelli di emissione esso potrebbe assumere anche valori negativi [190]. Questo è il caso, ad esempio, delle sorgenti *opaque*, per le quali è previsto un forte riassorbimento delle particelle dalla materia nucleare. Per tali sorgenti l'emissione delle particelle avviene dunque prevalentemente dalla superficie (processo di evaporazione), come nel caso dei fotoni emessi dal Sole. I risultati trovati suggeriscono, per tutte le classi di centralità, un “freeze-out” quasi istantaneo (cioè  $\Delta\tau \approx 0$ ) da parte di una sorgente trasparente.

### Durata dell'espansione: tempo proprio del “freeze-out” $\tau_0$

L'ultimo raggio estratto dal “best fit”,  $R_{||}$ , permette di ricavare il tempo proprio del “freeze-out”  $\tau_0$ , tramite l'eq. 6.62. I valori del parametro  $\tau_0$  ricavati dal “best fit” della funzione 6.62 ai raggi  $R_{||}$  misurati in funzione di  $(K_t, Y_{\pi\pi})$  sono riportati nella tab. 6.2, per le quattro classi di centralità. Nuovamente, la classe I presenta una differente dinamica rispetto alle altre classi: il “freeze-out” avviene dopo soli  $3.7 \text{ fm}/c$ , mentre per le altre classi si ha dopo  $5 \text{ fm}/c$ .

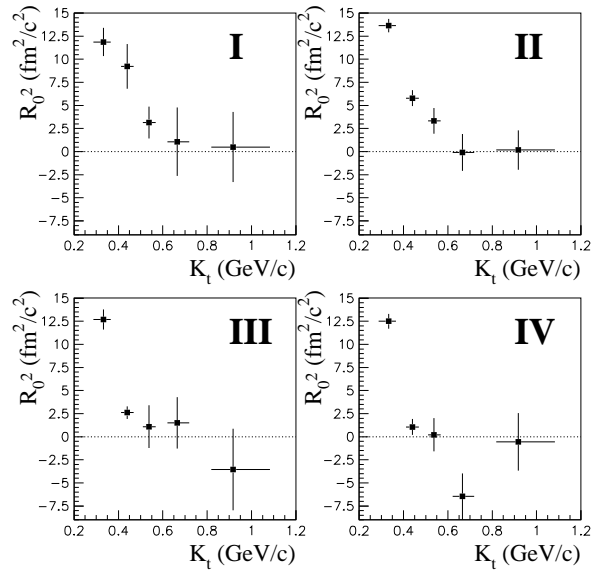


Figura 6.11: Dipendenza del parametro  $R_0^2$  estratto dal “best fit” delle funzioni di correlazione dall’impulso  $K_t$ , per le diverse classi di centralità.

### 6.3.3 Discussione finale

Nella tab. 6.2 sono riassunti i risultati dello studio della correlazione HBT in funzione della centralità della collisione. Questi dati forniscono implicitamente una descrizione dinamica della sorgente di particelle.

Volendo verificare se questa descrizione sia autoconsistente, si può confrontare la radice della larghezza quadratica media bi-dimensionale  $R_{rms}^{freezeout} = \sqrt{2}R_G$  con l’analoga quantità valutata per un nucleo freddo di piombo:

$$R_{rms}^{Pb} = \sqrt{\frac{2}{5}} 1.2A^{1/3} \simeq 4.5 \text{ fm} \quad (6.73)$$

Per le collisioni più centrali (classi III e IV), il sistema si espande di un fattore di  $\sim 1.6$  o, equivalentemente, di 2.65 fm nella direzione trasversa. Se la velocità del flusso trasverso è pari a  $\beta_{\perp} \simeq 0.47c$  durante tutta l’espansione, nell’intervallo di tempo pari a  $\tau_0 \simeq 5.6 \text{ fm}c^{-1}$  la materia nucleare percorre  $\tau_0\beta_{\perp} \simeq 2.6$  fm nella direzione trasversa. Questo valore è consistente con la precedente stima fornita dalla differenza  $R_{rms}^{freezeout} - R_{rms}^{Pb}$ . Pertanto, la descrizione HBT è auto-consistente.

	IV	III	II	I
$R_G(\text{fm})$	$5.1 \pm 0.6$	$5.0 \pm 0.6$	$4.6 \pm 0.4$	$3.2 \pm 0.3$
$T(\text{MeV})$	$120^{+15}_{-11}$	$117^{+16}_{-11}$	$121^{+15}_{-11}$	$140^{+26}_{-13}$
$\beta_{\perp}(c)$	$0.46^{+0.07}_{-0.10}$	$0.48^{+0.08}_{-0.11}$	$0.47^{+0.07}_{-0.10}$	$0.30^{+0.09}_{-0.16}$
$\tau_0(\text{fm}/c)$	$5.6 \pm 0.2$	$5.6 \pm 0.2$	$5.1 \pm 0.2$	$3.7 \pm 0.2$
$\Delta\tau(\text{fm}/c)$	$\approx 0$ ad elevati $K_t$			
Espansione longitud.	veloce			lenta

Tabella 6.2: Parametri della sorgente di pioni per le collisioni Pb-Pb a 160 A GeV/c nelle quattro classi di centralità di WA97.

Per collisioni più periferiche (classi I e II), la regione di sovrapposizione iniziale dei nuclei di piombo deve essere più piccola di quanto fornito dall'eq. 6.73, ma una stima realistica di tale sovrapposizione non è immediata. Tuttavia è ancora possibile, partendo da questi dati, risalire al momento della collisione. Se al “freeze-out” la radice della larghezza quadratica media bi-dimensionale nella direzione trasversa è pari a 4.5 fm (6.5 fm) per la classe I (classe II), tenendo conto di un'espansione totale di  $\tau_0\beta_{\perp} = 1.1$  fm (2.4 fm), è possibile stimare la larghezza iniziale della sorgente nella direzione trasversa pari a 3.4 fm (4.1 fm).

Non è possibile fornire una descrizione quantitativa dell'espansione nella direzione longitudinale. Qualitativamente si può affermare che l'espansione longitudinale diventa più intensa all'aumentare della centralità della collisione (cioè per parametri di impatto più piccoli). Inoltre i risultati ottenuti suggeriscono un salto improvviso passando dalla classe I alla classe II.

Per quel che riguarda lo sviluppo temporale della collisione, si è dedotto che l'emissione dei pioni è un processo improvviso ( $\Delta\tau \approx 0$ ), che inizia dopo  $\sim 5.5 \text{ fm}c^{-1}$  ( $3.7 \text{ fm}c^{-1}$ ) nel caso delle collisioni più centrali (periferiche). Il processo di emissione avviene dall'intero volume e non è dominato dalla superficie. Ciò ricorda il processo di disaccoppiamento dei fotoni nell'universo primordiale.

È lecito supporre che il disaccoppiamento dei pioni sia conseguenza del rapido raffreddamento e della diluizione della densità barionica. Nei modelli termici [154, 191], la temperatura del “freeze-out” chimico ( $\approx 170 \text{ MeV}$ ) necessaria per descrivere i rapporti di produzione delle diverse particelle prodotte è considerevolmente più elevata della temperatura del “freeze-out” termico, qui determinata. Ciò implica che l'abbondanza relativa delle diverse specie raggiunge l'equilibrio prima del termine delle interazioni (forti) che nell'ultima fase sarebbero pertanto solo di tipo elastico (“freeze-out” termico). L'ultima fase dell'espansione

sarebbe così caratterizzata da una diluizione volumetrica della densità barionica senza alcuna apprezzabile ricombinazione delle particelle.



# Conclusioni

I risultati esposti in questa tesi hanno permesso di raggiungere una più approfondita comprensione della dinamica delle collisioni tra nuclei di piombo accelerati dall'SPS del CERN. I principali argomenti d'indagine hanno riguardato:

- (i) lo studio della produzione di particelle strane nelle collisioni nucleari all'energia dell'SPS come evidenza sperimentale della transizione di fase nello stato di QGP;
- (ii) lo studio della dinamica di espansione in funzione della centralità delle collisioni Pb-Pb a 160 A GeV/c con le distribuzioni di massa trasversa delle particelle strane e con l'interferometria HBT tra particelle di carica negativa (prevalentemente pioni).

Per quanto riguarda la produzione di particelle strane, si sono considerati i dati raccolti dall'esperimento NA57 nelle collisioni Pb-Pb a 160 ed a 40 A GeV/c. Più in dettaglio, l'analisi svolta ha riguardato lo studio delle caratteristiche di produzione delle particelle ed anti-particelle con una, due o tre unità di stranezza:  $K_S^0$ ,  $\Lambda$ ,  $\bar{\Lambda}$ ,  $\Xi^-$ ,  $\bar{\Xi}^+$ ,  $\Omega^-$  e  $\bar{\Omega}^+$ , con particolare riguardo alla dipendenza dalla centralità della collisione e dall'energia del proiettile.

Si sono calcolati i tassi di produzione delle  $V^0$  ( $K_S^0$ ,  $\Lambda$  e  $\bar{\Lambda}$ ) e delle cascate ( $\Xi^-$ ,  $\bar{\Xi}^+$ ,  $\Omega^-$  e  $\bar{\Omega}^+$ ) a 160 A GeV/c e quelli delle cascate a 40 A GeV/c. A partire da queste quantità si sono anche ricavati i rapporti di produzione (elementi indispensabili dei modelli termici) che hanno fornito le prime indicazioni significative sulla produzione di stranezza.

Nelle collisioni a 160 A GeV/c è stato possibile confrontare con delle interazioni di riferimento p-Be e p-Pb, alla stessa energia, raccolte precedentemente dall'esperimento WA97. All'energia di 40 A GeV, l'esperimento NA57 ha completato (nel mese di dicembre del 2001) la raccolta degli eventi in interazioni p-Be, attualmente in fase di ricostruzione.

I risultati sulla produzione di stranezza in funzione della centralità (misurata dal numero di partecipanti) suggeriscono il seguente scenario (a 160 GeV): le particelle strane sono prodotte nella regione centrale di rapidità in maniera crescente con la centralità più rapidamente di quanto previsto dalla proporzionalità col numero di partecipanti. Questo

incremento risulta più pronunciato all'aumentare del contenuto di stranezza e raggiunge un fattore 20 nel caso delle  $\Omega$  nella classe di maggior centralità.

Questi risultati sono di difficile interpretazione in termini di produzione in fase adronica, data l'alta soglia in massa delle reazioni di produzione dei barioni multi-strani, e suggeriscono un diverso meccanismo di produzione delle particelle strane, le cui caratteristiche sono quelle attese per la fase di QGP.

Volendo determinare in quale maniera, in termini di nucleoni partecipanti, si passi dal regime di interazioni adroniche (collisioni p-Be e p-Pb) a quello di QGP, supposto per le collisioni Pb-Pb più centrali, si sono tratte le seguenti conclusioni:

- Considerando le sole  $\Xi^+$  si è osservato un repentino incremento, corrispondente ad un effetto pari a  $3.5 \sigma$ , passando da  $\langle N_{part} \rangle = 62$  (classe 0) ad  $\langle N_{part} \rangle = 121$  (classe I). L'incremento satura quindi per le collisioni più centrali.
- Limitatamente alle sole collisioni Pb-Pb, considerando tutte le altre specie ad esclusione delle  $\bar{\Lambda}$  — compatibili con un incremento che abbia ormai raggiunto un valore di saturazione — si osserva che l'incremento aumenta con maggior continuità al crescere della centralità; la dipendenza secondo una funzione potenza ( $Y \propto N_{part}^\beta$ ), escludendo i punti relativi alle collisioni p-A, fornisce una buona descrizione. Il valore dell'esponente  $\beta$  aumenta con il contenuto di stranezza della specie considerata passando da  $\beta \approx 1.2$  per le particelle con una unità di stranezza ( $\Lambda$  e  $K_S^0$ ) a  $\beta \approx 1.5$  per le particelle con tre unità di stranezza ( $\Omega^-$  e  $\bar{\Omega}^+$ ).
- Passando dalle collisioni p-A a quelle Pb-Pb si osserva una crescita talmente brusca che neanche una dipendenza secondo una legge di potenza riesce a raccordare con continuità.

Per poter trarre argomentazioni conclusive sul modo in cui si passa dal regime adronico, proprio delle collisioni p-A, a quello di QGP, supposto per le collisioni Pb-Pb più centrali, si avverte la necessità di esplorare l'intervallo di centralità compreso tra  $\langle N_{part} \rangle = 62$  (classe 0 delle interazioni Pb-Pb) ed  $\langle N_{part} \rangle = 4.5$  (interazioni p-Pb). La Collaborazione NA57 ha quindi avanzato la richiesta di studiare le collisioni di un sistema più leggero del Pb-Pb, quale l'In-In.

Lo studio della produzione di stranezza in funzione dell'energia della collisione è stato eseguito confrontando i risultati delle collisioni Pb-Pb a 40 ed a 160 A GeV/c (cioè, in termini di energia nel centro di massa nucleone-nucleone, rispettivamente,  $\sqrt{s_{NN}} = 8.8$  GeV e  $\sqrt{s_{NN}} = 17.3$  GeV) e quelli delle collisioni Au-Au determinati dalla collaborazione STAR all'energia del RHIC ( $\sqrt{s_{NN}} = 130$  GeV).

I risultati sui tassi di produzione di  $\Xi$  ed  $\Omega$  nelle collisioni Pb-Pb a 40 A GeV/c indicano una maggior densità barionica nella regione della collisione rispetto ai 160 A GeV/c.

I rapporti di produzione anti-iperone/iperone (per  $\Lambda$ ,  $\Xi$  ed  $\Omega$ ) aumentano con l'energia passando dall'energia di NA57 a quella di STAR, dove approssimano il valore unitario. La dipendenza dall'energia dei rapporti è via via più debole per le particelle con maggior contenuto di stranezza.

Il secondo campo d'indagine ha riguardato lo studio della dinamica di espansione del sistema Pb-Pb dopo la collisione, valutando in particolare la temperatura di completo disaccoppiamento degli adroni dello stato finale (“*freeze-out* termico”) e la velocità di espansione della “*fireball*”, seguendo due diversi approcci: in uno si utilizzano le distribuzioni di massa trasversa delle particelle strane studiate, con un “*best-fit*” globale nel contesto di un modello termico; nell'altro si studiano gli effetti di correlazione tra bosoni identici, essenzialmente pioni (interferometria HBT).

Lo studio degli spettri di massa trasversa delle diverse particelle strane identificate ha evidenziato il raggiungimento di un equilibrio termico di tipo locale della materia interagente formatasi in seguito alla collisione.

Le prime indicazioni qualitative fornite dallo studio — in diversi esperimenti — delle temperature apparenti estratte da tali distribuzioni, in funzione della massa delle particelle, suggeriscono la presenza di un moto collettivo di espansione nella direzione trasversa sovrapposto al moto termico.

Lo studio *simultaneo* di tutti gli spettri a 160 A GeV/c effettuato in questo lavoro ha permesso di disaccoppiare in modo quantitativo la componente termica da quella dovuta al flusso trasverso. Si sono potute ricavare la temperatura del “*freeze-out* termico” e la velocità media del flusso trasverso. Nel caso delle collisioni Pb-Pb più centrali si è misurata una temperatura di “*freeze-out*” pari a circa 130 MeV ed una velocità media di espansione collettiva trasversa pari a circa la metà della velocità della luce.

Tutte le particelle strane considerate,  $\Omega$  incluse, rientrano in questa descrizione.

Il “*freeze-out* termico” ha le stesse caratteristiche, entro gli errori sperimentali, per le particelle che condividono almeno un quark di valenza in comune con quelli preesistenti nei nucleoni collidenti e per quelle che non ne condividono alcuno.

Lo studio della dipendenza degli spettri di massa trasversa dalla centralità della collisione ha portato alla seguente conclusione: al diminuire della centralità diminuisce l'intensità del flusso trasverso collettivo ed aumenta la temperatura di “*freeze-out*”. Per le due classi di collisioni più periferiche (0- $I$ ) la soluzione privilegiata è addirittura quella di assenza di moto collettivo trasverso ( $\beta_{\perp} \approx 0$ ) e massima componente termica ( $T \approx 250$  MeV).

Lo studio delle temperature apparenti relative agli spettri di massa trasversa delle cascate ( $\Xi$  ed  $\Omega$ ) a 40 GeV/c ha fornito le seguenti indicazioni:

- anche a 40 GeV/c si misura, entro gli errori sperimentali, una stessa temperatura apparente per particelle ( $\Xi^-$ ) ed anti-particelle ( $\bar{\Xi}^+$ );
- la temperatura apparente della  $\Xi^-$  (quella misurata con la minor indeterminazione statistica) risulta significativamente inferiore a quella misurata a 160 GeV/c. Ciò può esser dovuto ad una minore intensità del flusso trasverso ed alla minor energia iniziale del sistema.

Come secondo metodo d'indagine per lo studio della dipendenza dalla centralità della dinamica di espansione delle collisioni Pb-Pb a 160 A GeV/c si è utilizzata la tecnica dell'interferometria HBT. Si sono analizzati i dati raccolti dalla collaborazione WA97 relativi alle particelle di carica negativa, costituite prevalentemente da  $\pi^-$ .

È stata sviluppata una nuova procedura per il calcolo delle correzioni per l'interazione coulombiana che tiene conto delle caratteristiche della sorgente da cui vengono emesse le particelle (forma e dimensione, dinamica di espansione, etc.). Questo metodo è stato confrontato con gli altri utilizzati tradizionalmente: il confronto ha mostrato che gli altri metodi tendono a sovrastimare le correzioni per piccoli valori della differenza d'impulso tra le due particelle (cioè nella regione più critica per lo studio delle correlazioni).

Lo studio della correlazione è stato condotto in maniera indipendente in due diverse parametrizzazioni (quella cartesiana e quella di YKP), sia nel calcolo delle correzioni (per l'interazione coulombiana e per la risoluzione di coppie di tracce) sia nella procedura di "best fit" alle funzioni di correlazione. Le due parametrizzazioni hanno fornito risultati tra loro compatibili.

Dallo studio della dipendenza dei "raggi HBT" dall'impulso medio della coppia si sono ricavate le seguenti quantità in funzione della centralità delle collisioni:

- il raggio trasverso gaussiano (bidimensionale) al "freeze-out";
- la durata dell'espansione del sistema sino al "freeze-out";
- la durata del "freeze-out";
- informazioni sull'espansione longitudinale;
- la temperatura di "freeze-out" e la velocità media dell'espansione trasversa <sup>3</sup>.

---

<sup>3</sup>Queste ultime due quantità sono state disaccoppiate l'una dall'altra dall'analisi simultanea dello spettro di massa trasversa di singola particella degli  $h^-$ .

I risultati ottenuti per la temperatura e per la velocità del flusso nella direzione trasversa per la classe di collisioni più centrali (la *IV*) sono compatibili, entro gli errori sperimentali, con quelli determinati dallo studio dei soli spettri di massa trasversa delle particelle strane nella stessa classe di centralità. Questa compatibilità, relativa ai risultati di due diversi campioni di particelle (gli  $h^-$ , costituiti prevalentemente da  $\pi^-$ , e le particelle strane), con due diversi metodi di analisi (l'interferometria HBT e lo studio degli spettri di massa trasversa per particelle di diversa massa) ed in due differenti esperimenti (WA97 ed NA57), dà fiducia nei risultati presentati. Nelle altre classi di centralità, raggruppate in modo diverso, il confronto non è immediato. La dipendenza qualitativa dalla centralità dà però indicazioni ancora in accordo tra loro: l'intensità del flusso trasverso diminuisce al diminuire della centralità della collisione e contemporaneamente aumenta la temperatura finale di "freeze-out".

Considerando tutti i parametri estratti dall'interferometria HBT, la più importante conclusione che si trae da questa analisi è la seguente: la classe di minor centralità studiata (la *I*) presenta una dinamica di espansione *significativamente* differente da quella delle classi di maggior centralità. Il sistema si espande di meno sia nella direzione longitudinale sia in quella trasversale, la dimensione trasversa al "freeze-out" è minore (consistentemente con la minor intensità dell'espansione), la durata dell'espansione è minore, la temperatura finale è più elevata. I parametri della sorgente per le due classi di collisioni più centrali (*III* e *IV*) sono tra loro molto simili, suggerendo così lo stesso stato geometrico e dinamico per queste classi. La classe *II* presenta dei parametri intermedi tra le classe *I* e *III-IV*; la sua dinamica è tuttavia molto più prossima a quella delle classi *III-IV*.

Alla luce di questi risultati, considerando anche le indicazioni degli altri esperimenti dell'SPS ed in modo particolare quelle di NA50 a proposito della soppressione della produzione del mesone  $J/\Psi$ , si può quindi affermare, con ragionevole certezza, che nelle collisioni Pb-Pb più centrali (a 160 A GeV/c) venga formato un nuovo stato della materia che ha molte delle proprietà previste per il QGP. In seguito il sistema si adronizza ed evolve sino al "freeze-out termico" secondo un'espansione "esplosiva", con velocità pari a circa la metà della velocità della luce, raffreddandosi ad una temperatura di circa 120-130 MeV.



## Appendice A

# Calcolo di alcune quantità col modello di Glauber

Sia  $t(\mathbf{b}) d\mathbf{b}$  la probabilità di avere un'interazione anelastica nucleone–nucleone quando i due nucleoni sono situati ad un parametro d'impatto relativo  $\mathbf{b}$  entro l'elemento di area trasversa  $d\mathbf{b}$ . La funzione  $t(\mathbf{b})$  è chiamata *funzione di spessore* nucleone–nucleone ed è normalizzata come

$$\int t(\mathbf{b}) d\mathbf{b} = 1 \quad (\text{A.1})$$

Per collisioni tra nucleoni non polarizzati,  $t(\mathbf{b})$  dipende dal modulo del parametro di impatto  $b$ . Se  $\sigma_{in}$  è la sezione d'urto anelastica nucleone-nucleone, la probabilità di un'interazione anelastica fra due nucleoni con parametro d'impatto relativo  $\mathbf{b}$  è  $t(\mathbf{b})\sigma_{in}$ . Nella collisione tra un nucleo proiettile B con un nucleo bersaglio A, schematizzata in fig. A.1, sia  $\rho_B(\mathbf{b}_B, x_B) d\mathbf{b}_B dx_B$  la probabilità di trovare un nucleone nell'elemento di volume  $d\mathbf{b}_B dx_B$  del nucleo B, alla posizione  $(\mathbf{b}_B, x_B)$ . Si osservi che  $\rho_B(\mathbf{b}_B, x_B)$ , con la normalizzazione

$$\int \rho_B(\mathbf{b}_B, x_B) d\mathbf{b}_B dx_B = 1, \quad (\text{A.2})$$

è l'usuale funzione di densità nucleare divisa per il numero di nucleoni del nucleo. In modo simile si definisce la probabilità di trovare un nucleone del nucleo A alla posizione  $(\mathbf{b}_A, x_A)$ .

La probabilità che avvenga una collisione anelastica tra due nucleoni, in un urto tra i nuclei con parametro di impatto  $\mathbf{b}$ , viene definita come la funzione di spessore nucleo-nucleo  $T(\mathbf{b})$  moltiplicata per la sezione d'urto anelastica nucleone–nucleone  $\sigma_{in}$

$$T(\mathbf{b})\sigma_{in} = \int T_A(\mathbf{b}_A)T_B(\mathbf{b}_B)t[\mathbf{b} - (\mathbf{b}_A - \mathbf{b}_B)]\sigma_{in} d\mathbf{b}_A d\mathbf{b}_B \quad (\text{A.3})$$

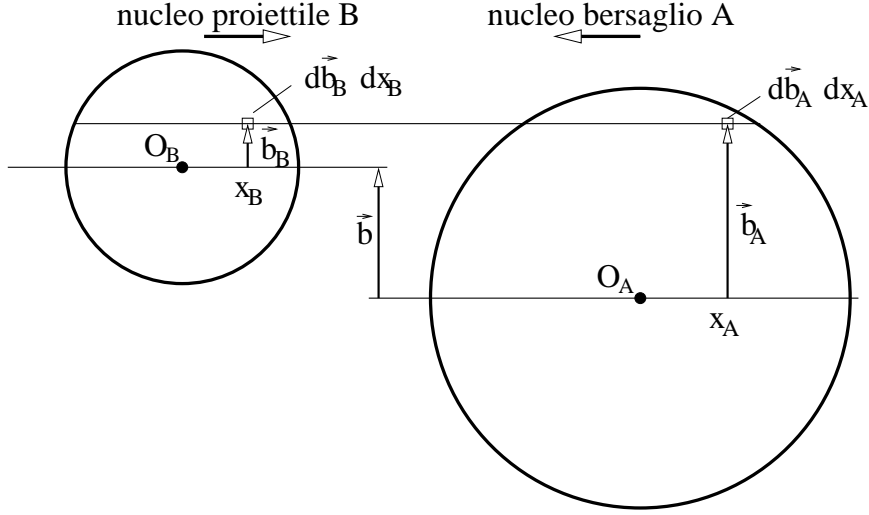


Figura A.1: Schema della collisione con parametro di impatto  $\mathbf{b}$  tra un nucleo proiettile  $B$  ed un nucleo bersaglio  $A$ .

dove le funzioni di spessore  $T_i(\mathbf{b}_i)$ ,  $i = A, B$ , sono definite come

$$T_i(\mathbf{b}_i) = \int \rho_i(\mathbf{b}_i, x_i) dx_i \quad (\text{A.4})$$

In virtù delle equazioni A.1, A.2, le funzioni di spessore nucleare  $T_A(\mathbf{b}_A)$ ,  $T_B(\mathbf{b}_B)$  e  $T(\mathbf{b})$  sono anch'esse normalizzate all'unità.

Applicando le definizioni introdotte, si può scrivere la probabilità che per una collisione ad un dato parametro di impatto  $\mathbf{b}$  si abbiano esattamente  $n$  collisioni anelastiche nucleone–nucleone

$$P(n, \mathbf{b}) = \binom{AB}{n} [T(\mathbf{b})\sigma_{in}]^n [1 - T(\mathbf{b})\sigma_{in}]^{AB-n} \quad (\text{A.5})$$

dove il primo fattore del termine di destra rappresenta il numero di possibili estrazioni di  $n$  collisioni tra le possibili  $AB$  combinazioni nucleone–nucleone, il secondo fornisce la probabilità di avere esattamente  $n$  interazioni ed il terzo fattore dà la probabilità di avere  $AB - n$  “non-interazioni”. Sommando la A.5 da  $n = 1$  ad  $AB$ , si ottiene la probabilità di avere almeno un'interazione anelastica in una collisione con parametro d'impatto  $\mathbf{b}$

$$\frac{d\sigma_{in}^{AB}(\mathbf{b})}{d\mathbf{b}} = \sum_{n=1}^{AB} P(n, \mathbf{b}) = 1 - [1 - T(\mathbf{b})\sigma_{in}]^{AB} \quad (\text{A.6})$$

il cui integrale fornisce la sezione d'urto anelastica totale  $\sigma_{in}^{AB}(\mathbf{b})$

$$\sigma_{in}^{AB}(\mathbf{b}) = \int \sum_{n=1}^{AB} P(n, \mathbf{b}) d\mathbf{b} = \int \left\{ 1 - [1 - T(\mathbf{b})\sigma_{in}]^{AB} \right\} d\mathbf{b} \quad (\text{A.7})$$

Altre due quantità di interesse che possono essere calcolate in modo analogo sono il numero medio di collisioni binarie,  $N_{coll}$ , ed il numero medio di partecipanti,  $N_{part}$ :

$$\langle N_{coll}(\mathbf{b}) \rangle = \sum_{n=1}^{AB} n P(n, \mathbf{b}) \quad (\text{A.8})$$

$$\begin{aligned} \langle N_{part}(\mathbf{b}) \rangle = & A \int T_A(\mathbf{s}) \left\{ 1 - [1 - T_B(\mathbf{s} - \mathbf{b})\sigma_{in}]^B \right\} d^2\mathbf{s} \\ & + B \int T_B(\mathbf{s} - \mathbf{b}) \left\{ 1 - [1 - T_A(\mathbf{s})\sigma_{in}]^A \right\} d^2\mathbf{s} \end{aligned} \quad (\text{A.9})$$

Per “partecipante” si intende un nucleone che subisca *almeno* un'interazione anelastica con un altro nucleone del sistema.



## Appendice B

# Geometria del decadimento delle $V^0$

In fig. B.1 è mostrata la proiezione nel piano  $xy$  del decadimento di una  $V^0$  (nel caso specifico, quello di una  $\Lambda$ ) nella configurazione “cowboy”. Si consideri la distanza  $L$  tra il vertice della  $V^0$  ed il secondo punto di intersezione delle tracce di decadimento, la massima distanza trasversa  $\Delta$  tra le due tracce di decadimento lungo  $L$ . Per una particella di carica

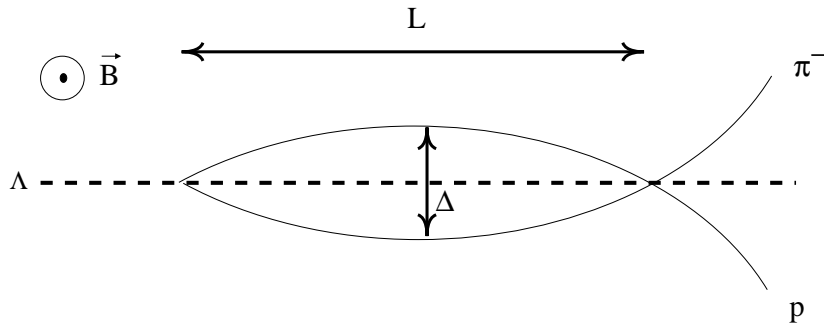


Figura B.1: Topologia di decadimento “cowboy” per una  $\Lambda$ .

$e$  ed impulso  $p$  in moto entro un campo magnetico  $B$  perpendicolare alla sua traiettoria, il raggio di curvatura  $R$  si ricava dalla relazione:

$$R = \frac{p}{eB} \quad (\text{B.1})$$

Dalla fig. B.2 si deduce che  $\sin \theta = \frac{L}{2R}$ ; per piccoli angoli  $\theta$ , risulta  $\sin \theta \simeq \tan \theta = \frac{q_T}{q_L}$ , dove  $q_T$  e  $q_L$  sono, rispettivamente, le componenti trasversali e longitudinali dell'impulso dei prodotti di decadimento rispetto alla linea di volo della  $V^0$ .

Poiché le tracce di decadimento ricostruite nell'esperimento NA57 dispongono tipicamente

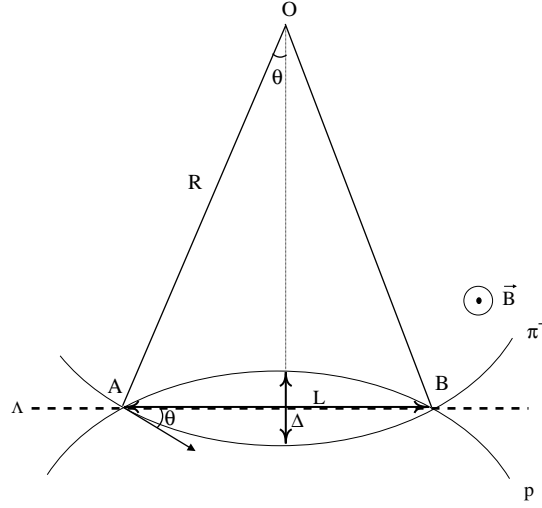


Figura B.2: Schema della geometria del decadimento di una  $\Lambda$  nella configurazione “cowboy”.

di impulsi di parecchi  $\text{GeV}/c$ , mentre il valore massimo del loro impulso trasverso nel riferimento della  $V^0$  vale  $q_T^{MAX} = 0.1 \text{ GeV}/c$  per le  $\Lambda$  ed  $\bar{\Lambda}$ , e  $q_T^{MAX} = 0.2 \text{ GeV}/c$  per i  $K_S^0$ , risulta  $q_T \ll p$ , per cui  $q_L \simeq p$ . Utilizzando dunque queste approssimazioni, si può riscrivere l’eq. B.1 come:

$$L \simeq 2 \left( \frac{p}{eB} \right) \left( \frac{q_T}{p} \right) = \frac{2q_T}{eB} \quad (\text{B.2})$$

Tale distanza risulta dunque invariante per *boost* di Lorentz longitudinali ed il suo valore massimo è caratteristico della particella che decade. La massima distanza  $L$ , espressa in metri, risulta pari a:

$$L_{MAX} \simeq \frac{2 q_T^{MAX} (\text{GeV}/c)}{e B (\text{Tesla})} \left( \frac{10^9 e}{c} \right) = \frac{2 q_T^{MAX} (\text{GeV}/c)}{0.2998 B (\text{Tesla})} \quad (\text{B.3})$$

Nel caso di un campo magnetico di intensità pari a  $B = 1.4 \text{ Tesla}$ , quale quello del magnete GOLIATH usato in NA57, risulta che:

$$L_{MAX} \approx 50 \text{ cm} \quad \text{per } \Lambda \text{ ed } \bar{\Lambda}$$

$$L_{MAX} \approx 100 \text{ cm} \quad \text{per } K_S^0$$

Per quanto riguarda la distanza  $\Delta$ , dalla fig. B.2 risulta:

$$\Delta = (R_1 - R_1 \cos \theta_1) + (R_2 - R_2 \cos \theta_2) \quad (\text{B.4})$$

dove gli indici 1 e 2 si riferiscono alle due tracce di decadimento. Dalla relazione B.1, considerando che  $\cos \theta = \frac{q_L}{p}$ , si ricava:

$$(R_i - R_i \cos \theta_i) = \frac{p_i}{eB} \left( 1 - \frac{q_{L_i}}{p_i} \right) = \frac{1}{eB} \left( \sqrt{q_T^2 + q_{L_i}^2} - q_{L_i} \right) \quad (\text{B.5})$$

Indicando con  $p^*$ ,  $E_i^*$  e  $\theta^*$  le quantità valutate nel sistema centro di massa, è possibile esprimere le componenti dell'impulso delle particelle di decadimento nel sistema del laboratorio come:

$$\begin{aligned} q_{T_i} &= (-1)^i p^* \sin \theta^* \\ q_{L_i} &= \gamma [\beta E_i^* + (-1)^i p^* \cos \theta^*]. \end{aligned} \quad (\text{B.6})$$

Considerando il decadimento con massimo impulso trasverso, corrispondente a  $\theta^* = \frac{\pi}{2}$  e sostituendo l'eq. B.6 nell'eq. B.5, si ottiene:

$$(R_i - R_i \cos \theta_i) = \frac{1}{eB} \left[ \sqrt{p^{*2} + (\gamma^2 - 1)E_i^{*2}} - \sqrt{\gamma^2 - 1}E_i^* \right] \quad (\text{B.7})$$

Pertanto  $\Delta$  dipende, attraverso  $\gamma$ , dall'impulso della particella che decade e, attraverso  $E_i^*$  e  $p^*$ , dalle masse delle particelle coinvolte nel decadimento. Esprimendo  $E_i^*$  ( $p^*$ ) in GeV (GeV/ $c$ ), risulta:

$$(R_i - R_i \cos \theta_i)(metri) = \frac{1}{0.2998 B(Tesla)} \left[ \sqrt{p^{*2} + (\gamma^2 - 1)E_i^{*2}} - \sqrt{\gamma^2 - 1}E_i^* \right] \quad (\text{B.8})$$

Svolgendo il calcolo per un fattore  $\gamma = 10$ , corrispondente ai tipici impulsi delle particelle di decadimento, e per  $B = 1.4$  Tesla, si ottiene:

$$\begin{aligned} \Delta(\gamma = 10) &= 0.9 \text{ cm} \quad \text{per } \Lambda \text{ ed } \bar{\Lambda} \\ \Delta(\gamma = 10) &= 3.9 \text{ cm} \quad \text{per } K_S^0. \end{aligned}$$



# Bibliografia

- [1] C. Quigg, “*Gauge Theories of the Strong, Weak and Electromagnetic Interactions*”, Benjamin-Cummings, Reading (1983).
- [2] S.L. Glashow, Nucl. Phys. 22 (1961) 579;  
S. Weinberg, phys. Rev. Lett. 19 (1967) 1264;  
A. Salam, Proc. 8th Nobel Symposium , Stockholm 1968, ed. N. Svartholm (Almqvist and Wiksells, Stockholm 1968), p. 367.
- [3] M.C. Gonzalez-Garcia and Y. Nir, “*Developments in Neutrino Physics*”, hep-ph/0202058 (2001).  
G.G. Raffelt, “*Neutrino Masses in Astroparticle Physics*”, astro-ph/0207220, (2002).
- [4] Results presented at the XXXth International Conference on High Energy Physics, Osaka (2000).
- [5] A. Chodes et al., Phys. Rev. D9 (1974) 3471.
- [6] W.C. Haxton e L. Heller, Phys. Rev. D22 (1980) 1198.
- [7] P. Hasenfratz et al., Phys. Lett. B95 (1981) 199.
- [8] D. Schram, Proc. 2nd ESO-CERN Symposium, Gerching (1986) 269.
- [9] N.K. Glendenning et al., LBL-30645 (1991)
- [10] R.J. Glauber in “*Lectures in Theoretical Physics vol.1*”, (Interscience, New York, 1959) 315.
- [11] C.Y. Wong, in “*Introduction to High-Energy Heavy-Ion Collision*”, (World Scientific, Singapore, 1994), 349–264.
- [12] D. Kharzeev, C. Lourenço, M. Nardi e H. Satz, Z. Phys. C 74 (1997) 307.

- [13] C. Y. Wong, in *“Introduction to High–Energy Heavy–Ion Collision”*, (World Scientific, Singapore, 1994), 275–277.
- [14] K.G. Wilson, Phys. Rev. D14 (1974) 2455.
- [15] H. Satz, Nucl. Phys. A418 (1984) 447c.
- [16] K. Kanaya, to be published in the Proceedings of QM2002 (2002).  
<http://alice-france.in2p3.fr/qm2002/Transparencies/22Plenary/Kanaya.ppt>
- [17] Y. Iwasaki et al., Phys. Rev. D53 (1996) 6443.
- [18] S. Aoki et al., Nucl. Phys. B73 (1999) 459.
- [19] P. Koch, Introduction to chiral symmetry, nucl-th/9512029 (1995).
- [20] J. Gasser and H. Leutwyler, Phys. Rep. 87 (1982) 77.
- [21] J.F. Donoghue, Annu Rev. Nucl. Part. Sci. 39 (1989) 1.
- [22] E. Fermi, Prog. Theor. Phys. 5 (1950) 570.
- [23] L.D. Landau, Izv. Akad. Nauk. SSSr 17 (1953) 51.
- [24] J.D. Björken, Phys. Rev. D27 (1983) 140.
- [25] L. McLerran, Phys. Rep. 88 (1982) 379.
- [26] H. Appelshäuser et al., Phys.Rev.Lett. 82 (1999) 2471.
- [27] I.G Bearden et al., nucl-ex/0112001, to be published in Phys. Rev. Lett (2002).
- [28] F. Antinori et al., The Eur. Phys. J. C14 (2000) 633.
- [29] H. de Vries, C.W. de Jager and C. de Vries, *Atomic Data and Nuclear Data Tables*, 36 (1987) 495.
- [30] M.M. Aggarwal et al., Phys. Rev C65 (2001) 054912.  
M.M. Aggarwal et al., Eur. Phys. J. C18 (2001) 651.
- [31] K. Verner, Phys. Rep. 232 (1993) 87.
- [32] K. Adcox et al., Phys. Rev. Lett. 87 (2001) 52301.
- [33] J.P. Blaizot, J.Y. Ollitrault, Phys. Rev. Lett. 77 (1996) 1703.

- [34] T. Abbot et al., Phys.Rev. C63 (2001) 064602.
- [35] F. Antinori et al., Eur. Phys. J. C18 (2000) 57.
- [36] E. Schnedermann, J. Sollfrank and U. Heinz, In “*Particle production in highly excited matter*”, H. Gutbrod and J. Rafelski editors, volume B303 of NATO ASI Series Physics (1993) 175.
- [37] U. Heinz, In “*Hot hadronic matter, theory and experiment*”, H. Gutbrod and J. Rafelski editors, volume B346 of NATO ASI Series Physics (1995) 413.
- [38] U. Heinz, preprint nucl-th/9801050 (1998).
- [39] H. van Hecke, H Sorge and Nu Xu, Phys. Rev. Lett. 81 (1998) 5764.
- [40] R. Hanbury-Brown and R.Q. Twiss, Phil.Mag. 45 (1954) 633.
- [41] G. Goldhaber, S. Goldhaber, W. Lee and A. Pais, Phys. Rev. 120 (1960) 300.
- [42] T. Matsui and H. Satz, Phys. Lett. B178 (1986) 416.
- [43] S. Jacobs, M.G. Olsson and C.Suchyta, Phys. Rev. D33 (1986) 3338.
- [44] V.V. Dixit, Mod. Phys. Lett. A5 (1990) 227.
- [45] D. Gross, R.D. Pisarski and L.G. Yaffe, Rev. Mod. Phys. 53 (1981) 43.
- [46] U. Heller, F. Karsch and J. Rank, Phys. Lett. B355 (1995) and Phys. Rev. D57 (1998) 1438.
- [47] M.C. Abreun et al., Phys. Lett. B499 (2001) 85.
- [48] S. Gavin, M. Gyulassy and A. Jackson, Phys. Lett. B207 (1998) 257.
- [49] M.C. Abreun et al., Phys. Lett. B477 (2000) 28.
- [50] M.C. Abreun et al., Phys. Lett. B521 (2001) 195.
- [51] H. Satz, Rep. Prog. Phys. 63 (2000) 1511.
- [52] J.P. Blaizot, P.M Dinh and J.Y. Ollitrault, Nucl. Phys., A698 (2002) 579.
- [53] N. Armesto and A. Capella, Phys. Lett., B430 (1998) 23.
- [54] S. Gavin and R. Vogts, Phys. Rev. Lett. 78 (1997) 1006.

- [55] J. Kapusta, P. Lichard and D. Seibert, Phys. Rev. D47 (1993) 4171.
- [56] K. Kajantie and H.I. Miettinen, Z. Phys. C9 (1981) 341.
- [57] F. Halzen and H.C. Liu, Phys. Rev. D25 (1982) 1842.
- [58] B. Sinha, Phys. Lett. B128 (1983) 91.
- [59] L.D. McLerran and T. Toimela, Phys. Rev. D31 (1985) 545.
- [60] J.Kaputsa, P. Lichard and D. Seibert, Phys. Rev. D44 (1991) 2774.
- [61] P. Aurenche, F. Gellis, H. Zaraket and R. Kobes, Phys. Rev. D58 (1998).
- [62] D.K. Srivastava, Eur. Phys. J. C10 (1999) 487.
- [63] T. Åkesson et al., Z. Phys C64 (1990) 369.
- [64] R. Alber et al., Z. Phys. C64(1994) 195.
- [65] M.M. Aggarwal et al., Nucl. Phys. A610 (1996) 200.
- [66] M.M. Aggarwal et al., Phys Rev. Lett. 85 (2000) 3595.
- [67] K. Reygers et al., to be published in the Proceedings of QM2002 (2002).  
<http://alice-france.in2p3.fr/qm2002/Transparencies/22Parallel1/Reygers.pdf>
- [68] P.V. Ruuskanen, Nucl. Phys. A525 (1991) 255.
- [69] G. Agakichiev et al., Eur. Phys. J. C4 (1998) 231.
- [70] G. Agakichiev et al., Phys. Rev. Lett. 75 (1995) 1272
- [71] B. Lenkeit et al., Nucl. Phys. A661 (1999) 23
- [72] H. Appelshäuser et al., Nucl. Phys. A698 (2002) 253.
- [73] R. Rapp and J. Wambach, Adv. Nucl. Phys. 25 (2000) 1.
- [74] G.E. Brown and M. Rho; hep-ph/0103102 and earlier references.
- [75] R. Rapp, G. Chanfray and J. Wambach, Nucl. Phys. A617 (1997) 472.
- [76] S. Afanasiev et al., Nucl. Meth. A430 (1999) 210.

- [77] H. Appelshäuser et al., *Event-by-Event fluctuations of the kaon to pion ratio in central Pb-Pb collision at 158 GeV per Nucleon* preprint hep-ex/0009053 (2000).
- [78] H. Appelshäuser et al., Phys. Lett. B459 (1999) 679.
- [79] J. Rafelski and B. Müller, Phys. Rev. Lett. 48 (1982) 1066.  
J. Rafelski and B. Müller, Phys. Rev. Lett. 56 (1986) 2334.
- [80] P. Koch, B. Müller and J. Rafelski, Phys. Rep. 142 (1986) 167.
- [81] J. Rafelski, Phys. Lett. B262 (1991) 333.  
J. Rafelski, Nucl. Phys. A544 (1992) 279.
- [82] J. Rafelski, J. Letessier and A. Tounsi, Acta Phys. Pol. B27 (1996) 1035.
- [83] J. Letessier and J. Rafelski, nucl-th/0003014 (2000) 36 pagg.
- [84] N. Bilić, J. Cleymans, I. Dadić and D. Hislop, Phys. Rev. C52 (1995) 401.
- [85] P. Koch and J. Rafelski, Nucl. Phys. A444 (1985) 678
- [86] J. Letessier, A. Tounsi and J. Rafelski, Phys. Lett. B390 (1997) 363.
- [87] F. Antinori et al., Nucl. Phys. A661 (1999) 130.
- [88] F. Antinori et al., Eur. Phys. J. C11 (1999) 79.
- [89] E. Andersen et al., Phys. Lett. B433 (1998) 209.
- [90] R. Lietava et al., J. Phys. B25 (1999) 181.
- [91] H. Appelshäuser et al., Phys. Lett. B444 (1998) 523.
- [92] F. Antinori et al., Phys. Lett. B447 (1999) 178.
- [93] T. Alber et al., Z. Phys. C64 (1994) 195.
- [94] D. Evans et al., J. Phys. G: Nucl. Phys. 25 (1999) 209.
- [95] H. Boggild et al., Phys. Rev. C59 (1999) 328.
- [96] E. Andersen et al., Phys. Lett. B449 (1999) 401.
- [97] F. Siklér et al., Nucl. Phys. A661 (1999) 45.
- [98] I. Bearden et al., Phys. Lett. B471 (1999) 6.

- [99] S. Kabana et al., Nucl. Phys. A661 (1999) 370.  
S. Kabana et al., J. Phys G: Nucl. Part. Phys. 25 (1999) 217.
- [100] J. Cleymans, Nucl. Phys. A525 (1991) 205.
- [101] E. Breaten and R.D. Pisarski, Nucl. Phys. B337 (1990) 569.
- [102] T. Altherr and D. Seibert, Phys. Lett. B313 (1993) 149  
T. Altherr and D. Seibert, Phys. Rev. C49 (1994) 1684.
- [103] T.S. Biró, P. Lévai and B. Müller, Phys. Rev. D42 (1990) 3078.
- [104] A. Ukawa, Nucl. Phys. A498 (1989) 227.
- [105] <http://wa97.web.cern.ch/WA97/WelcomeOld.html>
- [106] <http://www.cern.ch/CERN/Announcements/2000/NewStateMatter>
- [107] NA57 proposal, CERN/SPSLC/96-40 (1996).
- [108] <http://www.ep.ph.bham.ac.uk/exp/WA85/>
- [109] <http://www.ep.ph.bham.ac.uk/exp/WA94/>  
S. Abatzis et al., J. Phys. G: Nucl. Part. Phys. 23 (1997) 1857-1864.
- [110] *The CERN OMEGA spectrometer, 25 years of physics*, CERN Yellow Report, cernrep/97-02, edito da M.R.M. Jacob and E. Quercigh (1997).
- [111] N. Angert et al. Preprint CERN 93-01, (1993).
- [112] WA97 proposal, CERN/SPSLC/91-29 (1991) 263.
- [113] E.H.M Heijne et. al., Nucl. Instr. and Meth. A349 (1994) 138.  
F. Antinori et. al., Nucl. Instr. and Meth. A360 (1995) 91.
- [114] M. Campbell et al., Nucl. Instr. and Meth. A342 (1994) 52.
- [115] E.H.M Heijne et al., Nucl. Instr. and Meth. A383 (1996) 55.
- [116] P. C. de Rijke, "*Performance of the microstrip detectors in the NA57 experiment for the lead-99 run*", Student thesis, Universiteit Utrecht, The Netherlands (2001).
- [117] F. Antinori et al., *A new VME trigger processor for the NA57 experiment*, Proceedings of "Electronics for LHC Experiment", London (1997) 364-368.

- [118] F. Antinori et al., *The NA57 trigger processor*, Proceedings of "Electronics for LHC Experiment", Roma (1998) 364-368.
- [119] NA57 proposal, CERN/SPSLC/96-40 (1996) 4-5.
- [120] *CERN Introduction to HPSS*,  
[http://tilde-dmac3.web.cern.ch/dmac3/hpss/hpss\\_cernintro/hpss\\_cernintro.htm](http://tilde-dmac3.web.cern.ch/dmac3/hpss/hpss_cernintro/hpss_cernintro.htm)
- [121] The CASTOR PROJECT <http://cern.ch/it-div-ds/HSM/CASTOR/>
- [122] J.C. Lasalle and A. Michalson, *ORHION User's guide and reference manual*, WA97 internal note, 1994.
- [123] H. Wind, Nucl. Instr. and Meth. 115 (1974) 431.
- [124] F. Antinori et al., *NA57 Status Report and Future Plans* CERN/SPSC 2002-012, SPSC/M680 (2002).
- [125] J. Podolansky e R. Armenteros, Phil. Mag. 45 (1954) 13.
- [126] G.E. Bruno, Riunione di Collaborazione NA57, CERN 11-12 Luglio 2002.
- [127] N. Carrer, Riunione di Collaborazione NA57, CERN 28-29 Giugno 2001.
- [128] G.E. Bruno et al., to be published in the Proceeding of *The XXXVII Rencontres de Moriond on QCD and High Energy Hadronic Interactions*, hep-ex/0207047 (2002).
- [129] G.E. Bruno, Riunione di Collaborazione NA57, CERN 07-08 Febbraio 2002 (2002).
- [130] D. Elia et al., Proceedings of the Quark Matter 2002 Conference - Nantes, France 18-24 July 2002 to be published on Nuclear Physics A.
- [131] R. Brun et al., GEANT3, CERN program library Q123.
- [132] G.E. Bruno, Riunione di Collaborazione NA57, CERN 23-24 Settembre 2002.
- [133] G.E. Bruno, Riunione di Collaborazione NA57, CERN 23-24 Maggio 2002.
- [134] G.J. Alner et al., Phys. Lett. B167 (1986) 476.
- [135] V. Manzari et al., Proceedings of the Quark Matter 2002 Conference - Nantes, France 18-24 July 2002 to be published on Nuclear Physics A.
- [136] <http://wa97.web.cern.ch/WA97/Data/TableQM99.html>

- [137] R. Caliendo, Tesi di Dottorato, Università di Bari.
- [138] S. V. Afanasiev et al., nucl-ex/0205002, to appear in Phys. Rev. C33 (2002).
- [139] S. Margetis et al., J. Phys. G: Nucl. Part. Phys. 25 (1999) 189.
- [140] S.V. Afanasiev et al., Nucl. Phys. A610 (1996) 188.
- [141] R.A. Barton et al., Phys. G: Nucl. Part. Phys. 27 (2001) 367.
- [142] T. Alber et al., J. Phys. G: Nucl. Part. Phys. 23 (1997) 1817.
- [143] S.V. Afanasiev et al., Phys.Lett. B538 (2002) 275.
- [144] M. van Leeuwen for the NA49 Collaboration at Quark Matter 2002 Conference -  
Nantes, France 18-24 July 2002,  
<http://alice-france.in2p3.fr/qm2002/Transparencies/20Plenary/VanLeeuwen.pdf>
- [145] S.V. Afanasiev et al., Phys. Lett., B : 486 (2000) no.1-2, pp.22-8
- [146] I.G. Bearden et al., arXiv:nucl-ex/0202019; submitted to Phys. Rev. C.
- [147] I.G. Bearden et al., Eur. Phys. J. C23 (2002) 237.
- [148] E. Schnedermann, J. Sollfrank and U. Heinz, Phys. Rev. C48 (1993) 2462.
- [149] E. Schnedermann and U. Heinz, Phys. Rev. C50 (1994) 275 [arXiv:hep-ex/9402018].
- [150] H. van Hecke, H. Sorge and N. Xu, Phys. Rev. Lett. 81 (1998) 5764  
[arXiv:nucl-th/9804035].
- [151] A. Dumitri, S.A. Bass, M. Bleicher, H. Stocker and W. Greiner, Phys. Lett. B460  
(1999) 411 [arXiv:nucl-th/9901046].
- [152] J. Letessier and J. Rafelski, in *“Hadrons and Quark-Gluon Plasma”* edito da  
Cambridge University Press (2002) pagg. 148-154.
- [153] M van Leeuwen et al.; Proceedings of the Quark Matter 2002 Conference - Nantes,  
France 18-24 July 2002 to be published on Nuclear Physics A. [arXiv:nucl-ex/0208014].
- [154] P. Braun-Munzinger, I. Heppe and J. Stachel, Phys. Lett. B465 (1999) 15.
- [155] K. Fanebust et al., J. Phys. G: Nucl. Part. Phys. 28(2002) 1607

- [156] E. Quercigh, "Comments on systematic effects in Heavy Ion Experiments", Acta Physica Polonica N.12 Vol.33 (2002).
- [157] J. Castillo et al., J. Phys. G: Nucl. Part. Phys. 28 (2002) 1987.  
B. Hippolyte, PhD thesis, Universite de Strasbourg.
- [158] B. Tomasik and U.A. Wiedemann, in "Quark Gluon Plasma 3", eds. R.C.Hwa and X.-N.Wang, World Scientific (to be published) [arXiv:hep-ph/0210250].
- [159] F. Antinori et al., J. Phys. G 27 (2001) 2325.
- [160] H. Bøggild et al., NA44 Collaboration, Nucl. Phys. A 638 (1998) 471c.
- [161] C. Adler et al., STAR Collaboration, to be submitted to Phys. Rev. C.
- [162] S. Pratt, Phys. Rev. Lett. 53 (1984) 1219.
- [163] G.E. Bruno, Tesi di Laurea, Università di Bari.
- [164] C.Y. Wong, in "Introduction to High-Energy Heavy-Ion Collision", (World Scientific, Singapore, 1994), 451-456.
- [165] D. Boal, C.K. Gelbke e B.K. Jennings, Rev. Mod. Phys. 62 (1990) 553.
- [166] A. Bamberger et al., Phys. Lett. B203 (1988) 320.  
T. Humanic et al., Z. Phys. C38 (1988) 79.
- [167] T. Alber et al., Z. Phys. C66 (1995) 77.  
T. Alber et al., Phys. Rev. Lett. 74 (1995) 1303.
- [168] H. Appelshäuser et al., Eur. Phys. J. C (1998) 661.
- [169] S. Chapman , P. Scotto e U. Heinz, Heavy Ion Physics 1 (1995) 1.
- [170] R. Lednicky e V.L. Lyuboshitz, Sov. J. Nucl. Phys. 35 (1982) 770.
- [171] R. Lednicky e V.L. Lyuboshitz, Heavy Ion Physics 3 (1996) 93.
- [172] R. Lednicky, V.L. Lyuboshitz, B. Erazmus e D. Nouais, Phys. Lett. B 373 (1996) 30.
- [173] S.A. Voloshin, R. Lednicky, S. Panitkin e N. Xu, Phys. Rev. Lett. 79 (1997) 4766.
- [174] S. Soff et al., J. Phys. G 23 (1997) 2095.

- [175] D. Miskowiec, in *CRIS'98: Measuring the size of things in the Universe: HBT interferometry and heavy ion physics*, ed. da S. Costa et al., (World Scientific, Singapore, 1998), nucl-ex/9808003.
- [176] S. Chapman , P. Scotto e U. Heinz, Phys. Rev. Lett. 74 (1995) 4400.
- [177] M.Herrmann e G. F. Bertsch, Phys. Rev. C 51 (1995) 328.
- [178] U.A. Wiedemann, P. Scotto e U. Heinz, Phys. Rev. C 53 (1996) 918.
- [179] Yu. Sinyukov, in *Hot Hadronic Matter: Theory and Experiment*, ed. da J. Letessier et al. (Plenum, New York, 1995), p. 309.
- [180] S. Chapman e U. Heinz, Phys. Lett. B 340 (1994) 250.
- [181] Y.-F. Wu, U. Heinz, B. Tomasik e U.A. Wiedemann, Eur. Phys. J. C 1 (1998) 599.
- [182] U. Heinz, B. Tomasik, U.A. Wiedemann e Y.-F. Wu, Phys. Lett. B 382 (1996) 181.
- [183] W.A. Zajc et al., Phys. Rev. C 29 (1984) 2173.
- [184] S. Chapman, J. R. Nix, U. Heinz, Phys. Rev. C 52 (1995) 2694.
- [185] T. Alber et al., Nucl. Phys. A 590 (1995) 453c.
- [186] S. Pratt, Phys. Rev. D33 (1986) 72.
- [187] M.G. Bowler , Phys. Lett. B270 (1991) 69.
- [188] G. Baym and P. Braun-Munzinger, Nucl. Phys. A610 (1996) 286.
- [189] P. Jones et al., Nucl. Phys. A610 (1996) 188.
- [190] H. Heiselberg and A.P. Vischer, Eur. Phys. J. C2 (1998) 593.  
B. Tomasik and U. Heinz, preprint nucl-th/9805016 (1998).
- [191] F. Beccatini, M. Gaździcki M and J. Sollfrank Eur. Phys. J. C5 (1998) 143.

## *Ringraziamenti*

*Vorrei spendere qualche parola per le persone che mi sono state vicine professionalmente e sotto il profilo umano in questi anni. Sono molto grato al mio tutore, il Prof. Bruno Ghidini, che mi ha instancabilmente seguito e sostenuto in ogni mia attività. Ringrazio quindi il Dr. Emanuele Quercigh, per aver letto con grande attenzione questa tesi e per tutti i consigli, gli insegnamenti ed il tempo dedicatomi. Voglio quindi esprimere la mia gratitudine e stima per il gruppo di Bari degli “Ioni Pesanti”: un grazie di cuore, in ordine sparso, ad Alfredo Loconsole, Rosanna Fini, Vito Manzari, Domenico Elia, Rocco Caliandro, Vito Lenti e tutti gli altri. Sono altresì grato a tante persone con cui ho collaborato, le prime che mi sovengono sono Adam Jacholkowski, Ladislav Šándor e Nicola Carrer, ma sono sicuro di averne dimenticate tante altre. Questa è anche un’ottima occasione per ringraziare una lunga lista di persone cui devo molto: la mia famiglia, Annamaria e tutti i miei amici.*